



OFICINA ESPAÑOLA DE PATENTES Y MARCAS

ESPAÑA



11) Número de publicación: 2 521 599

51 Int. Cl.:

C12N 15/113 (2010.01) A61K 31/712 (2006.01)

(12)

TRADUCCIÓN DE PATENTE EUROPEA

T3

- (96) Fecha de presentación y número de la solicitud europea: 30.09.2004 E 12156572 (5)
 (97) Fecha y número de publicación de la concesión europea: 03.09.2014 EP 2468865
- (54) Título: Modulación de oligonucleótidos antisentido de la expresión STAT3
- (30) Prioridad:

06.02.2004 US 773678

(45) Fecha de publicación y mención en BOPI de la traducción de la patente: 13.11.2014

(73) Titular/es:

ISIS PHARMACEUTICALS, INC. (100.0%) 2855 Gazelle Court Carlsbad, CA 92010, US

(72) Inventor/es:

KARRAS, JAMES G.

(74) Agente/Representante:

CARVAJAL Y URQUIJO, Isabel

DESCRIPCIÓN

Modulación de oligonucleótidos antisentido de la expresión STAT3

Campo de la invención

5

15

20

25

30

40

55

Esta invención se relaciona con composiciones y métodos para modular la expresión del gen humano STAT3, el cual codifica una proteína enlazante de ADN presente de manera natural involucrada en la transducción de señales y activación transcripcional, y está implicada en enfermedades. Esta invención también se relaciona con métodos para inhibir la transducción de señales y activación transcripcional mediada por STAT3; estos métodos pueden ser utilizados como diagnóstico o terapéuticamente. Adicionalmente, esta invención se relaciona con el tratamiento de condiciones asociadas con la expresión del gen STAT3 humano.

10 Antecedentes de la invención

Las proteínas STAT (transductores de señal y activadores de transcripción) son proteínas enlazantes de ADN que juegan un papel doble en la transducción de señales y activación de la transcripción. Actualmente, hay seis miembros distintos de la familia STAT (STAT1, STAT2, STAT3, STAT4, STAT5, y STAT6) y varias isoformas (STAT1-alfa, STAT1-beta, STAT3-alfa y STAT3-beta). Las actividades de las STAT son moduladas por diversas citoquinas y estímulos mitogénicos.

El enlazamiento de una citoquina a su receptor da como resultado la activación de la proteína tirosina quinasa de Janus (JAK) asociadas con estos receptores. Esta a su vez, fosforila la STAT, dando como resultado la translocación al núcleo y la activación transcripcional de los genes que responden a STAT. La fosforilación en un residuo específico de tirosina de la STAT da como resultado su activación, dando como resultado la formación de homodímeros y/o heterodímeros de STAT los cuales se enlazan a secuencias promotoras de genes específicos. Los eventos mediados por las citoquinas a través de la activación de STAT incluyen proliferación celular y diferenciación y prevención de la apoptosis.

La especificidad de la activación de STAT es debida a citoquinas específicas, esto es, cada STAT es responsable de un número pequeño de citoquinas específicas. También se ha encontrado que otras moléculas de señalización que no son citoquinas, tales como los factores de crecimiento, activan las STAT. El enlazamiento de estos factores a un receptor de la superficie celular asociado con la proteína tirosina quinasa también da como resultado la fosforilación de STAT.

Se ha encontrado también que la STAT3 [también el factor de respuesta de fase aguda (APRF), STAT3-alfa], en particular, responde a la interleuquina-6 (IL-6) así como al factor de crecimiento epidérmico (EGF) (Darnell, Jr., J.E., et al., Science, 1994, 264, 1415-1421). Además, se ha encontrado que la STAT3 tiene un papel importante en la transducción de señales por interferones (Yang, C.-H., et al., Proc. Natl. Acad. Sci. USA, 1998, 95, 5568-5572). Existe evidencia que sugiere que la STAT3 puede ser regulada por la ruta MAPK. La ERK2 induce la fosforilación de la serina y también se asocia con STAT3 (Jain, N., et al., Oncogene, 1998, 17, 3157-3167).

La STAT3 expresa en la mayor parte de los tipos celulares (Zhong, Z., et al., Proc. Natl. Acad. Sci. USA, 1994, 91, 4806-4810). Induce la expresión de genes involucrados en la respuesta a las lesiones e inflamación de tejidos. La STAT3 también ha demostrado prevenir la apoptosis a través de la expresión de bcl-2 (Fukada, T., et al., Immunity, 1996, 5, 449-460).

La expresión aberrante de o la expresión constitutiva de la STAT3 está asociada con un cierto número de procesos de enfermedades. La STAT3 ha demostrado estar involucrada en la transformación celular. Es activa constitutivamente en células transformadas por v-src (Yu, C.-L., et al., Science, 1995, 269, 81-83). La STAT3 activada constitutivamente también induce la expresión de genes mediada por STAT3 y se requiere para la transformación celular por medio de src (Turkson, J., et al., Mol. Cell. Biol., 1998, 18, 2545-2552). La STAT3 también es activa constitutivamente en células transformadas por el virus I linfotrófico de células T humano (HTLV-I) (Migone, T.-S. et al., Science, 1995, 269, 79-83).

La activación constitutiva y/o sobreexpresión de STAT3 parece estar involucrada en varias formas de cáncer incluyendo mieloma, carcinomas de seno, cáncer de próstata, tumores de cerebro, carcinomas de cabeza y cuello, melanoma, leucemias y linfomas, particularmente leucemia mielogenosa crónica y mieloma múltiple (Niu et al., Cancer Res., 1999, 59, 5059-5063). Las líneas celulares de cáncer de seno que sobreexpresan EGFR expresan constitutivamente STAT3 fosforilada (Sartor, C.I., et al., Cancer Res., 1997, 57, 978-987; Garcia, R., et al., Cell Growth and Differentiation, 1997, 8, 1267-1276). También se encontraron niveles de STAT3 activados elevados en glioblastomas y meduloblastomas de grado bajo (Cattaneo, E., et al., Anticancer Res., 1998, 18, 2381-2387).

Las células derivadas de cánceres de próstata tanto de ratas como humano han demostrado tener STAT3 activada constitutivamente, estando relacionada la activación de STAT3 con potencial maligno. La expresión de STAT3 negativo dominante se encontró que inhibía significativamente el crecimiento de células de próstata humana (Ni et al., Cancer Res., 2000, 60, 1225-1228).

ES 2 521 599 T3

También se ha encontrado que la STAT3 es activada constitutivamente en algunas leucemias agudas (Gouilleux-Gruart, V., et al., Leuk. Lymphoma, 1997, 28, 83-88) y en linfomas de células T (Yu, C.-L., et al., J. Immunol., 1997, 159, 5206-5210). De manera interesante, se ha encontrado que la STAT3 es fosforilada constitutivamente en un residuo de serina en leucemia linfocítica crónica (Frank, D. A., et al., J. Clin. Invest., 1997, 100, 3140-3148). Además, se ha demostrado que los oligonucleótidos antisentido a la STAT3 promueven la apoptosis en células de cáncer de pulmón de células no pequeñas (Song et al., Oncogene 22:4150, 2003) y en células de cáncer de próstata (Mora et al., Cancer Res. 62:6659, 2002).

Se ha encontrado que la STAT3 es constitutivamente activa en células de tumores de mieloma, tanto en cultivo como en células mononucleares de médula ósea de pacientes con mieloma múltiple. Estas células son resistentes a la apoptosis mediada por Fas y expresan altos niveles de BcL-xL. La señalización de STAT3 demostró ser esencial para la supervivencia de células tumorales de mieloma confiriendo resistencia a la apoptosis (Catlett-Falcone, R., et al., Immunity, 1999, 10, 105-115). La STAT3 activada constitutivamente también está asociada con leucemia mielogenosa crónica. Así la STAT3 es un objetivo potencial para la intervención terapéutica en múltiples cánceres de mieloma y otros con rutas de señalización de STAT3 activadas. Las opciones para el tratamiento de pacientes con mieloma múltiple no son completamente satisfactorias. El Velcade fue aprobado en mayo del 2003 con un ensayo de pivote de 188 pacientes evaluables con base en encogimiento de tumor, no en supervivencia. Solamente el 28% (de los pacientes mostró una respuesta parcial. Los datos están actualmente bajo revisión de la FDA. Hay una necesidad médica distintiva por terapias novedosas para el mieloma quimiorresistente.

Se ha utilizado una metodología de terapia genética en un sistema de modelo de tumor de ratón singenésico para inhibir la STAT3 activada *in vivo* utilizando una variante de STAT3 negativa dominante. Se encontró que esta señalización de STAT3 activada suprime el crecimiento del tumor de melanoma B16 e induce la apoptosis de células tumorales B16 *in vivo*. De manera interesante, el número de células apoptóticas (95%) excedió el número de células transfectadas, indicando un posible "efecto supresor" antitumoral en el cual una respuesta inflamatoria (infiltración del tumor por células inflamatorias agudas y crónicas) puede participar en la matanza de células tumorales residuales (Niu et al., Cancer Res., 1999, 59, 5059-5063).

La STAT3 también puede jugar un papel en enfermedades inflamatorias incluyendo la artritis reumatoide. La STAT3 activada ha sido encontrada en el fluido sinovial de pacientes con artritis reumatoide (Sengupta, T.K., et al., J. Exp. Med., 1995, 181, 1015-1025) y en células de articulaciones inflamadas (Wang, F., et al., J. Exp. Med., 1995, 182, 1825-1831).

La división alternativa da como resultado la formación de STAT3, la cual está caracterizada por la ausencia de 55 residuos de aminoácidos encontrados en el termino C de STAT3. Este dominio contiene el dominio de transactivación, y así, la STAT3 puede actuar como regulador negativo de la función de STAT3.

Se ha encontrado que la STAT3 es más estable y tiene mayor actividad de enlazamiento a ADN que la STAT3, mientras que la STAT3 es más activa transcripcionalmente. La STAT3, también como la STAT3, forma homodímeros, y los dos también pueden enlazarse entre sí como un heterodímero (Caldenhoven, E., et al., J. Biol. Chem., 1996, 271, 13221-13227).

Hay actualmente varias metodologías para inhibir la expresión de STAT3. Las Patentes de los Estados Unidos Nos. 5,719,042 y 5,844,082, ambas concedidas conjuntamente a Akira, S. y Kishimoto, T. enseñan el uso de inhibidores de APRF, incluyendo anticuerpos, ácidos nucleicos antisentido y ribozimas para el tratamiento de enfermedades asociadas con IL-6, tales como enfermedades inflamatorias, leucemia y cáncer. Schreiber, R.D., et al., en las Patentes de los Estados Unidos Nos. 5, 731,155; 5, 582,999; y 5, 463,023, divulgan métodos para inhibir la activación transcripcional utilizando péptidos cortos que se enlazan a p91. Darnell, J.E., et al., en la Patente de los Estados Unidos No. 5, 716,622, divulga péptidos que contienen el dominio enlazante de ADN de STAT, proteínas quiméricas que contienen el dominio de enlazamiento a ADN, y anticuerpos para STAT para inhibir la activación transcripcional de STAT

Ha sido divulgado el uso de un oligonucleótido antisentido direccionado a la región de inicio de la traducción de STAT3 humana (Grandis, J. R., et al., J. Clin. Invest., 1998, 102, 1385-1392). En este reporte, un oligodesoxinucleótido fosforotioato complementario a la región de inicio de la traducción de STAT3 inhibió el crecimiento de células estimuladas THF-β mediado por el receptor de factor de crecimiento epidérmico (EGFR), sugiriendo que la STAT3 es un componente de la ruta de señalización de EGFR.

La WO 00/61102 divulga composiciones, compuestos y métodos para inhibir la expresión de STAT3. Las composiciones comprenden oligonucleótidos antisentido direccionados a ácidos nucleicos que codifican STAT3.

Se mantienen una necesidad no satisfecha por composiciones y métodos terapéuticos que apunten a la expresión de STAT3, y procesos de enfermedad asociados con la misma.

55 Resumen de la invención

5

10

15

35

40

45

50

La invención provee un oligonucleótido antisentido de 12 a 50 nucleobases en longitud, el cual específicamente hibrida con una molécula de ácido nucleico que codifica STAT3 y es capaz de inhibir la expresión de STAT3, y en donde el oligonucleótido está direccionado a los nucleótidos 2983 a 3127 de SEQ ID NO:154.

La invención también provee una composición farmacéutica que comprende un oligonucleótido antisentido de acuerdo con la invención y un vehículo o diluyente farmacéuticamente aceptable.

La invención también provee un oligonucleótido antisentido de acuerdo con la invención para uso en terapia o profilaxis.

Resumen de la divulgación

5

25

30

35

40

45

50

55

La presente divulgación provee oligonucleótidos los cuales apuntan a ácidos nucleicos que codifican STAT3 y son capaces de modular la expresión de STAT3. La presente divulgación también provee oligonucleótidos quiméricos direccionados a ácidos nucleicos que codifican STAT3 humano.

La presente divulgación también comprende métodos para modular la expresión de STAT3 humano, en células y tejidos, utilizando los oligonucleótidos de la divulgación.

La presente divulgación comprende adicionalmente métodos para diagnosticar y tratar enfermedades inflamatorias, particularmente artritis reumatoide, y cánceres, incluyendo los de seno, próstata, cabeza y cuello y cerebro, mielomas, melanomas, leucemias y linfomas. Se cree que los oligonucleótidos y métodos de la presente divulgación son útiles terapéutica y profilácticamente. Se cree adicionalmente que los oligonucleótidos de la presente divulgación son útiles como herramientas de investigación clínica y diagnóstico, así como para la detección y determinación del papel de STAT3 en diversas funciones celulares y procesos y condiciones fisiológicas y para condiciones de diagnóstico asociadas con la expresión de STAT3.

Descripción detallada

La STAT3 juega un papel importante en la transducción de la señal de citoquina. La sobreexpresión y/o activación constitutiva de STAT3 está asociada con un cierto número de enfermedades inflamatorias y cánceres. Como tal, está proteína de enlazamiento a ADN representa un objetivo atractivo para el tratamiento de tales enfermedades, en particular, la modulación de la expresión de STAT3 puede ser útil para el tratamiento de enfermedades tales como artritis reumatoide, cáncer de seno, cáncer de próstata, cáncer de cerebro, cáncer de cabeza y cuello, mielomas, melanomas, leucemias y linfomas.

La presente invención emplea compuestos antisentido, particularmente oligonucleótidos, para uso en la modulación de la función de moléculas de ácidos nucleicos que codifican STAT3, modulando finalmente la cantidad de STAT3 producida. Esto se logra proveyendo oligonucleótidos que hibridan específicamente con ácidos nucleicos, preferiblemente ARNm, que codifica STAT3.

Esta relación entre un compuesto antisentido tal como un oligonucleótido y su objetivo de ácido nucleico complementario reverso al cual hibrida, se denomina comúnmente como "antisentido". "Direccionamiento" de un oligonucleótido a un ácido nucleico objetivo escogido, en el contexto de esta invención, es un proceso de etapas múltiples. El proceso comienza usualmente con la identificación de una secuencia de ácidos nucleicos cuya función va a ser modulada. Este puede ser, como ejemplo, un gen celular (o ARNm hecho a partir del gen) cuya expresión está asociada con un estado de enfermedad particular, o un ácido nucleico foráneo de un agente infeccioso.

En la presente invención, los objetivos son ácidos nucleicos que codifican STAT3; en otras palabras, un gen que codifica STAT3 o ARNm expresado a partir del gen STAT3, ARNm que codifica STAT3 es actualmente el objetivo preferido. El proceso de direccionamiento también incluye la determinación de un sitio o sitios dentro de la secuencia de ácidos nucleicos para que la interacción antisentido ocurra de tal manera que resulte una modulación de la expresión del gen.

De acuerdo con esta invención, las personas de experiencia normal en la técnica entenderán que el ARN mensajero incluye no solamente la información para codificar una proteína utilizando el código genético de tres letras, si no también los ribonucleótidos asociados que forman una región conocida por tales personas como la región no traducida 5', la región no traducida 3', la región cubierta 5' y los ribonucleótidos de unión intrón/exón. Así, pueden formularse de acuerdo con esta invención oligonucleótidos que están direccionados completamente o en parte a aquellos ribonucleótidos asociados así como a los ribonucleótidos de información. El oligonucleótido puede por lo tanto ser hibridable específicamente con una región de sitio de iniciación de transcripción, una región de codón de iniciación de traducción, una región de cubiertas 5', una unión intrón/exón, secuencias de codificación, una región de codeterminación de la traducción o secuencias en la región no traducida 5' o 3'. Puesto que, como es conocida en la técnica, el codón de iniciación de la traducción es típicamente 5'-AUG (moléculas de ARNm transcritas; 5' ATG en la molécula de ADN correspondiente), el codón de iniciación de la traducción también es denominado como "codón AUG", el "codón de iniciación" o el "región de inicio AUG". Una minoría de genes tiene un codón de iniciación de la traducción que tiene la secuencia de ARN 5'-GUG, 5'-UUG o 5'-CUG, y 5'-AUA, 5'-ACG y 5'-CUG han demostrado

ES 2 521 599 T3

5

10

15

20

25

55

60

funcionar in vivo. Así, los términos "codón de iniciación de la traducción" y "codón de inicio" pueden abarcar muchas secuencias de codones, aunque el aminoácido iniciador en cada caso es típicamente metionina (en eucariotas) o formilmetionina (procariotas). También es sabido en la técnica que los genes eucarióticos y procarióticos pueden tener dos o más codones de inicio alternativos, cualquiera de los cuales puede ser utilizado preferencialmente para la iniciación de la traducción en un tipo celular o de tejido particular, o bajo un conjunto particular de condiciones. En el contexto de la invención, "codón de inicio" y "codón de iniciación de la traducción" se refieren al codón o codones que se utilizan in vivo para iniciar la traducción de una molécula de ARNm transcrita a partir de un gen que codifica STAT3, independientemente de las secuencias de tales codones. También es sabido en la técnica que un codón de terminación de la traducción (o "codón de detención") de un gen puede tener una de tres secuencias, esto es 5'-UAA, 5'-UAG y 5'-UGA (las secuencias de ADN correspondientes son 5'-TAA, 5'-TAG y 5'-TGA, respectivamente). Los términos "región de codón de inicio", "región AUG" y "región de codón de iniciación de la traducción" se refieren a una porción de un ARNm o gen que abarca desde aproximadamente 25 hasta aproximadamente 50 nucleótidos contiguos en cualquier dirección (esto es, 5' o 3') a partir de un codón de iniciación de la traducción. Esta región es una región objetivo preferida. De la misma manera, los términos "región de codón de detención" y "región de codón de terminación de la traducción" se refieren a una porción de tal ARNm o gen que abarca desde aproximadamente 25 hasta aproximadamente 50 nucleótidos contiguos en cualquier dirección (esto es, 5' o 3') a partir de un codón de terminación de la traducción. Esta región es una región objetivo preferida. El marco de lectura abierto (ORF) o "región de codificación", que es conocida en la técnica por referirse a la región entre el codón de iniciación de la traducción y el codón de terminación de la traducción, es también una región a la cual se puede apuntar de manera efectiva. Otras regiones objetivo preferidas incluyen la región no traducida 5' (5' UTR), conocida en la técnica por referirse a la porción de ARNm en la dirección 5' a partir del codón de iniciación de la traducción, y que incluye así nucleótidos entre el sitio de cubierta 5' y el codón de iniciación de la traducción de un ARNm o nucleótidos correspondientes en el gen y a la región no traducida 3' (3' UTR), conocida en la técnica por referirse a la porción de ARNm en la dirección 3' a partir del codón de terminación de la traducción, e incluyendo así nucleótidos entre el codón de terminación de la traducción y el extremo 3' de un ARNm o nucleótidos correspondientes en el gen. La cubierta 5' del ARNm comprende un residuo de guanosina metilado en N7 unido al residuo más 5' del ARNm a través de un enlace trifosfato 5' - 5'. Se considera que la región de cubierta 5' de un ARNm incluye la estructura de cubierta 5' en si misma así como los primeros 50 nucleótidos adyacentes a la cubierta. La región de cubierta 5' también puede ser una región objetivo preferida.

Aunque algunos transcriptos de ARNm eucarióticos son traducidos directamente, muchos contienen una o más regiones, conocidas como "intrones", los cuales son escindidas de un transcripto de preARNm para producir uno o más ARNm maduros. Las regiones restantes (y por lo tanto traducidas) son conocidas como "exones" y están divididas juntas para formar una secuencia de ARNm continua. Los sitios de división de ARNm, esto es, uniones exón-exón o intrón-exón, también pueden ser regiones objetivo preferidas, y son particularmente útiles en situaciones en donde la enfermedad está implicada en una división aberrante, o donde una sobreproducción de un producto de división de ARNm en particular está implicada en la enfermedad. Las uniones de fusión aberrantes debido a reordenamientos o eliminaciones también son objetivos preferidos. También pueden ser preferidos los exones particulares a los cuales apunta el ARNm divididos alternativamente. También se ha encontrado que los intrones también pueden ser regiones objetivo efectivas y por lo tanto preferidas para compuestos antisentido direccionados, por ejemplo, a ADN o pre ARNm.

Una vez que el sitio o sitios objetivos han sido identificados, se escogen los oligonucleótidos que sean suficientemente complementarios al objetivo, esto es, que hibriden suficientemente bien y con suficiente especificidad, para dar la modulación deseada.

"Hibridación", en el contexto de esta invención, significa el enlazamiento de hidrógeno, también conocido como apareamiento de bases de Watson-Crick, entre bases complementarias, usualmente en cadenas de ácidos nucleicos opuestas o dos regiones de una cadena de ácido nucleico. La guanina y la citosina son ejemplos de bases complementarias de las que se saben que forman estos puentes de hidrógeno entre ellos. La adenina y timina son ejemplos de bases complementarias que forman dos enlaces de hidrógeno entre ellas.

"Específicamente hibridables" y "complementarios" son términos que se utilizan para indicar un grado suficiente de complementariedad tal que se presenta un enlazamiento estable y específico entre objetivos ADN o ARN y el oligonucleótido.

Se entiende que un oligonucleótido no necesita ser 100% complementario a su secuencia de ácido nucleico objetivo para ser específicamente hibridable. Un oligonucleótido es específicamente hibridable cuando el enlazamiento del oligonucleótido al objetivo interfiere con el papel normal de la molécula objetivo para producir una pérdida de función o actividad, y hay suficiente grado de complementariedad para evitar un enlazamiento no específico del oligonucleótido a secuencias no objetivo bajo condiciones en las cuales se desea un enlazamiento específico, esto es, bajo condiciones fisiológicas en el caso de ensayos *in vivo* o tratamientos terapéuticos o, en el caso de ensayos *in vitro*, bajo las condiciones en las cuales se llevan a cabo los ensayos.

La hibridación de oligonucleótidos antisentido con ARNm interfiere con una o más de las funciones normales del ARNm. Las funciones del ARNm que va a ser interferido incluyen cualquier función vital tal como, por ejemplo, la

translocación del ARN al sitio de la traducción de proteínas, traducción de la proteína desde el ARN, división del ARN para producir una o más especies de ARNm, y actividad catalítica la cual puede ser acoplada por el ARN. El enlazamiento de proteínas específicas al ARN también puede ser interferido por la hibridación de un oligonucleótido antisentido al ARN.

- Las localizaciones sobre el ácido nucleico objetivo a las cuales los compuestos antisentido preferidos hibridan son denominadas de aquí en adelante como "segmentos objetivo". Tal como se utiliza aquí el término "segmento objetivo" se define como al menos una porción de 8 nucleobases de una región objetivo a la cual se direcciona un compuesto antisentido activo. A la vez que no se desea estar limitados por la teoría, se cree actualmente que estos segmentos objetivos presentan porciones del ácido nucleico objetivo que son accesibles para la hibridación.
- Mientras que las secuencias específicas de ciertos segmentos objetivos se definen aquí, una persona experimentada en la técnica reconocerá que estos sirven para ilustrar y describir realizaciones particulares dentro del alcance de la presente invención. Pueden identificarse segmentos objetivo adicionales por una persona de experiencia normal.
- Los segmentos objetivos de 8 80 nucleobases de longitud que comprenden un estiramiento de al menos ocho (8) nucleobases consecutivas seleccionadas dentro de los segmentos objetivos preferidos ilustrativos se consideran como adecuados también como objetivos.
 - Los segmentos objetivos pueden incluir secuencias de ADN o ARN que comprenden al menos 8 nucleobases consecutivas a partir del término 5' de uno de los segmentos objetivo ilustrativos (siendo las nucleobases restantes un estiramiento consecutivo del mismo ADN o ARN que comience inmediatamente corriente arriba del término 5' del segmento objetivo y continua hasta el ADN o ARN que contiene desde aproximadamente 8 hasta aproximadamente 80 nucleobases). De la misma forma los segmentos objetivos son representados por secuencias de ADN o ARN que comprenden al menos las 8 nucleobases consecutivas a partir del término 3 de uno de los segmentos objetivo preferidos ilustrativos (siendo las nucleobases restantes un estiramiento consecutivo del mismo ADN o ARN que comience inmediatamente corriente abajo del termino 3' del segmento objetivo y que continua hasta que el ADN o ARN contiene desde aproximadamente 8 hasta aproximadamente 80 nucleobases). También se entiende que los segmentos objetivo antisentido pueden ser representados por secuencias de ADN o ARN que comprenden al menos 8 nucleobases consecutivas a partir de una porción interna de la secuencia de un segmento objetivo preferido ilustrativo, y puede extenderse en cualquiera o en ambas direcciones hasta que el oligonucleótido contenga aproximadamente 8 hasta aproximadamente 80 nucleobases. Una persona con experiencia en la técnica armada con los segmentos objetivos ilustrados aquí será capaz, sin experimentación indebida, de identificar segmentos objetivo preferidos adicionales.

Una vez que uno o más regiones, segmentos o sitios objetivo hayan sido identificados, se escogen los compuestos antisentido que sean suficientemente complementarios al objetivo, esto es, que hibriden suficientemente bien y con suficiente especificidad, para dar el efecto deseado.

- Los compuestos antisentido oligoméricos también pueden ser direccionados a regiones de una secuencia de nucleobases objetivo, tal como la divulgada aquí. Todas las regiones de una secuencia de nucleobases a la cual puede ser dirigido un compuesto antisentido u oligomérico, en donde las regiones son mayores que o iguales a 8 y menores que o iguales a 80 nucleobases, se describen como sigue:
- Sea R(n, n+m-1) una región de una secuencia de nucleobases objetivo, donde "n" es la posición de nucleobase más hacia 5' de la región, en donde, "n+m-1" es la posición de nucleobases más hacia 3' de la región y en donde "m" es la longitud de la región. Un conjunto "S (m)", de regiones de longitud "m" se define como la región en donde n varia de 1 a L-m+1, en donde L es la longitud de la secuencia de nucleobases objetivo y L>m. Un conjunto "A", de todas las regiones puede ser construido como la unión de los conjuntos de regiones para cada longitud desde la cual m es mayor o igual a 8 y es menor que o igual a 80.
- 45 Este conjunto de regiones puede ser representado utilizando la siguiente notación matemática:

$$A = \bigcup_{m} S(m)$$
 donde $m \in N \mid 8 \le m \le 80$

у

20

25

30

$$S(m) = \left\{ R_{n,n+m-1} \middle| n \in \{1,2,3,...,L-m+1\} \right\}$$

en donde el operador matemático | indica "tal que",

en donde el operador matemático ϵ indica "un miembro de un conjunto" (por ejemplo, y ϵ Z indica que el elemento y es un miembro del conjunto Z),

donde x es una variable.

10

15

20

25

30

35

donde N indica todos los números naturales, definidos como enteros positivos,

y en donde el operador matemático U indica "la unión de conjuntos".

Por ejemplo, el conjunto de regiones para m igual a 8, 20 y 80 puede ser construido de la siguiente manera. El conjunto de regiones, cada 8 nucleobases de longitud, S (m=8), en una secuencia de nucleobases objetivo de 100 nucleobases de longitud (L=100), que comienza en una posición 1 (n=1) de la secuencia de nucleobases objetivo, puede crearse utilizando la siguiente expresión:

$$S(8) = \{R_{1,8} | n \in \{1,2,3,...,93\} \}$$

y describe el conjunto de regiones que comprende las nucleobases 1-8, 2-9, 3-10, 4-11, 5-12, 6-13, 7-14, 8-15, 9-16, 10-17, 11-18, 12-19, 13-20, 14-21, 15-22, 16-23, 17-24, 18-25, 19-26, 20-27, 21-28, 22-29, 23-30, 24-31, 25-32, 26-33, 27-34, 28-35, 29-36, 30-37, 31-38, 32-39, 33-40, 34-41, 35-42, 36-43, 37-44, 38-45, 39-46, 40-47, 41-48, 42-49, 43-50, 44-51, 45-52, 46-53, 47-54, 48-55, 49-56, 50-57, 51-58, 52-59, 53-60, 54-61, 55-62, 56-63, 57-64, 58-65, 59-66, 60-67, 61-68, 62-69, 63-70, 64-71, 65-72, 66-73, 67-74, 68-75, 69-76, 70-77, 71-78, 72-79, 73-80, 74-81, 75-82, 76-83, 77-84, 78-85, 79-86, 80-87, 81-88, 82-89, 83-90, 84-91, 85-92, 86-93, 87-94, 88-95, 89-96, 90-97, 91-98, 92-99, 93-100.

Un conjunto adicional para regiones de 20 nucleobases de longitud, en una secuencia objetivo de 100 nucleobases de longitud, que comienza en la posición 1 de la secuencia de nucleobases objetivo, puede ser descrito usando la siguiente expresión:

$$S(20) = \left\{ R_{1,20} \middle| n \in \{1,2,3,...,81\} \right\}$$

y describe el conjunto de regiones que comprende las nucleobases 1-20, 2-21, 3-22, 4-23, 5-24, 6-25, 7-26, 8-27, 9-28, 10-29, 11-30, 12-31, 13-32, 14-33, 15-34, 16-35, 17-36, 18-37, 19-38, 20-39, 21-40, 22-41, 23-42, 24-43, 25-44, 26-45, 27-46, 28-47, 29-48, 30-49, 31-50, 32-51, 33-52, 34-53, 35-54, 36-55, 37-56, 38-57, 39-58, 40-59, 41-60, 42-61, 43-62, 44-63, 45-64, 46-65, 47-66, 48-67, 49-68, 50-69, 51-70, 52-71, 53-72, 54-73, 55-74, 56-75, 57-76, 58-77, 59-78, 60-79, 61-80, 62-81, 63-82, 64-83, 65-84, 66-85, 67-86, 68-87, 69-88, 70-89, 71-90, 72-91, 73-92, 74-93, 75-94, 76-95, 77-96, 78-97, 79-98, 80-99, 81-100.

Un conjunto adicional para regiones de 80 nucleobases de longitud, en una secuencia objetivo de 100 nucleobases de longitud, que comienza en la posición 1 de la secuencia de nucleobases objetivo, puede describirse usando la siguiente expresión:

$$S(80) = \left\{ R_{1,80} \middle| n \in \{1,2,3,...,21\} \right\}$$

y describe el conjunto de regiones que comprende las nucleobases 1-80, 2-81, 3-82, 4-83, 5-84, 6-85, 7-86, 8-87, 9-88, 10-89, 11-90, 12-91, 13-92, 14-93, 15-94, 16-95, 17-96, 18-97, 19-98, 20-99, 21-100.

Así, en este ejemplo, A incluiría las regiones 1-8, 2-9, 3-10...93-100, 1-20, 2-21, 3-22...81-100, 1-80, 2-81, 3-82...21-100.

La unión de estos conjuntos de ejemplo antes mencionados y otros conjuntos para longitudes de 10 a 19 y de 21 a 79 pueden ser descritos utilizando la expresión matemática

$$A=\bigcup_m S(m)$$

donde U representa la unión de los conjuntos obtenida combinando todos los miembros de todos los conjuntos.

40 Las expresiones matemáticas descritas aquí definen todas las regiones objetivo posible según una secuencia de nucleobases objetivo de cualquier longitud L, en donde las regiones de longitud m, y en donde m es mayor que o igual a 8 y menor que o igual a 80 nucleobases y, donde m es menor de L, y donde m es menor que L-m+1.

El efecto global de interferencia con la función ARNm es la modulación de la expresión de STAT3. En el contexto de esta invención "modulación" significa cualquier inhibición o estimulación; esto es, bien sea un descenso o incremento en la expresión. Esta modulación puede ser medida de maneras que son de rutina en la técnica, por ejemplo, la prueba de transferencia Northern de la expresión de ARNm, o PCR de transcriptasa reversa, como se enseña en los ejemplos de la presente invención o mediante transferencia Western o ensayo ELISA de la expresión de proteínas, o por un ensayo de transferencia de la expresión de proteínas. Los efectos sobre la proliferación celular o el crecimiento de células tumorales también pueden medirse, como se enseña en los ejemplos de la presente solicitud. La inhibición se prefiere actualmente.

Además de los efectos antisentido bien conocidos de los oligonucleótidos, también se ha encontrado que los análogos de nucleótidos que tienen al menos un enlace fosforotioato pueden inducir la estimulación de una respuesta inmune local. Esto se describe en la Patente de los Estados Unidos 5, 663,153. Este efecto inmunoestimulador no parece estar relacionado con ningún efecto antisentido el cual estos análogos de oligonucleótidos pueden o pueden no poseer. Estos análogos de oligonucleótidos son útiles como inmunopotenciadores, bien sea solos o en combinación con otras modalidades terapéuticas, tales como fármacos, particularmente fármacos antiinfecciosos y anticáncer, y procedimientos quirúrgicos para incrementar la eficacia. Además, los efectos antiinfecciosos y anticáncer ya poseídos por ciertos análogos de oligonucleótidos antisentido son potenciados a través de tal estimulación inmune.

También se ha encontrado que los análogos de oligonucleótidos que tienen al menos un enlace fosforotioato pueden ser utilizados para inducir la estimulación de una respuesta inmune sistémica o humoral. Así, estos oligonucleótidos útiles como inmunopotenciadores de una respuesta a anticuerpos, bien sea solos o en combinación con otras modalidades terapéuticas. Esto se describe en la Patente de los Estados Unidos No. 5, 663,153.

20

25

30

35

40

45

50

55

Se cree actualmente, por lo tanto, que además de los efectos antisentido de los oligonucleótidos direccionados a STAT3, los oligonucleótidos que contienen al menos un enlace de esqueleto fosforotioato pueden ser útiles en la iniciación de una respuesta inmune que puede agregarse al "efecto supresor" antitumoral ya observado con inhibidores negativos dominantes de la señalización de STAT3 (Niu et al., Cancer Res., 1999, 59, 5059-5063). Se cree que este efecto está relacionado con infiltración tumoral por células inflamatorias agudas y crónicas las cuales pueden participar en la matanza de células tumorales residuales. Así los efectos terapéuticos de los oligonucleótidos antisentido direccionados a STAT3 pueden ser potenciados por las propiedades inmunoestimuladoras de los oligonucleótidos mismos. Alternativamente, los oligonucleótidos pueden no ser direccionados a STAT3 pero los que contienen al menos una unión de esqueleto fosforotioato pueden ser utilizados como adyuvantes en combinación con antisentido u otros inhibidores de STAT3.

Los oligonucleótidos de esta invención pueden ser utilizados en diagnóstico, terapia, profilaxis y como reactivos de investigación y en kits. Puesto que los oligonucleótidos de esta invención hibridan a ácidos nucleicos que codifican STAT3, pueden construirse pruebas sándwich, colorimétricas y otras para explotar este hecho. La provisión de medios para detectar la hibridación de oligonucleótidos con el gen STAT3 o ARNm pueden lograrse de manera rutinaria. Tal previsión puede incluir la conjugación de enzimas, radiomarcación o cualquier otro sistema de detección adecuado. También puede prepararse kits para detección de la presencia o ausencia de STAT3.

La presente invención también es adecuada para diagnosticar estados inflamatorios anormales o ciertos cánceres en tejidos u otras muestras de pacientes de quienes se sospecha que tienen una enfermedad inflamatoria tal como artritis reumatoide o cánceres tales como cáncer de seno, cerebro o cabeza y cuello, melanomas, mielomas, leucemias y linfomas.

Puede formularse un cierto número de ensayos que comúnmente comprometen el contacto de una muestra de tejido con un oligonucleótido de la invención bajo condiciones seleccionadas para permitir la detección y, usualmente, la cuantificación de tal inhibición. En el contexto de esta invención, "poner en contacto" tejidos o células con un oligonucleótido u oligonucleótidos significa agregar los oligonucleótidos, usualmente en un vehículo líquido, a una suspensión celular o muestra de tejido, bien sea *in vitro* o *ex vivo*, o administrar los oligonucleótidos a las células o tejidos dentro de un animal.

Los oligonucleótidos de esta invención también pueden ser usados para propósitos de investigación. Así, la hibridación específica exhibida por los oligonucleótidos puede ser utilizada para ensayos, purificaciones, preparaciones de productos celulares y en otras metodologías que pueden ser apreciadas por personas de experiencia normal en la técnica.

En el contexto de esta invención, el término "oligonucleótido" se refiere a un oligómero o polímero de ácido ribonucleico o ácido desoxirribonucleico. Este término incluye oligonucleótidos compuestos de nucleobases de origen natural, azúcares y uniones interazúcar covalentes (esqueleto) así como oligonucleótidos que tienen porciones de origen no natural que funcionan de manera similar. Tales oligonucleótidos modificados o sustituidos son preferidos frecuentemente sobre las formas naturales por propiedades deseables tales como, por ejemplo, consumo celular potenciado, enlazamiento potenciado a un objetivo y estabilidad incrementada en la presencia de nucleasas.

Los compuestos antisentido de acuerdo con está divulgación comprenden preferiblemente desde aproximadamente 8 hasta aproximadamente 80 nucleobases (esto es, desde aproximadamente 8 hasta aproximadamente 80 nucleósidos enlazados). Una persona de experiencia normal en la técnica apreciará que la divulgación abarca compuestos de 8, 9, 10, 11, 12, 13, 14, 15, 16, 17, 18, 19, 20, 21, 22, 23, 24, 25, 26, 27, 28, 29, 30, 31, 32, 33, 34, 35, 36, 37, 38, 39, 40, 41, 42, 43, 44, 45, 46, 47, 48, 49, 50, 51, 52, 53, 54, 55, 56, 57, 58, 59, 60, 61, 62, 63, 64, 65, 66, 67, 68, 69, 70, 71, 72, 73, 74, 75, 76, 77, 78, 79, o 80 de nucleobases en longitud.

En una realización, los compuestos antisentido de la invención son de 12 a 50 nucleobases de longitud. Una persona que tenga experiencia normal en la técnica apreciará que esto abarca compuestos de 12, 13, 14, 15, 16, 17, 18, 19, 20, 21, 22, 23, 24, 25, 26, 27, 28, 29, 30, 31, 32, 33, 34, 35, 36, 37, 38, 39, 40, 41, 42, 43, 44, 45, 46, 47, 48, 49, o 50 nucleobases de longitud.

En una realización, los compuestos antisentido de la invención son de 13 a 40 nucleobases de longitud. Una persona que tenga experiencia normal en la técnica apreciará que esto abarca compuestos de 13, 14, 15, 16, 17, 18, 19, 20, 21, 22, 23, 24, 25, 26, 27, 28, 29, 30, 31, 32, 33, 34, 35, 36, 37, 38, 39 o 40 nucleobases de longitud.

En otra realización, los compuestos antisentido de la invención son de 15 a 30 nucleobases de longitud. Una persona de experiencia normal en la técnica apreciará que esto abarca compuestos de 15, 16, 17, 18, 19, 20, 21, 22, 23, 24, 25, 26, 27, 28, 29, o 30 nucleobases de longitud.

En una realización, los compuestos antisentido de la invención son de 19 a 25 nucleobases de longitud. Una persona de experiencia normal en la técnica apreciará que esto abarca compuestos de 19, 20, 21, 22, 23, 24, o 25 nucleobases de longitud.

20 En otra realización, los compuestos antisentido de la invención son de 19 a 21 nucleobases de longitud. Una persona de experiencia normal en la técnica apreciará que esto abarca compuestos de 19, 20 o 21 nucleobases de longitud.

Tal como se utiliza aquí, el término "compuesto oligomérico" se define como un compuesto polimérico que comprende sustancialmente subunidades monoméricas con base en ácidos nucleicos. Compuestos oligoméricos incluyen oligonucleótidos y sus análogos, imitadores o mimetizadores.

Mientras que la forma preferida del compuesto antisentido es un oligonucleótido antisentido de cadena sencilla, en muchas especies la introducción de estructuras de cadena doble, tales como moléculas de ARN de cadena doble (ARNds), ha demostrado inducir una reducción potente y mediada por antisentido específica de la función de un gen o sus productos genéticos asociados. Este fenómeno ocurre tanto en plantas como en animales y se cree que tiene una conexión evolutiva con la defensa viral y el silenciamiento de transposones.

La primera evidencia de que el ARNds podría llevar al silenciamiento de genes en animales apareció en 1995 a partir del trabajo en el nematodo, Caenorhabditis elegans (Guo y Kempheus, Cell, 1995, 81, 611-620). Montgomery et al., han demostrado que los efectos de interferencia primarios del ARNds son postranscripcionales (Montgomery et al., Proc.Natl. Acad. Sci. USA, 1998, 95, 15502-15507). El mecanismo antisentido postranscripcional definido en Caenorhabditis elegans resultante de la exposición a ARN de doble cadena (ARNds) ha sido designado desde entonces interferencia ARN (iARN). Este término ha sido generalizado para significar un silenciamiento de genes mediado por antisentido que involucra la introducción de ARNds que lleva a la reducción específica para la secuencia de niveles de ARNm direccionados endógenos (Fire et al., Nature, 1998, 391, 806-811). Recientemente, se ha demostrado que es, en efecto, los oligómeros de ARN de cadena sencilla de la polaridad de antisentido de los ARNds los que son inductores potentes de iARN (Tiisterman et al., 2002, 295, 694-697). También se contempla el uso de estas moléculas de ARN de cadena doble (ARN o ARNsi de interferencia corta) para direccionamiento e inhibición de la expresión de ARNm de STAT3. Estas moléculas de ARN de cadena doble apuntan a regiones similares a las apuntadas por oligonucleótidos antisentido y tienen efectos similares. Estas moléculas de ARN de cadena doble tienen generalmente 19 - 21 pares de bases de longitud, pero pueden variar entre 8 y 50 nucleobases. La producción de moléculas de ARNsi está descrita en un sentido general en los ejemplos previstos más abajo, pero será apreciado que cualquier ARNsi deseado direccionado a ŠTAT3 puede ser sintetizado por técnicas convencionales de síntesis de oligonucleótidos. Una vez que la secuencia de la cadena antisentido es conocida, se sintetiza la cadena de sentido complementario. Las cadenas sentido y antisentido se combinan entonces para formar el ARNsi.

Modificaciones de oligómeros y monómeros

5

10

15

25

30

35

40

45

55

Como es conocido en la técnica, un nucleósido es una combinación base-azúcar. La porción base del nucleósido normalmente es una base heterocíclica. Las dos clases más comunes de tales bases heterocíclicas son las purinas y las pirimidinas. Los nucleótidos son nucleósidos que incluyen adicionalmente un grupo fosfato enlazado covalentemente a la porción azúcar del nucleósido. Para aquellos nucleósidos que incluyen un azúcar pentafuranozilo, el grupo fosfato puede estar enlazado bien sea en la unidad estructural hidroxilo 2', 3' o 5' del azúcar. En la formación de oligonucleótidos, los grupos fosfato enlazan covalentemente los nucleósidos adyacentes a otra forma para formar un compuesto polimérico lineal. A su vez, los extremos respectivos de este compuesto

polimérico lineal pueden ser unidos adicionalmente para formar un compuesto circular, sin embargo, los compuestos lineales son preferidos en general. Además, los compuestos lineales pueden tener complementariedad de nucleobases interna y pueden por lo tanto plegarse de una manera que produce un compuesto total o parcialmente de cadena doble. Dentro de los oligonucleótidos los grupos fosfato son denominados comúnmente como formadores del enlaces internucleósido o en conjunción con el anillo de azúcar del esqueleto del oligonucleótido. El enlace internucleósido normal que constituye el esqueleto de la ARN y ADN es un enlace fosfodiéster 3' a 5'.

Enlaces internucleósido modificados

5

10

Ejemplos específicos de compuestos oligoméricos antisentido preferidos útiles en esta invención incluyen oligonucleótidos que contienen enlaces internucleósido modificados, por ejemplo de origen no natural. Como se define en esta especificación, los oligonucleótidos que tienen enlaces internucleósidos modificados incluyen enlaces internucleósido que retiene un átomo de fósforo y enlaces internucleósido que no tienen un átomo de fósforo. Para los propósitos de esta especificación, y como se referencia algunas veces en la técnica, los oligonucleótidos modificados que no tienen un átomo de fósforo en su esqueleto internucleósido también pueden ser considerados como oligonucleósidos.

- En el sistema *C. elegans*, la modificación del enlace internucleótido (fosforotioato) no interfiere significativamente con la actividad del iARN. Con base en esta observación, se sugiere que ciertos compuestos oligoméricos de la invención pueden tener también uno o más enlaces internucleósido modificados. Un enlace internucleósido modificado que contiene fósforo preferido es el enlace internucleósido fosforotioato.
- Los esqueletos de oligonucleótidos modificados preferidos que contienen un átomo de fósforo en los mismos incluyen, por ejemplo, fosforotioatos, fosforotioatos quirales, fósforo-ditioatos, fosfotriésteres, aminoalquilo fosfotriésteres, fosfanatos de metilo y otros alquilos incluyendo fosfonatos de 3'- alquileno, fosfonatos de 5'- alquileno y fosfonatos quirales, fosinatos, fosforamidatos incluyendo 3'- amino fosforamidato y aminoalquilo fosforamidatos, tionofosforamidatos, tionoalquilfosfonatos, tionoalquilfosfotriésteres, selenofosfatos y boranofosfatos que tienen enlaces normales 3' 5', análogos enlazados 2' 5' de estos, y aquellos que tengan polaridad invertida en donde uno o más enlaces internucleótidos son un enlace 3' a 3', 5' a 5' o 2' a 2'. Oligonucleótidos preferidos que tienen polaridad invertida comprenden un enlace 3' a 3' sencillo en el enlace de internucleótido más cercano a 3', esto es un residuo nucleósido invertido individual el cual puede ser abásico (la nucleobase falta o tiene un grupo hidroxilo en lugar de la misma). También se incluyen diversas sales, sales mixtas y formas ácido libres.
- Patente de los Estados Unidos representativas que enseñan la preparación de los anteriores enlaces que contienen fósforo incluyen, pero no se limitan a, US.: 3,687,808; 4,469,863; 4,476,301; 5,023,243; 5,177,196; 5,188,897; 5,264,423; 5,276,019; 5,278,302; 5,286,717; 5,321,131; 5,399,676; 5,405,939; 5,453,496; 5,455,233; 5,466,677; 5,476,925; 5,519,126; 5,536,821; 5,541,306; 5,550,111; 5,563,253; 5,571,799; 5,587,361; 5,194,599; 5,565,555; 5,527,899; 5,721,218; 5,672,697 y 5,625,050.
- En realizaciones más preferidas de la invención, los compuestos oligoméricos tienen uno o más enlaces internucleósido fosforotioato y/o heteroátomo, en particular -CHz-NH-O-CH2-, -CH2-N(CH3)-O-CH2- [conocido como esqueleto metilen (metilimino) o MMI], -CH2-O-N(CH3)-CH2-, -CH2-N(CH3)-N(CH3)-CH2- y -O-N(CH3)-CH2-[en donde el enlace internucleótido fosfodiéster original es representado como -O-P(=O)(OH)-O-CH2-]. Los enlaces internucleósido tipo MMI están divulgados en la Patente de los Estados Unidos mencionada antes 5, 489,677. Enlaces internucleósido amida preferidos están divulgados en la Patente de Estados Unidos antes citada 5, 602,240.
- Esqueletos oligonucleótidos modificados preferidos que no incluyen un átomo de fósforo en los mismos tienen esqueletos que son formados por enlaces internucleósido alquilo o cicloalquilo de cadena corta, enlaces internucleósido mixtos heteroátomo y alquilo o cicloalquilo, o uno o más enlaces internucleósido heteroátomicos o heterocíclicos de cadena corta. Estos incluyen los que tienen enlaces morfolino (formados en parte a partir de la porción azúcar de un nucleósido); esqueletos xilosano; esqueletos sulfuro, sulfóxido y sulfona; esqueletos formacetilo y tioformacetilo; esqueletos metilen formacetilo y tioformacetilo; esqueletos riboacetilo; esqueletos que contienen alqueno; esqueletos sulfamato; esqueletos metilen imino y metilen hidrazino; esqueletos sulfonato y sulfonamida; esqueletos amida; y otros que tienen partes componentes mixtas N, O, S y CH₂.
 - Patentes representativas de los Estados Unidos que enseñan la preparación de los oligonucleósidos anteriores incluyen, pero no se limitan a US.: 5,034,506; 5,166,315; 5,185,444; 5,214,134; 5,216,141; 5,235,033; 5,264,562; 5,264,564; 5,405,938; 5,434,257; 5,466,677; 5,470,967; 5,489,677; 5,541,307; 5,561,225; 5,596,086; 5,602,240; 5,610,289; 5,602,240; 5,608,046; 5,610,289; 5,618,704; 5,623,070; 5,663,312; 5,633,360; 5,677,437; 5,792,608; 5,646,269 y 5,677,439.

Imitadores de oligonucleótidos

50

Otro grupo de compuestos de la presente invención incluye imitadores de oligonucleótidos. El término imitador según se aplica a los oligonucleótidos pretende incluir compuestos oligoméricos en donde solamente el anillo furanosa o tanto el anillo furanosa como la unión internucleótidos son reemplazados con grupos novedosos, en reemplazo del grupo del anillo furanosa solamente también se denomina en la técnica como subrogado de azúcar.

La unidad estructural base heterocíclica o una unidad estructural base heterocíclica modificada se mantiene para hibridación con un ácido nucleico objetivo apropiado. Un tal compuesto oligomérico, un imitador de oligonucleótido que ha demostrado tener excelentes propiedades de hibridación se denomina como ácido nucleico peptídico (PNA). En los compuestos oligoméricos PNA, el esqueleto azúcar de un oligonucleótido es reemplazado con un esqueleto que contiene amida, en particular un esqueleto aminoetilglicina. Las nucleasas son retenidas y se enlazan directamente o indirectamente a los átomos de nitrógeno asa de la porción amida del esqueleto. Patentes de los Estados Unidos representativas que enseñan la preparación de compuestos oligoméricos PNA incluyen, pero no se limitan a US.: 5, 539,082; 5, 714,331; y 5, 719,262.

Puede encontrarse enseñanza adicional de compuestos oligoméricos PNA en Nielsen et al., Science, 1991, 254, 1497-1500.

Un imitador de oligonucleótido que ha sido reportado por tener propiedades de hibridación excelentes es un ácido nucleico peptídico (PNA). El esqueleto de los compuestos PNA es dos o más unidades aminotilglicina enlazadas lo cual da al PNA un esqueleto que contiene amida. Las unidades estructurales base heterocíclicas están enlazadas directa o indirectamente a átomos de nitrógeno aza de la porción amida del esqueleto. Patentes representativas de los Estados Unidos que enseñan la preparación de compuestos PNA incluyen, pero no se limitan a US.: 5, 539,082; 5, 714,331; y 5, 719,262. Enseñanzas adicionales sobre compuestos PNA pueden encontrarse en Nielsen et al., Science, 1991, 1497-1500.

Los PNA han sido modificados para incorporar numerosas modificaciones puesto que la estructura PNA básica fue preparada primero. La estructura básica se muestra a continuación:

en donde

Bx es una unidad estructural de base heterocíclica:

 T_4 es hidrógeno, un grupo protector de amino, -C(O)R₅, alquilo C1-C10 sustituido o no sustituido, alquinilo C2-C10 sustituido o no sustituido, alquinilo C2-C10 sustituido o no sustituido, alquilsulfonilo, arilsulfonilo, un grupo químico funcional, un grupo informador, un grupo conjugado, un D o L α-aminoácido enlazado a través del grupo α-carboxilo u opcionalmente a través del grupo ω-carboxilo cuando el aminoácido es ácido aspártico o ácido glutámico o un péptido derivado de aminoácidos D o L o mixtos D y L enlazados a través de un grupo carboxilo, en donde los grupos sustituyentes s son seleccionados de hidroxilo, amino, alcoxi, carboxi, bencilo, fenilo, nitro, tiol, tioalcoxi, halógeno, alquilo, arilo, alquenilo y alquinilo;

30 T₅ es -OH, -N(Z₁)Z₂, R₅, D o L α-aminoácido enlazado a través del grupo α-amino u opcionalmente a través del grupo ω-amino cuando el aminoácido es lisina o ornitina o un péptido derivado de aminoácidos D o L o mixtos D y L enlazados a través de un grupo amino, un grupo químico funcional, un grupo informador o un grupo conjugado;

Z₁ es hidrógeno, C₁-C₆ alquilo, o un grupo protector de amino;

Z₂ es hidrógeno, C₁-C₆ alquilo, un grupo protector de amino, -C(=O)-(CH₂)n-J-Z₃, un D o L α-aminoácido enlazado a través del grupo α-carboxilo u opcionalmente a través del grupo ω-carboxilo cuando el aminoácido es ácido aspártico o ácido glutámico o un péptido derivado de D, L o aminoácidos D o L o mixtos D y L enlazados a través de un grupo carboxilo;

Z₃ es hidrógeno, un grupo protector de amino, -C₁-C₆ alquilo, -C(=O)-CH₃, bencilo, benzoilo, o - (CH₂)n-N(H) Z₁;

cada J es O, S o NH;

40 R₅ es un grupo protector de carbonilo; y

n es desde 2 hasta aproximadamente 50.

Otra clase de imitador de oligonucleótidos que ha sido estudiada está basada en unidades morfolino enlazadas (ácido morfolino nucleico) que tiene bases heterocíclicas unidas al anillo morfolino. Se ha reportado un cierto número de grupos enlazantes que enlazan las unidades monoméricas morfolino en un ácido morfolino nucleico. Una clase preferida de grupos enlazantes ha sido seleccionada para dar un compuesto oligomérico no iónico. Los compuestos

25

45

5

10

15

oligoméricos no iónicos basados en morfolino tienen probablemente menos interacciones indeseadas con las proteínas celulares. Los compuestos oligoméricos basados en morfolino son imitadores no iónicos de oligonucleótidos que menos probablemente forman interacciones indeseadas con proteínas celulares (Dwaine A. Braasch y David R. Corey, Biochemistry, 2002, 41(14), 4503-4510). Los compuestos oligoméricos basados en morfolino son divulgados en la Patente de los Estados Unidos 5,034,506 concedida el 23 de julio de 1991. La clase morfolino de compuestos oligoméricos ha sido preparada con una variedad de grupos enlazantes uniendo las subunidades monoméricas.

Se han preparado ácidos morfolino nucleicos que tienen una variedad de diferentes grupos enlazantes (L₂) que unen las subunidades monoméricas. La fórmula básica se muestra a continuación:

10

20

25

5

en donde

T₁ es hidroxilo o un hidroxilo protegido;

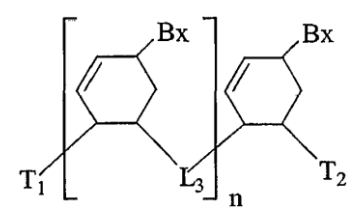
T₅ es hidrógeno o un fosfato o un derivado de fosfato;

L₂ es un grupo enlazante; y

15 n es desde 2 hasta aproximadamente 50.

Una clase adicional de imitador de oligonucleótidos se denomina como ácidos ciclohexenilo nucleicos (CeNA). El anillo furanosa presente normalmente en una molécula de ADN/ARN es reemplazado con un anillo ciclohenilo. Los monómeros CeNA DMT protegidos con fosforamidita han sido preparados y usados para la síntesis de compuestos oligoméricos siguiendo la química de fosforamidita clásica. Los compuestos oligoméricos de CeNA modificados y oligonucleótidos que tienen posiciones especificas modificadas con CeNA han sido preparados y estudiados (véase Wang et al., J. Am. Chem. Soc., 2000, 122, 8595-8602). En general la incorporación de monómeros CeNA en una cadena de ADN incrementa su estabilidad de un hibrido de ADN/ARN. Los oligoadenilatos de CeNA forman complejos con complementos de ARN y ADN con estabilidad similar a los complejos originales. El estudio de la incorporación de estructuras CeNA en estructuras de ácidos nucleicos naturales fue demostrado por RMN y dicroísmo circular para proceder con una adaptación conformacional fácil. Adicionalmente la incorporación de CeNA en un ARN de direccionamiento de secuencia fue estable al suero y capaz de activar la *E. coli* ARNasa dando como resultado la escisión de la cadena de ARN objetivo.

La fórmula general de CeNA se muestra a continuación:



30 en donde

35

cada Bx es una unidad estructural de base heterocíclica:

T₁ es hidroxilo o un hidroxilo protegido; y

T₂ es hidroxilo o hidroxilo protegido.

Otra clase de imitador de oligonucleótidos (ácido anhidrohexitol nucleico) puede prepararse a partir de uno o más nucleósidos anhidrohexitol (véase Wouters y Herdewijn, Bioorg. Med. Chem. Lett., 1999, 9, 1563-1566) y tendrían la fórmula general:

$$T_1$$
 D
 Bx
 D
 D
 Bx
 T_2

Una modificación preferida adicional incluye Ácidos Nucleicos Asegurados (LNA) en los cuales el grupo 2'-hidroxilo está enlazado al átomo de carbono 4' del anillo del azúcar formando por lo tanto un enlace 2'-C, 4'-C-oximetileno formando por lo tanto una unidad estructural azúcar bicíclica. El enlace es preferiblemente un grupo metileno (-CH₂-)_n que enlaza el átomo de oxígeno 2' y el átomo de carbono 4' en donde n es 1 o 2 (Singh et al., Chem. Commun., 1998, 4, 455-456). Los LNA y los análogos de LNA despliegan estabilidades térmicas dúplex muy altas con complementariedad de ADN y ARN (Tm = +3 a +10 C), estabilidad hacia la degradación 3'-exonucleolítica y buenas propiedades de solubilidad. La estructura básica de los LNA mostrando el sistema de anillo bicíclico se muestra a continuación:

10

15

20

25

30

35

5

Las conformaciones de los LNA determinadas por espectroscopía RMN 2D han demostrado que la orientación asegurada de los nucleótidos de LNA, tanto en LNA de cadena sencilla como en dúplex, restringe el esqueleto de fosfato de tal manera que introduce una población más alta de la conformación tipo N (Peterson et al., J. Mo. Recognit., 200, 13, 44-53). Estas conformaciones están asociadas con un apilamiento mejorado de las nucleobases (Wengel et al., Nucleosides Nucleótidos, 1999, 18, 1365-1370).

Los LNA han demostrado formar dúplex LNA:LNA excesivamente estables (Koshkin et al., J. Am. Chem. Soc., 1998, 120, 13252-13253). Se demostró que la hibridación LNA:LNA era el sistema dúplex tipo ácido nucleico más estable térmicamente, y el carácter imitador de ARN de los LNA fue establecido a nivel de dúplex. La introducción de tres monómeros de LNA (T o A) incrementó significativamente los puntos de fusión (Tm = +15/+11) hacia los complementos de ADN. La universalidad de la hibridación mediada por LNA ha sido cuestionada por la formación de dúplex LNA:LNA excesivamente estable. La imitación de ARN de los LNA fue reflejada con respecto a la restricción conformacional tipo N de los monómeros y a la estructura secundaria del dúplex LNA:ARN.

Los LNA también forman dúplex con ADN, ARN o LNA con afinidades térmicas altas. Los espectros de dicroísmo circular (CD) muestran que los dúplex que involucran LNA modificado completamente (esp. LNA:ARN) recuerda estructuralmente un dúplex ARN:ARN de forma A. Un examen por resonancia magnética nuclear (RMN) de un dúplex LNA:ADN confirmó la conformación 3' endo de un monómero LNA. El reconocimiento de ADN de cadena doble también ha sido demostrado sugiriendo la invasión de cadena por el LNA. Estudio de secuencias no coincidentes muestra que los LNA obedecen las reglas de apareamiento de bases de Watson-Crick con una selectividad en general mejorada en comparación con las cadenas de referencia no modificadas correspondientes.

Tipos novedosos de compuestos oligoméricos de LNA, así como los LNA, son útiles en un amplio rango de aplicaciones diagnósticas y terapéuticas. Entre estas están las aplicaciones antisentido, las aplicaciones PCR, los oligómeros para desplazamiento de cadena, sustratos para polimerasas de ácidos nucleico y generalmente como fármacos basados en nucleótidos. Se han descrito oligonucleótidos antisentido potentes y no tóxicos que contienen LNA (Wahlested et al., Proc. Natl. Acad. Sci. U. S. A., 2000, 97, 5633-5638). Los autores han demostrado que los LNA confieren varias propiedades deseadas a agentes antisentido. Los copolímeros LNA/ADN no fueron degradados rápidamente en suero sanguíneo y en extractos celulares. Los copolímeros LNA/ADN exhibieron potente actividad antisentido en sistemas de prueba tan diversas como señalizaciones al receptor acoplado a proteínas G en cerebro de ratas vivas y detección de genes informadores en *Escherichia coli*. La administración eficiente mediada por LIPOFECTINTM de LNA en células de cáncer de seno humano vivas también fue lograda.

Han sido descritas la síntesis y preparación de los monómeros LNA de adenina, citosina, guanina, 5-metil-citosina, timina y uracilo, junto con su oligomerización, y las propiedades de reconocimiento de ácido nucleico (Koshkin et al.,

Tetrahedron, 1998, 54, 3607-3630). Los LNA y la preparación de los mismos también fueron descritas en WO 98/39352 y WO 99/14226.

También han sido preparados los primeros análogos de LNA, fosforotioato-LNA y 2'-tio-LNA (Kumar et al., Bioorg. Med. Chem. Lett., 1998, 8, 2219-2222). También ha sido descrita la preparación de análogos de nucleósidos asegurados que contienen dúplex oligodesoxirribonucleótidos como sustratos para polimerasas de ácido nucleico (Wengel et al., solicitud Internacional PCT WO 98-DK393 19980914). Adicionalmente, se ha descrito la síntesis de 2'-amino-LNA, un novedoso oligonucleótido de alta afinidad conformacionalmente restringido con un asa (Singh et al., J. Org. Chem., 1998, 63, 10035-10039). Además, se ha preparado 2'-amino- y 2'-metilamino-LNA y se ha reportado previamente la estabilidad térmica de sus dúplex con cadenas de complementariedad de ARN y ADN.

Se han preparado imitadores de oligonucleótidos adicionales para incluir análogos de nucleósidos bicíclicos y tricíclicos que tiene las fórmulas (se muestran monómeros de amidita):

(véase Steffens et al., Helv. Chim. Acta, 1997, 80, 2426-2439; Steffens et al., J. Am. Chem. Soc., 1999, 121, 3249-3255; y Renneberg et al., J. Am. Chem. Soc., 2002, 124, 5993-6002). Estos análogos de nucleósidos modificados han sido oligomerizados utilizando la metodología de fosforamidita y los compuestos oligoméricos resultantes que contienen análogos de nucleósidos tricíclicos han demostrado estabilidades térmicas incrementadas (Tm) cuando se hibridan a ADN, ARN y así mismos. Los compuestos oligoméricos que contienen análogos de nucleósidos bicíclicos han demostrado estabilidades térmicas que se aproximan a las de los dúplex de ADN.

Otra clase de imitador de oligonucleótido se denomina como ácidos nucleicos fosfomonoésteres incorporan un grupo fósforo en un esqueleto. Se reporta que esta clase de imitador de oligonucleótido tiene propiedades físicas y biológicas y farmacológicas útiles en las áreas de la inhibición de expresión genética (oligonucleótidos antisentido, ribozimas, oligonucleótidos en sentido y oligonucleótidos formadores de tripletes), como son los usados para la detección de ácidos nucleicos y como auxiliares para uso en biología molecular.

La fórmula general (para definición de las variables de Markush véase: Patente de los Estados Unidos 5,874,553 y 6,127,346) se muestra a continuación.

$$Q \xrightarrow{Z} \underset{Y}{\overset{R_5}{\underset{R_6}{\bigwedge}}} \overset{A}{\overset{B}{\underset{D}{\underset{D}{\bigvee}}}} G \xrightarrow{Z} \underset{R_6}{\overset{A}{\underset{D}{\underset{D}{\underset{D}{\underset{A}{\longleftarrow}}}}}} \overset{B}{\underset{R_6}{\underset{D}{\underset{A}{\longleftarrow}}}} \overset{A}{\underset{B}{\underset{B}{\longleftarrow}}} \overset{B}{\underset{B}{\underset{A}{\longleftarrow}}} \overset{A}{\underset{B}{\longleftarrow}} \overset{B}{\underset{B}{\underset{A}{\longleftarrow}}} \overset{A}{\underset{B}{\longleftarrow}} \overset{B}{\underset{B}{\longleftarrow}} \overset{A}{\underset{B}{\longleftarrow}} \overset{A}{\underset{B}{\longleftarrow}} \overset{B}{\underset{B}{\longleftarrow}} \overset{A}{\underset{B}{\longleftarrow}} \overset{A}{\underset{B}{\overset{A}{\longleftarrow}} \overset{A}{\underset{B}{\longleftarrow}} \overset{A}{\underset{B}{\overset{A}{\longleftarrow}} \overset{A}{\underset{B}{\longleftarrow}} \overset{A}{\underset{B}{\longleftarrow}} \overset{A}{\underset{B}{\overset{A}{\longleftarrow}} \overset{A}{\underset{B}{\overset{A}{\longleftarrow}}} \overset{A}{\underset{B}{\overset$$

Se ha reportado otro imitador de oligonucleótidos en donde el anillo furanozilo ha sido reemplazado por una unidad estructural ciclobutilo.

Azúcares modificados

5

15

25

30

35

40

 conocido como 2'-DMAOE, como se describe en los ejemplos aquí más adelante, y 2'-dimetilamino-etoxietoxi (también conocido en el arte como 2'-O-dimetil-amino-etoxi-etilo o 2'-DMAEOE), i.e., 2'-O-CH₂-O-CH₂-N(CH₃)₂.

Otros grupos sustituyentes de azúcar preferidos incluyen metoxi (-O-CH₃), aminopropoxi (-OCH₂CH₂CH₂NH₂), alilo (-CH₂-CH=CH₂, -O-allilo (-O-CH₂-CH=CH₂) y fluoro (F). Grupos sustituyentes 2'-azúcar pueden estar en la posición arabino (arriba) o posición ribo (abajo). Una modificación 2'-arabino preferida es 2'-F. Pueden hacerse también modificaciones similares en otras posiciones del compuesto oligomérico, particularmente en la posición 3' del azúcar sobre el nucleósido 3' terminal o en oligonucleótidos enlazados en 2' - 5' y en la posición 5' del nucleótido 5' terminal. Los compuestos oligoméricos también pueden tener imitadores de azúcar tales como unidades estructurales ciclobutilo en lugar del azúcar pentafuranozilo. Patentes representativas de los Estados Unidos que enseñan la preparación de tales estructuras de azúcar modificadas incluyen, pero no se limitan a, US: 4,981,957; 5,118,800; 5,319,080; 5,359,044; 5,393,878; 5,446,137; 5,466,786; 5,514,785; 5,519,134; 5,567,811; 5,576,427; 5,591,722; 5,597,909; 5,610,300; 5,627,053; 5,639,873; 5,646,265; 5,658,873; 5,670,633; 5,792,747; y 5,700,920.

Grupos sustituyentes azúcar representativos adicionales incluyen grupos de fórmula Ia o IIa:

$$-R_{b} \left\{ (CH_{2})_{ma} \cdot O \left(\begin{matrix} R_{k} \\ N \end{matrix} \right)_{mb} \right\}_{mc} (CH_{2})_{md} - R_{d} - R_{e} R_{i} R_{j} R_{j} R_{j}$$
Ia

IIa

15 en donde

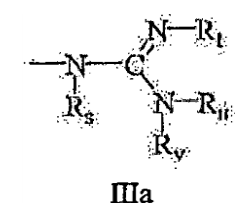
5

10

R_b es O, S o NH;

 R_d es un enlace sencillo, O, S o C(=O);

 R_e es C_1 - C_{10} alquilo, $N(R_k)$ (R_m), N(Rk)(R_n), $N=C(R_p)(R_q)$, $N=C(R_p)(R_r)$ o tiene la fórmula IIIa;



20 R_p y R_q son cada uno independientemente hidrógeno o C₁-C₁₀ alquilo;

 R_r es $-R_x-R_y$;

25

35

cada R_s, R_c, R_u y R_v es, independientemente, hidrógeno, C(O)R_w, alquilo C1-C10 sustituido o no sustituido, alquenilo C2-C10 sustituido o no sustituido, alquinilo C2-C10 sustituido o no sustituido, alquinilo C2-C10 sustituido o no sustituido, alquilsulfonilo, arilsulfonilo, un grupo químico funcional o un grupo conjugado, en donde los grupos sustituyentes son seleccionados de hidroxilo, amino, alcoxi, carboxi, bencilo, fenilo, nitro, tiol, tioalcoxi, halógeno, alquilo, arilo, alquenilo y alquinilo; u opcionalmente, Ru y Rv, forman juntos una unidad estructural ftalimido con el átomo de nitrógeno al cual están unidos; cada Rw es, independientemente, alquilo C1-C10 sustituido o no sustituido, trifluorometilo, cianoetiloxi, metoxi, etoxi, t-butoxi, aliloxi, 9-fluorenilmetoxi, 2-(trimetilsilil)-etoxi, 2,2,2-tricloroetoxi, benciloxi, butirilo, iso-butirilo, fenilo o arilo;

R_k es hidrógeno, un grupo protector de nitrógeno o -R_x-R_y;

30 R_p es hidrógeno, un grupo protector de nitrógeno o -R_x-R_y;

R_x es un enlace o una unidad estructural enlazante;

R_v es un grupo químico funcional, un grupo conjugado o un medio sólido de soporte;

cada $R_{m\,y}\,R_n$ es, independientemente, H, un grupo protector de nitrógeno, C_1 - C_{10} alquilo sustituido o no sustituido, alquenilo C2-C10 sustituido o no sustituido, alquinilo C2-C10 sustituido o no sustituido, en donde los grupos sustituyentes son seleccionados de hidroxilo, amino, alcoxi, carboxi, bencilo, fenilo, nitro, tiol, tioalcoxi, halógeno, alquilo, arilo, alquenilo, alquinilo; NH_3 +, $N(R_u)$ (R_v), guanidino y acilo donde dicho acilo es una amida o un éster de ácido:

o R_m y R_n , juntos, son un grupo protector de nitrógeno, están unidos en una estructura de anillo que incluye opcionalmente un heteroátomo adicional seleccionado de N y O o son un grupo químico funcional;

 R_i es OR_z , SR_z , o $N(R_z)_2$;

cada R_z es, independientemente, H, C₁-C₈ alquilo, C₁-C₈ haloalquilo, C(=NH)N(H)R_u, C(=O)N(H)R_u o OC(=O)N(H)R_u;

R_f, R_g y R_h comprenden un sistema de anillo que tiene desde aproximadamente 4 hasta aproximadamente 7 átomos de carbono o que tiene desde aproximadamente 3 hasta aproximadamente 6 átomos de carbono y 1 o 2 heteroátomos en donde dichos heteroátomos son seleccionados de oxígeno, nitrógeno y azufre en donde dicho sistema de anillos alifático, alifático insaturado, aromático, o heterocíclico saturado o no saturado;

 R_j es alquilo o haloalquilo que tiene de 1 a 10 átomos de carbono, alquenilo que tiene de 2 a aproximadamente 10 átomos de carbono, alquinilo que tiene de 2 a aproximadamente 10 átomos de carbono, alilo que tiene de 6 a aproximadamente 14 átomos de carbono, $N(R_k)$ (R_m) OR_k , halo, SR_k o CN;

10 m_a es 1 hasta aproximadamente 10;

cada mb es, independientemente, 0 o 1;

mc es 0 o un entero de 1 a 10;

md es un entero de 1 a 10;

me es de 0, 1 o 2; y

20

25

30

35

40

con la condición de que cuando mc es 0, md es mayor que 1.

Grupos sustituyentes representativos de la fórmula I están divulgados en la Solicitud de Patente de los Estados Unidos Series No. 09/130,973, presentada el 7 de agosto de 1998, titulada "2'-Oxietoxi Oligonucleótidos cubiertos".

Grupos sustituyentes cíclicos representativos de la fórmula II se divulgan en la Solicitud de Patente de los Estados Unidos Serie No. 09/123,108, presentada el 27 de julio de 1998, titulada "Compuestos 2'-Oligoméricos direccionados a ARN que son preorganizados conformacionalmente".

Grupos sustituyente azúcar preferidos particularmente incluyen $O[(CH_2)nO]_mCH_3$, $O(CH_2)nOCH_3$, $O(CH_2)_nOH_2$, $O(CH_2)_nOH_2$, $O(CH_2)_nOH_2$, $O(CH_2)_nOH_2$, $O(CH_2)_nOH_3$, $O(CH_$

Grupos guanidinos sustituyentes representativos que se muestran en las fórmulas III y IV son divulgados en la Solicitud de Patente de los Estados Unidos coposeída 09/349,040, titulada "Oligómeros funcionalizados", presentada el 7 de julio de 1999.

Grupos sustituyentes acetamido representativos están divulgados en la Patente de los Estados Unidos 6,147,200 la cual se incorpora aquí como referencia en su totalidad.

Grupos sustituyentes dimetilaminoetiloxietilo representativos están divulgados en la Solicitud de Patente Internacional PCT/US99/17895, titulada "Compuestos oligoméricos de 2'-O-Dimetilaminoetiloxietilo", presentada el 6 de agosto de 1999.

Nucleobases modificadas/nucleobases de origen natural

Los compuestos oligoméricos pueden incluir también nucleobases (denominadas frecuentemente en la técnica simplemente como "bases" o "unidad estructural de base heterocíclica") con modificaciones o sustituciones. Tal como se utiliza aquí, nucleobases "no modificadas" o "naturales" incluyen las bases purínicas adenina (A) y guanina (G), y las bases pirimidinicas timina (T), citosina (C) y uracilo (U). Las nucleobases modificadas también denominadas aquí como unidades estructurales de bases heterocíclicas incluyen otras nucleobases sintéticas y naturales tales como 5-metilcitosina (5-me-C), 5-hidroximetilo citosina, xantina, hipoxantina, 2-aminoadenina, 6-metilo y otros derivados alquílicos de adenina y guanina, 2-propilo y otros derivados alquílicos de adenina y guanina, 2-tiouracilo, 2-tiotimina y 2-tiocitosina, 5-halouracilo y citosina, 5-propinilo (-C≡C-CH₃) uracilo y citosina y otros derivados alquinílicos de bases pirimidinicas, 6-azo uracilo, citosina y timina, 5-uracilo (pseudouracil), 4-tiouracilo, 8-halo, 8-amino, 8-tiol, 8-tioalquilo, 8-hidroxilo y otras adeninas y guaninas sustituidas en 8, 5-halo, particularmente 5-bromo, 5-trifluorometilo y otros uracilos y citosinas sustituidos en 5, 7-metilguanina y 7-metiladenina, 2-F-adenina, 2-amino-adenina, 8-azaguanina y 8-azaadenina, 7-deazaguanina y 7-deazaadenina y 3-deazaguanina y 3-deazaadenina.

Unidades estructurales de bases heterocíclicas pueden incluir también aquellas en las cuales la base purínica o pirimidínica es reemplazada con otros heterociclos, por ejemplo, 7-desaza adenina, 7-desazaguanosina, 2-aminopiridina y 2-piridona. Nucleobases adicionales incluyen aquellas descritas en la Patente de los Estados Unidos No. 3,687,808, las divulgadas en The Concise Enciclopedia Of Polimer Science and Engineering, páginas 858-859, Kroschwitz, J.I., ed. John Wiley & Sons, 1990, las divulgadas por Englisch et al., Angewandte Chemie, International Edition, 1991, 30, 613, y las divulgadas por Sanghvi, Y.S., Chapter 15, Antisense Research and Applications, páginas 289-302, Crooke, S.T. and Lebleu, B., ed., CRC Press, 1993. Algunas de estas nucleobases son

particularmente útiles para el incremento de la afinidad de enlazamiento de los compuestos oligoméricos de la invención. Estas incluyen pirimidinas sustituidas en 5, 6-azapirimidinas y purinas sustituidas en N-2, N-6 y O-6, incluyendo 2-aminopropil-adenina, 5-propiniluracilo y 5-propinilcitosina. Las sustituciones en 5-metilcitosina han demostrado incrementar la estabilidad dúplex de ácidos nucleicos en 0.6 - 1.2°C (Sanghvi, Y.S., Crooke, S.T. y Lebleu, B., eds., Antisense Research y Applications, CRC Press, Boca Raton, 1993, pp. 276-278) y son actualmente sustituciones en bases preferidas, incluso más particularmente en combinaciones con 2'-O-metoxietilo azúcares.

5

10

30

35

40

45

En un aspecto de la presente invención, se preparan compuestos oligoméricos que tienen compuestos heterocíclicos policíclicos en lugar de una o más unidades estructurales de bases heterocíclicas. Un cierto número de compuestos heterocíclicos tricíclicos han sido reportados previamente. Estos compuestos son utilizados rutinariamente en aplicaciones antisentido para incrementar las propiedades de enlazamiento de la cadena modificada a una cadena objetivo. Las modificaciones más estudiadas están dirigidas a guanosinas por lo cual han sido denominadas pinzas G o análogos de citidina. Muchos de esos compuestos heterocíclicos policíclicos tienen la fórmula general:

Análogos de citosina representativos que tienen 3 enlaces de hidrógeno con una guanosina en una segunda cadena incluyen 1,3-diazafenoxazine-2-ona (R₁₀ = O, R₁₁ - R₁₄= H) [Kurchavov, et al., Nucleosides y Nucleótidos, 1997, 16, 1837-1846], 1,3-diazafenotiazine-2-ona (R₁₀= S, R₁₁ - R₁₄= H), [Lin, K.-Y.; Jones, R. J.; Matteucci, M. J. Am. Chem. Soc. 1995, 117, 3873-3874] y 6, 7, 8, 9-tetrafluoro-1,3-diazafenoxazine-2-ona (R₁₀ = O, R₁₁ - R₁₄ = F) [Wang, J.; Lin, K.-Y., Matteucci, M. Tetrahedron Lett. 1998, 39, 8385-8388]. Incorporadas en estos oligonucleótidos estas modificaciones en las bases demostraron hibridar con guanina complementaria y esta última también demostró hibridar con adenina y potenciar la estabilidad térmica helicoidal extendiendo las interacciones de apilamiento (véase también la solicitud de Patente de los Estados unidos titulada "Ácidos nucleicos peptídicos modificados" presentada el 24 de mayo de 2002, número de serie 10/155,920; y Solicitud de Patente de los Estados Unidos titulada "Oligonucleótidos quiméricos resistentes a nucleasa" presentada el 24 de mayo de 2002, número de serie 10/013,295).

Se han observado propiedades estabilizadoras de la hélice adicionales cuando un análogo/sustituto de citosina tiene una unidad estructural aminoetoxi unida al andamio rígido 1,3-diazafenox-azina-2-ona ($R_{10} = O$, $R_{11} = -O-(CH_2)_2-NH_2$, $R_{12^-14}=H$) [Lin, K.-Y.; Matteucci, M. J. Am. Chem. Soc. 1998, 120, 8531-8532]. Estudios de enlazamiento demostraron que una incorporación individual podría potenciar la afinidad de enlazamiento de un oligonucleótido modelo a su ADN o ARN objetivo complementario con una ΔT_m de hasta 18° con respecto a la 5-metilo citosina ($dC5^{me}$), el cual es el potenciamiento de afinidad más alto conocido para una modificación individual hasta ahora. Por otro lado, la ganancia en estabilidad helicoidal no compromete la especificidad de los oligonucleótidos. Los datos de T_m indican una discriminación aún mayor entre la coincidencia perfecta y las secuencias no coincidentes en comparación con $dC5^{ma}$. Se sugirió que el grupo amino enlazado sirve como enlace de hidrógeno adicional donante para interactuar con el lado Hoogsteen, a saber el 06, de una guanina complementaria formando por lo tanto 4 enlaces de hidrógeno. Esto significa que la afinidad incrementada de la pinza G es mediada por la combinación del apilamiento de bases extendido y el enlazamiento de hidrógeno específico adicional.

Compuestos heterocíclicos triciclos y métodos adicionales para utilizarlos que son compatibles con la presente invención están divulgados en la Patente de los Estados Unidos serie número 6, 028,183, la cual fue concedida el 22 de mayo de 2000, y la Patente de los Estados Unidos serie número 6,007,992.

La afinidad de enlazamiento potenciada de los derivados de fenoxacina junto con su especificidad de secuencia no comprometida los hace análogos de nucleobases valiosos para el desarrollo de fármacos basados en antisentido más potentes. En efecto, se han derivado datos prometedores de experimentos *in vitro* que demuestran que heptanucleótidos que contienen sustituciones de fenozacina son capaces de activar la RNasaH, potenciar el consumo celular y exhibir una actividad antisentido incrementada [Lin, K-Y; Matteucci, M. J. Am. Chem. Soc. 1998, 120, 8531-8532]. El potenciamiento de la actividad fue incluso más pronunciado en el caso de la pinza G, como una sustitución simple que demostró mejorar significativamente la potencia *in vitro* de un oligonucleótido de 2'desoxifosforotioato 20mero [Flanagan, W. M.; Wolf, J.J.; Olson, P.; Grant, D.; Lin, K.-Y.; Wagner, R. W.; Matteucci, M. Proc. Natl. Acad. Sci. USA, 1999, 96, 3513-3518]. No obstante, para optimizar el diseño de oligonucleótidos y

entender mejor el impacto de estas modificaciones heterocíclicas sobre la actividad biológica, es importante evaluar su efecto sobre la estabilidad a la nucleasa de los oligómeros.

Compuestos heterocíclicos policíclicos modificados adicionales útiles como bases heterocíclicas están divulgadas pero no se limitan a, en la antes anotada U.S. 3,687,808, así como en U.S.: 4,845,205; 5,130,302; 5,134,066; 5,175,273; 5,367,066; 5,432,272; 5,434,257; 5,457,187; 5,459,255; 5,484,908; 5,502,177; 5,525,711; 5,552,540; 5,587,469; 5,594,121, 5,596,091; 5,614,617; 5,645,985; 5,646,269; 5,750,692; 5,830,653; 5,763,588; 6,005,096; y 5,681,941 y la Solicitud de Patente de los Estados Unidos número de serie 09/996,292 presentada el 28 de noviembre de 2001.

Los oligonucleótidos de la presente invención también incluyen variantes en los cuales una base diferente está presente en una o más de las posiciones de nucleótidos en el oligonucleótido. Por ejemplo, si el primer nucleótido es una adenosina, pueden producirse variantes que contienen timidina, guanosina o citidina en esta posición. Esto puede hacerse en cualquiera de las posiciones del oligonucleótido. Estos oligonucleótidos son probados entonces utilizando los métodos descritos aquí para determinar su capacidad de inhibir la expresión de STAT3.

Conjugados

5

45

50

55

60

15 Una sustitución preferida adicional que puede ser anexada a los compuestos oligoméricos de la invención involucra el enlazamiento de unas o más unidades estructurales o conjugadas que potencian la actividad, distribución celular o consumo celular de los compuestos oligoméricos resultantes. En una realización tales compuestos oligoméricos modificados se preparan uniendo covalentemente grupos conjugados a grupos funcionales tales como grupos hidroxilo o amino. Los grupos conjugados de la invención incluyen intercaladores, moléculas informadoras, 20 poliaminas, poliamidas, polietilen glicoles, poliéteres, grupos que potencian las propiedades farmacodinámicas de los oligómeros, y grupos que potencian las propiedades farmacocinéticas de los oligómeros. Grupos conjugados típicos incluyen colesteroles, lípidos, fosfolípidos, biotina, fenazina, folato, fenantridina, antraquinona, acridina, fluoresceínas, rodaminas, cumarinas y colorantes. Grupos que potencian las propiedades farmacodinámicas en el contexto de esta invención, incluyen grupos que potencian el consumo de oligómeros, potencian la resistencia del 25 oligómero a la degradación, y/o fortalecen la hibridación específica de secuencia con ARN. Grupos que potencian las propiedades farmacocinéticas, en el contexto de esta invención, incluyen grupos que mejoran el consumo, distribución, metabolismo o excreción de oligómeros. Grupos conjugados representativos se divulgan en la Solicitud Internacional de Patente PCT/US 92/09196, presentada el 23 de octubre de 1992. Unidades estructurales conjugadas incluyen pero no se limitan a unidades estructurales lipídicas tales como una unidad estructural 30 colesterol (Letsinger et al., Proc. Natl. Acad. Sci. USA, 1989, 86, 6553-6556), ácido cólico (Manoharan et al., Bioorg. Med. Chem. Let., 1994, 4, 1053-1060), un tioéter, por ejemplo, hexil-S-tritiltiol (Manoharan et al., Ann. N.Y. Acad. Sci., 1992, 660, 306-309; Manoharan et al., Bioorg. Med. Chem. Let., 1993, 3, 2765-2770), un tiocolesterol (Oberhauser et al., Nucl. Acids Res., 1992, 20, 533-538), una cadena alifática, por ejemplo residuos dodecandiol o undecilo (Saison-Behmoaras et al., EMBO J., 1991, 10, 1111-1118; Kabanov et al., FEBS Lett., 1990, 259, 327-330; 35 Svinarchuk et al., Biochimie, 1993, 75, 49-54), un fosfolípido, por ejemplo di-hexadecil-rac-glicerol o trietilamonio, 1,2-di-O-hexadecil-rac-glicerol-3-H-fosfonato (Manoharan et al., Tetrahedron Lett., 1995, 36, 3651-3654; Shea et al., Nucl. Acids Res., 1990, 18, 3777-3783), una poliamina o una cadena de polietilen glicol (Manoharan et al., Nucleosides & Nucleótidos, 1995, 14, 969-973), o ácido adamantano acético (Manoharan et al., Tetrahedron Lett., 1995, 36, 3651-3654), una unidad estructural palmitilo (Mishra et al., Biochim. Biophys. Acta, 1995, 1264, 229-237), 40 o una unidad estructural octadecilamina o hexilamino-carbonil-oxicolesterol (Crooke et al., J. Pharmacol. Exp. Ther., 1996, 277, 923-937.

Los compuestos oligoméricos de la invención también pueden ser conjugados a sustancias farmacoactivas, por ejemplo, aspirina, warfarina, fenilbutazona, ibuprofeno, suprofeno, fenbufeno, naproxeno, quetoprofeno, (S)-(+)-pranoprofeno, carprofeno, dancilo sarcocina, ácido 2,3,5-triyodobenzoico, ácido flufenámico, ácido folínico, una benzotiadiazida, clorotiazida, una diazepina, indometicina, un barbiturato, una cefalosporina, un fármaco sulfa, un antidiabético, un antibacteriano o un antibiótico. Conjugados oligonucleótido-fármaco y su preparación están descritos en la Solicitud de Patente de los Estados Unidos 09/334,130 (presentada el 15 de junio de 1999).

Patentes de los Estados Unidos representativas que enseñan la preparación de tales conjugados de oligonucleótidos incluyen, pero no se limitan a, U.S.: 4,828,979; 4,948,882; 5,218,105; 5,525,465; 5,541,313; 5,545,730; 5,552,538; 5,578,717, 5,580,731; 5,580,731; 5,591,584; 5,109,124; 5,118,802; 5,138,045; 5,414,077; 5,486,603; 5,512,439; 5,578,718; 5,608,046; 4,587,044; 4,605,735; 4,667,025; 4,762,779; 4,789,737; 4,824,941; 4,835,263; 4,876,335; 4,904,582; 4,958,013; 5,082,830; 5,112,963; 5,214,136; 5,082,830; 5,112,963; 5,214,136; 5,245,022; 5,254,469; 5,258,506; 5,262,536; 5,272,250; 5,292,873; 5,317,098; 5,371,241, 5,391,723; 5,416,203, 5,451,463; 5,510,475; 5,512,667; 5,514,785; 5,565,552; 5,567,810; 5,574,142; 5,585,481; 5,587,371; 5,595,726; 5,597,696; 5,599,923; 5,599,928 y 5,688,941, cada uno de los cuales se incorpora aquí como referencia.

Los compuestos oligoméricos utilizados en la composición de la presente invención también pueden ser modificados para tener uno o más grupos estabilizadores que en general están unidos a uno o ambos terminales de los compuestos oligoméricos para potenciar las propiedades tales como por ejemplo estabilidad a la nucleasa. Incluidas en los grupos estabilizantes están las estructuras de cobertura. Por "estructura de cobertura o unidad estructural de cobertura terminal" se entienden modificaciones químicas que han sido incorporadas en cualquiera de los terminales

de los oligonucleótidos (véase por ejemplo Wincott et al., WO 97/26270). Estas modificaciones terminales protegen los compuestos oligoméricos que tienen moléculas de ácidos nucleicos terminales frente a la degradación por exonucleasas, y pueden ayudar en la administración y/o localización dentro de una célula. La cobertura puede estar presente en el terminal 5' (cobertura 5') o en el terminal 3' (cobertura 3') o puede estar presente en ambos terminales. En ejemplos no limitantes, la cobertura 5' incluye residuos abásicos invertidos (unidades estructurales), nucleótido 4', 5'-metileno; 1-(beta-D-eritrofuranosil) nucleótido, 4'-tio nucleótido, nucleótido carbocíclico; 1,5-anhidrohexitol nucleótido; L-nucleótidos; alfanucleótidos; nucleótido base modificado; enlace fosforoditioato; nucleótido treo-pentofuranosilo; nucleótido acíclico 3',4'-seco; nucleótido acíclico 3,4-dihidroxibutilo; ribonucleótido acíclico 3,5-dihidroxipentilo, unidad estructural nucleótido 3'-3'-invertido; unidad estructural abásica 3'-3'-invertida; unidad estructural nucleótido 3'-2'-invertida; unidad estructural abásica 3'-2'-invertida; 1,4-butanediol fosfato; 3'-fosforamidato; hexilfosfato; aminohexilo fosfato; 3'-fosforotioato; fosforoditioato; o unidad estructural metilfosfonato con puente o sin puente (para más detalle véase Wincott et al., publicación Internacional PCT No. WO 97/26270).

Estructuras de cobertura 3'preferidas particularmente de la presente invención incluyen, por ejemplo 4', 5'-metilen nucleótido; 1-(beta-D-eritrofuranosil) nucleótido; 4'-tio nucleótido, nucleótido carbocíclico; 5'-amino-alquilo fosfato; 1,3-diamino-2-propilo fosfato, 3-aminopropilo fosfato; 6-aminohexilo fosfato; 1,2-aminododecilo fosfato; hidroxipropilo fosfato; 1,5-anhidrohexitol nucleótido; L-nucleótido; alfa-nucleótido base modificado; fosforoditioato; treo-pentofuranosilo nucleótido; nucleótido acíclico 3',4'-seco; 3,4-dihidroxibutilo nucleótido; 3,5-dihidroxipentilo nucleótido, unidad estructural nucleótido 5'-5'-invertida; unidad estructural abásica 5'-5'-invertida; 5'-fosforamidato; 5'-fosforotioato; 1,4-butanediol fosfato; 5'-amino; 5'-fosforamidato formador de puente y/o no formador de puente, fosforotioato y/0 fosforoditioato, unidades estructurales metilfosfonato y 5'-mercapto formadoras o no formadoras de puente (para más detalle véase Beaucage y Tyer, 1993, Tetrahedron 49, 1925).

Grupos estabilizantes 3' y 5' adicionales que pueden ser utilizados para cubrir uno o ambos extremos de un compuesto oligomérico para impartir estabilidad ante la nucleasa incluyen los divulgados en WO 03/004602 publicada el 16 de enero de 2003.

Compuestos oligoméricos quiméricos

5

10

25

30

35

40

55

No es necesario que todas las posiciones en un compuesto oligomérico sean modificadas uniformemente, y en efecto más de una de las modificaciones antes mencionadas pueden ser incorporada en un compuesto oligomérico individual o incluso en una subunidad monomérico individual tal como un nucleósido dentro de un compuesto oligomérico. La presente invención también incluye compuestos oligoméricos que son compuestos oligoméricos quiméricos. Compuestos oligoméricos "quiméricos" o "quimeras", en el contexto de esta invención, son compuestos oligoméricos que contienen dos o más regiones químicamente distintas, cada una constituida de al menos una unidad monomérica, esto es, un nucleótido en el caso de un oligómero basado en ácido nucleico.

Los compuestos oligoméricos quiméricos contienen típicamente al menos una región modificada de tal manera que confieren resistencia incrementada a la degradación por nucleasa, consumo celular incrementado y/o afinidad de enlazamiento incrementada para el ácido nucleico objetivo. Una región adicional del compuesto oligomérico puede servir como sustrato para enzimas capaces de escindir híbridos ARN:ADN o ARN:ARN. A manera de ejemplo, la RNasaH es una endonucleasa celular que escinde la cadena ARN de un dúplex ARN:ADN. La activación de la RNasaH, por lo tanto, da como resultado la escisión del objetivo ARN, potenciando con ello grandemente la eficiencia de la inhibición de la expresión del gen. Consecuentemente, pueden obtenerse frecuentemente resultados comparables con compuestos oligoméricos más cortos cuando se usan quimeras, en comparación con por ejemplo la hibridación de desoxioligonucleótidos fosforotioato a la misma región objetivo. La escisión del ARN objetivo puede ser detectada rutinariamente por electroforesis en gel y, si es necesario, por técnicas de hibridación de ácidos nucleicos asociados conocidos en la técnica.

Los compuestos oligoméricos quiméricos de la invención pueden ser formados como estructuras compuestas de dos o más imitadores de oligonucleótidos, análogos de oligonucleótidos, oligonucleósidos y/ u oligonucleótidos como se describió anteriormente. Tales compuestos oligoméricos también han sido denominados en la técnica como hemímeros híbridos, oligómeros con brecha u oligómeros con brecha invertidos. Patentes de los Estados Unidos representativas que enseñan la preparación de tales estructuras hibridas incluye, pero no se limitan a, US: 5,013,830; 5,149,797; 5,220,007; 5,256,775; 5,366,878; 5,403,711; 5,491,133; 5,565,350; 5,623,065; 5,652,355; 5,652,356; y 5,700,922.

Modificaciones endo en 3'

En un aspecto de la presente invención los compuestos oligoméricos incluyen nucleósidos modificados sintéticamente para inducir una conformación de azúcar 3´ endo. Un nucleósido puede incorporar modificaciones sintéticas de la base heterocíclica, la unidad estructural azúcar o ambas para inducir una conformación de azúcar 3' endo deseada. Estos nucleósidos modificados son utilizados para imitar nucleósidos similares a ARN de tal manera que pueden potenciarse las propiedades particulares de un compuesto oligomérico a la vez que se mantiene la geometría conformacional 3' endo deseable.

Hay una preferencia aparente para un dúplex tipo ARN (hélice en forma A, predominantemente 3' endo) como requerimiento (por ejemplo disparador) de la interferencia de ARN que es soportada en parte por el hecho de que los dúplex compuestos de 2'-desoxi-2'-F-nucleósidos parece eficiente en iniciar la respuesta de iARN en el sistema *C. elegans*. Las propiedades que son potenciadas por el uso de endonucleósidos 3' endo más estables incluyen pero no se limitan a modulación de propiedades farmacocinéticas a través de la modificación del enlazamiento a proteínas, disociación de proteína, absorción y eliminación; modulación de estabilidad a la nucleasa así como estabilidad química; modulación de la afinidad al enlazamiento y especificidad del oligómero (la afinidad y especificidad para enzimas así como para secuencias complementarias); e incremento de la eficacia de la escisión de ARN. La presente invención provee disparadores oligoméricos de ARN que tienen uno o más nucleósidos modificados de manera tal que favorecen la conformación tipo C3' endo.

Esquema 1

C2'-endo/Southern

C3'-endo/Northern

La conformación de nucleósidos está influenciada por diversos factores que incluyen la sustitución en las posiciones 2', 3' o 4' del azúcar pentofuranosilo. Los sustituyentes electronegativos generalmente prefieren las posiciones axiales, mientras que los sustituyentes estéricamente exigentes prefieren generar las posiciones ecuatoriales (Principles of Nucleic Acid Structure, Wolfgang Sanger, 1984, Springer-Verlag.) la modificación de la posición 2' para favorecer la conformación 3' endo puede alcanzarse a la vez que se mantiene el 2'-OH como un elemento de reconocimiento, como se ilustra en la figura 2, más adelante. (Gallo et al., Tetrahedron (2001), 57, 5707-5713. Harry-O'kuru et al., J. Org. Chem., (1997), 62(6), 1754-1759 y Tang et al., J. Org. Chem. (1999), 64, 747-754.) Alternativamente, la preferencia de la conformación 3' endo puede alcanzarse por la eliminación del 2'-OH como se ejemplifica mediante los 2'desoxi-2'F-nucleósidos (Kawasaki et al., J. Med. Chem. (1993), 36, 831-841), la cual adopta la conformación 3' endo posicionando el átomo de flúor electronegativo en la posición axial. Otras modificaciones del anillo ribosa, por ejemplo la sustitución en la posición 4' para dar nucleósidos modificados 4'-F (Guillerm et al., Bioorganic and Medicinal Chemistry Letters (1995), 5, 1455-1460 y Owen et al., J. Org. Chem. (1976), 41, 3010-3017), o por ejemplo la modificación para producir análogos de metanocarbanonucleósidos (Jacobson et al., J. Med. Chem. Lett. (2000), 43, 2196-2203 y Lee et al., Bioorganic and Medicinal Chemistry Letters (2001), 11, 1333-1337) inducen también la preferencia por la conformación 3' endo. A lo largo de líneas similares, los disparadores oligoméricos de la respuesta de iARN pueden estar compuestos de uno o más mononucleósidos modificados de una manera tal que la conformación se asegura en una conformación tipo C3' endo, esto es ácido nucleico asegurado, (LNA, Singh et al, Chem. Commun. (1998), 4, 455-456), y ácidos nucleicos con puentes de etileno (ENA, Morita et al, Bioorganic & Medicinal Chemistry Letters (2002), 12, 73-76.). Ejemplos de nucleósidos modificados compatibles con la presente invención se muestran más adelante en la Tabla I. estos ejemplos se entienden como representativos y no exhaustivos.

5

10

15

20

25

30

La conformación preferida de nucleósidos modificados y sus oligómeros puede ser estimada mediante diversos métodos tales como cálculos de dinámica molecular, espectroscopía de resonancia magnética nuclear y mediciones CD. Por lo tanto, las modificaciones predichas para introducir conformaciones similares en ARN, una geometría dúplex de forma A en un contexto oligomérico, se seleccionan para uso en los oligonucleótidos modificados de la presente invención. Las síntesis de numerosos de los nucleósidos modificados apropiados para la presente invención son conocidas en la técnica (véase por ejemplo, Chemistry of Nucleosides and Nucleotides Vol. 1 – 3, ed. Leroy B. Townsend, 1998, Plenum press., y los ejemplos de la sección a continuación). Los nucleósidos conocidos por ser inhibidores/sustratos para polimerasas de ARN dependientes de ARN (por ejemplo HCV NS5B

5

10

15

20

25

30

35

En un aspecto, la presente invención está dirigida a oligonucleótidos que se preparan copropiedades potenciadas en comparación con el ARN nativo contra objetivos de ácidos nucleicos. Un objetivo es identificado y un oligonucleótido es seleccionado de forma que tenga una longitud y una secuencia efectiva que sea complementaria a una porción de la secuencia objetivo. Cada nucleósido de la secuencia es sometido a escrutinio para posibles modificaciones de potenciamiento. Una modificación preferida seria el reemplazo de uno o más nucleósidos de ARN con nucleósidos que tengan la misma geometría conformacional 3' endo. Tales modificaciones pueden potenciar la estabilidad química y de la nucleasa con respecto al ARN nativo mientras que al mismo tiempo es mucho más barato y fácil de sintetizar y/o incorporarlo en un oligonucleótido. La secuencia seleccionada puede ser dividida adicionalmente en regiones y los nucleósidos de cada región evaluados para potenciar las modificaciones que puedan ser el resultado de una configuración quimérica. También se da consideración a los terminales 5 y 3' puesto que hay modificaciones frecuentemente ventajosas que pueden hacerse a uno o más de los nucleósidos terminales. Los compuestos oligoméricos de la presente invención pueden incluir al menos un grupo fosfato modificado 5' sobre una cadena sencilla o sobre al menos una posición 5' de una secuencia o secuencias de cadena doble. Modificaciones adicionales también son consideradas tales como los enlaces internucleósido, grupos conjugados, azúcares o bases sustitutos, sustitución de uno o más nucleósidos con imitadores de nucleósidos y cualquier otra modificación que pueda potenciar la secuencia seleccionada para su objetivo previsto. Los términos utilizados para describir la geometría conformacional de los ácidos nucleicos homodúplex son "Forma A" para ARN y "Forma B" para ADN. La geometría conformacional respectiva para los dúplex ARN y ADN fue determinada por análisis por difracción de rayos X de fibras de ácidos nucleicos (Arnott and Hukins, Biochem. Biophys. Res. Comm., 1970, 47, 1504). En general, los dúplex ARN:ARN son más estables y tienen temperaturas de fusión más altas (Tm) que los dúplex ADN:ADN (Sanger et al., Principles of Nucleic Acid Structure, 1984, Springer-Verlag; New York, NY.; Lesnik et al., Biochemistry, 1995, 34, 10807-10815; Conte et al., Nucleic Acids Res., 1997, 25, 2627-634). La estabilidad incrementada del ARN ha sido atribuida a varias características estructurales, la más notable las interacciones mejoradas de apilamiento de bases que son el resultado de una geometría de forma A (Searle et al., Nucleic Acids Res., 1993, 21, 2051-2056). La presencia del 2' hidroxilo en ARN desplaza el azúcar hacia un plegador C3' endo, esto es, también designado como plegador Northern, lo que hace que el dúplex favorezca la geometría de forma A. Además, los grupos 2' hidroxilo del ARN pueden formar una red de enlaces de hidrógeno mediados por agua que ayudan a estabilizar el dúplex ARN (Egli et al., Biochemistry, 1996, 35, 8489-8494). Por otro lado, los ácidos desoxinucleicos prefieren un plegador de azúcar C2' endo, también conocido como plegador Southern, del cual se cree que imparte una geometría de forma B menos estable. (Sanger, W. (1984) Principles of Nucleic Acid Structure, Springer-Verlag, New York, NY). Tal como se utiliza aquí, la geometría de forma B es inclusiva tanto de plegador C2' endo como O4' endo. Esto es consistente con Berger, et. al., Nucleic Acids Research, 1998, 26, 2473-2480, quienes señalaron que en consideración de las conformaciones de furanosa que dan lugar a los dúplex forma B también debe considerarse otorgar al plegador O4' endo una contribución.

Los dúplex híbridos ADN:ARN, sin embargo son menos estables que los dúplex ARN:ARN puros, y dependiendo de su secuencia pueden ser más o menos estables que los dúplex ADN:ADN (Searle et al., Nucleic Acids Res., 1993, 21, 2051-2056). La estructura de un dúplex hibrido es un intermedio entre las geometrías forma A y B, las cuales pueden dar como resultado interacciones de pobre apilamiento (Lane et al., Eur. J. Biochem., 1993, 215, 297-306; Fedoroff et al., J. Mol. Biol., 1993, 233, 509-523; Gonzalez et al., Biochemistry, 1995, 34, 4969-4982; Horton et al., J. Mol. Biol., 1996, 264, 521-533). La estabilidad del dúplex formado entre un ARN objetivo y una secuencia sintética es definitivo para terapias tales como pero no limitándose a antisentido e interferencia de ARN puesto que estos mecanismos requieren el enlazamiento de una cadena de oligonucleótido sintética a una cadena objetivo de ARN.

En el caso del antisentido, la inhibición efectiva del ARNm requiere que el ADN antisentido tenga una afinidad de enlazamiento muy alta con el ARNm. De otra forma la interacción deseada entre la cadena de oligonucleótidos sintética y la cadena de ARNm objetivo ocurrirá de manera poco frecuente, dando como resultado una eficacia disminuida.

Un método utilizado rutinariamente para modificar el plegamiento del azúcar es la sustitución del azúcar en la posición 2' con un grupo sustituyente que influye en la geometría del azúcar. La influencia sobre la conformación del anillo depende de la naturaleza del sustituyente en la posición 2'. Se ha estudiado un cierto número de sustituyentes diferentes para determinar su efecto de plegamiento en el azúcar. Por ejemplo, se han estudiado 2'-halógenos lo que muestra que el derivado 2'-flúor exhibe la población más grande (65%) de la forma C3'-endo, y el 2'-yodo exhibe la población más baja (7%). Las poblaciones de adenosina (2'-OH) versus desoxiadenosina (2'-H) son 36% y 19%, respectivamente. Además, el efecto del grupo 2'-flúoro de los dímeros de adenosina (2'-desoxi-2'-fluoro-adenosina) está correlacionado adicionalmente con la estabilización de la conformación apilada.

25 Como se esperaba, la estabilidad del dúplex relativa puede ser potenciada por reemplazo de los grupos 2'-OH con grupos 2'-F incrementado por lo tanto la población de C3'- endo. Se asume que la naturaleza altamente polar del enlace 2'-F y la extrema preferencia por el plegamiento C3'-endo puede estabilizar la conformación apilada en un dúplex de forma A. Los datos de hipocromicidad en UV, dicroísmo circular y ¹H RMN también indican que el grado de apilamiento disminuye a medida que la electronegatividad del sustituyente A lo disminuye. Adicionalmente, el 30 volumen estérico con la posición 2¹ de la unidad estructural azúcar se acomoda mejor en un dúplex forma A que en un dúplex forma B. Así, se cree que un sustituyente 2' sobre el terminal 3' de un monofosfato de dinucleósido ejerce un cierto número de efectos sobre la conformación de apilamiento:repulsión estérica, preferencia por plegamiento de furanosa, repulsión electrostática, atracción hidrofóbica y capacidades de enlazamiento de hidrógeno. Se cree que estos efectos sustituyente son determinados por el tamaño molecular, electronegatividad, e hidrofobicidad del 35 sustituyente. Las temperaturas de fusión de las cadenas complementarias también se incrementan con los difosfatos de adenosina sustituidos en 2'. No es claro si la preferencia por 3'-endo de la conformación o la presencia del sustituyente es responsable del enlazamiento incrementado. Sin embargo, puede alcanzarse una superposición mayor de bases adyacentes (apilamiento) con la conformación 3'-endo.

Una modificación en 2' sintética que imparte una resistencia incrementada a la nucleasa y una afinidad de 40 enlazamiento muy alta a los nucleótidos es la cadena lateral 2-metoxietoxi (2'-MOE, 2'-OCH₂CH₂OCH₃) y (Baker et al., J. Biol. Chem., 1997, 272, 11944-12000). Una de las ventajas intermedias de la sustitución 2'-MOE es el mejoramiento en la afinidad de enlazamiento, la cual es mayor que muchas modificaciones 2' similares tales como O-metilo, O-propilo, y O-aminopropilo. Los oligonucleótidos que tienen el sustituyente 2'-O-metoxietilo también han demostrado ser inhibidores antisentido de la expresión genética con características prometedoras en el uso in vivo 45 (Martin, P., Helv. Chim. Acta, 1995, 78, 486-504; Altmann et al., Chimia, 1996, 50, 168-176; Altmann et al., Biochem. Soc. Trans., 1996, 24, 630-637; y Altmann et al., Nucleosides Nucleótidos, 1997, 16, 917-926). Con respecto al ADN, los oligonucleótidos que tienen la modificación 2'-MOE desplegaron una afinidad mejorada por ARN y mayor resistencia a la nucleasa. Los oligonucleótidos quiméricos que tienen sustituyentes 2'-MOE en los nucleósidos del ala v una región interna de nucleótidos desoxi-fosforotioato (también denominada un oligonucleótido con brecha u 50 oligómero con brecha) han mostrado una reducción efectiva en el crecimiento de tumores en modelos animales a dosis bajas. Los oligonucleótidos sustituidos con 2'-MOE también han mostrado una promesa sobresaliente como agentes antisentido en diferentes estados de la enfermedad. Uno de tales oligonucleótidos sustituidos con MOE está siendo investigado actualmente en ensayos clínicos para el tratamiento de retinitis CMV.

Químicas definidas

15

20

A menos que se defina otra cosa aquí, alquilo significa un hidrocarbilo alifático de cadena recta o (cuando sea posible) ramificada C₁-C₁₂, preferiblemente C₁-C₈, y más preferiblemente C₁-C₆.

Al menos que se defina otra cosa aquí, heteroalquilo significa una cadena hidrocarbilo alifática recta o (cuando sea posible) ramificada C_1 - C_{12} , preferiblemente C_1 - C_8 y más preferiblemente C_1 - C_6 que contiene al menos uno, y preferiblemente al menos 1 a aproximadamente 3, heteroátomos en la cadena, incluyendo la porción terminal de la

ES 2 521 599 T3

cadena. Heteroátomos preferidos incluyen N, O y S. Al menos que se defina aquí otra cosa, cicloalquilo significa un anillo hidrocarbilo alifático C_3 - C_{12} , preferiblemente C_3 - C_8 , y más preferiblemente C_3 - C_6 .

Al menos que se defina otra cosa aquí, alquenilo significa alquenilo C₂-C₁₂, preferiblemente C₂-C₈ y más preferiblemente C₂-C₆, el cual puede ser una unidad estructural hidrocarbilo recta o (cuando sea posible) ramificada, la cual contiene al menos un doble enlace carbono-carbono.

5

20

25

35

40

50

55

Al menos que se defina otra cosa aquí, alquinilo significa alquinilo C_2 - C_{12} , preferiblemente C_2 - C_8 , y más preferiblemente C_2 - C_6 , el cual puede ser una unidad estructural hidrocarbilo recta o (cuando sea posible) ramificada, la cual contiene al menos un triple enlace carbono-carbono.

Al menos que se defina otra cosa aquí, heterocicloalquilo significa una unidad estructural de anillo que contiene al 10 menos 3 miembros de anillo, al menos uno de los cuales es carbono, y de los cuales 1, 2 o 3 miembros de anillo son diferentes a carbono. Preferiblemente el número de átomos de carbono varia de 1 a aproximadamente 12, preferiblemente de 1 a aproximadamente 6, y un número total de miembros de anillo varían desde 3 hasta aproximadamente 15, preferiblemente desde aproximadamente 3 hasta aproximadamente 8. Heteroátomos de anillo preferidos son N, O y S. grupos heterocicloalquilo preferidos incluyen morfolino, tiomorfolino, piperidinilo, 15 piperazinilo, homopiperidinilo, homopiperazinilo, homomorfolino, homotiomorfolino, pirrolodinilo, tetrahidrooxazolilo, tetrahidroimidazolilo, tetrahidrotiazolilo, tetrahidroisoxazolilo, tetrahidropirrazolilo, furanilo. piranilo, tetrahidroisotiazolilo.

Al menos que se defina aquí otra cosa, arilo significa una estructura de anillo hidrocarburo que contiene al menos un anillo arilo. Anillos arilo preferido tienen aproximadamente 6 hasta aproximadamente 20 carbonos de anillo. Anillos arilo especialmente preferidos incluyen fenilo, naftilo, antracenilo y fenantrenilo.

Al menos que se defina aquí otra cosa, hetarilo significa una unidad estructural que contiene al menos un anillo completamente insaturado, consistiendo el anillo de átomos de carbono y no carbono. Preferiblemente el sistema de anillo contiene de aproximadamente 1 a aproximadamente 4 anillos. Preferiblemente el número de átomos de carbono varía desde 1 hasta aproximadamente 12, preferiblemente de 1 hasta aproximadamente 6, y el número total de miembros de anillo varía desde 3 hasta aproximadamente 15, preferiblemente desde aproximadamente 3 hasta aproximadamente 8. Heteroátomos de anillo preferido son N, O y S. Unidades estructurales hetarilo preferidas incluyen pirazolilo, tiofenilo, piridilo, imidazolilo, tetrazolilo, piridilo, pirimidinilo, purinilo, quinazolinilo, bencimidazolilo, benzotiofenilo, etc.

Al menos que se defina otra cosa aquí, cuando una unidad estructural es definida como una unidad estructural de compuesto, tal como hetarilalquilo (hetarilo y alquilo), aralquilo (arilo y alquilo), etc., cada una de las subunidades estructurales es como se define aquí.

Al menos que se defina aquí otra cosa, un grupo extractor de electrones es un grupo, tal como el grupo ciano o isocianato que extrae carga electrónica del carbono al cual está enlazado. Otros grupos extractores de electrones de nota incluyen aquellos cuyas electronegatividad exceden la del carbono, por ejemplo halógeno, nitro o fenilos sustituidos en la posiciones orto o para con uno o más grupos ciano, isotiocianato, nitro o halo.

Al menos que se defina otra cosa aquí, los término halógeno y halo tienen sus significados ordinarios. Sustituyentes halo (halógeno) preferidos son Cl, Br, e I.

Los sustituyentes opcionales antes mencionados son, al menos que se defina aquí otra cosa, sustituyentes adecuados dependiendo de las propiedades deseadas. Se incluyen halógenos (CL, Br, I), unidades estructurales alquilo, alquenilo y alquinilo, NO₂, NH₃ (sustituido y no sustituidos), unidades estructurales ácido (por ejemplo - CO₂H, -OSO₃H₂, etc.), unidades estructurales heterocicloalquilo, unidades estructurales hetarilo, unidades estructurales arilo, etc. En todas las formas precedentes, la virgulilla (~) indica un enlace a un oxígeno o azufre del 5'- fosfato.

Grupos protectores fosfato incluyen los descritos en las Patentes de los Estados Unidos Nos. 5,760,209, US 5,614,621, US 6,051,699, US 6,020,475, US 6,326,478, US 6,169,177, US 6,121,437, US 6,465,628.

Los oligonucleótidos usados de acuerdo con esta invención pueden de manera conveniente y rutinaria hacerse a través de una técnica bien conocida de síntesis en fase sólida. Equipos para tales síntesis son vendidos por varios proveedores incluyendo a Applied Biosystems. También puede emplearse cualquier otro medio para tal síntesis; la síntesis real de los oligonucleótidos está bien encajada dentro de los talentos rutinarios. Es bien conocido utilizar técnicas similares para preparar oligonucleótidos tales como los fosforotioatos y los derivados 2'- alcoxi o 2'-alcoxialcoxi, incluyendo oligonucleótidos 2'- O-metoxietilo (Martin, P., Helv. Chim. Acta 1995, 78, 486-504). También es conocido utilizar técnicas similares y amiditas modificadas disponibles comercialmente y productos en vidrio de poro controlado (CPG) tales como biotina, fluoresceína, acridina o amiditas modificadas con psoraleno y/ CPG (disponible de Glen Research, Sterling, VA) para sintetizar oligonucleótidos marcados por fluorescencia, biotinilados u otros conjugados.

Composiciones y formulaciones antisentido

5

55

Los compuestos de la invención también pueden ser mezclados, encapsulados, conjugados y de alguna otra manera asociados con otras moléculas, estructuras moleculares o mezclas de compuestos, como por ejemplo liposomas, moléculas direccionadas al receptor, formulaciones orales, rectales, tópicas u otras, para asistir en la ingesta, distribución y/o absorción. Patentes de los Estados Unidos representativas que enseñan la preparación de tales formulaciones de ayuda para la ingesta, distribución y/o absorción incluyen, pero no se limitan a, US: 5,108,921; 5,354,844; 5,416,016; 5,459,127; 5,521,291; 5,543,158; 5,547,932; 5,583,020; 5,591,721; 4,426,330; 4,534,899; 5,013,556; 5,108,921; 5,213,804; 5,227,170; 5,264,221; 5,356,633; 5,395,619; 5,416,016; 5,417,978; 5,462,854; 5,469,854; 5,512,295; 5,527,528; 5,534,259; 5,543,152; 5,556,948; 5,580,575; y 5,595,756.

- Los compuestos antisentido de la invención abarcan cualquier sal, éster o sales de tales ésteres, farmacéuticamente aceptables, o cualquier otro compuesto, el cual por administración a un animal que incluye un humano, es capaz de proveer (directa o indirectamente) el metabolito biológicamente activo o residuo del mismo. De acuerdo con lo anterior, por ejemplo, la divulgación también está dirigida a profármacos y sales farmacéuticamente aceptables de los compuestos de la invención, sales farmacéuticamente aceptables de tales profármacos, y otros bioequivalentes.
- El término "profármaco" indica un agente terapéutico que es preparado en una forma inactiva que es convertida a una forma activa (por ejemplo, fármaco) dentro del cuerpo o células del mismo mediante la acción de enzimas endógenas u otros agentes químicos y/o condiciones. En particular, las versiones profármaco de los oligonucleótidos de la invención se preparan como derivados SATE (S-acetil-2-tioetil) de acuerdo con los métodos divulgados en WO 93/24510 de Gosselin et al., publicada el 9 de diciembre de 1993 o en WO 94/26764 y U. S. 5,770,713 de Imbach et al.

El término "sales farmacéuticamente aceptables" se refiere a sales fisiológica y farmacéuticamente aceptables de los compuestos de la invención: esto es, sales que retengan la actividad biológica deseada del compuesto original y no impartan efectos toxicológicos indeseados al mismo.

- Sales de adición básica farmacéuticamente aceptables se forma con metales o aminas, tales como metales alcalino y alcalinotérreos o amidas orgánicas. Ejemplos de metales utilizados como cationes son sodio, potasio, magnesio, calcio y similares. Ejemplos de aminas adecuadas son N,N'-dibenciletilendiamina, cloroprocaina, colina, dietanolamina, dicicloexilamina, etilendiamina, N-metilglucamina y procaína (véase, por ejemplo, Berge et al., "Pharmaceutical Salts", J. of Pharma Sci., 1977, 66, 1-19). Tal como se utiliza aquí, una "sal de adición farmacéutica" incluye una sal farmacéuticamente aceptable de una forma ácida de uno de los componentes de las composiciones de la invención. Estas incluyen sales de ácidos orgánicos o inorgánicos de las aminas. Sales ácidas preferidas son los clorhidratos, acetatos, salicilatos, nitratos y fosfatos. Otras sales farmacéuticamente aceptables adecuadas son bien conocidas para los experimentados en el arte e incluyen sales básicas de una variedad de ácidos inorgánicos y orgánicos.
- Para oligonucleótidos, ejemplos preferidos de sales farmacéuticamente aceptables incluyen pero no se limitan a (a) sales formadas con cationes tales como sodio, potasio, amonio, magnesio, calcio, poliaminas tales como espermina y espermidina, etc.; (b) sales de adición acida formadas con ácidos inorgánicos, por ejemplo ácido clorhídrico, ácido bromhídrico, ácido sulfúrico, ácido fosfórico, ácido nítrico y similares; (c) sales formadas con ácidos orgánicos tales como, por ejemplo, ácido acético, ácido oxálico, ácido tartárico, ácido succínico, ácido maleico, ácido fumárico, ácido glucónico, ácido cítrico, ácido málico, ácido ascórbico, ácido benzoico, ácido tánico, ácido palmítico, ácido algínico y ácido poliglutámico, ácido naftalenosulfónico, ácido metanosulfónico, ácido p-toluenosulfónico, ácido naftalenodisulfónico, ácido poligalacturónico, y similares; y (d) sales formadas a partir de aniones elementales tales como cloro, bromo y yodo.

Composiciones farmacéuticas y rutas de administración

- Las composiciones farmacéuticas de la presente invención pueden ser administradas en un cierto número de maneras dependiendo de si se desea un tratamiento local o sistémico y del área que se va a tratar. La administración puede ser tópica (incluyendo oftálmica y a membranas mucosas incluyendo administración vaginal y rectal), pulmonar, por ejemplo por inhalación o insuflación de polvos o aerosoles, incluyendo el uso de nebulizado; intratraqueal, intranasal, epidérmica y transdérmica), oral o parenteral. La administración parenteral incluye inyección o infusión intravenosa, intraarterial, subcutánea, intraperitoneal o intramuscular; o intracraneal, por ejemplo, administración intratecal o intraventricular. Oligonucleótidos con al menos una modificación 2'-O-metoxietilo se cree que son útiles particularmente para administración oral.
 - Composiciones y formulaciones farmacéuticas para administración tópica pueden incluir parches transdérmicos, ungüentos, lociones, cremas, geles, gotas, supositorios, aspersiones, líquidos y polvos. Vehículos farmacéuticos convencionales, acuosos, en polvo o bases oleosas, espesantes y similares pueden ser necesarios o deseables. Condones recubiertos, guantes y similares también pueden ser útiles. Formulaciones tópicas preferidas incluyen aquellas en las cuales los oligonucleótidos de la invención y en mezcla con un agente de administración tópico tales como lípidos, liposomas, ácidos grasos, ésteres de ácidos grasos, esteroides, agentes quelantes y surfactantes. Lípidos y liposomas preferidos incluyen neutros (por ejemplo dioleilfosfatidilo DOPE etanolamina, dimiristoilfosfatidilo

colina DMPC, diestearoilfosfatidilo colina), negativos, (por ejemplo dimiristoilfosfatidilo glicerol DMPG) y catiónicos (por ejemplo, dioleiltetrametilaminopropilo DOTAP y dioleoilfosfatidilo etanolamina (DOTMA). Los oligonucleótidos de la invención pueden ser encapsulados con liposomas o pueden formar complejos con los mismos, en particular con liposomas catiónicos. Alternativamente, los oligonucleótidos pueden ser complejados en lípidos, en particular con lípidos catiónicos. Ácidos grasos y ésteres preferidos incluyen pero no se limitan a ácido araquidónico, ácido oleico, ácido eicosanoico, ácido láurico, ácido caprílico, ácido cáprico, ácido mirístico, ácido palmítico, ácido esteárico, ácido linoleico, ácido linolénico, dicaprato, tricaprato, monooleína, dilaurina, glicerilo 1-monocaprato, 1-dodecilo aciloeptano-2-ona, una acilcarnitina, una acilcolina del éster de alquilo C₁-C₁₀ (por ejemplo isopropilmiristato IPM), monoglicéridos, diglicéridos o sales farmacéuticamente aceptables de los mismos.

5

40

45

50

55

- En algunas realizaciones, un oligonucleótido puede ser administrado a un sujeto a través de una ruta oral de administración. Los sujetos de la presente invención comprenden animales. Un animal sujeto puede ser un mamífero, tal como un ratón, una rata, un perro, una cobaya, un mono, un humano, un primate no humano, un gato o un perro. Primates no humanos incluyen monos y chimpancés. Un animal sujeto adecuado puede ser un animal experimental, tal como un ratón, una rata, un perro, un primate no humano, un gato o un cerdo.
- En algunas realizaciones el sujeto puede ser un humano. En ciertas realizaciones, el sujeto puede ser un paciente humano tal como se discute en más detalle aquí. En ciertas realizaciones, puede ser necesario modular la expresión de uno o más genes del paciente humano. En algunas realizaciones particulares, puede ser necesario inhibir la expresión de uno o más genes de paciente humano. En realizaciones particulares, puede ser necesario modular, esto es, inhibir o potenciar, la STAT3 con el fin de obtener resultados terapéuticos discutidos aquí.
- 20 En algunas realizaciones, formulaciones no parenterales (por ejemplo orales) de oligonucleótidos de acuerdo con la presente invención dan como resultado una biodisponibilidad potenciada del oligonucleótido. En este contexto, el término "biodisponibilidad" se refiere a una medición de aquella porción de un fármaco administrado que alcanza el sistema circulatorio (por ejemplo sangre, especialmente plasma sanguíneo) cuando se usa un modo particular de administración para suministrar el fármaco. La biodisponibilidad potenciada se refiere a un modo particular de 25 habilidad de administración para suministrar oligonucleótido al plasma sanguíneo periférico de un sujeto con respecto a otro modo de administración. Por ejemplo, cuando se usa un modo no parenteral de administración (por ejemplo un modo oral) para introducir el fármaco en un sujeto, la biodisponibilidad para ese modo de administración puede ser comparada con un modo diferente de administración, por ejemplo, un modo IV de administración. En algunas realizaciones, el área bajo una curva de concentración del compuesto en plasma sanguíneo (AUC₀) 30 después de una administración no parenteral puede ser dividida por el área bajo la curva de concentración del fármaco en plasma sanguíneo después de la administración intravenosa (i.v.) (AUC_{IV}) para proveer un cociente adimensional (biodisponibilidad relativa, RB) que representa la fracción de compuesto absorbida a través de la ruta no parenteral en comparación con la ruta IV. Se dice que la biodisponibilidad de una composición es potenciada en comparación con otra biodisponibilidad de la composición cuando la primera biodisponibilidad relativa de la 35 composición (RB₁) es mayor que la segunda biodisponibilidad relativa de la composición (RB₂).

En general, la biodisponibilidad se correlaciona con la eficacia terapéutica cuando la eficacia terapéutica de un compuesto está relacionada con la concentración en sangre alcanzada, incluso si el sitio final de acción del fármaco es intracelular (van Berge-Henegowen et al., Gastroenterol., 1977, 73,300). Se han usado estudios de biodisponibilidad para determinar el grado de absorción intestinal de un fármaco midiendo el cambio en los niveles en sangre periférica del fármaco después de una dosis oral (DiSanto, Chapter 76 In: Remington's Pharmaceutical Sciences, 18th Ed., Gennaro, ed., Mack Publishing Co., Easton, PA, 1990, páginas 1451-1458).

En general, la biodisponibilidad de una composición oral (que comprende un oligonucleótido) se dice que está "potenciada" cuando su biodisponibilidad relativa es mayor que la biodisponibilidad de una composición que consiste sustancialmente de oligonucleótido puro, esto es, oligonucleótido en la ausencia de un potenciador de la penetración.

La biodisponibilidad en órganos se refiere a la concentración del compuesto en un órgano. La biodisponibilidad en órganos puede medirse en sujetos de prueba por un cierto número de medios, tales, como radiografía de cuerpo completo. La biodisponibilidad en órganos puede ser modificada, por ejemplo, potenciada, por una o más modificaciones al oligonucleótido, mediante el uso de uno o más compuestos portadores o excipientes, etc., tal como se discute en más detalle aquí. En general, un incremento en la biodisponibilidad dará como resultado un incremento en la biodisponibilidad en los órganos.

Las composiciones de oligonucleótidos orales de acuerdo con la presente invención pueden comprender uno o más "potenciadores de la penetración por mucosas", también conocidos como "potenciadores de la absorción" o simplemente como "potenciadores de la penetración". De acuerdo con lo anterior, algunas realizaciones de la invención comprenden al menos un oligonucleótido en combinación con al menos un potenciador de la penetración. En general, un potenciador de la penetración es una sustancia que facilita el trasporte de un fármaco a través de las membranas mucosas asociadas con el modo deseado de administración, por ejemplo, en membranas epiteliales intestinales. De acuerdo con lo anterior es deseable seleccionar uno o más potenciadores de la penetración que faciliten el consumo de un oligonucleótido, sin interferir con la actividad del oligonucleótido, y de tal forma el

ES 2 521 599 T3

oligonucleótido puede ser introducido en el cuerpo de un animal sin un grado inaceptable de efectos colaterales tales como toxicidad, irritación o respuesta alérgica.

Realizaciones de la presente invención proveen composiciones que comprenden uno o más potenciadores de la penetración farmacéuticamente aceptables, y métodos para utilizar tales composiciones, lo cual da como resultado la biodisponibilidad mejorada de oligonucleótidos administrados a través de modos no parenterales de administración. Hasta ahora, se han usado cierto potenciadores de la penetración para mejorar la biodisponibilidad de ciertos fármacos. Véase Muranishi, Crit. Rev. Ther. Drug Carrier Systems, 1990, 7, 1 y Lee et al., Crit. Rev. Ther. Drug Carrier Systems, 1991, 8, 91. Se ha encontrado que el consumo y suministro de oligonucleótidos puede mejorarse notablemente cuando se administran por medios no parenterales a través del uso de un cierto número de diferentes clases de potenciadores de la penetración.

5

10

15

35

40

45

50

55

60

En algunas realizaciones, las composiciones para administración no parenteral incluyen una o más modificaciones para oligonucleótidos de origen natural (esto es, desoxirribosilfosfodiéster completo o ribosilfosfodiéster-completo oligonucleótidos). Tales modificaciones pueden incrementar la afinidad de enlazamiento, la estabilidad a la nucleasa, la permeabilidad de las células o tejidos, la distribución en tejidos u otras propiedades biológicas o farmacocinéticas. Pueden hacerse modificaciones a la base, al enlazante, o al azúcar, en general, tal como se discute en más detalle aquí con respecto a la química de oligonucleótidos. En algunas realizaciones de la invención, las composiciones para administración a un sujeto, y en particular las composiciones orales para administración a un sujeto animal (humano o no humano), comprenderán oligonucleótidos modificados que tienen una o más modificaciones para potenciar la afinidad, estabilidad, distribución en tejido u otra propiedad biológica.

20 Enlazantes modificados adecuados incluyen enlazantes de fosforotioato. En algunas realizaciones de acuerdo con la invención, el oligonucleótido tiene al menos un enlazante fosforotioato. Los enlazantes de fosforotioato proveen estabilidad a la nucleasa así como características de enlazamiento de la proteína del plasma al oligonucleótido. La estabilidad a la nucleasa es útil para incrementar el tiempo de vida in vivo de los oligonucleótidos, mientras que el enlazamiento a la proteína del plasma disminuve la rata de primer despeie de paso del oligonucleótido a través de la 25 excreción renal. En algunas realizaciones de acuerdo con la presente invención, el oligonucleótido tiene al menos dos enlazantes de fosforotioato. En algunas realizaciones, cuando el oligonucleótido tiene exactamente n nucleósidos, el oligonucleótido tiene de 1 a n-1 enlaces fosforotioato. En algunas realizaciones, cuando el oligonucleótido tiene exactamente n nucleósidos, el oligonucleótido tiene n-1 enlaces fosforotioato. En otras realizaciones en donde el oligonucleótido tiene exactamente n nucleósidos, y n es par, el oligonucleótido tiene de 1 a 30 n/2 enlaces fosforotioato, o, cuando n es impar, de 1 a (n-1)/2 enlaces fosforotioato. En algunas realizaciones, el oligonucleótido tiene enlaces fosfodiéster (PO) y fosforotioato (PS) alternantes. En otras realizaciones, el oligonucleótido tiene al menos un estiramiento de dos o más enlaces PO consecutivos y al menos un estiramiento de dos o más enlaces PS. En otras realizaciones, el oligonucleótido tiene al menos dos estiramientos de enlaces PO interrumpidos por al menos un enlace PS.

En algunas realizaciones, al menos uno de los nucleósidos es modificado sobre la unidad de azúcar ribosilo mediante una modificación que imparte estabilidad ante la nucleasa, afinidad de enlazamiento o alguna otra propiedad biológica beneficiosa para el azúcar. En algunos casos, la modificación del azúcar incluye una modificación 2', por ejemplo, el 2'-OH del azúcar ribosilo es reemplazado o sustituido. Reemplazos adecuados para 2'-OH incluyen 2'-F y 2'-arabino-F. Sustituciones adecuadas para OH incluyen 2'-O-alquilo, por ejemplo 2-O-metilo, y 2'-O-alquilo sustituido, por ejemplo 2'-O-metoxietilo, 2'-NH2, 2'-O- aminopropilo, etc. En algunas realizaciones, el oligonucleótido contiene al menos una modificación 2'. En algunas realizaciones, el oligonucleótido contiene al menos dos modificaciones 2'. En algunas realizaciones, el oligonucleótido tiene al menos una modificación 2' en cada uno de los terminales (esto es, los nucleósidos en el terminal 3' y 5' tienen cada uno la misma o diferente modificación 2'). En algunas realizaciones, el oligonucleótido tiene al menos dos modificaciones 2' secuenciales en cada extremo del oligonucleótido. En algunas realizaciones, los oligonucleótidos comprenden adicionalmente al menos un desoxinucleósido. En realizaciones particulares, los oligonucleótidos comprenden un estiramiento de desoxinucleósidos de tal forma que el estiramiento es capaz de reactivar la RNasa (por ejemplo RNasa H) por escisión de una RNA al cual el oligonucleótido es capaz de hibridar. En algunas realizaciones, un estiramiento de desoxinucleótido es capaz de activar la escisión de RNA mediada por RNasa comprende aproximadamente 6 hasta aproximadamente 16, por ejemplo de aproximadamente 8 hasta aproximadamente 16 desoxinucleósidos consecutivos. En realizaciones adicionales, los oligonucleótidos son capaces de disparar la escisión por enzimas seARNds las cuales actúan sobre los híbridos ARN:ARN.

Las composiciones de oligonucleótidos de la presente invención pueden ser formuladas en diversas formas de dosificación tales como, pero no limitándose a, tabletas, cápsulas, jarabes líquidos, geles blandos, supositorios y enemas. El término "administración alimentaria" abarca, por ejemplo, administración oral, rectal, endoscópica y sublingual/bucal. Un requerimiento común para estos modos de administración es la absorción a lo largo de una porción o en todo el tracto alimenticio y una necesidad para una penetración eficiente por las mucosas de los oligonucleótidos o imitadores de los mismos así administrados.

La administración de un fármaco a través de la mucosa oral, como en el caso de la administración bucal sublingual, tiene varias características deseables, incluyendo como en muchos casos, una elevación más rápida en la

concentración en plasma del fármaco (Harvey, Chapter 35 In: Remington's Pharmaceutical Sciences, 18th Ed., Gennaro, ed., Mack Publishing Co., Easton, PA, 1990, page 711).

Puede utilizarse endoscopia para administrar un fármaco directamente en una porción interior del tracto alimenticio. Por ejemplo, la cistopancreatografía retrógrada endoscópica (ERCP) aprovecha la gastroscopia extendida y permite un acceso selectivo al tracto biliar y al ducto pancreático (Hirahata et al., Gan To Kagaku Ryoho, 1992, 19(10 Suppl.), 1591). Las composiciones farmacéuticas, incluyendo formulaciones liposómicas, pueden ser administradas directamente en porciones del canal alimenticio, tal como, por ejemplo, el duodeno (Somogyi et al., Pharm. Res., 1995, 12, 149) o la submucosa gástrica (Akamo et al., Japanese J. Cancer Res., 1994, 85, 652) a través de medios endoscópicos. Los dispositivos de lavado gástrico (Inoue et al., Artif. Organs, 1997, 21, 28) y los dispositivos de alimentación endoscópica percutánea (Pennington et al., Ailment Pharmacol. Ther., 1995, 9, 471) también pueden ser utilizados para una administración alimentaria directa de composiciones farmacéuticas.

5

10

15

20

25

40

45

50

En algunas realizaciones, pueden administrarse formulaciones de oligonucleótidos a través del ano en el recto o en el intestino inferior. Los supositorios rectales, enemas de retención o catéteres rectales pueden ser utilizados para este propósito y pueden ser preferidos cuando el cubrimiento del paciente puede de alguna otra manera ser difícil de alcanzar (por ejemplo, en aplicaciones pediátricas y geriátricas, o cuando el paciente está vomitando o inconsciente. La administración rectal puede dar como resultado niveles más rápidos y más altos en sangre que la ruta oral (Harvey, Chapter 35 In: Remington's Pharmaceutical Sciences, 18th Ed., Gennaro, ed., Mack Publishing Co., Easton, PA, 1990, page 711). Puesto que aproximadamente el 50% del fármaco es absorbido a través del recto probablemente evitará el hígado, la administración por esta ruta reduce significativamente el potencial del metabolismo de primer paso (Benet et al., Chapter 1 In: Goodman & Gilman's The Pharmacological Basis of Therapeutics, 9th Ed., Hardman et al., eds., McGraw-Hill, New York, NY, 1996).

Otros excipientes que pueden ser agregados a las composiciones de oligonucleótidos orales incluyen surfactantes (o "agentes con actividad superficial"). Estas son entidades químicas las cuales, cuando se disuelven en una solución acuosa, reducen la tensión superficial sobre la solución o la tensión interfases entre la solución acuosa y otro líquido, con el resultado de que la absorción de los oligonucleótidos a través de la mucosa alimentaria y otras membranas epiteliales es potenciada. Además de las sales biliares y ácidos grasos, los surfactantes incluyen, por ejemplo, laurilo sulfato de sodio, polioxietilen-9-laurilo éter y polioxietilen-20-cetilo éter (Lee et al., Critical Reviews in Therapeutic Drug Carrier Systems, 1991, page 92); y emulsiones perfluorohémicas, tales como FC-43 (Takahashi et al., J. Pharm. Phamacol., 1988, 40, 252).

Los ácidos grasos y sus derivados que actúan como potenciadores de la penetración y pueden ser utilizados en composiciones de la presente invención incluyen, por ejemplo, ácido oleico, ácido laúrico, ácido cáprico (ácido ndecanoico), ácido mirístico, acido palmítico, ácido esteárico, ácido linoleico, ácido linolénico, dicaprato, tricaprato, monoolein (1-monooleoil-rac-glicerol), dilaurina, ácido caprílico, ácido araquidónico, 1-monocaprato de glicerilo, 1-dodecilasacicloheptan-2-ona, acilcarnitinas, acilcolinas y mono y di-glicéridos de los mismo y/o sales fisiológicamente aceptables de los mismos (esto es, oleato, laurato, caprato, miristato, palmitato, estearato, linoleato, etc.) (Lee et al., Critical Reviews in Therapeutic Drug Carrier Systems, 1991, page 92; Muranishi, Critical Reviews in Therapeutic Drug Carrier Systems, 1990, 7, 1; El-Hariri et al., J. Pharm. Pharmacol., 1992, 44, 651).

En algunas realizaciones, las composiciones de oligonucleótidos para administración oral comprenden al menos dos fases discretas, fases que pueden comprender partículas, cápsulas, cápsulas de gel, microesferas, etc. Cada fase puede contener uno o más oligonucleótidos, potenciadores de la penetración, surfactantes, bioadhesivos, agentes efervescentes, u otros adyuvantes, excipientes o diluyentes. En algunas realizaciones, una fase comprende al menos un oligonucleótido y al menos un potenciador de la penetración. En algunas realizaciones, una primera fase comprende al menos un oligonucleótido y al menos un potenciador de la penetración, mientras que una segunda fase comprende al menos un potenciador de la penetración. En algunas realizaciones, una primera fase comprende al menos un oligonucleótido y al menos un potenciador de la penetración mientras que una segunda fase comprende al menos un potenciador de la penetración y sustancialmente ningún oligonucleótido. En algunas realizaciones, al menos una fase está compuesta con al menos un retardante de la degradación tal como un recubrimiento o una matriz, el cual retrasa la liberación del contenido de esa fase. En algunas realizaciones, al menos una fase, en algunas realizaciones, una primera fase comprende al menos un oligonucleótido, al menos un potenciador de la penetración, mientras que una segunda fase comprende al menos un potenciador de la penetración y un retardante de la liberación. En realizaciones particulares, una composición de oligonucleótido oral comprende una primera fase que comprende partículas que contienen un oligonucleótido y un potenciador de la penetración, y una segunda fase que comprende partículas recubiertas con un agente retardador de la liberación y que contiene un potenciador de la penetración.

Una variedad de sales biliares también funciona como potenciador de la penetración para facilitar el consumo y biodisponibilidad de fármacos. Los papeles fisiológicos de la bilis incluyen la facilitación de la dispersión y absorción de lípidos y vitaminas solubles en grasas (Brunton, Chapter 38 In: Goodman & Gilman's The Pharmacological Basis of Therapeutics, 9th Ed., Hardman et al., eds., McGraw-Hill, New York, NY, 1996, páginas 934-935). Diversas sales biliares naturales, y sus derivados sintéticos, actúan como potenciadores de la penetración. Así, el término "sal biliar" incluye cualquiera de los componentes de origen natural de la bilis así como de cualquiera de sus derivados

sintéticos. Las sales biliares de la invención incluyen, por ejemplo, ácido cólico (o su sal de sodio farmacéuticamente aceptable, colato de sodio), ácido deshidrocólico (deshidrocolato de sodio), ácido desoxicólico (desoxicolato de sodio), ácido glucólico (glucolato de sodio), ácido glucólico (glicodesoxicólico (glicodesoxicolato de sodio), ácido taurocólico (taurocolato de sodio), ácido taurodesoxicólico (taurodesoxicolato de sodio), ácido quenodesoxicólico (CDCA, quenodesoxicolato de sodio), ácido ursodexosicólico (UDCA), tauro -24,25-dihidro-fusidato de sodio (STDHF), glicodihidrofusidato de sodio y polioxietilen-9-laurilo éter (POE) (Lee et al., Critical Reviews in Therapeutic Drug Carrier Systems, 1991, page 92; Swinyard, Chapter 39 In: Remington's Pharmaceutical Sciences, 18th Ed., Gennaro, ed., Mack Publishing Co., Easton, PA, 1990, páginas 782-783; Muranishi, Critical Reviews in Therapeutic Drug Carrier Systems, 1990, 7, 1; Yamamoto et al., J. Pharm. Exp. Ther., 1992, 263, 25; Yamashita et al., J. Pharm. Sci., 1990, 79, 579).

5

10

15

20

25

30

35

40

60

En algunas realizaciones, los potenciadores de penetración de la presente invención son mezclas de compuestos potenciadores de la penetración. Una tal mezcla de penetración es UDCA (y/o CDCA) con ácidos cáprico y/o laúrico o sales de los mismos, por ejemplo de sodio. Tales mezclas son útiles para potenciar la administración de sustancias biológicamente activas a través de membranas mucosas. En particular de la mucosa intestinal. Otras mezclas potenciadoras de la penetración comprenden aproximadamente 5 - 95% de ácidos biliares o sales UDCA y/o CDCA con 5 - 95% de ácido cáprico y/o laúrico. Los potenciadores particulares de la penetración son mezclas de las sales de sodio de UDCA, ácido cáprico y ácido láurico en una relación de aproximadamente 1:2:2 respectivamente. Otro tal potenciador de la penetración es una mezcla de ácido cáprico y láurico (o sales de los mismos) en una relación 0.01:1 a 1:0.01 (en base molar). En realizaciones particulares el ácido cáprico y el ácido láurico están presentes en relaciones molares de por ejemplo aproximadamente 0.1:1 a aproximadamente 1:0.1, en particular de aproximadamente 0.5:1 a aproximadamente 1:0.5.

Otros excipientes incluyen agentes quelantes, esto es compuestos que remueven los iones metálicos de la solución formando complejos con los mismos, con el resultado de que la absorción de los oligonucleótidos a través de la mucosa alimentaria y otras es potenciada. Con respecto a su uso como potenciadores de la penetración en composiciones que contienen oligonucleótidos similares a ADN en la presente invención, los agentes quelantes tienen la ventaja agregada de servir también como inhibidores de la ADNasa, puesto que las nucleasas de ADN más caracterizadas requieren un ión metálico divalente para la catálisis y son por lo tanto inhibidas por agentes quelantes (Jarrett, J. Chromatogr., 1993, 618, 315). Los agentes quelantes de la invención incluyen, pero no se limitan a, etilen diamino tetraacetato de bisodio (EDTA), ácido cítrico, salicilatos (por ejemplo, salicilato de sodio, 5-metoxisalicilato y homovanilato), derivados N-acilo de colágeno, derivados lauret-9 y N-amino acilo de beta-dicetonas (enaminas) (Lee et al., Critical Reviews in Therapeutic Drug Carrier Systems, 1991, page 92; Muranishi, Critical Reviews in Therapeutic Drug Carrier Systems, 1990, 7, 1; Buur et al., J. Control Rel., 1990, 14, 43).

Tal como se utilizan aquí, los potenciadores de la penetración no quelantes no surfactantes pueden ser definidos como compuestos que demuestran una actividad insignificante como agentes quelantes o como surfactantes pero que no obstante potencian la absorción de oligonucleótidos a través de las membranas mucosas alimentarias y otras (Muranishi, Critical Reviews in Therapeutic Drug Carrier Systems, 1990, 7, 1). Esta clase de potenciadores de la penetración incluye, pero no se limita a, ureas cíclicas saturadas, derivados 1-alquilo y 1-alquenilazaciclo-alcanona (Lee et al., Critical Reviews in Therapeutic Drug Carrier Systems, 1991, página 92); y agentes antiinflamatorios no esteroidales como diclofenaco sodio, indometacina y fenilbutazona (Yamashita et al., J. Pharm. Pharmacol., 1987, 39, 621).

Los agentes que potencian el consumo de oligonucleótidos a nivel celular también pueden ser agregados a las composiciones farmacéuticas, terapéuticas y otras de la presente invención. Por ejemplo, pueden ser usados lípidos catiónicos, tales como LIPOFECTIN™ (Junichi et al, Patente de los Estados Unidos No. 5,705,188), derivados catiónicos de glicerol y moléculas policatiónicas, tales como polilisina (Lollo et al., solicitud PCT WO 97/30731).

Un "vehículo farmacéutico" o "excipiente" puede ser un solvente, agente de suspensión o cualquier otro vehículo farmacológicamente inerte farmacéuticamente aceptable para la administración de uno o más ácidos nucleicos a un animal. El excipiente puede ser líquido o sólido y se selecciona, con la forma planeada de administración en mente, de tal manera que provea el volumen, consistencia, etc., deseados, cuando se combina con un oligonucleótido y los otros componentes de una composición farmacéutica. Vehículos farmacéuticos típicos incluyen, pero no se limitan, agentes enlazantes (por ejemplo, almidón de maíz pregelatinizado, polivinilo pirrolidona o hidroxipropilo metilcelulosa, etc.); agentes de relleno (por ejemplo, lactosa y otros azúcares, celulosa microcristalina, pectina, gelatina, sulfato de calcio, etilo celulosa, poliacrilatos o hidrógeno fosfato de calcio, etc.); lubricantes (por ejemplo estearato de magnesio, talco, sílica, dióxido de silicio coloidal, ácido esteárico, estearatos metálicos, aceites vegetales hidrogenados, almidón de maíz, polietilen glicoles, benzoato de sodio, acetato de sodio, etc.); desintegrantes (por ejemplo almidón, glicolato de almidón de sodio, EXPLOTAB); y agentes humidificantes (por ejemplo, laurilo sulfato de sodio, etc.).

Las composiciones de oligonucleótidos orales pueden contener adicionalmente otros componentes adjuntos encontrados convencionalmente en las composiciones farmacéuticas, en sus niveles de uso establecidos por el arte. Así, por ejemplo, las composiciones pueden contener materiales adicionales, compatibles, farmacéuticamente activos tales como, por ejemplo, antipruríticos, astringentes, anestésicos locales o agentes antiinflamatorios, o

pueden contener materiales adicionales útiles en la formulación física de diversas formas de dosificación de la composición de la presente invención, tales como colorantes, agentes saborizantes, conservantes, antioxidantes, o pacificantes, agentes espesantes y estabilizadores. Sin embargo, tales materiales, cuando se agregan no deberían interferir de manera indebida con las actividades biológicas de los componentes de las composiciones de la presente invención.

Las composiciones o formulaciones para administración parenteral, intratecal o intraventricular pueden incluir soluciones acuosas estériles que pueden contener también reguladores, diluyentes y otros aditivos adecuados tales como, pero no limitándose a, potenciadores de la penetración, compuestos portadores y otros portadores o excipientes farmacéuticamente aceptables.

- Las composiciones farmacéuticas de la presente invención incluyen, pero no se limitan a, soluciones, emulsiones y formulaciones que contienen liposomas. Estas composiciones pueden ser generadas a partir de una variedad de componentes que incluyen, pero no se limitan a, líquidos preformados, sólidos autoemulsificantes y semisólidos autoemulsificantes.
- Las formulaciones farmacéuticas de la presente invención, las cuales pueden ser presentadas convenientemente en formas de dosificación unitarias, pueden ser preparadas de acuerdo con técnicas convencionales bien conocidas en la industria farmacéutica. Tales técnicas incluyen la etapa de asociar los ingredientes activos con los vehículos o excipientes farmacéuticos. En general las formulaciones son preparadas asociando uniforme e íntimamente los ingredientes activos con vehículos líquidos o vehículos sólidos finamente divididos o ambos, y luego, si es necesario configurar el producto.
- Las composiciones de la presente invención pueden ser formuladas en cualquiera de muchas formas de dosificación posibles tales como, pero no limitándose a, tabletas, cápsulas, cápsulas de gel, jarabes líquidos, geles blandos, supositorios y enemas. Las composiciones de la presente invención también pueden ser formuladas como suspensiones en medios acuosos, no acuosos o mixtos. Las suspensiones acuosas pueden contener adicionalmente sustancias que incrementan la viscosidad de la suspensión incluyendo, por ejemplo, carboximetilcelulosa de sodio, sorbitol y/o dextrano. La suspensión también puede contener estabilizantes.

En una realización de la presente invención, las composiciones farmacéuticas pueden ser formuladas y usadas como espumas. Las espumas farmacéuticas incluyen formulaciones tales como, pero no limitándose a, emulsiones, microemulsiones, cremas, gelatinas y liposomas. Mientras que son básicamente similares en naturaleza estas formulaciones varían en los componentes y en la consistencia del producto final. La preparación de tales composiciones y formulaciones es en general conocida para los experimentados en las artes farmacéuticas y de formulación y puede ser aplicada a la formulación de las composiciones de la presente invención.

Emulsiones

30

35

40

45

50

55

5

Las composiciones de la presente invención pueden ser preparadas y formuladas como emulsiones. Las emulsiones son sistemas típicamente heterogéneos de un líquido dispersado en otro en la forma de gotitas que se exceden usualmente 0.1 µm de diámetro (Idson, en Pharmaceutical Dosage Forms, Lieberman, Rieger y Banker (Eds.), 1988, Marcel Dekker, Inc., New York, N.Y., volume 1, p. 199; Rosoff, in Pharmaceutical Dosage Forms, Lieberman, Rieger y Banker (Eds.), 1988, Marcel Dekker, Inc., New York, N.Y., Volume 1, p. 245; Block in Pharmaceutical Dosage Forms, Lieberman, Rieger y Banker (Eds.), 1988, Marcel Dekker, Inc., New York, N.Y., volume 2, p. 335; Higuchi et al., in Remington's Pharmaceutical Sciences, Mack Publishing Co., Easton, PA, 1985, p. 301). Las emulsiones son frecuentemente sistemas bifásicos que comprenden dos fases líquidas invisibles mezcladas íntimamente y dispersadas una con otra. En general, las emulsiones pueden ser de la variedad agua en aceite (w/o) o de aceite en agua (o/w). Cuando una fase acuosa es dividida finamente en y dispersada como gotitas diminutas en una fase oleosa voluminosa la composición resultante se denomina una emulsión de aqua en aceite (w/o). Alternativamente. cuando una fase oleosa es dividida finamente en y dispersada como gotitas diminutas en una fase acuosa voluminosa la composición resultante es llamada una emulsión de aceite en agua (o/w). Las emulsiones pueden contener componentes adicionales además de las fases dispersas y el fármaco activo el cual puede estar presente como una solución bien sea en la fase acuosa en la fase oleosa o por sí mismo en una fase separada. Los excipientes farmacéuticos tales como emulsificadores, estabilizantes, colorantes y antioxidantes también pueden estar presentes en emulsiones según sea necesario. Las emulsiones farmacéuticas también pueden ser emulsiones múltiples que están compuestas de más de dos fases tales como, por ejemplo, en el caso de las emulsiones aceite en agua en aceite (o/w/o) y agua en aceite en agua (w/o/w). Tales formulaciones complejas proveen frecuentemente ciertas ventajas que las emulsiones binarias simples no proveen. Emulsiones múltiples en las cuales gotitas oleosas individuales de una emulsión o/w encierran pequeñas gotitas de agua constituyen una emulsión w/o/w. De la misma forma un sistema de gotitas oleosas encerradas en glóbulos de agua estabilizadas en una fase oleosa continua proveen una emulsión o/w/o.

Frecuentemente, la fase dispersa o discontinua de la emulsión está bien dispersa en la fase externa o continua y se mantiene en esta forma a través del medio de emulsificantes o de la viscosidad de la formulación. Cualquiera de las fases de la emulsión pueden ser un semisólido o un sólido, como es en el caso de ungüentos bases y cremas de tipo emulsión. Otros medios de estabilizar emulsiones conlleva el uso de emulsificantes que pueden ser

incorporados en cualquier fase de la emulsión. Los emulsificantes pueden ser clasificados ampliamente en cuatro categorías: surfactantes sintéticos, emulsificantes de origen natural, bases de absorción y sólidos finamente dispersados (Idson, in Pharmaceutical Dosage Forms, Lieberman, Rieger y Banker (Eds.), 1988, Marcel Dekker, Inc., New York, N.Y., volume 1, p. 199).

- Los surfactantes sintéticos, también conocidos como agentes activos de superficie, han encontrado amplia aplicabilidad en la formulación de emulsiones y han sido revisados en la literatura (Rieger, in Pharmaceutical Dosage Forms, Lieberman, Rieger y Banker (Eds.), 1988, Marcel Dekker, Inc., New York, N.Y., volume 1, p. 285; Idson, in Pharmaceutical Dosage Forms, Lieberman, Rieger y Banker (Eds.), Marcel Dekker, Inc., New York, N.Y., 1988, volume 1, p. 199). Los surfactantes son típicamente anfifílicos y comprenden una porción hidrofílica y una hidrófoba.

 La relación de la naturaleza hidrofílica a la hidrófoba del surfactante ha sido denominada el balance hidrófilo/lipófilo (HLB) y es una herramienta valiosa en la categorización y selección de surfactantes en la preparación de formulaciones. Los surfactantes pueden ser clasificados en clases diferentes con base en la naturaleza del grupo hidrofílico: no iónicos, aniónicos, catiónicos y anfotéricos (Rieger, in Pharmaceutical Dosage Forms, Lieberman, Rieger y Banker (Eds.), 1988, Marcel Dekker, Inc., New York, N.Y., volume 1, p. 285).
- Los emulsificantes de origen natural que se utilizan en formulaciones en emulsión incluyen lanolina, cera de abejas, fosfátidos, lecitina y acacia. Las bases de absorción poseen propiedades hidrofílicas de tal forma que pueden absorber agua para formar emulsiones w/o a la vez que detienen sus consistencias semisólidas, tales como lanolina anhidra y petrolato hidrofílico. Se han usado también sólidos finamente divididos como buenos emulsificadores especialmente en combinación con surfactantes y en preparaciones viscosas. Estos incluyen sólidos inorgánicos polares, tales como hidróxidos de metales pesados, arcillas no hinchables tales como bentonita, atapulgita, ectolita, caolín, montmorillonita, silicato de aluminio coloidal y silicato de magnesio y aluminio coloidal, pigmentos y sólidos no polares tales como carbono o triestearato de glicerilo.
- Una gran variedad de materiales no emulsificantes está también incluida en las formulaciones de emulsiones y contribuyen a las propiedades de las emulsiones. Incluyen grasas, aceites, ceras, ácidos grasos, alcoholes grasos, ésteres grasos, humectantes, coloides hidrofílicos, conservantes y antioxidantes (Block, in Pharmaceutical Dosage Forms, Lieberman, Rieger y Banker (Eds.), 1988, Marcel Dekker, Inc., New York, N.Y., volume 1, p. 335; Idson, in Pharmaceutical Dosage Forms, Lieberman, Rieger y Banker (Eds.), 1988, Marcel Dekker, Inc., New York, N.Y., volume 1, p. 199).
- Coloides o hidrocoloides hidrofílicos incluyen gomas de origen natural y polímeros sintéticos tales como polisacáridos (por ejemplo, acacia, agar, ácido algínico, carragenano, goma guar, goma de karaya y tragacanto), derivados de la celulosa (por ejemplo, carboximetilcelulosa y carboxipropilcelulosa), y polímeros sintéticos (por ejemplo, carbómeros, éteres de celulosa y polímeros de carboxivinilo). Estos se dispersan o hinchan en el agua para formar soluciones coloidales que estabilizan las emulsiones formando películas interfases fuertes alrededor de las gotitas de fase dispersa e incrementando la viscosidad de la fase externa.
- Puesto que las emulsiones contienen frecuentemente un cierto número de ingredientes tales como carbohidratos, proteínas, esteroles y fosfátidos que pueden soportar fácilmente el crecimiento de microbios, estas formulaciones incorporan frecuentemente conservantes. Conservantes comúnmente usados incluidos en las formulaciones en emulsión incluyen metilparabeno, propilparabeno, sales de amonio cuaternario, cloruro de benzalconio, ésteres de ácido p-hidroxibenzoico y ácido bórico. También se agregan con un antioxidante a las formulaciones en emulsión para evitar el deterioro de la formulación. Los antioxidantes usados pueden ser consumidores de radicales libres tales como tocoferoles, galatos de alquilo, hidroxianisol butilado, hidroxi tolueno butilado, o agentes reductores tales como ácido ascórbico y metabisulfito de sodio y sinergistas antioxidantes tales como ácido cítrico, ácido tartárico y lecitina.
- La aplicación de formulaciones en emulsión a través de rutas dermatológicas orales y parenterales y métodos para su manufactura han sido revisadas en la literatura (Idson, in Pharmaceutical Dosage Forms, Lieberman, Rieger y Banker (Eds.), 1988, Marcel Dekker, Inc., New York, N.Y., volume 1, p. 199). Las formulaciones en emulsión para administración oral han sido utilizadas ampliamente por razones de facilidad de formulación, eficacia desde el punto de vista de absorción y biodisponibilidad (Rosoff, in Pharmaceutical Dosage Forms, Lieberman, Rieger y Banker (Eds.), 1988, Marcel Dekker, Inc., New York, N.Y., volume 1, p. 245; Idson, in Pharmaceutical Dosage Forms, Lieberman, Rieger y Banker (Eds.), 1988, Marcel Dekker, Inc., New York, N.Y., volume 1, p. 199). Laxantes en base de aceite mineral, vitaminas solubles en aceite y preparaciones nutritivas altas en grasas están dentro de los materiales que han sido administrados comúnmente por vía oral como emulsiones o/w.
- En una realización de la presente invención, la composición de oligonucleótidos se formula como microemulsiones. Una microemulsión puede ser definida como un sistema de agua, aceite y un anfifílico el cual es una solución líquida ópticamente isotrópica y termodinámicamente estable (Rosoff, in Pharmaceutical Dosage Forms, Lieberman, Rieger y Banker (Eds.), 1988, Marcel Dekker, Inc., New York, N.Y., volume 1, p. 245). Típicamente las microemulsiones son sistemas que son preparados primero por dispersión de un aceite en una solución acuosa surfactante y luego la adición de una cantidad suficiente de un cuarto componente, y en general un alcohol de longitud de cadena intermedia para formar un sistema transparente. Por lo tanto, las microemulsiones también han sido descritas como dispersiones termodinámicamente estables, isotrópicamente claras de dos líquidos inmiscibles que son estabilizados

por películas interfase de moléculas con actividad superficial (Leung and Shah, in: Controlled Release of Drugs: Polimers and Aggregate Systems, Rosoff, M., Ed., 1989, VCH Publishers, New York, páginas 185-215). Las microemulsiones se preparan comúnmente a través de una combinación de tres a cinco componentes que incluyen aceite, agua, surfactante, cosurfactante y electrolito. Si la emulsión es del tipo agua en aceite (w/o) o de aceite en agua tipo (o/w) depende de las propiedades del aceite y del surfactante usados y de la estructura y empaque geométrico de las cabezas polares y de las colas de hidrocarburo de las moléculas surfactantes (Schott, in Remington's Pharmaceutical Sciences, Mack Publishing Co., Easton, PA, 1985, p. 271).

La aproximación fenomenológica que utiliza diagramas de fase ha sido estudiada extensamente y ha producido un conocimiento amplio, para una persona experimentada en el arte, de cómo formular microemulsiones (Rosoff, in Pharmaceutical Dosage Forms, Lieberman, Rieger y Banker (Eds.), 1988, Marcel Dekker, Inc., New York, N.Y., volume 1, p. 245; Block, in Pharmaceutical Dosage Forms, Lieberman, Rieger y Banker (Eds.), 1988, Marcel Dekker, Inc., New York, N.Y., volume 1, p. 335). En comparación con las emulsiones convencionales, las microemulsiones ofrecen la ventaja de solubilizar fármacos insolubles en agua en una formulación de gotitas termodinámicamente estables que se forman espontáneamente.

- 15 Los surfactantes usados en la preparación de microemulsiones incluyen, pero no se limitan a, surfactantes iónicos, surfactantes no iónicos, Brij 96, éteres de polioxietilen oleilo, ésteres de ácidos grasos de poliglicerol, monolaurato de tetraglicerol (ML310), monooleato de tetraglicerol (MO310), monooleato de hexaglicerol (PO310), pentaoleato de hexaglicerol (PO500), monocaprato de decaglicerol (MCA750), monocleato de decaglicerol (MO750), sequioleato de decaglicerol (SO750), decaoleato de decaglicerol (DAO750), solos o en combinación con cosurfactantes. El 20 cosurfactante, usualmente un alcohol de cadena corta, tal como etanol, 1-propanol y 1-butanol, sirve para incrementar la fluidez interfase penetrando en la película del surfactante y consecuentemente creando una película desordenada debido al espacio vacío generado entre las moléculas del surfactante. Las microemulsiones sin embargo, pueden ser preparadas sin el uso de cosurfactantes y los sistemas libres de alcohol de emulsiones autoemulsificantes son conocidos en la técnica. La fase acuosa puede ser típicamente, pero no se limita a, aqua, 25 una solución acuosa del fármaco, glicerol, PEG300, PEG400, poligliceroles, propilen glicoles, y derivados de etilen glicol. La fase acuosa puede incluir, pero no se limita a, materiales tales como Captex 300, Captex 355, Capmul MCM, ésteres de ácidos grasos, mono, di y triglicéridos de cadena media (C8-C12), ésteres de ácidos grasos de glicerilo polioxietilados, alcoholes grasos, glicéridos poliglicolizados, glicéridos C8-C10 poliglicolizados saturados, aceites vegetales y aceite de silicona.
- 30 Las microemulsiones son particularmente de interés desde el punto de vista de la solubilización de fármacos y de la absorción potenciada de los fármacos. Las microemulsiones en base lípidica (tanto o/w como w/o han sido propuestas para proteger la biodisponibilidad oral de fármacos, incluyendo péptidos (Constantinides et al., Pharmaceutical Research, 1994, 11, 1385-1390; Ritschel, Meth. Find. Exp. Clin. Pharmacol., 1993, 13, 205). Las microemulsiones proporcionan ventajas de solubilización mejorada al fármaco, protección del fármaco frente a 35 hidrólisis enzimática con posible potenciamiento de la absorción del fármaco debido a alteraciones inducidas por el surfactante en la fluidez y permeabilidad de las membranas, facilidad de preparación, facilidad de administración oral respecto a las formas de dosificación sólida, potencia clínica mejorada, y toxicidad disminuida (Constantinides et al., Pharmaceutical Research, 1994, 11, 1385; Ho et al., J. Pharm. Sci., 1996, 85, 138-143). Frecuentemente las microemulsiones pueden formarse espontáneamente cuando sus componentes son reunidos a temperatura 40 ambiente. Esto puede ser particularmente ventajoso cuando se formulan fármacos termolábiles, péptidos u oligonucleótidos. Las microemulsiones también han sido efectivas en la administración transdérmica de componentes activos tanto en aplicaciones cosméticas como farmacéuticas. Se espera que las composiciones y formulaciones en microemulsión de la presente invención faciliten la absorción sistémica incrementada de oligonucleótidos desde el tracto gastrointestinal, así como mejore el consumo celular local de oligonucleótidos dentro 45 del tracto gastrointestinal, vagina, cavidad oral y otras áreas de administración.

Las microemulsiones de la presente invención también pueden contener componentes y aditivos adicionales tales como monoestearato de sorbitano (Grill 3), Labrasol, y potenciadores de la penetración para mejorar las propiedades de la formulación y para potenciar la absorción de los oligonucleótidos y ácidos nucleicos de la presente invención. Los potenciadores de la penetración usados en las microemulsiones de la presente invención pueden ser clasificados como pertenecientes a una de cinco amplias categorías -surfactantes, ácidos grasos, sales biliares, agentes quelantes y no surfactantes no quelantes (Lee et al., Critical Reviews in Therapeutic Drug Carrier Systems, 1991, p. 92). Cada una de estas clases ha sido discutida anteriormente.

Liposomas

50

60

5

10

Hay muchas estructuras surfactantes organizadas además de las microemulsiones que han sido estudiadas utilizadas en la formulación de fármacos. Incluyen monocapas, micelas, bicapas y vesículas. Las vesículas, tales como los liposomas, han atraído gran interés por su especificidad y la duración de acción que ofrecen desde el punto de vista de la administración de fármacos. Tal como se utiliza en la presente invención, el término "liposoma" significa una vesícula compuesta de lípidos anfifílicos dispuestos en una bicapa o bicapas esféricas.

Los liposomas son vesículas unilamelares u multilamelares que tiene una membrana formada a partir de un material lipofílico y un interior acuoso. La porción acuosa contiene la composición que se va a administrar. Los liposomas

ES 2 521 599 T3

catiónicos poseen la ventaja de ser capaces de fusionarse con la pared celular. Los liposomas no catiónicos, aunque no son capaces de fusionarse tan eficientemente con la pared celular, son tomados por macrófagos *in vivo*.

Con el fin de cruzar intactas la piel de los mamíferos, las vesículas lípidicas deben pasar a través de una serie de poros finos, cada uno con un diámetro menor de 50 nm, bajo la influencia de un gradiente transdérmico adecuado. Por lo tanto, es deseable usar un liposoma que sea altamente deformable capaz de pasar a través de tales poros finos

5

10

15

20

30

50

Ventajas adicionales de los liposomas incluyen: los liposomas obtenidos a partir de fosfolípidos naturales son biocompatibles y biodegradables; los liposomas pueden incorporar un amplio rango de fármacos solubles en agua y lípidos; los liposomas pueden proteger fármacos encapsulados en sus compartimientos internos del metabolismo y la degradación (Rosoff, in Pharmaceutical Dosage Forms, Lieberman, Rieger y Banker (Eds.), 1988, Marcel Dekker, Inc., New York, N.Y., volumen 1, p. 245). Consideraciones importantes en la preparación de formulaciones de liposomas son la carga de la superficie lípidica, el tamaño de la vesícula y el volumen acuoso de los liposomas.

Los liposomas son útiles para la transferencia y administración de ingredientes activos en el sitio de acción. Debido a que la membrana del liposoma es estructuralmente similar a las membranas biológicas, cuando los liposomas son aplicados a un tejido, los liposomas comienzan a fusionarse con las membranas celulares. A medida que la fusión del liposoma y la célula avanzan, el contenido del liposoma es vaciado hacia la célula en donde el agente activo puede actuar.

Las formulaciones de liposomas han sido el foco de investigaciones extensas como modo de administración de muchos fármacos. Hay una evidencia creciente de que para administración tópica, los liposomas presentan varias ventajas sobre otras formulaciones. Tales ventajas incluyen efectos colaterales reducidos relacionados con una alta absorción sistémica del fármaco administrado, acumulación incrementada del fármaco administrado en el objetivo deseado, y la capacidad de administrar una amplia variedad de fármacos, tanto hidrofílicos como hidrófobos, en la piel.

Varios reportes han detallado la capacidad de los liposomas para administrar agentes incluyendo ADN de alto peso molecular en la piel. Compuestos que incluyen analgésicos, anticuerpos, hormona y ADN de alto peso molecular han sido administrados a la piel. La mayoría de las aplicaciones dieron como resultado el direccionamiento de la epidermis superior.

Los liposomas caen dentro de dos clases amplias y son útiles para la administración de ADN, ARN o cualquier constructo basado en ácidos nucleicos. Los liposomas catiónicos son liposomas cargados positivamente que interactúan con moléculas de ADN cargadas negativamente para formar un complejo estable. El complejo ADN/liposoma cargado positivamente se enlaza a la superficie celular cargada negativamente y es internalizado en un endosoma. Debido al pH ácido dentro del endosoma, los liposomas son rotos, liberando su contenido en el citoplasma de la célula (Wang et al., Biochem. Biophys. Res. Commun., 1987, 147, 980-985).

Los liposomas que son sensibles al pH o cargados negativamente, atrapan el ADN en vez de complejarse con él.

Puesto que tanto el ADN como el lípido tienen carga similar, ocurre repulsión más bien que la formación de complejo. No obstante, algo del ADN queda atrapado dentro del interior acuoso de estos liposomas. Los liposomas sensibles al pH han sido utilizados para administrar ADN que codifica el gen de timidina quinasa a monocapas celulares en cultivo. La expresión del gen exógeno fue detectada en las células objetivo (Zhou et al., Journal of Cintrolled Release, 1992, 19, 269-274).

Un tipo principal de composición liposómica incluye fosfolípidos diferentes a la fosfatidilo colina de origen natural. Las composiciones de liposomas neutras, por ejemplo, pueden formarse a partir de dimiristoilo fosfatidilo colina (DMPC) o dipalmitoilo fosfatidilo colina (DPPC). Las composiciones de liposomas aniónicas generalmente se forman a partir de dimiristoilo fosfatidilo glicerol mientras que los liposomas fusogénicos aniónicos se forman primariamente a partir de dioleoilo fosfatidilo etalonamida (DOPE). Otro tipo de composición liposómica se forma a partir de fosfatidilo colina (PC) tal como, por ejemplo, PC de soja, y PC de huevo. Otro tipo se forma a partir de mezclas de fosfolípidos y/o fosfatidilo colina y/o colesterol.

Varios estudios han estudiado la administración tópica de formulaciones de fármacos liposómicas a la piel. La aplicación de liposomas que contienen interferón a la piel de cobayas dio como resultado una reducción en lesiones por herpes de piel mientras que la administración de interferón a través de otros medios (por ejemplo, como una solución o como una emulsión) no fue efectiva (Weiner et al., Journal of Drug Targeting, 1992, 2, 405-410). Adicionalmente, un estudio adicional probo la eficacia del interferón administrado como parte de una formulación liposómica en comparación con la administración de interferón utilizando un sistema acuoso, y concluyo que la formulación liposómica era superior a la administración acuosa (du Plessis et al., Antiviral Research, 1992, 18, 259-265).

Los sistema liposómicos no iónicos también han sido examinados para determinar su utilidad en la administración de fármacos a la piel, en particular sistemas que comprenden surfactantes no iónicos y colesterol. Las formulaciones liposómicas no iónicas que comprenden NovasomeTM I (dilaurato de glicerilo/colesterol/polioxietilen-10-estearilo éter)

ES 2 521 599 T3

y NovasomeTM II (diestearato de glicerilo/colesterol/polioxietilen-10-estearilo éter) fueron utilizadas para administrar ciclosporina-A en la dermis de piel de ratón. Los resultados indicaron que tales sistemas liposómicos no iónicos fueron efectivos en facilitar la deposición de la ciclosporina-A en diferentes capas de la piel (Hue et al., S. T. P. Pharma. Sci., 1994, 4, 6, 466).

Los liposomas también incluyen liposomas "estéricamente estabilizados", un término que, tal como se utiliza aquí, se refiere a liposomas que comprenden uno o más lípidos especializados que, cuando se incorporan en los liposomas, dan como resultado tiempos de vida de circulación potenciados con respecto a liposomas que carecen de tales lípidos especializados. Ejemplos de liposomas estéricamente estabilizados son aquellos en los cuales parte de la porción líquida que forma la vesícula del liposoma (A) comprende uno o más glicolípidos, tales como monosialogangliósido G_{M1}, o (B) es derivado con uno o más polímeros hidrofílicos, tales como una unidad estructural polietilen glicol (PEG). Mientras que no se desea está limitado por ninguna teoría particular, se cree en la técnica que, al menos para liposomas estabilizados estéricamente que contienen gangliósidos, esfingomielina o lípidos derivados con PEG, la vida media de circulación potenciada de estos liposomas estabilizados estéricamente se deriva de un consumo reducido en las células del sistema retículoendotelial (RES) (Allen et al., FEBS Letters, 1987, 223, 42; Wu et al., Cancer Research, 1993, 53, 3765).

Diversos liposomas que comprenden uno o más glicolípidos son conocidos en la técnica. Papahadjopoulos et al. (Ann. N.Y. Acad. Sci., 1987, 507, 64) reportó la capacidad del monosialogangliósido G_{M1} , sulfato de galactocerebrósido y fosfatidilinositol para mejorar la vida media en sangre de liposomas. Estos hallazgos fueron aprovechados por Gabizon et al. (Proc. Natl. Acad. Sci. U. S.A., 1988, 85, 6949). La Patente de los Estados Unidos No. 4, 837,028 y WO 88/04924, ambas de Allen *et al.*, divulgan liposomas que comprenden (1) esfingomielina y (2) el gangliósido G_{M1} o un éster de sulfato de galactocerebrósido. La Patente de los Estados Unidos No. 5,543,152 (Webb et al.) divulga liposomas que comprenden esfingomielina. Liposomas que comprenden 1,2-*sn*-dimiristoilfosfatidilcolina están divulgados en WO 97/13499 (Lim et al.).

20

25

30

35

40

45

50

55

60

Muchos liposomas que comprenden lípidos derivados con uno o más polímeros hidrofílicos, y métodos para preparación de los mismos son conocidos en la técnica. Sunamoto et al. (Bull. Chem. Soc. Jpn., 1980, 53, 2778) describió liposomas que comprenden un detergente no iónico, 2C₁₂15G, que contienen una unidad estructural PEG. Illum et al. (FEBS Lett., 1984, 167, 79) anotó que el recubrimiento hidrofílico de partículas de poliestireno con glicoles poliméricos da como resultado vidas medias en sangre significativamente potenciadas. Fosfolípidos sintéticos modificados por la unión de grupos carboxílicos de polialquilen glicoles (por ejemplo, PEG) son descritos por Sears (Patentes de los Estados Unidos Nos. 4, 426,330 y 4, 534,899). Klibanov et al. (FEBS Lett., 1990, 268, 235) describió experimentos que demuestran que los liposomas que comprenden fosfatidilo etanolamina (PE) derivados con PEG o estearato de PEG tienen significativos incrementos en las vidas medias de circulación en sangre. Blume et al. (Biochimica et Biophysica Acta, 1990, 1029, 91) extendió tales observaciones a otros fosfolípidos derivados con PEG, por ejemplo, DSPE-PEG, formado a partir de la combinación de distearoilfosfatidiletanolamina (DSPE) y PEG. Los liposomas que contienen unidades estructurales PEG enlazadas covalentemente sobre su superficie externa están descritos en la Patente Europea No. EP 0 445 131 B1 y WO 90/04384 de Fisher. Las composiciones de liposomas que contienen 1 - 20 por ciento molar de PE derivado con PEG, y métodos para uso de los mismos, están descritas por Woodle et al. (Patentes de los Estados Unidos Nos. 5,013,556 y 5,356,633) y Martin et al. (Patente de los Estados Unidos No. 5,213,804 y Patente Europea No. EP 0 496 813 B1). Los liposomas que comprenden un cierto número de otros conjugados lípido-polímeros están divulgados en WO 91/05545 y la Patente de los Estados Unidos No. 5, 225,212 (ambas de Martin et al.) y en la WO 94/20073 (Zalipsky et al). Los liposomas que comprenden lípidos de ceramida modificados con PEG están descritos en la WO 96/10391 (Choi et al.). Las Patentes de los Estados Unidos Nos. 5,540,935 (Miyazaki et al.) y 5,556,948 (Tagawa et al.) describen liposomas que contienen PEG que pueden ser llevados adicionalmente con unidades estructurales funcionales sobre sus superficies.

La WO 96/40062 de Thierry et al., divulga métodos para encapsular ácidos nucleicos de alto peso molecular en liposomas. La Patente de los Estados Unidos 5, 264,221 de Tagawa et al., divulga liposomas enlazados a proteínas y establece que el contenido de tales liposomas puede incluir un ARN antisentido. La Patente de los Estados Unidos 5,665,710 de Rahman et al. describe cierto métodos de encapsular oligodesoxinucleótidos en liposomas. La WO 97/04787 de Love et al. divulga liposomas que comprenden oligonucleótidos antisentido direccionados al gen raf.

Los transfersomas son todavía otro tipo de liposomas, y son agregados lipídicos altamente deformables que son candidatos atractivos para vehículos de administración de fármacos. Los transferosomas pueden ser descritos como gotitas de lípidos que son tan altamente deformables que pueden ser capaces fácilmente de penetrar a través de poros que son más pequeños que la gotita. Los transfersomas son adaptables al ambiente en el cual se utilizan, por ejemplo, son autooptimizantes (se adaptan a la forma de los poros en la piel), autorreparadores, frecuentemente alcanzan sus objetivos sin fragmentarse, y frecuentemente facilitan la autocarga. Para hacer transfersomas es posible agregar activadores de bordes superficiales, usualmente surfactantes, a una composición liposómica estándar. Los transfersomas han sido utilizados para administrar albumina de suero a la piel. La administración mediada por transfersomas de la albumina de suero ha demostrado ser tan efectiva como la inyección subcutánea de una solución que contiene albumina de suero.

Los surfactantes encuentran amplia aplicación en formulaciones tales como emulsiones (incluyendo microemulsiones) y liposomas. La forma más común de clasificar y calificar las propiedades de los muchos diferentes tipos de surfactantes, tanto naturales como sintéticos, es mediante el uso del balance hidrófilo/lipófilo (HLB). La naturaleza del grupo hidrofílico (también conocido como la "cabeza") provee el medio más útil para categorizar los diferentes surfactantes usados en formulaciones (Rieger, in Pharmaceutical Dosage Forms, Marcel Decker, Inc., New York, NY, 1988, p. 285).

Si la molécula surfactante no está ionizada, se clasifica como un surfactante no iónico. Los surfactantes no iónicos encuentran amplia aplicación en productos farmacéuticos y cosméticos y son utilizables en un amplio rango de valores de pH. En particular sus valores HLB varían de 2 a aproximadamente 18 dependiendo de su estructura. Los surfactantes no iónicos incluyen ésteres no iónicos tales como ésteres de etilenglicol, ésteres de propilen glicol, ésteres de glicerilo, ésteres de poliglicerilo, ésteres de sorbitano, ésteres de sacarosa, y ésteres etoxilados. Alcanolaminas y éteres no iónicos tales como etoxilatos de alcoholes grasos, alcoholes propoxilados y polímeros de bloque etoxilados/propoxilados también están incluidos en esta clase. Los surfactantes de polioxietileno son los miembros más populares de la clase de surfactantes no iónicos.

Si la molécula del surfactante porta una carga negativa cuando se disuelve o dispersa en agua, el surfactante se clasifica como aniónico. Surfactantes aniónicos incluyen carboxilatos tales como jabones, lactilatos de acilo, acilamidas de aminoácidos, ésteres de ácido sulfúrico tales como sulfatos de alquilo y sulfatos de alquilo etoxilados, sulfonatos tales como sulfonatos de alquilo benceno, isetionatos de acilo, taurolatos de acilo y sulfusuccinatos y fosfatos. Los miembros más importantes de la clase de surfactantes aniónicos son los sulfatos de alquilo y los jabones.

Si la molécula surfactante porta una carga positiva cuando se disuelve o dispersa en agua, el surfactante se clasifica como catiónico. Los surfactantes catiónicos incluyen sales de amonio cuaternarias y aminas etoxiladas. Las sales de amonio cuaternaria son los miembros más usados de esta clase.

Si la molécula surfactante tiene la capacidad de portar bien sea una cara positiva o negativa, el surfactante se clasifica como anfotérico. Los surfactantes anfotéricos incluyen derivados de ácido acrílico, alquilo amida sustituidas, N-alquilbetaínas y fosfátidos.

Ha sido revisado el uso de surfactantes en productos de fármacos, formulaciones y en emulsiones (Rieger, in Pharmaceutical Dosage Forms, Marcel Dekker, Inc., New York, NY, 1988, p. 285).

Excipientes orgánicos o inorgánicos farmacéuticamente aceptables adecuados para administración no parenteral que no reaccionan de manera nociva con los ácidos nucleicos pueden ser utilizados para formular las composiciones de la presente invención. Vehículos farmacéuticamente aceptables adecuados incluyen, pero no se limitan a, agua, soluciones salinas, alcoholes, polietilen glicoles, gelatina, lactosa, amilosa, estearato de magnesio, talco, ácido silícico, parafina viscosa, hidroximetilo celulosa, polivinilo pirrolidona y similares.

Las formulaciones para administración tópica de ácidos nucleicos pueden incluir soluciones acuosas estériles y no estériles, soluciones no acuosas en solventes comunes tales como alcoholes, o soluciones de los ácidos nucleicos en bases oleosas líquidas o sólidas. Las soluciones también pueden contener reguladores, diluyentes y otros aditivos adecuados. Pueden ser usados excipientes orgánicos o inorgánicos farmacéuticamente aceptables para administración no parenteral que no reaccionan nocivamente con los ácidos nucleicos.

Excipientes farmacéuticamente aceptables adecuados incluyen, pero no se limitan a, agua, soluciones salinas, alcohol, polietilen glicoles, gelatina, lactosa, amilosa, estearato de magnesio, talco, ácido silícico, parafina viscosa, hidroximetilo celulosa, polivinilo pirrolidona y similares.

Administración pulsátil

40

45

5

10

Los compuestos de la presente invención también pueden ser administrados por administración pulsátil. "Administración pulsátil" se refiere a una formulación farmacéutica que administra un primer pulso de fármaco (por ejemplo un compuesto antisentido) combinado con un potenciador de la penetración y un segundo pulso potenciador de la penetración para promover la absorción del fármaco que no está siendo absorbido por liberación con el primer pulso del potenciador de penetración.

Una realización de la presente invención es una formulación oral de liberación retardada para absorción de fármaco intestinal potenciada que comprende:

- (a) una primera población de partículas portadoras que comprenden dicho fármaco y un potenciador de la penetración, en donde dicho fármaco y dicho potenciador de la penetración son liberados en una primera localización en el intestino; y
 - (b) una segunda población de partículas portadoras que comprenden un potenciador de la penetración y una matriz o recubrimiento de liberación retardada, en donde el potenciador de penetración es liberado en una segunda

ES 2 521 599 T3

localización en el intestino corriente abajo de la primera localización, con lo cual la absorción del fármaco es potenciada cuando el fármaco alcanza la segunda localización.

Alternativamente, el potenciador de la penetración (a) y (b) es diferente.

Este potenciamiento es obtenido encapsulando al menos dos poblaciones de partículas portadoras. La primera población de partículas portadoras comprende una sustancia biológicamente activa y un potenciador de la penetración, y la segunda población (y opcionalmente adicional) de partículas portadoras comprende un potenciador de la penetración y un recubrimiento o matriz de liberación retardada.

Un "efecto de primer paso" que se aplica a fármacos administrados oralmente es la degradación debido a la acción de ácidos gástricos y diversas enzimas digestivas. Un medio para mejorar los efectos de eliminación de primer paso es incrementar la dosis de fármaco administrada, compensando de esta forma la proporción de fármaco perdido en la limpieza del primer paso. Aunque esto puede ser logrado fácilmente con la administración i.v., por ejemplo proveyendo simplemente más del fármaco a un animal, otros factores influyen en la biodisponibilidad de los fármacos administrados a través de medios no parenterales. Por ejemplo, un fármaco puede ser degradado enzimáticamente o químicamente en el canal alimentario o en la corriente sanguínea y/o puede ser impermeable o semiimpermeable a diversa membranas mucosas.

También se contempla que estas composiciones farmacéuticas son capaces de potenciar la absorción de sustancias biológicamente activas cuando se administran a través de las rutas rectal, vaginal, nasal o pulmonar. También se contempla que la liberación de sustancias biológicamente activas puede ser alcanzada en cualquier parte del tracto gastrointestinal.

20 Las composiciones de oligonucleótidos farmacéuticas líquidas pueden ser preparadas combinando el oligonucleótido con un vehículo adecuado, por ejemplo agua estéril libre de pirógenos, o solución salina. Otros compuestos terapéuticos pueden ser incluidos opcionalmente.

La presente invención también contempla el uso de composiciones en partículas sólidas. Tales composiciones comprenden preferiblemente partículas de oligonucleótidos que son de tamaño respirable. Tales partículas pueden ser preparadas, por ejemplo, triturando oligonucleótidos secos por medios convencionales, por ejemplo con un mortero y pistilo, y luego pasando la composición de polvo resultante a través de un tamiz de malla 400 para segregar partículas grandes y aglomerados. Una composición de partículas sólidas compuesta de un oligonucleótido activo puede contener opcionalmente un dispersante que sirve para facilitar la formación de un aerosol, por ejemplo lactosa.

De acuerdo con la presente invención, las composiciones de oligonucleótidos pueden ser convertidas en aerosoles. La conversión en aerosoles de las partículas líquidas puede ser producida por cualquier medio adecuado, tal como un nebulizador. Véase, por ejemplo la Patente de los Estados Unidos No. 4,501,729. Los nebulizadores son dispositivos disponibles comercialmente que transforman las soluciones o suspensiones en una neblina de aerosol terapéutico bien sea por medio de aceleración de un gas comprimido, típicamente aire u oxígeno, a través de un orificio vénturi estrecho o por medio de agitación ultrasónica. Nebulizadores adecuados incluyen aquellos vendidos por Blairex[®] bajo el nombre PARI LC PLUS, PARI DURA-NEB 2000, PARI-BABY Size, PARI PRONEB Compressor with LC PLUS, PARI WALKHALER Compressor/Nebulizer System, PARI LC PLUS Reusable Nebulizer, y PARI LC Jet+ ®Nebulizer.

Las formulaciones para uso en nebulizadores pueden consistir de un oligonucleótido en un líquido, tal como en agua estéril libre de pirógenos, o solución salina, en donde el oligonucleótido comprende hasta aproximadamente 40% p/p de la formulación. Preferiblemente, el oligonucleótido comprende menos de 20% p/p. Si se desea, pueden agregarse aditivos adicionales tales como conservantes (por ejemplo, hidroxibenzoato de metilo), antioxidantes y agentes saborizantes a la composición. Las partículas sólidas que comprenden un oligonucleótido también pueden ser convertidas en aerosol utilizando cualquier generador de aerosol de medicamento 5 en partículas sólidas conocida en la técnica. Tales generadores de aerosol producen partículas respirables, tal como se describieron anteriormente, y producen adicionalmente dosis medidas reproducibles por unidad de volumen de aerosol. Generadores de aerosol en partículas sólidas adecuados incluyen insufladores e inhaladores de dosis 10 medidas. Inhaladores de dosis medidas son utilizados en la técnica y son útiles en la presente invención.

Preferiblemente, los aerosoles líquidos o sólidos son producidos a una rata que va de aproximadamente 10 a 150 litros por minuto, más preferiblemente desde aproximadamente 30 a 150 litros por minuto y lo más preferiblemente aproximadamente 60 litros por minuto.

La biodisponibilidad potenciada de sustancias biológicamente activas también se alcanza a través de la administración oral de las composiciones de la presente invención.

Otros componentes

10

15

Las composiciones de la presente invención pueden contener adicionalmente otros componentes adjuntos encontrados convencionalmente en composiciones farmacéuticas, en sus niveles de utilización establecidos por el arte. Así, por ejemplo, las composiciones pueden contener materiales farmacéuticamente activos compatibles adicionales tales como, por ejemplo antipruríticos, astringentes, anestésicos locales o agentes antiinflamatorios, o pueden contener materiales adicionales útiles en formular físicamente diversas formas de dosificación de las composiciones de la presente invención, tales como colorantes, agentes saborizantes, conservantes, antioxidantes, o pacificantes, agentes espesantes y estabilizadores. Sin embargo, tales materiales, cuando se agregan, no deberían interferir indebidamente con las actividades biológicas de los componentes de las composiciones de la presente invención. Las formulaciones pueden ser esterilizadas y, si se desea, mezcladas con agentes auxiliares, por ejemplo lubricantes, conservantes, estabilizadores, agentes humidificantes, emulsificantes, sales para influenciar la presión osmótica, reguladores, colorantes, saborizantes y/o sustancias aromáticas y similares que no interactúan nocivamente con los ácidos nucleicos de la formulación.

Las suspensiones acuosas pueden contener sustancias que incrementan la viscosidad de la suspensión incluyendo, por ejemplo, carboximetilo celulosa de sodio, sorbitol y/o dextrano. La suspensión también puede contener estabilizadores.

Ciertas realizaciones de la invención proveen composiciones farmacéuticas que contienen (a) uno o más compuestos antisentido y (b) uno o más agentes quimioterapéuticos que funcionan por un mecanismo no antisentido. Ejemplos de tales agentes quimioterapéuticos incluyen pero no se limitan a daunorrubicina, daunomicina, dactinomicina, doxorrubicina, epirrubicina, idarrubicina, esorrubicina, bleomicina, mafosfamida, ifosfamida, citosina arabinosido, biscloroetilnitrosurea, busulfan, mitomicina C, actinomicina D, mitramicina, prednisona, hidroxiprogesterona, testosterona, tamoxifen, dacarbazina, procarbazina, hexametilenamina, pentametilenamina, mitoxantrona amsacrina, clorambucilo, metilcicloexilnitrosurea, mostazas de nitrógeno, melfalan, ciclofosfamida, 6-mercaptopurina, 6-tioguanina, citarabina, 5-azacitidina, hidroxiurea, desoxicoformicina, 4-hidroxiperoxiciclofosforamida, 5-fluorouracilo (5-FU), 5-fluorodesoxiuridina (5-FUdR), metotrexato (MTX), colchicina, taxol, vincristina, vinblastina, etoposido (VP-16), trimetrexato, irinotecan, topotecan, gemcitabina, tenipósido, cisplatino y dietilestilbestrol (DES). Véase, en general, The Merck Manual of Diagnosis and Therapy, 15th, Ed. 1987, pp. 1206-1228, Berkow et al., eds., Rahway, N.J.

Cuando se utilizan con los compuestos de la invención ,tales agentes quimioterapéuticos pueden ser utilizados individualmente (por ejemplo, 5-FU y oligonucleótidos), secuencialmente (por ejemplo 5-FU y oligonucleótidos durante un periodo de tiempo seguidos por MTX y oligonucleótidos), o en combinación con uno o más de otros tales agentes quimioterapéuticos (por ejemplo, 5-FU, MTX y oligonucleótido, o 5-FU, radioterapia y oligonucleótidos). Los fármacos antiinflamatorios, incluyendo pero no limitándose a fármacos antiinflamatorios no esteroidales y corticosteroides, y fármacos antivirales, incluyendo pero no limitándose a ribivirina, vidarabina, aciclovir y ganciclovir, también pueden ser combinados en composiciones de la invención. Véase, en general, The Merck Manual of Diagnosis and Therapy, 15th, Ed.. Berkow et al., eds., 1987, Rahway, N.J., páginas. 2499-2506 y 46-49, respectivamente). Otros agentes quimioterapéuticos no antisentido están también dentro del alcance de esta invención. Dos o más compuestos combinados pueden ser utilizados juntos o secuencialmente.

En otra realización relacionada, las composiciones de la invención pueden contener uno o más compuestos antisentido, particularmente oligonucleótidos, direccionados a un primer ácido nucleico y uno o más compuestos antisentido direccionados a un segundo objetivo de ácido nucleico. Dos o más compuestos antisentido pueden ser utilizados juntos o secuencialmente.

Dosificación

10

15

20

25

30

35

40

45

55

La dosificación es dependiente de la severidad y respuesta del estado de la enfermedad que va a ser tratada, con el curso del tratamiento que dura desde varios días hasta varios meses, o hasta que se efectué una cura o se alcance una disminución del estado de la enfermedad. Las programaciones de dosificación óptimas pueden ser calculadas a partir de mediciones de la acumulación de fármaco en el cuerpo del paciente. Las personas de experiencia normal en la técnica pueden determinar fácilmente las dosificaciones óptimas, metodologías de dosificación y ratas de repetición.

Los siguientes ejemplos ilustran la presente invención y no pretenden limitar la misma.

50 Ejemplos

Ejemplo 1: Síntesis de oligonucleótidos

Los oligodesoxinucleótidos no modificados son sintetizados en un sintetizador automatizado de ADN (Applied Biosystems modelo 380B) utilizando química de fosforamidita estándar con oxidación con yodo. Las ß-cianoetildiisopropil-fosforamiditas son adquiridas en Applied Biosystems (Foster City, CA). Para fosforotioato u oligonucleótidos, la botella de oxidación estándar fue reemplazada por una solución 0.2 M de 3H-1,2-benzoditiole-3 1,1-dióxido en acetonitrilo para la tiación paso a paso de los enlaces fosfito. La etapa de espera del ciclo de tiación fue incrementada a 68 segundos y fue seguida por la etapa de cubrimiento. Las citosinas pueden ser 5-metilo

citosinas. (5-metilo desoxicitidin fosforamiditas disponibles de Glen Research, Sterling, VA o Amersham Pharmacia Biotech, Piscataway, NJ).

Los 2'-metoxi oligonucleótidos son sintetizados utilizando 2'-metoxi ß-cianoetildiisopropil-fosforamiditas (Chemgenes, Needham, MA) y el ciclo estándar para oligonucleótidos no modificados, excepto la etapa de espera después del suministro pulsado de tetrasol y base se incrementa a 360 segundos Otros 2'-alcoxi oligonucleótidos son sintetizados por una modificación de este método, utilizando amiditas modificadas en 2' apropiadas tales como las disponibles de Glen Research, Inc., Sterling, VA.

Los 2'-fluor u oligonucleótidos son sintetizados como lo describe Kawasaki et al. (J. Med. Chem. 1993, 36, 831-841). En resumen, el nucleósido protegido N⁶-benzoil-2'-desoxi-2'-fluoroadenosina es sintetizado utilizando como material de partida 9-ß-D-arabinofuranosiladenina disponible comercialmente y modificando los procedimientos de la literatura con lo cual el átomo en 2'-a-fluoro es introducido mediante un desplazamiento S_N2 de un grupo 2'-ß-O-trifilo. Así la N⁶-benzoil-9-ß-D-arabinofuranosiladenina es protegida selectivamente en un rendimiento moderado como el intermediario 3',5'-ditetrahidropiranilo (THP). La desprotección del THP y de los grupos N⁶-benzoilo se lleva a cabo utilizando metodologías estándar y se usan métodos estándar para obtener los intermediarios 5'-dimetoxitritil-(DMT) y 5'-DMT-3'-fosforamidita.

La síntesis de la 2'-desoxi-2'-fluoroguanosina es lograda utilizando el 9-\(\mathbb{G}\)-D-arabinofuranosilguanina protegida con tetraisopropildisiloxanilo (TPDS) como material de partida, y la conversión al intermediario diisobutiril-arabinofuranosilguanosina. La desprotección del grupo TPDS es seguida por la protección del grupo hidroxilo con THP para dar la arabinofuranosilguanina protegida con diisobutiril di-THP. La O-desacilación y la triflación selectiva es seguida por el tratamiento del producto crudo con fluoruro, y luego la desprotección de los grupos THP. Se utilizan metodologías estándar para obtener las 5'-DMT- y 5'-DMT-3'-fosforamiditas.

La síntesis de la 2'-desoxi-2'-fluoroguanosina es lograda mediante la modificación de un procedimiento conocido en el cual la 2, 2¹-anhidro-1-ß-D-arabinofuranosiluracilo es tratada con fluoruro de hidrógeno-piridina al 70%. Se utilizan procedimientos estándar para obtener las 5'-DMT y 5'-DMT-3'fosforamiditas.

La 2'-desoxi-2'-fluorocitidina es sintetizada a través de la aminación de la 2'-desoxi-2'-fluorouridina, seguida por la protección selectiva para dar N⁴-benzoil-2'-desoxi-2'-fluorocitidina. Se utilizan procedimientos estándar para obtener las 5'-DMT y 5'-DMT-3'fosforamiditas.

Las amiditas modificadas con 2'-(2-metoxietilo) fueron sintetizadas de acuerdo con Martin, P. (Helv. Chim. Acta 1995, 78, 486-506). Para facilidad de síntesis, el último nucleótido puede ser un desoxinucleótido. Las 2 '-O-CH₂CH₂OCH₃- citosinas pueden ser 5-metilo citosinas.

Síntesis de monómeros de 5-metilo citosina:

2,2'-Anhidro[1-(ß-D-arabinofuranosil)-5-metiluridina]:

La 5-metiluridina (ribosiltimina, disponible comercialmente a través de Yamasa, Choshi, Japón), (72.0 g, 0.279 M), difenilcarbonato (90.0 g, 0.420 M) y bicarbonato de sodio (2.0 g, 0.024 M) fueron agregados a DMF (300 mL). La mezcla fue calentada hasta reflujo, con agitación, permitiendo que el dióxido de carbono desprendido fuera liberado de manera controlada. Después de 1 hora, la solución ligeramente oscurecida fue concentrada bajo presión reducida. El jarabe resultante fue vertido sobre dietiléter (2.5 L) con agitación. El producto formó una goma. El éter fue decantado y el residuo fue disuelto en una cantidad mínima de metanol (cerca de 400 ml). La solución fue vertida sobre éter fresco (2.5 L) para producir una goma viscosa. El éter fue decantado y la goma fue secada en un horno al vacío (60°C a 1 mm de Hg durante 24 horas) para dar un sólido el cual fue triturado para dar un polvo color bronce claro (57 g, 85% de rendimiento crudo). El material fue utilizado como tal para reacciones posteriores.

2'-O-Metoxietil-5-metiluridina:

5

10

15

20

30

35

40

45

50

55

2,2'-Anhidro-5-metiluridina (195 g, 0.81 M), tris (2-metoxietil)borato (231 g, 0.98 M) y 2-metoxietanol (1.2 L) fueron agregados a un recipiente a presión de acero inoxidable de 2 L y colocado en un baño de aceite precalentado a 160°C. Después de calentar durante 48 horas a 155 - 160°C, el recipiente fue abierto y la solución evaporada hasta sequedad y triturada con MeOH (200 mL). El residuo fue suspendido en acetona caliente (1 L). Las sales insolubles fueron filtradas, lavadas con acetona (150 mL) y el filtrado fue evaporado. El residuo (280 g) fue disuelto en CH₃CN (600 mL) y evaporado. Se empaco una columna de sílica gel (3 kg) con CH₂Cl₂/acetona/MeOH (20:5:3) que contenía 0.5% de Et3NH. El residuo fue disuelto en CH₂Cl₂ (250 mL) y adsorbido sobre sílica (150 g) antes de cargarlo sobre la columna. El producto fue eluido con el solvente de empaque para dar 160 g (63%) de producto.

2'-O-Metoxietil-5'-O-dimetoxitritil-5-metiluridina:

2'-O-Metoxietil-5-metiluridina (160 g, 0.506 M) fue coevaporado con piridina (250 mL) y el residuo seco fue disuelto en piridina (1.3 L). Se agregó una primera alícuota de cloruro de dimetoxitritilo (94.3 g, 0.278 M) y la mezcla fue agitada a temperatura ambiente durante 1 hora. Se agregó una segunda alícuota de cloruro de dimetoxitritilo (94.3 g, 0.278 M) y la reacción se agito durante 1 hora adicional. Se agregó entonces metanol (170 mL) para detener la

reacción. La HPLC mostró la presencia de aproximadamente 70% de producto. El solvente fue evaporado y triturado con CH₃CN (200 mL). El residuo fue disuelto en CHCl₃ (1.5 L) y extraído con 2x500 mL de NaHCO₃ saturado y 2x500 mL de NaCl saturado. La fase orgánica fue secada sobre Na₂SO₄, filtrada y evaporada. Se obtuvieron 275 g de residuo. El residuo fue purificado sobre una columna de sílica gel de 3.5 kg, empacada y eluida con EtOAc/hexano/acetona (5:5:1) que contenía 0.5% de Et₃NH. Las fracciones puras fueron evaporadas para dar 164 g de producto. Se obtuvieron aproximadamente 20 g adicionales a partir de las fracciones impuras para dar un rendimiento total de 183 g (57%).

3'-O-Acetil-2'-O-metoxietil-5'-O-dimetoxitritil-5-metiluridina:

5

50

2'-O-Metoxietil-5'-O-dimetoxitritil-5-metil-uridina (106 g, 0.167 M), de DMF/piridina (750 mL de una mezcla 3:1 preparada a partir de 562 mL de DMF y 188 mL de piridina) y anhídrido acético (24.38 mL, 0.258 M) fueron combinados y agitados a temperatura ambiente durante 24 horas. La reacción fue monitoreada por tlc congelando primero la muestra de tlc con la adición de MeOH. Al terminar la reacción, según criterio por tlc, se agregó MeOH (50 mL) y la mezcla se evaporó a 35°C. El residuo fue disuelto en (CHCl₃ (800 mL)y extraído con 2x200 mL de bicarbonato de sodio saturado y 2x200 mL de NaCl saturado. Las capas acuosas fueron reextraídas con 200 mL de CHCl₃. Las fases orgánicas combinadas fueron secadas con sulfato de sodio y evaporadas para dar 122 g de residuo (aproximadamente 90% de producto). El residuo fue purificado sobre una columna de sílica gel de 3.5 kg y eluido utilizando EtOAc/hexano (4:1). Las fracciones de producto puro fueron evaporadas para generar 96 g (84%).

3'-O-Acetil-2'-O-metoxietil-5'-O-dimetoxitritil-5-metil-4-triazoleuridina:

Se preparó una primera solución disolviendo 3'-O-acetil-2'-O-metoxietil-5'-O-dimetoxitritil-5-metiluridina (96 g, 0.144 M) en CH₃CN (700 mL) y se dejo en reposo. Se agregó trietilamina (189 mL, 1.44 M) a una solución de triazol (90 g, 1.3 M) en CH₃CN (1 L), se enfrió a -5°C y se agito durante 0.5 horas utilizando un agitador superior. Se agregó gota a gota POCl₃, durante un periodo de 30 minutos, a la solución en agitación mantenida a 0 - 10°C, y la mezcla resultante se agito durante 2 horas adicionales. La primera solución fue agregada gota a gota, a lo largo de un periodo de 45 minutos, a la última solución. La mezcla de reacción resultante fue almacenada durante la noche en un cuarto frio. Las sales fueron filtradas de la mezcla de reacción y la solución fue evaporada. El residuo fue disuelto en EtOAc (1 L) y los sólidos insolubles fueron retirados por filtración. El filtrado fue lavado con 1x300 mL de NaHCO₃ y 2x300 mL de NaCl saturado, se seco sobre sulfato de sodio y se evaporó. El residuo fue triturado con EtOAc para dar el compuesto del título.

2'-O-Metoxietil-5'-O-dimetoxitritil-5-metilcitidina:

Una solución de 3'-O-acetil-2'-O-metoxietil-5'-O-dimetoxitritil-5-metil-4-triazoleuridina (103 g, 0.141 M) en dioxano (500 mL) y NH₄OH (30 mL) fue agitada a temperatura ambiente durante 2 horas. La solución en dioxano fue evaporada y el residuo fue convertido en un azeótropo con MeOH (2x200 mL). El residuo fue disuelto en MeOH (300 mL) y transferido a un recipiente a presión de acero inoxidable de 2 litros. Se agregó MeOH (400 mL) saturado con gas NH₃ y el recipiente fue calentado a 100°C durante 2 horas (la tlc mostro conversión completa). El contenido del recipiente fue evaporado hasta sequedad y el residuo fue disuelto en EtOAc (500 mL) y lavado una vez con NaCl saturado (200 mL). Las fases orgánicas fueron secadas sobre sulfato de sodio y el solvente fue evaporado para dar 85 g (95%) del compuesto del título.

N⁴-Benzoil-2'-O-metoxietil-5'-O-dimetoxitritil-5-metilcitidina:

2'-O-Metoxietil-5'-O-dimetoxitritil-5-metil-citidina (85 g, 0.134 M) fue disuelto en DMF (800 mL) y se agregó anhídrido benzoico (37.2 g, 0.165 M) con agitación. Después de agitar durante 3 horas, la tlc mostró que la reacción estaba terminada en aproximadamente 95%. El solvente fue evaporado y el residuo fue convertido en azeótropo con MeOH (200 mL). El residuo fue disuelto en CHCl₃ (700 mL) y extraído con NaHCO₃ saturado (2x300 mL) y NaCl saturado (2x300 mL), secado sobre MgSO₄ y evaporado para dar un residuo (96 g). El residuo fue sometido a cromatografía sobre una columna de sílica de 1.5 kg utilizando EtOAc/hexano (1:1) que contenía 0.5% de Et3NH como solvente de elución. Las fracciones de producto puro fueron evaporadas para dar 90 g (90%) del compuesto del título.

N⁴-Benzoil-2'-O-metoxietil-5'-O-dimetoxitritil-5-metilcitidina-3'-amidita:

Se disolvió N⁴-Benzoil-2'-O-metoxietil-5'-O-dimetoxitritil-5-metilcitidina (74 g, 0.10 M) en CH₂Cl₂ (1 L). Se agregaron tetrazol diisopropilamina (7.1 g) y 2-cianoetoxi-tetra(isopropil)fosfito (40.5 mL, 0.123 M) con agitación, bajo una atmósfera de nitrógeno. La mezcla resultante fue agitada durante 20 horas a temperatura ambiente (la tlc mostró que la reacción estaba terminada en un 95%). La mezcla de reacción fue extraída con NaHCO₃ saturado (1x300 mL) y NaCl saturado (3x300 mL). Los lavados acuosos fueron retroextraídos con CH₂Cl₂ (300 mL), y los extractos fueron combinados, secados sobre MgSO₄ y concentrados. El residuo obtenido fue sometido a cromatografía sobre una columna de sílica de 1.5 kg usando EtOAc/hexano (3:1) como solvente de elución. Las fracciones puras fueron combinadas para dar 90.6 g (87%) del compuesto del título.

Los oligonucleótidos que contenían 5-metil-2'-desoxicitidina (5-me-C) fueron sintetizado de acuerdo con métodos publicados (Sanghvi et al., Nucl. Acids Res. 1993, 21, 3197-3203) utilizando fosforamiditas disponibles comercialmente (Glen Research, Sterling VA o ChemGenes, Needham MA).

- 2'-O-(dimetilaminooxietil) nucleósido amiditas
- 2'-(Dimetilaminooxietoxi) nucleósido amiditas [también conocido en la técnica como 2'-O-(dimetilaminooxietil) nucleósido amiditas] se preparan como se describe en los siguientes parágrafos. Las adenosina, citidina y guanosina nucleósido amiditas se preparan de manera similar a la timidina (5-metiluridina) excepto que las aminas exocíclicas están protegidas con una unidad estructural benzoilo en el caso de la adenosina y citida y con isobutirilo en el caso de la quanosina.
- 10 5'-O-tert-Butildifenilsilil-O²-2'-anhidro-5-metiluridina

15

20

25

30

35

45

50

55

O²-2'-anhidro-5-metiluridina (Pro. Bio. Sint., Varese, Italia, 100.0g, 0.416 mmol), dimetilaminopiridina (0.66g, 0.013eq, 0.0054mmol) se disolvieron en piridina seca (500 ml) a temperatura ambiente bajo una atmósfera de argón y con agitación mecánica. Se agregó *tert*-butildifenilo clorosilano (125.8g, 119.0mL, 1.1eq, 0.458mmol) en una porción. La reacción fue agitada durante 16 horas a temperatura ambiente. La TLC (Rf 0.22, acetato de etilo) indico una reacción completa. La solución fue concentrada bajo presión reducida hasta un aceite espeso. Este fue sometido a partición entre diclorometano (1 L) y bicarbonato de sodio saturado (2x1 L) y salmuera (1 L). La capa orgánica fue secada sobre sulfato de sodio y concentrada bajo presión reducida hasta dar un aceite espeso. El aceite fue disuelto en una mezcla 1:1 de acetato de etilo y etilo éter (600mL) y la solución fue enfriada hasta -10°C. El producto cristalino resultante fue recogido por filtración, lavado con etilo éter (3x200 mL) y secado (40°C, 1mm Hg, 24 h), hasta obtener 149g (74.8%) de sólido blanco. La TLC y la NMR fueron consistentes con el producto puro.

5'-O-tert-Butildifenilsilil-2'-O-(2-hidroxietil)-5-metiluridina

En un reactor a presión sin agitación de acero inoxidable de 2 L se agregó borano en tetrahidrofurano (1.0 M, 2.0 eq, 622 mL). En la cabina de extracción y con agitación manual, se agregó etilen glicol (350 mL, exceso) cuidadosamente al principio hasta que se remitió la evolución de gas hidrógeno. Se agregaron 5'-O-tert-Butildifenilsilil-O2-2'-anhidro-5-metiluridina (149 g, 0.311 mol) y bicarbonato de sodio (0.074 g, 0.003 eq) con agitación manual. El reactor fue sellado y calentado en un baño de aceite hasta que se alcanzo una temperatura interna de 160°C y luego se mantuvo durante 16 horas (presión < 100 psig). El recipiente de reacción fue enfriado hasta temperatura ambiente y abierto. La TLC (Rf 0.67 para el producto deseado y Rf 0.82 para el producto colateral ara-T, acetato de etilo), una conversión de aproximadamente 70% al producto. Con el fin de evitar formación adicional de productos secundarios la reacción fue detenida, concentrada bajo presión reducida (10 a 1mm de Hg) en un baño de agua tibia (40 - 100°C) con las condiciones más extremas utilizadas para eliminar el etilen glicol.

[Alternativamente, una vez que se elimina el solvente de bajo punto de ebullición, la solución remanente puede ser sometida a partición entre acetato de etilo y agua. El producto estará en fase orgánica]. El residuo fue purificado por cromatografía de columna (2 kg de sílica gel, gradiente de acetato de etilo-hexanos 1:1 a 4:1). Las fracciones apropiadas fueron combinadas, lavadas y secadas para producir una espuma blanca brillante (84 g, 50%), material de partida contaminado (17.4 g) y material de partida puro reutilizable 20 g. El rendimiento basado en el material de partida menos el material de partida recuperado puro fue de 58%. La TLC y la RMN fueron consistentes con el producto puro al 99%.

40 2'-O-([2-phthalimidoxi)etil]-5'-t-butildifenilsilil-5-metiluridina

5'-O-tert-Butildifenilsilil-2'-O-(2-hidroxietil)-5-metiluridina (20g, 36.98mmol) fue mezclada con trifenilfosfina (11.63g, 44.36mmol) y N-hidroxiftalimida (7.24g, 44.36mmol). Se seco entonces sobre P_2O_5 bajo alto vacio durante 2 días a 40°C. La mezcla de reacción fue purgada con argón y THF seco (369 mL, Aldrich botella con sello seguro) fue agregado para obtener una solución clara. Se agregó dietil- azodicarboxilato (6.98mL, 44.36mmol) gota a gota a la mezcla de reacción. La rata de adición se mantiene de tal forma que la coloración rojo profundo resultante es descargada justo antes de agregar la siguiente gota. Después de que la adición termino, la reacción fue agitada durante 4 horas. En ese momento la TLC mostró la terminación de la reacción (acetato de etilo:hexano, 60:40). El solvente fue evaporado al vacio. El residuo obtenido fue colocado en una columna instantánea y eluido con acetato de etilo:hexano (60:40), para obtener 2'-O-([2-phthalimidoxi)etil]-5'-t-butildifenilsilil-5-metiluridina en forma de una espuma blanca (21.819, 86%).

5'-O-tert-butildifenilsilil-2'-O-[(2-formadoximinooxi)etil]-5-metiluridina

Se disolvió 2'-O-([2-phthalimidoxi)etil]-5'-t-butildifenilsilil-5-metiluridina (3.1g, 4.5mmol) en CH₂Cl₂ seco (4.5mL) y metilhidrazina (300mL, 4.64mmol) fue agregada gota a gota a -10°C hasta 0°C. Después de 1 hora la mezcla fue filtrada, el filtrado fue lavado con CH₂Cl₂ enfriado en hielo y la fase orgánica combinada fue lavada con agua, salmuera y secada sobre Na₂SO₄. La solución fue concentrada para obtener la 2'-O-(aminooxietil) timidina, la cual fue disuelta entonces en MeOH (67.5mL). A esto se agregó formaldehido (solución acuosa al 20%, p/p, 1.1eg.) y se

mezclo durante 1 hora. El solvente fue eliminado bajo vacio; el residuo se sometió a cromatografía para obtener 5'-O-tert-butildifenilsilil-2'-O-[(2-formadoximinooxi) etil]-5-metiluridina como una espuma blanca (1.95, 78%).

5'-O-tert-Butildifenilsilil-2'-O-[N,N-dimetilaminooxietil]-5-metiluridina

- 5'-O-tert-butildifenilsilil-2'-O-[(2-formadoximinooxi) etil] -5-metiluridina (1.77g, 3.12mmol) fue disuelto en una solución de p-toluenosulfonato de piridinio (PPTS) 1M en MeOH (30.6mL). Se agregó cianoborohidruro de sodio (0.39g, 6.13mmol) a esta solución a 10°C bajo atmósfera inerte. La mezcla de reacción fue agitada durante 10 minutos a 10°C. Después de que el recipiente de reacción había sido retirado del baño de hielo y agitado a temperatura ambiente durante 2 horas, la reacción monitoreada por TLC (5% de MeOH en CH₂Cl₂). Se agregó solución acuosa de NaHCO₃ (5%, 10mL) y se extrajo con acetato de etilo (2x20mL). La fase de acetato de etilo fue secada sobre 10 Na₂SO₄ anhidro, y se evaporó hasta sequedad. El residuo fue disuelto en una solución de PPTS 1M en MeOH (30.6mL). Se agregó formaldehido (20% p/p, 30mL, 3.37mmol) y la mezcla de reacción fue sometida a agitación a temperatura ambiente durante 10 minutos. La mezcla de reacción se enfrió a 10°C en un baño de hielo, se agregó cianoborohidruro de sodio (0.39g, 6.13mmol) y la mezcla de reacción se agito a 10°C durante 10 minutos. Después de 10 minutos, la mezcla de reacción fue retirada al baño de hielo y agitada a temperatura ambiente durante 2 15 horas. A la mezcla de reacción, se agregó solución de NaHCO3 al 5% (25mL) y se extrajo con acetato de etilo (2x25mL). La capa de acetato de etilo fue secada sobre Na₂SO₄ anhidro y evaporada hasta sequedad. El residuo obtenido fue purificado por cromatografía de columna instantánea y se eluyo con MeOH al 5% en CH₂Cl₂ para obtener 5'-O-tert-butildifenilsilil-2'-O-[N,N-dimetilaminooxietil]-5-metiluridina en forma de una espuma blanca (14.6g, 80%).
- 20 2'-O-(dimetilaminooxietil)-5-metiluridina

25

30

40

45

Se disolvió trihidrofluoruro de trietilamina (3.91mL, 24.0mmol) en THF seco y trietilamina (1.67mL, 12mmol, seco, mantenido sobre KOH). Esta mezcla de trietanolamina- 2HF fue agregada entonces a 5'-O-*tert*-butildifenilsilil-2'-O-[N,Ndimetilaminooxietil]-5-metiluridina (1.40g, 2.4mmol) y se agito a temperatura ambiente durante 24 horas. La reacción fue monitoreada por TLC (MeOH al 5% en CH₂Cl₂). El solvente fue retirado bajo vacio y el residuo colocado en una columna instantánea y eluido con MeOH al 10% en CH₂Cl₂ para obtener la 2'-O-(dimetilaminooxietil)-5-metiluridina (766mg, 92.5%).

5'-O-DMT-2'-O-(dimetilaminooxietil)-5-metiluridina

Se secó 2'-O-(dimetilaminooxietil)-5-metiluridina (750mg, 2.17mmol) sobre P_2O_5 bajo alto vacio durante la noche a 40°C. Se coevaporó entonces con piridina anhidra (20mL). El residuo obtenido fue disuelto en piridina (11mL) bajo atmósfera de argón. Se agregaron a la mezcla 4-dimetilaminopiridina (26.5mg, 2.60mmol), cloruro de 4,4'-dimetoxitritilo (880mg, 2.60mmol) a la mezcla y la mezcla de reacción fue agitada a temperatura ambiente hasta que todo el material de partida desapareció. Se retiro la piridina bajo vacio y el residuo fue sometido a cromatografía y eluido con MeOH al 10% en CH_2CL_2 (contenía una pocas gotas de piridina) para obtener 5'-O-DMT-2'-O-(dimetilamino-oxietil)-5-metiluridina (1.13g, 80%).

35 5'-O-DMT-2'-O-(2-N,N-dimetilaminooxietil)-5-metiluridina-3'-[(2-cianoetil)-N,N-diisopropilfosforamidita]

5'-O-DMT-2'-O-(dimetilaminooxietil)-5-metiluridina (1.08g, 1.67mmol) fue coevaporado con tolueno (20mL). Al residuo se agregó N,N-diisopropilamina tetrazonido (0.29 g, 1.67 mmol) y se seco sobre P_2O_5 bajo alto vacio durante la noche a 40°C. Entonces la mezcla de reacción fue disuelta en acetonitrilo anhidro (8.4mL) y 2-cianoetil-N,N,N 1 ,N 1 -tetraisopropilfosforamidita (2.12 mL, 6.08mmol) fue agregado. La mezcla de reacción fue agitada a temperatura ambiente durante 4 horas bajo atmósfera inerte. El avance de la reacción fue monitoreado por TLC (hexano:acetato de etilo 1:1). El solvente fue evaporado, luego el residuo fue disuelto en acetato de etilo (70 mL) y lavado con NaHCO $_3$ acuoso al 5% (40 mL). La capa de acetato de etilo fue secada sobre Na $_2$ SO $_4$ anhidro y concentrada. El residuo obtenido fue sometido a cromatografía (acetato de etilo como eluyente)) para obtener 5'-O-DMT-2'-O-(2-N,N-dimetilaminooxietil)-5-metiluridina-3'-[(2-cianoetil)-N,N-diisopropilfosforamidita] en forma de una espuma (1.04g, 74.9%).

Los oligonucleótidos que tienen esqueletos metilen (metilimino) (MMI) son sintetizados de acuerdo con la Patente de los Estados Unidos 5, 378, 825. Para facilidad de síntesis, se sintetizaron diversos dímeros de nucleósidos que contenían enlaces MMI y se incorporaron en los oligonucleótidos. Otros esqueletos que contienen nitrógeno también fueron sintetizados de acuerdo con WO 92/20823.

Los oligonucleótidos que tienen esqueletos amidas se sintetizan de acuerdo con De Mesmaeker et al. (Acc. Chem. Res. 1995, 28, 366-374). La unidad estructural amida es fácilmente accesible mediante métodos sintéticos simples y bien conocidos y es compatible con las condiciones requeridas para la síntesis en fases sólidas de los oligonucleótidos.

Los oligonucleótidos con esqueleto morfolino son sintetizados de acuerdo con la Patente de los Estados Unidos 5,034,506 (Summerton y Weller).

Los oligómeros del ácido péptidonucleico (PNA) se sintetizan de acuerdo con P.E. Nielsen et al. (Science 1991, 254, 1497-1500).

Después de la escisión desde la columna de vidrio de poro controlado (Applied Biosystems) y desbloqueo en hidróxido de amonio concentrado a 55°C durante 18 horas, los oligonucleótidos son purificados por precipitación dos veces desde NaCl 0.5 M con 2.5 volúmenes de etanol. Los oligonucleótidos sintetizados fueron analizados por electroforesis en gel de poliacrilamida sobre geles desnaturalizantes o electroforesis por gel capilar y se juzgo que eran al menos 85% de material completo. Las cantidades relativas de los enlaces de fosforotioato y fosfodiéster obtenidas en la síntesis fueron verificadas periódicamente por espectroscopía de resonancia magnética nuclear ³¹P, y para algunos estudios los oligonucleótidos fueron purificados por HPLC como lo describen Chiang et al. (J. Biol. Chem. 1991, 266, 18162). Los resultados obtenidos con el material purificado por HPLC fueron similares a los obtenidos con material no purificado por HPLC.

Alternativamente, se sintetizaron oligonucleótidos en formato de placa de 96 pozos a través de química de fosforamidita P(III) en fase sólida en un sintetizador automatizado capaz de ensamblar 96 secuencias simultáneamente en un formato estándar de 96 pozos. Los enlaces fosfodiéster internucleótidos fueron logrados por oxidación con yodo acuoso. Los enlaces fosforotioato internucleótidos fueron generados por sulfuración utilizando 1,1 dióxido de 3,H-1,2 benzoditiol-3-ona (Beaucage Reagent) en acetonitrilo anhidro. Las beta-cianoetil-di-isopropilo fosforamiditas estándar protegidas con base fueron obtenidas de proveedores comerciales (por ejemplo, PE-Applied Biosystems, Foster City, CA, o Pharmacia, Piscataway, NJ). Los nucleósidos no estándar son sintetizados según métodos publicados. Se utilizan como beta-cianoetil-diisopropilo fosforamiditas protegidas con bases.

Los oligonucleótidos fueron escindidos del soporte y desprotegidos con NH₄OH concentrado a temperatura elevada (55 - 60°C) durante 12 - 16 horas y el producto liberado fue secado entonces *in vacuo*. El producto secado fue resuspendido entonces en agua estérilo para producir una placa maestra desde la cual todas las muestras analíticas y de prueba fueron diluidas entonces utilizando pipeteadores robóticos:

Ejemplo 2: Secuencias de oligodesoxinucleótidos de STAT3 humana

5

10

15

Los oligonucleótidos antisentido fueron diseñados para direccionar STAT3 humana. Los datos de secuencia objetivo fueron de la secuencia APRF cADN publicada por Akira, S. et al. (Cell, 1994, 77, 63-71); número de acceso GenBank[®] L29277 provista aquí como SEQ ID NO: 1. Una serie de oligodesoxinucleótidos fue sintetizada con enlaces fosforotioato. Las 2'-desoxi citosinas fueron 5-metilo citosinas. Estas secuencias de oligonucleótidos se muestran en la Tabla 1. Un conjunto adicional de oligonucleótidos fue sintetizado com u oligonucleótidos quiméricos ("oligómeros con brecha") de 20 nucleótidos de longitud, compuestos de una región central de "brecha" de diez 2'-desoxinucleótidos, la cual está flanqueada en ambos lados (direcciones 5' y 3') por "alas" de cinco nucleótidos. Las alas están compuestas de 2'-O-metoxietilo (2'-MOE) nucleótidos. Los enlaces internucleósidos (esqueleto) son fosforotioato (P=S) a lo largo del oligonucleótido. Todas las 2'-MOE citosinas y 2'-desoxi citosinas fueron 5-metil-citosinas.

35 Estas secuencias de oligonucleótidos se muestran en la Tabla 2.

Una línea celular apropiada, que expresa típicamente altos niveles de STAT3, se escoge para los estudios *in vitro*. Las condiciones de cultivo celular son las estándar para esa línea celular en particular. El tratamiento con oligonucleótidos fue durante 4 horas y el ARNm se aisló usualmente durante 24 a 48 horas después del tratamiento inicial. El ARNm es aislado utilizando el kit RNAEASY7 (Qiagen, Santa Clarita, CA).

40 Tabla 1:

Secuenc	Secuencia de nucleótidos de fosforotioato u oligodesoxinucleótidos STAT3 humanos					
ISIS NO.	Secuencia de nucleótidos ¹ (5' - > 3')	SEQ ID NO:	Coordinados de nucleótidos de gen objetivo ²	Región de gen objetivo		
106691	GTCTGCGCCGCCCCGAA	2	0010-0029	5'-UTR		
106692	GGCCGAAGGGCCTCTCCGAG	3	0130-0149	5'-UTR		
106693	TCCTGTTTCTCCGGCAGAGG	4	0202-0221	AUG		
106694	CATCCTGTTTCTCCGGCAGA	5	0204-0223	AUG		
106695	GCCATCCTGTTTCTCCGGCA	6	0206-0225	AUG		
106696	GGGCCATCCTGTTTCTCCGG	7	0208-0227	AUG		
106697	TTGGGCCATCCTGTTTCTCC	8	0210-0229	AUG		

Secuenc	ia de nucleótidos de fosforotioato u oli	godesoxin	ucleótidos STAT3 humanos	
ISIS NO.	Secuencia de nucleótidos ¹ (5' - > 3')	SEQ ID NO:	Coordinados de nucleótidos de gen objetivo ²	Región de gen objetivo
106698	CATTGGGCCATCCTGTTTCT	9	0212-0231	AUG
106699	TCCATTGGGCCATCCTGTTT	10	0214-0233	AUG
106700	ATTCCATTGGGCCATCCTGT	11	0216-0235	AUG
106701	TGATTCCATTGGGCCATCCT	12	0218-0237	AUG
106702	GCTGATTCCATTGGGCCATC	13	0220-0239	AUG
106703	TAGCTGATTCCATTGGGCCA	14	0222-0241	AUG
106704	TGTAGCTGATTCCATTGGGC	15	0224-0243	Codificación
106705	CTGTAGAGCTGATGGAGCTG	16	0269-0288	Codificación
106706	CCCAATCTTGACTCTCAATC	17	0331-0350	Codificación
106707	CCCAGGAGATTATGAAACAC	18	0386-0405	Codificación
106708	ACATTCGACTCTTGCAGGAA	19	0431-0450	Codificación
106709	TCTGAAGAAACTGCTTGATT	20	0475-0494	Codificación
106710	GGCCACAATCCGGGCAATCT	21	0519-0538	Codificación
106711	TGGCTGCAGTCTGTAGAAGG	22	0562-0581	Codificación
106712	CTGCTCCAGCATCTGCTGCT	23	0639-0658	Codificación
106713	TTTCTGTTCTAGATCCTGCA	24	0684-0703	Codificación
106714	TAGTTGAAATCAAAGTCATC	25	0728-0747	Codificación
106715	TTCCATTCAGATCTTGCATG	26	0772-0791	Codificación
106716	TCTGTTCCAGCTGCTGCATC	27	0817-0836	Codificación
106717	TCACTCACGATGCTTCTCCG	28	0860-0879	Codificación
106718	GAGTTTTCTGCACGTACTCC	29	0904-0923	Codificación
106719	ATCTGTTGCCGCCTCTTCCA	30	0947-0968	Codificación
106720	CTAGCCGATCTAGGCAGATG	31	0991-1010	Codificación
106721	CGGGTCTGAAGTTGAGATTC	32	1034-1053	Codificación
106722	CGGCCGGTGCTGTACAATGG	33	1110-1129	Codificación
106723	TTTCATTAAGTTTCTGAACA	34	1155-1174	Codificación
106724	AGGATGCATGGGCATGCAGG	35	1200-1219	Codificación
106725	GACCAGCAACCTGACTTTAG	36	1260-1279	Codificación
106726	ATGCACACTTTAATTTTAAG	37	1304-1323	Codificación
106727	TTCCGGGATCCTCTGAGAGC	38	1349-1368	Codificación
106728	TTCCATGTTCATCACTTTTG	39	1392-1411	Codificación
106729	GTCAAGTGTTTGAATTCTGC	40	1436-1455	Codificación
106730	CAATCAGGGAAGCATCACAA	41	1495-1514	Codificación

Secuenc	ia de nucleótidos de fosforotioato u oli	godesoxinı	ucleótidos STAT3 humanos	
ISIS NO.	Secuencia de nucleótidos ¹ (5' - > 3')	SEQ ID NO:	Coordinados de nucleótidos de gen objetivo ²	Región de gen objetivo
106731	TACACCTCGGTCTCAAAGGT	42	1538-1557	Codificación
106732	TGACAAGGAGTGGGTCTCTA	43	1581-1600	Codificación
106733	CGCCCAGGCATTTGGCATCT	44	1626-1645	Codificación
106734	CATTCTTGGGATTGTTGGTC	45	1669-1688	Codificación
106735	CACTTGGTCCCAGGTTCCAA	46	1713-1732	Codificación
106736	CCCGCTTGGTGGTGGACGAG	47	1756-1775	Codificación
106737	AGTTCACACCAGGCCCTAGG	48	1816-1835	Codificación
106738	GTTTTCTTTGCAGAAGTTAG	49	1860-1879	Codificación
106739	ATATTGTCTAGCCAGACCCA	50	1904-1923	Codificación
106740	AACCCATGATGTACCCTTCA	51	1963-1982	Codificación
106741	GCTTAGTGCTCAAGATGGCC	52	2005-2024	Codificación
106742	GCTGCTTTCACTGAAGCGCA	53	2043-2062	Codificación
106743	GTGAAAGTGACGCCTCCTTC	54	2066-2085	Codificación
106744	CTGATGTCCTTCTCCACCCA	55	2087-2106	Codificación
106745	ACTGGATCTGGGTCTTACCG	56	2107-2126	Codificación
106746	AAATGACATGTTGTTCAGCT	57	2151-2170	Codificación
106747	GCCCATGATGATTTCAGCAA	58	2169-2188	Codificación
106748	TATTGGTAGCATCCATGATC	59	2194-2213	Codificación
106749	ATAGACAAGTGGAGACAACA	60	2217-2236	Codificación
106750	TTGGGAATGTCAGGATAGAG	61	2237-2256	Codificación
106751	CTCCTGGCTCTCTGGCCGAC	62	2280-2299	Codificación
106752	ACCTGGGTCAGCTTCAGGAT	63	2301-2320	Codificación
106753	CACAGATAAACTTGGTCTTC	64	2338-2357	Codificación
106754	ATCGGCAGGTCAATGGTATT	65	2378-2397	Codificación
106755	CCAAACTGCATCAATGAATC	66	2414-2433	Codificación
106756	GGTTCAGCACCTTCACCATT	67	2438-2457	Codificación
106757	GAGGGACTCAAACTGCCCTC	68	2466-2485	Codificación
106758	CAACTCCATGTCAAAGGTGA	69	2484-2503	Codificación
106759	TTCTCAGCTCCTCACATGGG	70	2525-2544	Detención
106760	CGTTCTCAGCTCCTCACATG	71	2527-2546	Detención
106761	TCCGTTCTCAGCTCCTCACA	72	2529-2548	Detención
106762	CTTCCGTTCTCAGCTCCTCA	73	2531-2550	Detención
106763	AGCTTCCGTTCTCAGCTCCT	74	2533-2552	Detención

Secuenc	Secuencia de nucleótidos de fosforotioato u oligodesoxinucleótidos STAT3 humanos					
ISIS NO.	Secuencia de nucleótidos ¹ (5' - > 3')	SEQ ID NO:	Coordinados de nucleótidos de gen objetivo ²	Región de gen objetivo		
106764	AGAATGCAGGTAGGCGCCTC	75	2569-2588	3´-UTR		
106765	ACCACAAAGTTAGTAGTTTC	76	2623-2642	3´-UTR		
106766	TGCTCAAAGATAGCAGAAGT	77	2665-2684	3′-UTR		
106767	ATTCACTCATTTCTCTATTT	78	2701-2720	3´-UTR		
106768	CATTTAGATAAAAGCAGATC	79	2727-2746	3'-UTR		
106769	ACATCCTTATTTGCATTTAG	80	2740-2759	3'-UTR		
106770	GATCATGGGTCTCAGAGAAC	81	2760-2779	3´-UTR		

¹ Los residuos "C" son 5-metil-citosinas; todos los enlaces son enlaces fosforotioato.

Tabla 2:

Secuenc desoxi)	ia de nucleótidos de fosforotioato u		ótidos quiméricos de STAT3 humano	os (con brecha
ISIS NO.	Secuencia de nucleótidos ¹ (5' - > 3')	SEQ ID NO:	Coordinados de nucleótidos de gen objetivo ²	Región de gen objetivo
106771	GTCTGCGCCGCCCCGAA	2	0010-0029	5'-UTR
106772	GGCCGAAGGGCCTCTCCGAG	3	0130-0149	5'-UTR
106773	TCCTGTTTCTCCGGCAGAGG	4	0202-0221	AUG
106774	CATCCTGTTTCTCCGGCAGA	5	0204-0223	AUG
106775	GCCATCCTGTTTCTCCGGCA	6	0206-0225	AUG
106776	GGGCCATCCTGTTTCTCCGG	7	0208-0227	AUG
106777	TTGGGCCATCCTGTTTCTCC	8	0210-0229	AUG
106778	CATTGGGCCATCCTGTTTCT	9	0212-0231	AUG
106779	TCCATTGGGCCATCCTGTTT	10	0214-0233	AUG
106780	ATTCCATTGGGCCATCCTGT	11	0216-0235	AUG
106776	GGGCCATCCTGTTTCTCCGG	7	0208-0227	AUG
106777	TTGGGCCATCCTGTTTCTCC	8	0210-0229	AUG
106778	CATTGGGCCATCCTGTTTCT	9	0212-0231	AUG
106779	TCCATTGGGCCATCCTGTTT	10	0214-0233	AUG
106780	ATTCCATTGGGCCATCCTGT	11	0216-0235	AUG
106781	TGATTCCATTGGGCCATCCT	12	0218-0237	AUG
106782	GCTGATTCCATTGGGCCATC	13	0220-0239	AUG
106783	TAGCTGATTCCATTGGGCCA	14	0222-0241	AUG
106784	TGTAGCTGATTCCATTGGGC	15	0224-0243	Codificación

² Coordenadas de GenBank[®] Accession No. L29277, nombre de locus "HUMAPRF", SEQ ID NO: 1.

Secuenc desoxi)	ia de nucleótidos de fosforotioato u	oligonucleó	tidos quiméricos de STAT3 humano	s (con brecha
ISIS NO.	Secuencia de nucleótidos ¹ (5' - > 3')	SEQ ID NO:	Coordinados de nucleótidos de gen objetivo ²	Región de gen objetivo
106785	CTGTAGAGCTGATGGAGCTG	16	0269-0288	Codificación
106786	CCCAATCTTGACTCTCAATC	17	0331-0350	Codificación
106787	CCCAGGAGATTATGAAACAC	18	0386-0405	Codificación
106788	ACATTCGACTCTTGCAGGAA	19	0431-0450	Codificación
106789	TCTGAAGAAACTGCTTGATT	20	0475-0494	Codificación
106790	GGCCACAATCCGGGCAATCT	21	0519-0538	Codificación
106791	TGGCTGCAGTCTGTAGAAGG	22	0562-0581	Codificación
106792	CTGCTCCAGCATCTGCTGCT	23	0639-0658	Codificación
106793	TTTCTGTTCTAGATCCTGCA	24	0684-0703	Codificación
106794	TAGTTGAAATCAAAGTCATC	25	0728-0747	Codificación
106795	TTCCATTCAGATCTTGCATG	26	0772-0791	Codificación
106796	TCTGTTCCAGCTGCTGCATC	27	0817-0836	Codificación
106797	TCACTCACGATGCTTCTCCG	28	0860-0879	Codificación
106798	GAGTTTTCTGCACGTACTCC	29	0904-0923	Codificación
106799	ATCTGTTGCCGCCTCTTCCA	30	0947-0968	Codificación
106800	CTAGCCGATCTAGGCAGATG	31	0991-1010	Codificación
106801	CGGGTCTGAAGTTGAGATTC	32	1034-1053	Codificación
106802	CGGCCGGTGCTGTACAATGG	33	1110-1129	Codificación
106803	TTTCATTAAGTTTCTGAACA	34	1155-1174	Codificación
106804	AGGATGCATGGGCATGCAGG	35	1200-1219	Codificación
106805	GACCAGCAACCTGACTTTAG	36	1260-1279	Codificación
106806	ATGCACACTTTAATTTTAAG	37	1304-1323	Codificación
106807	TTCCGGGATCCTCTGAGAGC	38	1349-1368	Codificación
106808	TTCCATGTTCATCACTTTTG	39	1392-1411	Codificación
106809	GTCAAGTGTTTGAATTCTGC	40	1436-1455	Codificación
106810	CAATCAGGGAAGCATCACAA	41	1495-1514	Codificación
106811	TACACCTCGGTCTCAAAGGT	42	1538-1557	Codificación
106812	TGACAAGGAGTGGGTCTCTA	43	1581-1600	Codificación
106813	CGCCCAGGCATTTGGCATCT	44	1626-1645	Codificación
106814	CATTCTTGGGATTGTTGGTC	45	1669-1688	Codificación
106815	CACTTGGTCCCAGGTTCCAA	46	1713-1732	Codificación
106816	CCCGCTTGGTGGTGGACGAG	47	1756-1775	Codificación

Secuenc desoxi)	ia de nucleótidos de fosforotioato u	oligonucle	eótidos quiméricos de STAT3 humano	os (con brecha
ISIS NO.	Secuencia de nucleótidos ¹ (5' - > 3')	SEQ ID NO:	Coordinados de nucleótidos de gen objetivo ²	Región de gen objetivo
106817	AGTTCACACCAGGCCCTAGG	48	1816-1835	Codificación
106818	GTTTTCTTTGCAGAAGTTAG	49	1860-1879	Codificación
106819	ATATTGTCTAGCCAGACCCA	50	1904-1923	Codificación
106820	AACCCATGATGTACCCTTCA	51	1963-1982	Codificación
106821	GCTTAGTGCTCAAGATGGCC	52	2005-2024	Codificación
106822	GCTGCTTTCACTGAAGCGCA	53	2043-2062	Codificación
106823	GTGAAAGTGACGCCTCCTTC	54	2066-2085	Codificación
106824	CTGATGTCCTTCTCCACCCA	55	2087-2106	Codificación
106825	ACTGGATCTGGGTCTTACCG	56	2107-2126	Codificación
106826	AAATGACATGTTGTTCAGCT	57	2151-2170	Codificación
106827	GCCCATGATGATTTCAGCAA	58	2169-2188	Codificación
106828	TATTGGTAGCATCCATGATC	59	2194-2213	Codificación
106829	ATAGACAAGTGGAGACAACA	60	2217-2236	Codificación
106830	TTGGGAATGTCAGGATAGAG	61	2237-2256	Codificación
106831	CTCCTGGCTCTCTGGCCGAC	62	2280-2299	Codificación
106832	ACCTGGGTCAGCTTCAGGAT	63	2301-2320	Codificación
106833	CACAGATAAACTTGGTCTTC	64	2338-2357	Codificación
106834	ATCGGCAGGTCAATGGTATT	65	2378-2397	Codificación
106835	CCAAACTGCATCAATGAATC	66	2414-2433	Codificación
106836	GGTTCAGCACCTTCACCATT	67	2438-2457	Codificación
106837	GAGGGACTCAAACTGCCCTC	68	2466-2485	Codificación
106838	CAACTCCATGTCAAAGGTGA	69	2484-2503	Codificación
106839	TTCTCAGCTCCTCACATGGG	70	2525-2544	Detención
106840	CGTTCTCAGCTCCTCACATG	71	2527-2546	Detención
106841	TCCGTTCTCAGCTCCTCACA	72	2529-2548	Detención
106842	CTTCCGTTCTCAGCTCCTCA	73	2531-2550	Detención
106843	AGCTTCCGTTCTCAGCTCCT	74	2533-2552	Detención
106844	AGAATGCAGGTAGGCGCCTC	75	2569-2588	3´-UTR
106845	ACCACAAAGTTAGTAGTTTC	76	2623-2642	3´-UTR
106846	TGCTCAAAGATAGCAGAAGT	77	2665-2684	3´-UTR
106847	ATTCACTCATTTCTCTATTT	78	2701-2720	3´-UTR
106848	CATTTAGATAAAAGCAGATC	79	2727-2746	3´-UTR

Secuenci desoxi)	ia de nucleótidos de fosforotioato u	oligonucleó	tidos quiméricos de STAT3 humano	s (con brecha
ISIS NO.	Secuencia de nucleótidos ¹ (5' - > 3')	SEQ ID NO:	Coordinados de nucleótidos de gen objetivo ²	Región de gen objetivo
106849	ACATCCTTATTTGCATTTAG	80	2740-2759	3´-UTR
106850	GATCATGGGTCTCAGAGAAC	81	2760-2779	3´-UTR

¹ Los residuos resaltados 2'-metoxietoxi, residuos de 2'metoxietoxi citosina y residuos 2'-OH citosina son 5-metil-cotsinas; todos los enlaces son enlaces fosforotioato.

La actividad de los oligonucleótidos es probada por cuantificación de los niveles de ARNm de STAT3 por PCR en tiempo real utilizando el Sistema de Detección de Secuencias ABI PRISM™ 7700 (PE-Applied Biosystems, Foster City, CA) de acuerdo con las instrucciones del fabricante. Este es un sistema de detección por fluorescencia no basado en gel en un tubo cerrado que permite una cuantificación de alto rendimiento de los productos de la reacción en cadena de polimerasa (PCR) en tiempo real. En oposición al PCR estándar, en el cual los productos de la amplificación son cuantificados después de que se termina la PCR, los productos en PCR en tiempo real son cuantificados a medida que se acumulan. Esto se logra incluyendo en la reacción de PCR una sonda de oligonucleótido que se fusiona específicamente entre los cebadores de PCR delantero y reverso, y contiene dos colorantes fluorescentes. Un colorante informador (por ejemplo, JOE o FAM, PE-Applied Biosystems, Foster City, CA) se une al extremo 5' de la sonda y un colorante de detención (por ejemplo, TAMRA o MGB, PEApplied Biosystems, Foster City, CA) se une al extremo 3' de la sonda. Cuando la sonda y los colorantes están intactos, la emisión del colorante informador es detenida por la proximidad del colorante de detención 3'. Durante la amplificación, la fusión de la sonda a la secuencia objetivo crea un sustrato que puede ser escindido por la actividad de la 5'-exonucleasa de la Taq polimerasa. Durante la fase de extensión del ciclo de amplificación de PCR, la escisión de la sonda por la Taq polimerasa libera el colorante informador del resto de la zona (y por lo tanto de la unidad estructural de detención) y se genera una señal fluorescente especifica de la secuencia. Con cada ciclo, se escinden moléculas de colorante informador adicionales de sus respectivas sondas, y la intensidad de la fluorescencia se monitorea a intervalo regulares (6 segundos) mediante una óptica láser incorporada en el sistema de Detección de Secuencias ABI PRISM™ 7700. En cada ensayo, una serie de reacciones paralelas que contienen diluciones seriadas de ARNm de muestras de control no tratadas genera una curva estándar que se utiliza para cuantificar el porcentaje de inhibición después del tratamiento de oligonucleótido antisentido de las muestras de prueba.

El ARN aislado es sometido primero a una reacción de transcriptasa reversa para preparar ADN complementario (ADNc) a partir del ARN. El ADNc es el resultante del sustrato para PCR en tiempo real. Los reactivos de transcriptasa reversa y PCR en tiempo real son obtenidos de PE-Applied Biosystems, Foster City, CA. Las reacciones son llevadas a cabo agregando un coctel de PCR 25 1 (1xTAQMAN7 buffer A, 5.5 mM MgCl₂, 300 M de cada uno de dATP, dCTP y dGTP, 600 M odedUTP, 100 nM de cada uno de cebador de inicio, cebador de retroceso y sonda, 20 U de inhibidor seARN, 1.25 unidades de AMPLITAQ GOLD7, y 12.5 U de MuLV transcriptasa reversa) a placas de 96 pozos que contienen solución de ARNm poli (A) 25 1. La reacción de transcriptasa reversa se lleva a cabo por incubación durante 30 minutos a 48°C después de una incubación durante 10 minutos a 95°C para activar la AMPLITAQ GOLD7, se llevan a cabo 40 ciclos de un protocolo de PCR de dos etapas: 95°C durante 15 segundos (desnaturalización) seguidos por 60°C durante 1.5 minutos (fusión/extensión).

Los cebadores de PCR de STAT3 y la sonda pueden ser diseñados utilizando software comercial (por ejempl u oligo 5.0 o Primer Express[®]).

Ejemplo 3: Secuencias de oligonucleótidos de STAT3 de ratón

10

15

20

35

40

45

Los oligonucleótido antisentido fueron diseñados para apuntar a STAT3 de ratón. Los datos de las secuencias objetivo son de la secuencia de ADNc de STAT3 enviados por Zhong, Z.; número de acceso GenBank® U06922, provisto aquí como SEQ ID NO: 82. Los oligonucleótidos fueron sintetizados com u oligonucleótidos quiméricos ("oligómeros con brecha") de 20 nucleótidos de longitud, compuestos de una región central de "brechas" consistente de diez 2'-desoxinucleótidos, la cual está flanqueada en ambos lados (dirección 5' y 3') por "alas" de cinco nucleótidos. Las alas están compuestas de 2'-O-metoxietilo (2'-MOE) nucleótidos. Los enlaces internucleósido (esqueleto) son fosforotioato (P=S) a lo largo del oligonucleótido. Todas la citosinas 2'-MOE fueron 5-metil-citosinas. Las secuencias de oligonucleótidos se muestran en la Tabla 3. La línea celular de linfoma B, BCL1 fue obtenida de ATCC (Manassas, VA). Las células BCL1 fueron cultivadas bajo condiciones estándar en medio RPMI 1640.

Las células BCL1 (5 X 10⁶ células en PBS) fueron transfectadas con oligonucleótidos por electroporación, a 200V, 1000 F utilizando un BTX Electro Cell Manipulator™ 600 (Genetronics, San Diego, CA). Para una selección inicial,

² Coordenadas de GenBank[®] Accession No. L29277, nombre de locus "HUMAPRF", SEQ ID NO: 1.

las células BCL1 fueron sometidas a electroporación con oligonucleótido 10 M, y el ARN fue recolectado 24 horas después. Las muestras de control sin oligonucleótido fueron sometidas a las mismas condiciones de electroporación.

El ARN celular total fue aislado utilizando el kit RNEASY7[®] (Qiagen, Santa Clarita, CA). Los experimentos de protección de seARN fueron llevados a cabo utilizando kits RIBOQUANT™ y conjuntos de plantillas de acuerdo con las instrucciones del fabricante (Pharmingen, San Diego, CA). La transferencia Northern fue llevada a cabo como lo describe Chiang, M-Y. et al. (J. Biol. Chem., 1991, 266, 18162-18171) utilizando una sonda de ADNc de rata preparada por la digestión con restricción Xho I/Sal I del plásmido psvsport-1 (ATCC, Rockville, MD). Los niveles de ARNm fueron cuantificados utilizando un Phosphorlmager™ (Molecular Dynamics, Sunnyvale, CA).

10 Tabla 3

5

desoxi) ISIS	Secuencia de nucleótidos ¹ (5' ->	SEQ	Coordenadas de nucleótidos de	Región de ger	
NO.	3')	ID NO:	gen objetivo ²	objetivo	
17136	GTTCCACTGAGCCATCCTGC	83	0064-0083	AUG	
17137	TTCAGGTAGCGTGTGTCCAG	84	0096-0115	Codificación	
17138	ATGTGACTCTTTGCTGGCTG	85	0205-0224	Codificación	
17139	CCAAGAGATTATGAAACACC	86	0233-0252	Codificación	
17140	GCTCCAACATCTGCTGCTTC	87	0485-0504	Codificación	
17141	GCTCTTCATCAGTCAGTGTC	88	0767-0786	Codificación	
17142	ATCTGACACCCTGAGTAGTT	89	1680-1699	Codificación	
17143	GCCAGACCCAGAAGGAGAAG	90	1742-1761	Codificación	
17144	CGCTCCTTGCTGATGAAACC	91	1827-1846	Codificación	
17145	AACTTGGTCTTCAGGTACGG	92	2178-2197	Codificación	
17146	ATCAATGAATCTAAAGTGCG	93	2253-2272	Codificación	
17147	TCAGCACCTTCACCGTTATT	94	2283-2302	Codificación	
17148	ACTCAAACTGCCCTCCTGCT	95	2309-2328	Codificación	
17149	GGTTTCAGCTCCTCACATGG	96	2374-2393	Parada	
17150	TAAAAAAAAAATCTGGAAC	97	2485-2504	3'-UTR	
17151	AAGATAGCAGAAGTAGGAAA	98	2506-2525	3'-UTR	
17152	AAAAAGTGCCCAGATTGCCC	99	2527-2546	3'-UTR	
17153	ATCACCCACACTCACTCATT	100	2557-2645	3´-UTR	
17154	CCTTTGCCTCCCTTCTGCTC	101	2626-2645	3´-UTR	
17155	TGAAAAAGGAGGGCAGGCGG	102	2665-2684	3'-UTR	
17156	CACCAGGAGGCACTTGTCTA	103	2705-2724	3'-UTR	
17157	AACCTCCTGGGCTTAGTCCT	104	2822-2841	3'-UTR	
23176	AAAAAGTGCGCAGATTGCCC	105	Control con 1 base no coincidente	<u> </u>	
23177	AAAAAGTCCGCTGATTGCCC	106	Control con 3 bases no coincidentes		
23178	AAAAACTCCGCTGAATGCCC	107	Control con 5 bases no coincidentes		

	Secuencias de nucleótidos de fosforotioato u oligodesoxinucleótidos quiméricos STAT3 de ratón (con brecha						
desoxi)							
ISIS NO.	Secuencia de nucleótidos ¹ (5' -> 3')	SEQ ID NO:	Coordenadas de nucleótidos de gen objetivo ²	Región objetivo	de	gen	

¹ Todos los residuos citosina 2'-MOE son 5- metil-citosinas; todos los enlaces son enlaces fosforotioato.

Los resultados se muestran en la Tabla 4. Los oligonucleótidos 17138 (SEQ ID NO: 85), 17139 (SEQ ID NO: 86), 17140 (SEQ ID NO: 87), 17143 (SEQ ID NO: 90), 17144 (SEQ ID NO: 91), 17152 (SEQ ID NO: 99), 17153 (SEQ ID NO: 100), 17156 (SEQ ID NO: 103), y 17157 (SEQ ID NO: 104) dieron más de 45% de inhibición en este ensayo.

Tabla 4

ISIS No:	SEQ ID NO:	Región objetivo en gen	% de expresión ARNm	% de inhibiciór ARNm	
Control			100%	0%	
17136	83	AUG	75%	25%	
17137	84	Codificación	75%	25%	
17138	85	Codificación	37%	63%	
17139	86	Codificación	41%	59%	
17140	87	Codificación	40%	60%	
17141	88	Codificación	62%	38%	
17142	89	Codificación	70%	30%	
17143	90	Codificación	42%	58%	
17144	91	Codificación	55%	45%	
17145	92	Codificación	89%	11%	
17146	93	Codificación	91%	9%	
17147	94	Codificación	70%	30%	
17148	95	Codificación	69%	31%	
17149	96	Detención	70%	30%	
17150	97	3'-UTR	95%	5%	
17151	98	3'-UTR	92%	8%	
17152	99	3'-UTR	25%	75%	
17153	100	3'-UTR	44%	56%	
17154	101	3'-UTR	80%	20%	
17155	102	3'-UTR	78%	22%	
17156	103	3'-UTR	40%	60%	
17157	104	3'-UTR	53%	47%	

⁵ **Ejemplo 4**: Respuesta a la dosis de fosforotioato u oligonucleótidos quiméricos antisentido (con brecha desoxi) efectos sobre niveles de proteína de STAT3 de ratón en células BCL1

² Las coordenadas de GenBank[®] Accession No. U06922, nombre de locus "MMU06922", SEQ ID NO: 82.

Se escogió ISIS 17152 (SEQ ID NO: 99) para estudios posteriores. El efecto de este oligonucleótido sobre los niveles de proteína se determino por transferencia Western. La ISIS 23177 (SEQ ID NO: 106), una no coincidencia de 3 bases, se utilizó como control. Las células BCL1 fueron cultivadas, tratadas y procesadas esencialmente como se describió en el ejemplo 3.

5 Los extractos nucleares fueron preparados como para las células B primarias y las líneas celulares de linfoma B como lo describe Karras, J.G., et al. (J. Exp. Med., 1997, 185, 1035-1042).

La transferencia Western fue llevada a cabo como lo describe Karras, J.G. et al. (J. Immunol., 1996, 157, 2299). Los anticuerpos STAT1 y STAT3 fueron obtenidos de UBI (Lake Placid, NY).

Los resultados se muestran en la Tabla 5. La ISIS 17152 (SEQ ID NO: 99) redujo significativamente los niveles de proteína de STAT3 en comparación con un control no coincidente.

Tabla 5

ISIS#	SEQ ID NO:	Objetivo gen ASO	Dosis	% de expresión proteína	% inhibición proteína
Control				100%	
17152	99	3'-UTR	10 nM	41.7%	58.3%
u	ш	и	15 nM	42.5%	57.5%
u	ii.	ii.	20 nM	26.5%	73.5%
23177	106	Control	10 nM	75.1%	24.9%
u	u	и	15 nM	67.6%	32.4%
и	и	и	20 nM	62.6%	37.4%

Ejemplo 5: Inhibición de proliferación de BCL1 por fosforotioato u oligonucleótidos quiméricos antisentido de STAT3 (con brecha desoxi)

Se determinó el efecto de ISIS 17152 (SEQ ID NO: 99) sobre la proliferación de BCL1. Las células BCL1 contienen STAT3 activo constitutivamente el cual se cree es responsable de su proliferación. Las células BCL1 (1 x 10⁵) fueron sometidas a electroporación esencialmente como se describe en el ejemplo 3 con 10 nm, 15 nm o 20 nm de STAT3 (ISIS 17152) u oligonucleótido no coincidente (ISIS 23177). Las células fueron incubadas en placas de 96 pozos en RPMI completo 200 L durante 48 horas después de la electroporación. Los cultivos fueron pulsados con 1 Ci de [³H]timidina durante las 8 horas finales en cultivo. Las células fueron recolectadas y analizadas en cuanto a la incorporación de timidina como se describe en Francis, D.A. et al. (Int. Immunol., 1995, 7, 151-161).

Los resultados se muestran en la Tabla 6. ISIS 17152 (SEQ ID NO: 99) redujo la proliferación de células BCL1 en aproximadamente 50%, mientras que el control no coincidente no tuvo efectos sobre la proliferación celular.

Tabla 6

brecha deso		elulas BCL1 con fost	orotioato u	oligonucleótidos quiméricos	de STATS (con
ISIS#	SEQ ID NO:	Objetivo gen ASO	Dosis	% proliferación celular	% inhibición celular
Control				100%	
17152	99	3'-UTR	10 nM	78.5%	21.5%
и	u	ec .	15 nM	54.4%	45.6%
и	и	и	20 nM	50.2%	49.8%
23177	106	Control	10 nM	117.0%	
и	44	"	15 nM	99.7%	0.3%

Inhibición de la p brecha desoxi)	roliferación de célu	las BCL1 con fosf	orotioato u olig	onucleótidos quiméricos	de STAT3 (con
ISIS#	SEQ ID NO:	Objetivo gen ASO	Dosis	% proliferación celular	% inhibición celular
ш	и	"	20 nM	107.0%	

Ejemplo 6: Inhibición de la secreción de IgM de BCL1 por fosforotioato u oligonucleótidos quiméricos antisentido de STAT3 (con brecha de desoxi)

Se determinó el efecto de ISIS 17152 (SEQ ID NO: 99) sobre los niveles de secreción de IgM en células BCL1. La STAT3 ha sido implicada en la regulación de la expresión de IgM (Faris, M., et al., Immunology, 1997, 90, 350-357). Las células BCL1 (1 x 10⁶) fueron sometidas a electroporación como se describió esencialmente en el ejemplo 3 con 5 nm o 15 nm de STAT3 (ISIS 17152) u oligonucleótido no coincidente (ISIS 23177). Las células fueron incubadas en placas de 12 pozos en 2 mL de RPMI completo después de la electroporación. El medio fue reemplazado con medio fresco 24 horas después de la electroporación. Después de 48 horas adicionales, el medio de cultivo fue recolectado, centrifugado para eliminar las células y probado en cuanto al contenido de IgM utilizando el kit OPT-EIA™ ELISA (Pharmingen, San Diego, CA) para capturar y detectar los anticuerpo IgM de ratón (Southern Biotechnology, Birmingham, AL).

Los resultados se muestran en la Tabla 7. La ISIS 17152 (SEQ ID NO: 99) redujo significativamente la secreción de IgM en comparación el oligonucleótido de control no coincidente (ISIS 23177).

Tabla 7

5

10

20

25

Inhibición de brecha desox		en BCL1 por fosfo	rotioato u olig	onucleótidos quiméricos	s de STAT3 (con
ISIS#	SEQ ID NO:	Objetivo gen ASO	Dosis	% de expresión IgM	% inhibición IgM
Control				100%	
17152	99	3'-UTC	5 nM	34.2%	65.8%
и	"	u	15 nM	23.1%	76.9%
23177	106	Control	5 nM	110.0%	
tt	· ·	и	15 nM	80.8%	19.2%

Ejemplo 7: Inducción de quimioquinas en células BCL1 después de tratamiento con fosforotioato nucleótidos quiméricos antisentido de STAT3 (con brecha desoxi)

Se determinó el efecto de ISIS 17152 (SEQ ID NO: 99) sobre los niveles de quimioquina en células BCL1. Las células BCL1 fueron sometidas a electroporación esencialmente como se describe en el ejemplo 3 con 5 nm, 10 nm o 20 nm de STAT3 (ISIS 17152) u oligonucleótido no coincidente (ISIS 23177). La expresión del gen de quimioquina fue inducida en las células BCL1 sometidas a electroporación mediante la adición de 10 uM de un oligonucleótido que contenía CpG al medio 16 horas después de la electroporación. Los oligonucleótidos que contenían CpG son moléculas inmunoestimuladoras (Krieg, A.M., et al., Nature, 1995, 374, 546-549). Los niveles de quimioquina fueron medidos 8 horas después de utilizar el ensayo de protección de RNasa por métodos conocidos para los experimentados en la técnica con un conjunto de plantilla de quimioquina de ratón, Mck-5 (Pharmingen, San Diego, CA).

Los resultados se muestran en la Tabla 8. La ISIS 17152 (SEQ ID NO: 99) fue capaz de inducir la expresión de las quimoquinas RANTES, MIP-1-alfa y MIP-1-beta mientras que el control no coincidente tuvo efecto mínimo.

30 Tabla 8

Inducción de	quimioquinas en	células BCL1	después de tra	itamiento con fo	osforotioato u o	ligonucleótidos
quiméricos de	STAT3 (con bred	cha desoxi)				
ISIS#	SEQ ID	Objetivo gen	Dosis	% RANTES	% MIPIa	% MIPIb
1313 #	NO:	ASO	DOSIS	ARNm	ARNm	ARNm
Control				100%	100%	100%
17152	99	3'-UTR	5 nM	236%	201%	133%

ш	u		10 nM	266%	258%	150%
u	и		20 nM	257%	254%	159%
23178	107	Control	5 nM	96%	123%	96.5%
tt.	ш	и	10 nM	70.2%	116%	87.1%
ii.	и	ii.	20 nM	56%	106%	73.3%

Ejemplo 8: Oligonucleótidos antisentido adicionales direccionados a STAT3 humana

Un conjunto adicional de oligonucleótidos direccionados a SEQ ID NO: 1 fue diseñado y sintetizado com u oligonucleótidos quiméricos ("oligómeros con brecha") de 20 nucleótidos de longitud, compuestos de una región "brecha" central consistente de diez 2'-desoxinucleótidos, la cual está flanqueada en ambos lados (direcciones 5' y 3') por "alas" de cinco nucleótidos. Las alas están compuestas de 2'-O-metoxietilo (2'-MOE) nucleótidos (mostrados resaltados). Los enlaces internucleósido (esqueleto) son fosforotioato (P=S) a lo largo del oligonucleótido. Todas las citocinas 2'-MOE y citosina 2'-desoxi son 5-metilo citosinas. Estas secuencias de oligonucleótidos se muestran en la Tabla 9.

Tabla 9

5

	ias de nucleótidos de fosforotioato u ados a STAT3 humana	oligonucleótidos quiméricos a	dicionales (con br	echa desoxi)
ISIS	Secuencia de nucleótidos¹ (5´- >	Coordenadas de nucleótidos	Región	SEQ ID
NO.	3')	de gen objetivo ²	objetivo en gen	NO:
113169	ATGTGATTCTTTGCTGGCCG	357	5' UTR	108
113170	AGCTG ATTCCATTGG GCCAT	221	AUG	109
113171	CCAGGAGATTATGAAACACC	385	Codificación	110
113172	ACCGT GTGTCAAGCT GCTGT	241	Codificación	111
113173	CCATTGGGAAGCTGTCACTG	286	Codificación	112
113174	TGTGATTCTTTGCTGGCCGC	356	Codificación	113
113175	GCGGC TATACTGCTG GTCAA	411	Codificación	114
113176	GCTCC AGCATCTGCT GCTTC	637	Codificación	115
113177	GATTCTTCCCACAGGCACCG	539	Codificación	116
113178	TGATTCTTCCCACAGGCACC	540	Codificación	117
113179	ATCCT GAAGGTGCTG CTCCA	651	Codificación	118
113180	CGGACATCCTGAAGGTGCTG	656	Codificación	119
113181	CCCGCCAGCTCACTCACGAT	869	Codificación	120
113182	AGTCA GCCAGCTCCT CGTCC	928	Codificación	121
113183	CCAGTCAGCCAGCTCCTCGT	930	Codificación	122
113184	CGCCTCTTCCAGTCAGCCAG	938	Codificación	123
113185	GGCCG GTGCTGTACA ATGGG	1109	Codificación	124
113186	ATCCT CTCCTCCAGC ATCGG	1127	Codificación	125
113187	CCGCTCCACCACAAAGGCAC	1176	Codificación	126
113188	CGTCCCCAGAGTCTTTGTCA	1324	Codificación	127

ISIS	Secuencia de nucleótidos ¹ (5´- >	Coordenadas de nucleótidos	Región	SEQ ID
NO.	3′)	de gen objetivo ²	objetivo en gen	NO:
113189	TTGTGTTTGTGCCCAGAATG	1375	Codificación	128
113190	GCTCGGCCCCCATTCCCACA	1472	Codificación	129
113191	AGGCATTTGGCATCTGACAG	1621	Codificación	130
113192	CTTGGGATTGTTGGTCAGCA	1665	Codificación	131
113193	CTCGGCCACTTGGTCCCAGG	1719	Codificación	132
113194	CCCCGCTTGGTGGTGGACGA	1757	Codificación	133
113195	CCCCGCTTGGTGGTGGACG	1758	Codificación	134
113196	GGAGAAGCCCTTGCCAGCCA	1881	Codificación	135
113197	TTCATTCCAAAGGGCCAAGA	1947	Codificación	136
113198	CCCGCTCCTTGCTGATGAAA	1981	Codificación	137
113199	GTGCT CAAGATGGCC CGCTC	2000	Codificación	138
113200	CCCAAGTGAAAGTGACGCCT	2071	Codificación	139
113201	ACCCA AGTGAAAGTG ACGCC	2072	Codificación	140
113202	CCGAATGCCTCCTCCTTGGG	2252	Codificación	141
113203	GCCGACAATACTTCCCGAAT	2266	Codificación	142
113204	GATGCTCCTGGCTCTCTGGC	2284	Codificación	143
113205	TCAATGAATCTAAAGCGCGG	2404	Codificación	144
113206	GACTCAAACTGCCCTCCTGC	2462	Codificación	145
113207	ATCACCCACATTCACTCATT	2710	3' UTR	146
113208	AAAAGTGCCCAGAT TGC	2682	3' UTR	147
113209	AAAAGTGCCCAGATTGCTCA	2679	3' UTR	148
113210	TAAAAGTGCCCAGATTGCTC	2680	3' UTR	149
113211	AAGCAGATCACCCACATTCA	2716	3' UTR	150

Estos oligonucleótidos fueron probados en células U266 acerca de su capacidad para reducir la expresión de STAT3 en una concentración de oligonucleótido de 2.5 µM. Las líneas celulares de mieloma humano U266 (obtenidas originalmente de American Type Culture Collection) fueron mantenidas bajo condiciones estándar en medio RPMI 1640 suplementado. Las células (15 x 10⁶ células en PBS) fueron transfectadas con oligonucleótidos a 200V con un pulso individual de 6 milisegundos utilizando un BTX Electro Square Porator T820 (Genetronics, San Diego CA). Las células fueron incubadas durante 24 horas antes de la extracción de ARN.

5

10

El ARN celular total fue aislado utilizando el kit RNeasy[®] (Qiagen, Santa Clarita, CA). El análisis por transferencia Northern fue llevado a cabo sobre 15 µg de ARN utilizando una sonda de ADNc preparada a partir de ARN MB-MDA 468 por RT-PCR estándar seguido por una reacción de cebador anidado. Las señales fueron cuantificadas utilizando un Molecular Dynamics Phosphorimager™.

Los resultados para compuestos seleccionados (expresados como porcentaje de expresión de ARNm de control y porcentaje de inhibición de la expresión de ARNm) se muestran en la Tabla 10.

Tabla 10

ISIS No:	SEQ ID NO:	Región objetivo en gen	% expresión de ARNm	% inhibición ARNm
Ninguno			100	
17148	95	Codificación	95. 1	4.9
17152	99	3' UTR	82.5	17.5
113170	109	AUG	89.6	10.4
113171	110	Codificación	110.2	
113172	111	Codificación	96.1	3.9
113173	112	Codificación	119	
113175	114	Codificación	75.8	24.2
113176	115	Codificación	72.3	27.7
113178	117	Codificación	143-9	
113181	120	Codificación	105.4	
113184	123	Codificación	104.3	
113187	126	Codificación	55.9	44.1
113189	128	Codificación	163.9	
113199	139	Codificación	64.4	35.6
113207	146	3' UTR	123.6	
113209	148	3' UTR	71.4	28.6
113210	149	3' UTR	72.2	27.8
113211	150	3' UTR	116.5	

Los experimentos de respuesta a la dosis fueron llevados a cabo utilizando ISIS 113176, 129987, 113187, 129991, 113209, 129995, 113210 y 129999 así como ISIS 17148 y el oligo ISIS 114054 de STAT3 de ratón. Como controles se uso una serie de oligonucleótidos no coincidentes ISIS 129987, ISIS 114505, ISIS 129991, ISIS 129995 y ISIS 129999. Los resultados se muestran en la Tabla 11.

5

Tabla 11

Porcentaje de respuesta a la		ión de ARNm de S	STAT3 humana con	oligonucleótidos antisentido-			
		Porcentaje de inhibición de la expresión de STAT3					
ISIS#	SEQ ID NO:	Concentración	Concentración de oligo				
		2.5 μΜ	5 μΜ	10μΜ			
17148	95	8	54	60			
114054	403	4	17	15			
113176	115	33	67	79			
129987	404	5	5	29			

113187	126	44	56	75
129991	405	21	22	26
113209	148	43	54	73
129995	406	5	32	25
113210	149	36	50	76
129999	407	31	8	

ISIS 17148 (SEQ ID 95), 113176 (SEQ ID 115), 113187 (SEQ ID 126), 113209 (SEQ ID 148) y 113210 (SEQ ID 149) redujeron la expresión de STAT3 en más del 50% en una o más concentraciones de oligonucleótidos. Estos compuestos son por lo tanto preferidos.

Ejemplo 9: La inhibición antisentido de STAT3 produce muerte apoptópica celular en células de melanoma de ratón

5 Se cultivaron células de melanoma de ratón B16 bajo condiciones estándar en medio RPMI 1640 suplementado (Life Technologies, Inc., Grand Island, NY).

10

15

25

30

Las células fueron tratadas con ISIS 17152 (SEQ ID: 99), direccionadas a STAT3 de ratón, o con el control no coincidente de 3 bases, ISIS 28084 (AAAAAGAGGCCTGATTGCCC; SEQ ID NO: 151). Las células fueron transfectadas con oligonucleótidos utilizando el reactivo LipofectAMINE™ PLUSJ (GibcoBRL). El oligonucleótido fue precomplejado con LipofectAMINE™ PLUSJ mezclando el oligonucleótido con 100 ul de medio RPMI 1640 libre de suero, y subsecuentemente agregando 6 ul del reactivo LipofectAMINE™ PLUS.

La mezcla fue mezclada exhaustivamente e incubada durante 15 minutos a temperatura ambiente. Se diluyeron 4 ul adicionales del reactivo LipofectAMINE™ PLUSJ a 100 ul en RPMI libre de suero. Esta LipofectAMINE™ PLUSJ diluida fue mezclada con la mezcla precomplejada de oligonucleótido/ LipofectAMINE™ PLUSJ incubado durante 15 minutos a temperatura ambiente. Se agregaron 800 l de RPMI 1640 libre de suero y la mezcla de oligonucleótido-medio LipofectAMINE PLUSJ resultante (aproximadamente 1 ml) fue agregada a las células en una placa de 6 pozos. Después de 3 horas de incubación, se agregó 1 ml de RPMI 1640 suplementado con suero bovino fetal al 20%. Las concentraciones finales de oligonucleótidos fueron 200 nM o 300 nM.

Las células fueron contadas 24 horas después de la transfección para determinar el efecto del tratamiento antisentido sobre la viabilidad celular. Las células fueron recolectadas 24 horas después de la transfección para análisis por transferencia Western, y 48 horas después de la transfección para tinción con Annexin-V para la apoptosis. Los efectos del oligonucleótido sobre el número de células se muestran en la Tabla 12.

Tabla 12

Efecto de	e inhibición antisentido de STAT3 so	obre el número de	células		
Expt	200 nM		300 nM		
	ISIS 28084 (3 no coincidencias)	ISIS 17152	ISIS 28084 (3 no coincidencias)	ISIS 17152	
1	10.2 x 10 ⁵	3.8 x 10 ⁵			
2	5.0 x 10 ⁵	6.8 x 10 ⁵	9.1 x 10 ⁵	3.5 x 10 ⁵	
3	3.5 x 10 ⁵	1.8 x 10 ⁵	3.3 x 10 ⁵	2.2 x 10 ⁵	

Los datos muestran que el tratamiento con el oligonucleótido antisentido de STAT3 da como resultado una muerte celular incrementada en comparación con el tratamiento con un oligo de control no coincidente.

La apoptosis en las células B16 fue medida 48 horas después del tratamiento antisentido por tinción con Annexin V-PE (Clontech, Palo Alto, CA), seguido por análisis de citometría de flujo. La tinción positiva para Annexin-V es un indicador de apoptosis. Las células transfectadas Mock y tratadas con el oligonucleótido de control tenían 11% y 10% de células positivas a Annexin-V, respectivamente. En contraste, las células tratadas con ISIS 17152 al 30% fueron positivas a Annexin-V, indicando un incremento de casi tres veces en el número de células apoptóticas. Debe anotarse que este incremento aparente es probablemente una subestimación del número de células que experimentaron apoptosis en respuesta al tratamiento con el oligo STAT3 puesto que se eliminan células muertas en el procesamiento de las células en el ensayo de apoptosis.

El análisis por transferencia Western fue llevado a cabo para detectar STAT3 utilizando métodos conocidos para los experimentados en la técnica sobre células recolectadas 24 horas después del tratamiento antisentido. El anticuerpo antiSTAT3 fue adquirido de K15, Santa Cruz Biotechnology, Santa Cruz, CA. La ISIS 17152 a 200 nM o 300 nM redujo significativamente la producción de proteína STAT3 en células B16.

5 **Ejemplo 10:** Efecto de oligonucleótidos antisentido de STAT3 en linfocitos granulares grandes leucémicos (LGL)

La leucemia LGL es una enfermedad linfoproliferativa con características autoinmunes y se conoce que las células LGL no sufren apoptosis dependiente de Fas, independientemente de los altos niveles de expresión de Fas y FasL (Lamy et al., Blood, 1998, 92, 4771-7). Los oligonucleótidos antisentido de STAT3 fueron probados en cuanto a su capacidad para sensibilizar las células LGL a las señales apoptóticas en estas células.

Las células leucémica LGL fueron obtenidas de pacientes que satisficieron los criterios clínicos de leucemia LGL de células T (CD3+) con recuentos de LGL incrementados y reordenamientos genéticos TCR clónales. Todos los pacientes tenían enfermedad crónica que no requería tratamiento en el momento del análisis. Las células LGL leucémicas purificadas (2 x 10⁶) fueron sembradas en placas de 24 pozos en 0.5mL de medio completo (RPMI-1640 suplementado, de Gibco Life Technologies, Gaithersburg, MD). Las células fueron incubadas bien sea con oligonucleótido antisentido ISIS 17148 (SEQ ID NO: 95) o el oligonucleótido de control, ISIS 16094 (SEQ ID NO: 152). El oligonucleótido antisentido fue suministrado a células leucémicas LGL por consumo pasivo. No se utilizaron reactivos de transfección para la administración.

Los extractos fueron preparados a partir de las células LGL cada una de tres pacientes tratados con una dosis de 1 uM de oligonucleótidos antisentido de STAT3 (ISIS 17148, SEQ ID: 95) o de control no coincidente. Las inmunoprecipitaciones Western fueron ejecutadas para determinar los niveles de proteína de STAT3. Una reducción en los niveles de proteína de STAT3 vario de 25 a 45% en comparación con controles pareados tratados con el oligo no coincidente.

La inducción de apoptosis en células LGL tratadas con oligonucleótidos antisentido de STAT3 (ISIS 17148, SEQ ID: 95) o de control no coincidentes en dosis de 1, 2 y 5 uM fue medida por citometría de flujo. La apoptosis se incremento significativamente en las células tratadas con antisentido de STAT 3 y fue independiente de la dosis. Las mediciones del porcentaje de apoptosis específicas en reacciones en duplicado revelaron un incremento en la apoptosis desde aproximadamente 5% en células no tratadas a niveles de 6, 17 y 24% en células tratadas con STAT3 antisentido a 1, 2 y 5uM respectivamente. Los niveles de apoptosis en células tratadas con oligonucleótido de control permanecieron a aproximadamente 6% en todas las dosis. Se cree que la apoptosis fue activada a través de una ruta mediada por Fas.

Ejemplo 11

20

40

Inducción de apoptosis en la línea celular U266 de mieloma humano después de tratamiento con oligonucleótido antisentido de STAT3

El mieloma múltiple (MM) es un trastorno hiperproliferativo. Estudios previos demuestran un incremento en la apoptosis en una línea celular U266 MM en respuesta a la expresión de un STAT3 negativo dominante que carece de un dominio de transactivación intacto.

Los oligonucleótidos STAT3 antisentido ISIS 17148 (SEQ ID NO: 95) e ISIS 113176 (SEQ ID: 115) fueron probados en cuanto a su capacidad para incrementar la apoptosis en células U266 en comparación con un oligonucleótido de control no coincidente. Cantidades diversas de oligonucleótido fueron administradas a células cultivadas por transfección. Las células fueron recolectadas 48 horas después de la transfección para determinar los niveles de ARNm y proteína de STAT3 por transferencia Northern y Western, respectivamente. Una reducción en el ARNm y proteínas de STAT3 significativa dependiente de la dosis fue observada en respuesta a la administración de ambos oligonucleótidos antisentido de STAT3. El oligonucleótido de control no coincidente no tuvo efecto significativo sobre los niveles de ARNm o proteína de STAT3.

Las células también fueron probadas en cuanto a un incremento en la apoptosis en respuesta a los oligonucleótidos antisentido de STAT3 por tinción con Annexin 5 y citometría de flujo cmo se describió anteriormente.

Un incremento significativo en la apoptosis fue observada en las células transfectadas tanto con ISIS 17148 como con ISIS 113176. No se observo un cambio significativo en apoptosis en las células tratadas con el oligonucleótido de control no coincidente.

50 **Ejemplo 12**

Inhibición antisentido de STAT3 humano por fosforotioato u oligonucleótidos quiméricos que tienen alas 2'-MOE y una brecha desoxi

De acuerdo con la presente invención, una serie adicional de oligonucleótidos fue diseñada para direccionar a diferentes regiones de la STAT3 humana, utilizando secuencias publicadas (número de acceso GenBank[®] L29277,

incorporada aquí como SEQ ID NO: 1, el complemento de los nucleótidos 4189213 a 4263636 de la secuencia con el número de acceso GenBank® NT_010755.13, incorporada aquí como SEQ ID NO: 153 y el número de acceso GenBank® NM_139276.1, incorporado aquí como SEQ ID NO: 154). Los oligonucleótido se muestran en la Tabla 13. El "sitio objetivo" indica el primer número de nucleótido (el más hacia 5') sobre la secuencia objetivo particular a la cual se enlaza el oligonucleótido. Todos los compuestos en la Tabla 13 son oligonucleótidos quiméricos ("oligómeros con brecha") de 20 nucleótidos de longitud, compuestos de una región de "brecha" central consistente de diez 2'-desoxinucleótidos, la cual está flanqueada en ambos lados (direcciones 5' y 3') por "alas" de cinco nucleótidos. Las alas están compuestas de 2'-O-metoxietilo (2'-MOE) nucleótidos. Los enlaces internucleósidos (esqueleto) son fosforotioato (P=S) a lo largo del oligonucleótido. Todos los residuos citidina son 5-metilicitidinas.

5

20

25

Los compuestos fueron analizados en cuanto a su efecto sobre los niveles de ARNm de STAT3 en células A549. La línea celular A549 de carcinoma pulmonar humano fue obtenida del American Type Culture Collection (ATCC) (Manassas, VA). Las células A549 fueron cultivadas de manera rutinaria en medio basal de DMEM (Invitrogen Life Technologies, Carlsbad, CA) suplementado con suero bovino fetal al 10% (Invitrogen Life Technologies, Carlsbad, CA), 100 unidades/mL de penicilina y 100 ug/mL de estreptomicina (Invitrogen Life Technologies, Carlsbad, CA). Las células fueron pasadas de manera rutinaria por tripsinización y dilución cuando alcanzaron 90% de confluencia.

La ISIS 18078 fue utilizada com u oligonucleótido de control y fue utilizada a 75 nM. La ISIS 18078 (GTGCGCGCGAGACCCGAAATC, SEQ ID NO: 155) es un oligonucleótido quimérico ("oligómeros con brecha") de 20 nucleótidos de longitud, compuesto de una región central "de brecha" consistente de nueve 2'-desoxinucleótidos, la cual está flanqueada en ambos lados (direcciones 5' y 3') por "alas" de cinco nucleótidos y seis nucleótidos, respectivamente. Las alas están compuestas de 2'-O-metoxietilo (2'-MOE) nucleótidos. Los enlaces internucleósido (esqueleto) son fosforotioato (P=S) a lo largo del oligonucleótido. Todos los residuos de citidina son 5-metilcitidinas.

Cuando las células alcanzaron 65 - 75% de confluencia, fueron tratadas con el oligonucleótido. Para células cultivadas en placas de 96 pozos, los pozos fueron lavados una vez con 100 L de medio de suero reducido OPTI-MEM-1™ (Invitrogen Life Technologies, Carlsbad, CA) y luego tratadas con 130 L de OPTI-MEM-1™ que contenía 3.75 g/mL de LIPOFECTIN™ (Invitrogen Life Technologies, Carlsbad, CA) y 75 nM de los compuestos de la Tabla 13. Las células fueron tratadas y los datos fueron obtenidos en duplicado. Células no tratadas sirvieron como controles. Después de 4 − 7 horas del tratamiento a 37°C, el medio fue reemplazado con medio fresco. Las células fueron recolectadas 16 − 24 horas después del tratamiento con el oligonucleótido. Los niveles de ARNm de STAT3 en las células A549 fueron cuantificados por PSR en tiempo real como se describió por otros métodos aquí.

Las sondas y cebadores para STAT3 humana fueron diseñadas para hibridar a una secuencia de STAT3 humana, utilizando información de secuencia publicada (incorporada aquí como SEQ ID NO: 1). Para el conjunto 199 de sonda de cebador (PPS199) los cebadores de PCR fueron: cebador de avance: ACATGCCACTTTGGTGTTTCATAA (SEQ ID NO: 156) cebador reverso: TCTTCGTAGATTGTGCTGATAGAGAAC (SEQ ID NO: 157) y la sonda de PCR fue: FAM-CAGTATAGCCGCTTCCTGCAAGAGTCGAA-TAMRA (SEQ ID NO: 158) donde FAM es el colorante informador fluorescente y TAMRA es el colorante de detención. Las cantidades objetivo de gen obtenidas por RT-PCR en tiempo real son normalizadas cuantificando el ARN total usando RiboGreen™ (Molecular Probes, Inc. Eugene, OR). En esta prueba, 170 mL de reactivo de trabajo RiboGreen™ (reactivo RiboGreen™ diluido 1:350 en Tris HCl, 1 mM EDTA, Ph 7.5 10 mM) se pipetea en una placa de 96 pozos que contiene 30 μL de ARN celular purificado. La placa es leída en un CitoFluor® 4000 (PE Applied Biosystems, Foster City, CA) con excitación a 485 nm y emisión a 530 nm.

Los resultados de los tratamientos con oligonucleótidos antisentido son el promedio de 2 experimentos y se muestran en la Tabla 13. Los datos están expresados como porcentaje de inhibición con respecto a las células de control no tratadas.

Tabla 13

lsis#	Region	SEQ ID NO objetivo	Sitio objetivo	Secuencia	% inhibición	SEQ ID NO
337245	intrón	153	6814	AGCCTCTGCACCCTCATGTT	77	159
337246	intrón	153	6868	CTCCTAAATTAAGAACTTCT	37	160
337247	intrón	153	14801	TTTTGCATGATGTAACCACT	87	161
337248	intrón	153	34820	TATTGAAAATTATCTAATTC	0	162
337249	Codificación	153	40369	TTGGGCCATCCTGCTAAAAT	48	163

lsis#	Region	SEQ ID NO objetivo	Sitio objetivo	Secuencia	% inhibición	SEQ ID NO
337250	exón:intró	153	50156	ATTCACTTGCCTCCTTGACT	51	164
337251	intrón:exón	153	51124	ATGCCCTTACTCTCCGCATC	74	165
337252	exón:intrón	153	59140	CTGAACTTACCCTCTGAGAG	60	166
337253	exón:intrón	153	64176	AAATGCGGACCCAAGAGTTT	49	167
337254	5'UTR	1	56	CTTGTTCCCTCGGCTGCGAC	57	168
337255	5'UTR	1	79	GCCTGTCCAGGATCCGGTTG	75	169
337256	5'UTR	1	126	GAAGGCCTCTCCGAGCCGA	67	170
337257	5'UTR	1	148	GGCGGCGAGGCTCCCTCAGG	80	171
337258	5'UTR	1	193	TCCGGCAGAGGCCGAGAGGC	56	172
337259	5'UTR	154	225	CCATCCTGCTAAAATCAGGG	58	173
337260	5'UTR	154	233	CCATTGGGCCATCCTGCTAA	62	174
337261	Codificación	1	235	TGTCAAGCTGCTGTAGCTGA	79	175
337262	Codificación	1	299	AACTGCCGCAGCTCCATTGG	74	176
337263	Codificación	1	326	TCTTGACTCTCAATCCAAGG	79	177
337264	Codificación	1	339	CGCATATGCCCAATCTTGAC	81	178
337265	Codificación	1	426	CGACTCTTGCAGGAAGCGGC	92	179
337266	Codificación	1	453	TCGTAGATTGTGCTGATAGA	61	180
337267	Codificación	1	470	AGAAACTGCTTGATTCTTCG	62	181
337268	Codificación	1	484	GATACCTGCTCTGAAGAAAC	75	182
337269	Codificación	1	491	TTCTCAAGATACCTGCTCTG	74	183
337270	Codificación	1	496	TTGGCTTCTCAAGATACCTG	89	184
337271	Codificación	1	541	GTGATTCTTCCCACAGGCAC	85	185
337272	Codificación	1	629	ATCTGCTGCTTCTCCGTCAC	74	186
337273	Codificación	1	634	CCAGCATCTGCTGCTTCTCC	73	187
337274	Codificación	1	647	TGAAGGTGCTGCTCCAGCAT	74	188
337275	Codificación	1	683	TTCTGTTCTAGATCCTGCAC	82	189
337276	Codificación	1	708	CTGGAGATTCTCTACCACTT	91	190
337277	Codificación	1	716	AAGTCATCCTGGAGATTCTC	79	191
337278	Codificación	1	721	AATCAAAGTCATCCTGGAGA	69	192
337279	Codificación	1	726	GTTGAAATCAAAGTCATCCT	78	193
337280	Codificación	1	731	TTATAGTTGAAATCAAAGTC	45	194
337281	Codificación	1	736	GGGTTTTATAGTTGAAATCA	16	195

lsis#	Region	SEQ ID NO	Sitio objetivo	Secuencia	% inhibición	SEQ ID NO
337282	Codificación	objetivo 1	741	CTTGAGGGTTTTATAGTTGA	58	196
337283	Codificación	1	746	TGACTCTTGAGGGTTTTATA	71	197
337284	Codificación	1	751	CTCCTTGACTCTTGAGGGTT	91	198
337285	Codificación	1	756	CATGTCTCCTTGACTCTTGA	78	199
337286	Codificación	1	768	ATTCAGATCTTGCATGTCTC	77	200
337287	Codificación	1	779	TGGTTGTTTCCATTCAGATC	82	201
337288	Codificación	1	790	TGGTCACTGACTGGTTGTTT	84	202
337289	Codificación	1	812	TCCAGCTGCTGCATCTTCTG	83	203
337290	Codificación	1	822	GAGCATCTGTTCCAGCTGCT	80	204
337291	Codificación	1	848	CTTCTCCGCATCTGGTCCAG	66	205
337292	Codificación	1	899	TTCTGCACGTACTCCATCGC	81	206
337293	Codificación	1	925	CAGCCAGCTCCTCGTCCGTG	92	207
337294	Codificación	1	935	CTCTTCCAGTCAGCCAGCTC	75	208
337295	Codificación	1	941	TGCCGCCTCTTCCAGTCAGC	82	209
337296	Codificación	1	999	CCAGTTTTCTAGCCGATCTA	80	210
337297	Codificación	1	1006	ACGTTATCCAGTTTTCTAGC	72	211
337298	Codificación	1	1025	AGTTGAGATTCTGCTAATGA	74	212
337299	Codificación	1	1030	TCTGAAGTTGAGATTCTGCT	80	213
337300	Codificación	1	1085	CCTTTGTAGGAAACTTTTTG	23	214
337301	Codificación	1	1162	AGGCACTTTTCATTAAGTTT	73	215
337302	Codificación	1	1262	TTGACCAGCAACCTGACTTT	61	216
337303	Codificación	1	1286	AGCTGATAATTCAACTCAGG	85	217
337304	Codificación	1	1291	TTTTAAGCTGATAATTCAAC	15	218
337305	Codificación	1	1297	CTTTAATTTTAAGCTGATAA	25	219
337306	Codificación	1	1302	GCACACTTTAATTTTAAGCT	77	220
337307	Codificación	1	1307	TCAATGCACACTTTAATTTT	53	221
337308	Codificación	1	1364	CCCAGAATGTTAAATTTCCG	70	222
337309	Codificación	1	1414	AGAGGCTGCCGTTGTTGGAT	73	223
337310	Codificación	1	1433	AAGTGTTTGAATTCTGCAGA	73	224
337311	Codificación	1	1452	TCTCTGCTCCCTCAGGGTCA	61	225
337312	Codificación	1	1517	ATCAGGTGCAGCTCCTCAGT	78	226
337313	Codificación	1	1522	AGGTGATCAGGTGCAGCTCC	61	227

lsis#	Region	SEQ ID NO objetivo	Sitio objetivo	Secuencia	% inhibición	SEQ ID NO
337314	Codificación	1	1527	CTCAAAGGTGATCAGGTGCA	75	228
337315	Codificación	154	1571	GAGGCCTTGGTGATACACCT	46	229
337316	Codificación	154	1579	TCAATCTTGAGGCCTTGGTG	59	230
337317	Codificación	154	1584	CTAGGTCAATCTTGAGGCCT	55	231
337318	Codificación	1	1569	GGTCTCTAGGTCAATCTTGA	74	232
337319	Codificación	1	1577	AAGGAGTGGGTCTCTAGGTC	38	233
337320	Codificación	154	1602	CTGGCAAGGAGTGGGTCTCT	74	234
337321	Codificación	154	1609	ACCACAACTGGCAAGGAGTG	80	235
337322	Codificación	1	1609	TCTGACAGATGTTGGAGATC	69	236
337323	Codificación	1	1614	TGGCATCTGACAGATGTTGG	79	237
337324	Codificación	1	1619	GCATTTGGCATCTGACAGAT	79	238
337325	Codificación	1	1667	TTCTTGGGATTGTTGGTCAG	75	239
337326	Codificación	1	1778	GTCAGCTGCTCGATGCTCAG	78	240
337327	Codificación	154	1823	TCCCAAGAGTTTCTCTGCCA	84	241
337328	Codificación	1	1838	CATGTGATCTGACACCCTGA	85	242
337329	Codificación	1	1843	TAGCCCATGTGATCTGACAC	88	243
337330	Codificación	154	1885	GCCATGTTTTCTTTGCAAAA	59	244
337331	Codificación	1	1873	CCTTGCCAGCCATGTTTTCT	88	245
337332	Codificación	1	1878	GAAGCCCTTGCCAGCCATGT	91	246
337333	Codificación	154	1903	AAGGAGAAGCCCTTGCCAGC	90	247
337334	Codificación	154	1908	CCCAGAAGGAGAAGCCCTTG	85	248
337335	Codificación	154	1918	TCCAGCCAGACCCAGAAGGA	86	249
337336	Codificación	1	2048	TCTTTGCTGCTTTCACTGAA	79	250
337337	Codificación	1	2144	ATGTTGTTCAGCTGCTGCTT	76	251
337338	Codificación	1	2149	ATGACATGTTGTTCAGCTGC	80	252
337339	Codificación	1	2154	AGCAAATGACATGTTGTTCA	84	253
337340	Codificación	1	2159	ATTTCAGCAAATGACATGTT	72	254
337341	Codificación	1	2164	TGATGATTTCAGCAAATGAC	74	255
337342	Codificación	1	2174	TTATAGCCCATGATGATTTC	81	256
337343	Codificación	1	2179	TGATCTTATAGCCCATGATG	84	257
337344	Codificación	1	2184	ATCCATGATCTTATAGCCCA	90	258
337345	Codificación	1	2190	GGTAGCATCCATGATCTTAT	86	259

lsis#	Region	SEQ ID NO objetivo	Sitio objetivo	Secuencia	% inhibición	SEQ ID NO
337346	Codificación	1	2232	AATGTCAGGATAGAGATAGA	55	260
337347	Codificación	1	2246	GCCTCCTCCTTGGGAATGTC	88	261
337348	Codificación	154	2273	TCCGAATGCCTCCTCCTTGG	92	262
337349	Codificación	154	2278	TACTTTCCGAATGCCTCCTC	65	263
337350	Codificación	154	2283	GACAATACTTTCCGAATGCC	84	264
337351	Codificación	1	2303	CTACCTGGGTCAGCTTCAGG	74	265
337352	Codificación	1	2333	ATAAACTTGGTCTTCAGGTA	80	266
337353	Codificación	1	2351	GTCGTTGGTGTCACACAGAT	81	267
337354	Codificación	1	2356	TGCAGGTCGTTGGTGTCACA	62	268
337355	Codificación	1	2361	ATTGCTGCAGGTCGTTGGTG	61	269
337356	Codificación	1	2366	ATGGTATTGCTGCAGGTCGT	75	270
337357	Codificación	1	2371	GGTCAATGGTATTGCTGCAG	71	271
337358	Codificación	1	2381	GACATCGGCAGGTCAATGGT	77	272
337359	Codificación	154	2423	CAATGAATCTAAAGTGCGGG	57	273
337360	Codificación	154	2428	TGCATCAATGAATCTAAAGT	71	274
337361	Codificación	1	2413	CAAACTGCATCAATGAATCT	61	275
337362	Codificación	1	2418	ATTTCCAAACTGCATCAATG	69	276
337363	Codificación	1	2456	AACTGCCCTCCTGCTGAGGG	63	277
337364	Codificación	1	2469	GGTGAGGGACTCAAACTGCC	70	278
337365	3'UTR	1	2550	CAGTCGTATCTTTCTGCAGC	84	279
337366	3'UTR	1	2658	AGATAGCAGAAGTAGGAGAT	66	280
337367	3'UTR	1	2678	AAAGTGCCCAGATTGCTCAA	82	281
337368	3'UTR	1	2684	TTTTTAAAAGTGCCCAGATT	59	282
337369	3'UTR	1	2713	CAGATCACCCACATTCACTC	88	283
337370	3'UTR	1	2729	TGCATTTAGATAAAAGCAGA	78	284
337371	3'UTR	1	2744	GAACACATCCTTATTTGCAT	76	285
337372	3'UTR	1	2759	ATCATGGGTCTCAGAGAACA	88	286
337373	3'UTR	154	2790	CACATCCCCTGATCATGGGT	70	287
337374	3'UTR	154	2826	AGACATTTCCTTTTTCTCCC	67	288
337375	3'UTR	154	2908	ACCAGGAGGCACTTGTCTAA	89	289
337376	3'UTR	154	2914	GCAGGCACCAGGAGGCACTT	83	290
337377	3'UTR	154	2941	GCTTACAGAAACAGGCAGAA	78	291

	de niveles de A E con una brech		AT3 humana	a por fosforotioato u oligonucleótidos	quiméricos q	ue tienen
Isis#	Region	SEQ ID NO objetivo	Sitio objetivo	Secuencia	% inhibición	SEQ ID NO
337378	3'UTR	154	2959	AGGTGGCCTGTGGCATTTGC	16	292
337379	3'UTR	154	2971	GTATGTAGCTATAGGTGGCC	71	293
337380	3'UTR	154	2983	GCAATGCCAGGAGTATGTAG	83	294
337381	3'UTR	154	2992	TTAAAAAGTGCAATGCCAGG	86	295
337382	3'UTR	154	3032	GGCTTAGATAGTCCTATCTT	84	296
337383	3'UTR	154	3047	TAAAAAGAAACCTAGGGCTT	81	297
337384	3'UTR	154	3108	ATACAGAAAGGCTATGCTGA	89	298
337385	3'UTR	154	3121	TTAAGTTTCTTAAATACAGA	70	299

Como se muestra en la Tabla 13, las SEQ ID Nos 159, 161, 165, 166, 169, 170, 171, 174, 175, 176, 177, 178, 179, 180, 181, 182, 183, 184, 185, 186, 187, 188, 189, 190, 191, 192, 193, 197, 198, 199, 200, 201, 202, 203, 204, 205, 206, 207, 208, 209, 210, 211, 212, 213, 215, 216, 217, 220, 222, 223, 224, 225, 226, 227, 228, 232, 234, 235, 236, 237, 238, 239, 240, 241, 242, 243, 245, 246, 247, 248, 249, 250, 251, 252, 253, 254, 255, 256, 257, 258, 259, 261, 262, 263, 264, 265, 266, 267, 268, 269, 270, 271, 272, 274, 275, 276, 277, 278, 279, 280, 281, 283, 284, 285, 286, 287, 288, 289, 290, 291, 293, 294, 295, 296, 297, 298 y 299 inhiben la expresión de STAT3 humana al menos en 60%.

Ejemplo 13

10

15

20

25

Fosforotioato u oligonucleótidos quiméricos direccionados a STAT3 humana que tienen alas 2'-MOE y una brecha desoxi

De acuerdo con la presente divulgación, se diseño una serie adicional de oligonucleótidos para direccionar diferentes regiones de la STAT3 humana, utilizando secuencias publicadas (número de acceso GenBank® L29277 incorporada aquí como SEQ ID NO: 1, número de acceso GenBank® NM_139276.1, incorporada aquí como SEQ ID NO: 154). Los oligonucleótidos se muestran en la Tabla 14. "Sitio objetivo" indica el primer número de nucleótido (más cercano a 5') sobre la secuencia objetivo particular al cual se enlaza el oligonucleótido. Todos los compuestos de la Tabla 14 son oligonucleótidos quiméricos ("oligómeros con brecha") de 20 nucleótidos de longitud, compuestos de una región central "brecha" consistente de diez 2'-desoxinucleótidos, la cual está flanqueada en ambos lados (direcciones 5' y 3') por "alas" de cinco nucleótidos. Las alas están compuestas de 2'-O-metoxietilo (2'-MOE) nucleótidos. Los enlaces internucleósido (esqueletos) son fosforotioato (P=S) a lo largo del oligonucleótido. Todos los residuos de citidina son 5-metilcitidinas.

Los compuestos fueron probados en cuanto a sus efectos sobre la expresión de STAT3 humana en células A549. Las células fueron tratadas con 50 nM de oligonucleótidos antisentido mezclados con LIPOFECTIN™ 1.5 µL/mg. Las células fueron recolectadas aproximadamente 20 horas después de la transfección y se midió la expresión de ARNm de STAT3 utilizando PCR en tiempo real. Los datos son el promedio de 2 experimentos y se muestran en la Tabla 14 como porcentaje de inhibición con respecto a las células de control no tratadas.

Tabla 14

brecha de	soxi					
Isis#	Region	SEQ ID NO objetivo	Sitio objetivo	Secuencia	% inhibición	SEQ ID NO
345752	Codificación	1	631	GCATCTGCTGCTTCTCCGTC	54	300
345753	Codificación	1	633	CAGCATCTGCTGCTTCTCCG	40	301
345754	Codificación	1	635	TCCAGCATCTGCTGCTTCTC	47	302
345755	Codificación	1	636	CTCCAGCATCTGCTGCTTCT	22	303

Isis#	Region	SEQ ID NO objetivo	Sitio objetivo	Secuencia	% inhibición	SEQ ID NO
345756	Codificación	1	638	TGCTCCAGCATCTGCTGCTT	29	304
345757	Codificación	1	641	TGCTGCTCCAGCATCTGCTG	37	305
345758	Codificación	1	643	GGTGCTGCTCCAGCATCTGC	42	306
345759	Codificación	1	645	AAGGTGCTGCTCCAGCATCT	35	307
345760	Codificación	1	1663	TGGGATTGTTGGTCAGCATG	23	308
345761	Codificación	1	1668	ATTCTTGGGATTGTTGGTCA	42	309
345762	Codificación	1	1670	ACATTCTTGGGATTGTTGGT	42	310
345763	Codificación	1	1671	CACATTCTTGGGATTGTTGG	43	311
345764	Codificación	1	1673	TTCACATTCTTGGGATTGTT	35	312
345765	Codificación	1	1675	AGTTCACATTCTTGGGATTG	27	313
345766	Codificación	1	1677	GAAGTTCACATTCTTGGGAT	0	314
345767	Codificación	1	380	AGATTATGAAACACCAAAGT	18	315
345768	Codificación	1	382	GGAGATTATGAAACACCAAA	7	316
345769	Codificación	1	384	CAGGAGATTATGAAACACCA	38	317
345770	Codificación	1	387	TCCCAGGAGATTATGAAACA	46	318
345771	Codificación	1	388	CTCCCAGGAGATTATGAAAC	19	319
345772	Codificación	1	390	CTCTCCCAGGAGATTATGAA	32	320
345773	Codificación	1	392	ATCTCTCCCAGGAGATTATG	20	321
345774	Codificación	1	1872	CTTGCCAGCCATGTTTTCTT	43	322
345775	Codificación	1	1874	CCCTTGCCAGCCATGTTTTC	26	323
345776	Codificación	1	1876	AGCCCTTGCCAGCCATGTTT	57	324
345777	Codificación	1	1880	GAGAAGCCCTTGCCAGCCAT	60	325
345778	Codificación	1	1882	AGGAGAAGCCCTTGCCAGCC	73	326
345779	Codificación	154	1904	GAAGGAGAAGCCCTTGCCAG	60	327
345780	Codificación	1	1877	AAGCCCTTGCCAGCCATGTT	61	328
345781	Codificación	1	1879	AGAAGCCCTTGCCAGCCATG	74	329
345782	Codificación	154	1905	AGAAGGAGAAGCCCTTGCCA	52	330
345783	Codificación	154	1907	CCAGAAGGAGAAGCCCTTGC	39	331
345784	Codificación	154	1909	ACCCAGAAGGAGAAGCCCTT	48	332
345785	Codificación	1	2247	TGCCTCCTCCTTGGGAATGT	69	333
345786	Codificación	1	2249	AATGCCTCCTCCTTGGGAAT	3	334
345787	Codificación	1	2251	CGAATGCCTCCTCCTTGGGA	54	335

Isis#	Region	SEQ ID NO objetivo	Sitio objetivo	Secuencia	% inhibición	SEQ ID NO
345788	Codificación	154	2274	TTCCGAATGCCTCCTCCTTG	42	336
345789	Codificación	154	2275	TTTCCGAATGCCTCCTCTT	1	337
345790	Codificación	154	2277	ACTTTCCGAATGCCTCCTCC	26	338
345791	Codificación	1	420	TTGCAGGAAGCGGCTATACT	24	339
345792	Codificación	1	422	TCTTGCAGGAAGCGGCTATA	42	340
345793	Codificación	1	424	ACTCTTGCAGGAAGCGGCTA	51	341
345794	Codificación	1	425	GACTCTTGCAGGAAGCGGCT	60	342
345795	Codificación	1	427	TCGACTCTTGCAGGAAGCGG	42	343
345796	Codificación	1	428	TTCGACTCTTGCAGGAAGCG	51	344
345797	Codificación	1	430	CATTCGACTCTTGCAGGAAG	50	345
345798	Codificación	1	2176	TCTTATAGCCCATGATGATT	23	346
345799	Codificación	1	2178	GATCTTATAGCCCATGATGA	36	347
345800	Codificación	1	2180	ATGATCTTATAGCCCATGAT	30	348
345801	Codificación	1	2182	CCATGATCTTATAGCCCATG	57	349
345802	Codificación	1	2186	GCATCCATGATCTTATAGCC	51	350
345803	Codificación	1	2188	TAGCATCCATGATCTTATAG	31	351
345804	Codificación	1	2189	GTAGCATCCATGATCTTATA	11	352
345805	3'UTR	154	3102	AAAGGCTATGCTGATACAGT	62	353
345806	3'UTR	154	3104	AGAAAGGCTATGCTGATACA	46	354
345807	3'UTR	154	3106	ACAGAAAGGCTATGCTGATA	56	355
345808	3'UTR	154	3107	TACAGAAAGGCTATGCTGAT	46	356
345809	3'UTR	154	3109	AATACAGAAAGGCTATGCTG	51	357
345810	3'UTR	154	3110	AAATACAGAAAGGCTATGCT	27	358
345811	3'UTR	154	3112	TTAAATACAGAAAGGCTATG	3	359
345812	3'UTR	154	3114	TCTTAAATACAGAAAGGCTA	41	360
345813	3'UTR	1	2753	GGTCTCAGAGAACACATCCT	56	361
345814	3'UTR	1	2755	TGGGTCTCAGAGAACACATC	31	362
345815	3'UTR	1	2757	CATGGGTCTCAGAGAACACA	68	363
345816	3'UTR	1	2758	TCATGGGTCTCAGAGAACAC	42	364
345817	3'UTR	1	2761	TGATCATGGGTCTCAGAGAA	65	365
345818	3'UTR	1	2763	CCTGATCATGGGTCTCAGAG	22	366
345819	3'UTR	154	2765	CCCCTGATCATGGGTCTCAG	38	367

lsis#	Region	SEQ ID NO objetivo	Sitio objetivo	Secuencia	% inhibición	SEQ ID NO
345820	Codificación	154	1912	CAGACCCAGAAGGAGAAGCC	40	368
345821	Codificación	154	1914	GCCAGACCCAGAAGGAGAAG	52	90
345822	Codificación	154	1916	CAGCCAGACCCAGAAGGAGA	49	369
345823	Codificación	154	1917	CCAGCCAGACCCAGAAGGAG	64	370
345824	Codificación	154	1919	GTCCAGCCAGACCCAGAAGG	54	371
345825	Codificación	154	1920	TGTCCAGCCAGACCCAGAAG	43	372
345826	Codificación	154	1922	ATTGTCCAGCCAGACCCAGA	29	373
345827	Codificación	154	1924	ATATTGTCCAGCCAGACCCA	29	374
345828	Codificación	1	2181	CATGATCTTATAGCCCATGA	40	375
345829	Codificación	1	2183	TCCATGATCTTATAGCCCAT	26	376
345830	Codificación	1	2185	CATCCATGATCTTATAGCCC	37	377
345831	Codificación	1	2187	AGCATCCATGATCTTATAGC	34	378
345832	Codificación	1	2191	TGGTAGCATCCATGATCTTA	30	379
345833	Codificación	1	2192	TTGGTAGCATCCATGATCTT	18	380
345834	Codificación	1	2196	GATATTGGTAGCATCCATGA	21	381
106707	Codificación	1	386	CCCAGGAGATTATGAAACAC	19	18
106712	Codificación	1	639	CTGCTCCAGCATCTGCTGCT	45	23
106734	Codificación	1	1669	CATTCTTGGGATTGTTGGTC	39	45
106748	Codificación	1	2194	TATTGGTAGCATCCATGATC	18	59
106770	3' UTR	1	2760	GATCATGGGTCTCAGAGAAC	34	81
113171	Codificación	1	385	CCAGGAGATTATGAAACACC	47	110
113176	Codificación	1	637	GCTCCAGCATCTGCTGCTTC	52	115
113192	Codificación	1	1665	CTTGGGATTGTTGGTCAGCA	48	131
113196	Codificación	1	1881	GGAGAAGCCCTTGCCAGCCA	68	135
113202	Codificación	1	2252	CCGAATGCCTCCTCCTTGGG	66	141
337265	Codificación	154	446	CGACTCTTGCAGGAAGCGGC	62	92
337325	Codificación	154	1687	TTCTTGGGATTGTTGGTCAG	37	239
337332	Codificación	154	1898	GAAGCCCTTGCCAGCCATGT	60	246
337333	Codificación	154	1903	AAGGAGAAGCCCTTGCCAGC	58	247
337335	Codificación	154	1918	TCCAGCCAGACCCAGAAGGA	59	249
337344	Codificación	154	2204	ATCCATGATCTTATAGCCCA	46	258
337345	Codificación	154	2210	GGTAGCATCCATGATCTTAT	36	259

	Fosforotioato u oligonucleótidos quiméricos direccionados a STAT3 humana que tienen alas 2'- MOE y una brecha desoxi								
Isis#	Region	SEQ ID NO objetivo	Sitio objetivo	Secuencia	% inhibición	SEQ ID NO			
337348	Codificación	154	2273	TCCGAATGCCTCCTCCTTGG	68	262			
337372	3' UTR	154	2779	ATCATGGGTCTCAGAGAACA	47	286			
337384	3' UTR	154	3108	ATACAGAAAGGCTATGCTGA	44	298			

Ejemplo 14

5

10

Fosforotioato u oligonucleótidos quiméricos direccionados a STAT3 de ratón, que tienen alas 2'-MOE y una brecha desoxi

De acuerdo con la presente invención, se diseño una serie adicional de oligonucleótidos para direccionar diferentes regiones del ARN de STAT3 de ratón, utilizando secuencias publicadas (número de acceso GenBanK[®] U06922.1, incorporado aquí como SEQ ID NO: 82, número de acceso GenBank[®] U30709.1, incorporada aquí como SEQ ID NO: 382). Los oligonucleótidos se muestran en la Tabla 15. "Sitio objetivo" indica el primer número de nucleótido (más cerca de 5') sobre la secuencia objetivo particular al cual se enlaza el oligonucleótido. Todos los compuestos en la Tabla 15 son oligonucleótidos quiméricos ("oligómeros con brecha") de 20 nucleótidos de longitud, compuestos de una región "brecha" central consistente de diez 2'-desoxinucleótidos, la cual está flanqueada en ambos lados (direcciones 5' y 3') por "alas" de cinco nucleótidos. Las alas están compuestas de 2'-O-metoxietilo (2'-MOE) nucleótidos. Los enlaces internucleósido (esqueleto) son fosforotioato (P = S) a lo largo del oligonucleótido. Todos los residuos de citidina son 5-metilcitidinas.

Tabla 15

Isis#	Region	SEQ ID NO objetivo	Sitio objetivo	Secuencias	SEQ ID NO
29800	Codificación	82	2213	TGGTATTGCTGCAGGTCGTT	383
29801	Codificación	82	2224	CGGCAGGTCAATGGTATTGC	384
29802	Codificación	82	2230	GGACATCGGCAGGTCAATGG	385
29806	5'UTR	382	11	TTGTACCTCAGCGCGGACGC	386
134027	Codificación	82	2309	ACTCAAACTGCCCTCCTGCT	95
337354	Codificación	82	2204	TGCAGGTCGTTGGTGTCACA	268
345821	Codificación	82	1742	GCCAGACCCAGAAGGAGAAG	90

En una realización adicional, se diseño una serie adicional de oligonucleótidos para direccionar ARN de STAT3 de ratón, utilizando secuencias publicadas (número de acceso GenBanK[®] U06922.1, incorporado aquí como SEQ ID NO: 82). Los compuestos se muestran en la Tabla 16. "Sitio objetivo" indica el primer número de nucleótido (más cerca a 5') sobre la secuencia particular al cual se enlaza el compuesto. Todos los compuestos en la Tabla 16 son oligonucleótidos quiméricos compuestos de una región "brecha" consistente de doce 2'-desoxinucleótidos, la cual está flanqueada en ambos lados (direcciones 5' y 3') por "alas" consistentes de 2'-O-metoxietilo (2'-MOE) nucleótidos. Él número de 2'-MOE nucleótidos en las brechas varía desde una longitud de 2 a 5 nucleótidos, con los 2'-desoxinucleótidos en tipografía plana y los 2'-MOE nucleótidos en tipografía resaltada. La estructura exacta de cada oligonucleótido está designada en la Tabla 16 como la estructura "alas". Una designación 5~10~5, por ejemplo, indica que los primeros y los últimos 5 nucleótidos son nucleótidos 2'-MOE y los 10 nucleótidos centrales son 2'-desoxinucleótidos. Los enlaces internucleósido (esqueletos) son fosforotioato (P = S) a lo largo del oligonucleótido. Los residuos citidina no modificados están subcalificados; todos los otros residuos citidina son 5-metilicitidinas.

Tabla 16

Fosforotioa desoxi										
ISIS#	Region	SEQ ID NO Objetivo	Sitio objetivo	Secuencia	Estructura de ala	SEQ ID NO				
133003	3' UTR	82	2527	AAAAAGTGCCCAGATTGCCC	5~12~5	99				
346030	3' UTR	82	2527	AAAAGTG <u>CCC</u> AGATTQCCC	4~10~5	387				
346031	3' UTR	82	2528	AAAAGTG <u>CCC</u> AGATTGCC	4~10~4	388				
346032	3' UTR	82	2528	AAAGTG <u>CCC</u> AGATTGCC	3~10~4	389				

En una realización adicional de la presente divulgación, se diseño una serie adicional de oligonucleótidos para direccionar diferentes regiones del ARN de STAT3 de ratón, utilizando secuencias publicadas (número de acceso GenBanK[®] U06922.1, incorporada aquí como SEQ ID NO: 82. Los oligonucleótidos se muestran en la Tabla 17. "Sitio objetivo" indica el primer número de nucleótido (más cerca a 5') en la secuencia particular al cual se enlaza el oligonucleótido. Todos los compuestos en la Tabla 17 están compuestos uniformemente de 2'-O-metoxietilo (2'-MOE) nucleótidos. Los enlaces internucleósido (esqueletos) son fosforotioato (P = S) a lo largo del oligonucleótido y todos los residuos de citidina son 5-metilcitidinas.

Tabla 17

Oligonucleótidos 2'- MOE uniformes fosforotioados dirigidos a STAT3 de ratón								
Isis#	Región	SEQ ID NO objetivo	Sitio objetivo	Secuencia	SEQ ID NO			
29803	Codificación	82	2253	ATCAATGAATCTAAAGTGCG	93			
29805	Codificación	82	2206	GCTGCAGGTCGTTGGTGTCA	390			

10 **Ejemplo 15**

15

20

25

30

35

5

Inhibición antisentido de STAT3 humana por oligonucleótidos quiméricos que tienen alas 2'-MOE y una brecha desoxi: respuesta a dosis

De acuerdo con la presente invención, un subconjunto de los oligonucleótidos antisentido direccionados a STAT3 humana fue investigado adicionalmente en estudios de respuesta a la dosis. Los compuestos fueron analizados en cuanto a su efecto sobre los niveles de ARNm de STAT3 humana en células T-24.

La línea celular T-24 de carcinoma de células de vejiga fue obtenida de la American Type Culture Collection (ATCC, Manassas, VA). Las células T-24 fueron cultivadas de manera rutinaria en medio basal de McCoy 5A completo suplementado con suero bovino fetal al 10%, 100 unidades por mL de penicilina y 100 microgramos por mL de estreptomicina (medios y suplementos de Invitrogen Life Technologies, Carlsbad, CA). Las células fueron pasadas rutinariamente por tripsinización y dilución cuando alcanzaron 90% de confluencia. Las células fueron sembradas en placas de 96 pozos ((Falcon-Primaria #3872, BD Biosciences, Bedford, MA) a una densidad de 7000 células/pozo para uso en experimentos de transfección por oligonucleótidos antisentido.

Los oligonucleótidos de control usados fueron ISIS 129695 (TTCTACCTCGCGCGATTTAC, SEQ ID NO: 391), ISIS 129694 (GTACAGTTATGCGCGGTAGA SEQ ID NO: 392), ISIS 129690 (TTAGAATACGTCGCGTTATG SEQ ID NO: 393), ISIS 129686 (CGTTATTAACCTCCGTTGAA SEQ ID NO: 394), ISIS 116847 (CTGCTAGCCTCTGGATTTGA, SEQ ID NO: 395) e ISIS 113529 (CTCTTACTGTGCTGTGGACA SEQ ID NO: 396). Estos oligonucleótidos no direccionaron a STAT3 y fueron utilizados como controles negativos.

Las células T-24 fueron tratadas con 18.75, 37.5, 75 o 150 nM de oligonucleótido mezclado con 3 ug/mL de LIPOFECTIN™ por 1.00 nM de oligonucleótido como está descrito en otros ejemplos aquí. Las células no tratadas sirvieron como control. Después de 16 horas de tratamiento, se preparó el ARN de las células para análisis subsecuente por PCR en tiempo real.

Los niveles de expresión de ARNm de STAT3 fueron cuantificados por PCR en tiempo real utilizando el conjunto de sonda de cebador PPS199 y las cantidades objetivo en el gen fueron analizadas utilizando RiboGreen como se describió en otros ejemplos aquí. Los datos son promedio de 2 experimentos y se muestran en la Tabla 18. Una designación "-" o "+" indica un descenso o incremento de la expresión de ARNm de STAT3, respectivamente, con respecto a las células de control no tratadas.

Tabla 18

Darragia d	e cambio de expresió	desoxi: respuesta						
Porcentaje di	e cambio de expresid							
1-1- #	OFO ID NO	Concentración de oligonucleótido						
lsis#	SEQ ID NO	18.75 nM	37.5 nM	75 nM	150 nM			
106747	58	-37	-48	-71	-84			
337247	161	-23	-43	-62	-75			
337270	184	-29	-41	-67	-87			
337276	190	-40	-61	-76	-81			
337284	198	-49	-64	-69	-72			
337293	207	-26	-49	-66	-79			
337303	217	-44	-61	-69	-72			
337332	246	-63	-79	-87	-92			
337333	247	-48	-73	-82	-88			
337344	258	-27	-47	-63	-77			
337348	262	-61	-77	-82	-86			
337384	298	-40	-55	-71	-80			
129695	391	+5	+2	+8	0			
129694	392	+4	-3	-4	-10			
129690	393	+2	+7	+6	+8			
129686	394	+2	+1	-5	+1			
116847	395	+7	+4	+8	+5			
113529	396	+1	-1	-11	-26			

Como se muestra en la Tabla 18, los compuestos probados inhiben la expresión de ARNm de STAT3 humana en una forma dependiente de la dosis.

- La respuesta a la dosis fue repetida en células T-24 y se midieron cantidades de objetivo en el gen utilizando un 5 conjunto de cebador-sonda diferente, llamado aquí PPS2033. El PPS2033 comprende sondas y cebadores para STAT3 humana que fueron diseñados para hibridar a una secuencia STAT3 humana, utilizando información de secuencia publicada (incorporada aquí como SEQ ID NO:154). Para PPS2033 los cebadores de PCR fueron: GAGGCCCGCCCAACA (SEQ cebador de avance: ID NO: 397) cebador reverso: TTCTGCTAATGACGTTATCCAGTTTT (SEQ ID NO: 398) y la sonda para PCR fue: FAM-CTGCCTAGATCGGC-10 MGB (SEQ ID NO: 399) donde FAM es el colorante informador fluorescente y MGB es el colorante de detención. Las cantidades de objetivo de gen obtenidas por el PCR en tiempo real son normalizadas cuantificando el ARN total utilizando RiboGreen™ (Molecular Probes, Inc. Eugene, OR). Los oligonucleótidos de control usados fueron ISIS 129695 (SEQ ID NO: 391), ISIS 129694 (SEQ ID NO: 392), ISIS 129690 (SEQ ID NO: 393), ISIS 129686 (SEQ ID NO: 394), ISIS 116847 (SEQ ID NO: 395) e ISIS 113529 (SEQ ID NO: 396).
- Las células T-24 fueron tratadas con 18.75, 37.5, 75, o 150 nM de oligonucleótido mezclado con 3 ug/mL de LIPOFECTIN™ por 100 nM de oligonucleótido como fue descrito en otros ejemplos aquí. Las células no tratadas sirvieron como controles. Después de 16 horas de tratamiento, se preparó ARN a partir de células para análisis subsecuente por PCR en tiempo real.
- Los niveles de expresión de ARNm de STAT3 humana fueron cuantificados por PCR en tiempo real utilizando el conjunto de cebador sonda PPS2033 y las cantidades objetivo de gen fueron analizadas utilizando RiboGreen[®] como se describe en otros ejemplos aquí. Los datos son promedios de 2 experimentos mostrados en la Tabla 19.

Una designación "-" o "+" indica un descenso o incremento de la expresión de ARNm de STAT3, respectivamente, con respecto a células de control no tratadas.

Tabla 19

	MOE y una brecha d			oato u oligoriucie	ótidos quiméricos qu			
Porcentaje de	e cambio de la expre							
		Concentración de oligonucleótido						
lsis#	SEQ ID NO	18.75 nM	37.5 nM	75 nM	150 nM			
106747	58	-32	-48	-62	-76			
337247	161	+17	-21	-53	-69			
337270	184	-16	-27	-67	-87			
337276	190	-34	-58	-75	-81			
337284	198	-49	-62	-66	-68			
337293	207	-26	-49	-67	-79			
337303	217	-47	-59	-69	-71			
337332	246	-66	-79	-85	-91			
337333	247	-46	-70	-82	-90			
337344	258	-17	-37	-60	-76			
337348	262	-53	-76	-83	-86			
337384	298	-41	-59	-69	-80			
129695	391	-4	+2	+8	+3			
129694	392	+19	-1	+7	+2			
129690	393	+4	+10	+8	+11			
129686	394	+20	+16	+25	+9			
116847	395	+45	+33	+22	-2			
113529	396	+1	+12	-11	-24			

Como se muestra en la Tabla 19, la medición de las cantidades de gen objetivo utilizando PPS2033 demuestra que los compuestos probados inhiben la expresión de ARNm de STAT3 humana de una forma dependiente de la dosis.

10

15

Se llevo a cabo un experimento adicional de respuesta a la dosis en células A549. Las células A549 fueron tratadas con 18.75, 37.5, 75, o 150 nM de oligonucleótido mezclado con 3 ug/mL de LIPOFECTIN™ por 100 nM de oligonucleótido como se describe en otros ejemplos aquí. Los oligonucleótidos de control fueron ISIS 129686 (SEQ ID NO: 394) e ISIS 129690 (SEQ ID NO: 393). Las células no tratadas sirvieron como control. Después de 16 horas de tratamiento, se preparó el ARN de células para el subsecuente análisis por PCR en tiempo real.

Los niveles de expresión de ARNm de STAT3 humana fueron cuantificados por PCR en tiempo real utilizando el conjunto cebador sonda PPS199 y las cantidades de objetivo en gen fueron normalizadas utilizando RiboGreen[®] como se describe en otros ejemplos aquí. Los datos son promedios de 2 experimentos mostrados en la Tabla 20. Una designación "-" o "+" en el resultado de respuesta a la dosis indica un descenso o incremento de la expresión de ARNm de STAT3, respectivamente, con respecto a las células de control no tratadas.

Tabla 20

Porcentaje d	e cambio de expresió	<u>n de STAT3 en ce</u>	élulas A549 usand	o PPS199		
	Concentración de oligonucleótido					
lsis#	SEQ ID NO	18.75 nM	37.5 nM	75 nM	150 nM	
106734	45	-2	-16	-56	-73	
337332	246	-31	-61	-77	-87	
337333	247	-8	-39	-59	-75	
337348	262	-26	-43	-55	-77	
129686	394	+27	+23	+22	+19	
129690	393	+30	+27	+16	+27	

Como se muestra en la Tabla 20, los compuestos probados inhiben la expresión de ARNm de STAT3 humana en células A549 de una manera dependiente de la dosis.

Ejemplo 16

5 Síntesis de ARN

10

20

35

40

En general, la química de síntesis de ARN está basada en la incorporación selectiva de diversos grupos protectores en reacciones intermediarias estratégicas. Aquella persona de experiencia normal en la técnica entenderá el uso de los grupos protectores en la síntesis orgánica, una clase útil de grupos protectores incluye éteres de sililo. En particular se utilizan éteres de sililo voluminosos para proteger el 5'-hidroxilo en combinación con un grupo protector ortoéster lábil a los ácidos en el 2'-hidroxilo. Este conjunto de grupos protectores se usa entonces con tecnología de síntesis estándar en fase sólida. Es importante finalmente retirar el grupo protector otoéster lábil a ácidos después de todas las otras etapas sintéticas. Además, el uso temprano de grupos protectores sililo durante la síntesis asegura una fácil remoción cuando se desea, sin una desprotección indeseada del 2'-hidroxilo.

Siguiendo este procedimiento para la protección secuencial del 5'-hidroxilo en combinación con la protección del 2'hidroxilo por grupos protectores que son retirados diferencialmente y son lábiles químicamente de manera diferenciada, se sintetizaron los oligonucleótidos de ARN.

Los oligonucleótidos de ARN se sintetizan en una forma paso a paso. Cada nucleótido es agregado secuencialmente (en la dirección 3' a 5') a un oligonucleótido enlazado a un soporte sólido. El primer nucleósido en el extremo 3' de la cadena se une covalentemente a un soporte sólido. El precursor nucleótido, una ribonucleósido fosforamidita y el activador son agregados, acoplando la segunda base en el extremo 5' del primer nucleósido. El soporte es lavado y se cubre cualquier grupo 5'-hidroxilo que no ha reaccionado con anhídrido acético para producir unidades estructurales 5'- acetilo. El enlace es oxidado entonces al enlace P (V) más estable y finalmente deseado. En el extremo del ciclo de adición de nucleótidos, el grupo 5'-sililo es escindido con fluoruro. El ciclo se repite para cada nucleótido subsecuente.

Después de la síntesis, los grupos protectores metilo en los fosfatos son escindidos en 30 minutos utilizando disodio2-carbamoil-2-cianoetilen-1,1-ditiolato trihidrato (S₂Na₂) 1 M en DMF. La solución de desprotección se lava del oligonucleótido enlazado al soporte sólido usando agua. El soporte es tratado entonces con metilamina al 40% en agua durante 10 minutos a 55°C. Esto libera los oligonucleótidos de ARN a la solución, desprotege las aminas exocíclicas, y modifica los grupos 2'. Los oligonucleótidos pueden ser analizados por HPLC por intercambio aniónico.

Los grupos 2'-ortoéster son los últimos grupos protectores en ser removidos. El grupo protector ortoéster monoacetato de etilen glicol desarrollado por Dharmacon Research, Inc. (Lafayette, CO), es un ejemplo de un grupo protector ortoéster útil el cual tiene las siguientes propiedades importantes. En estable a las condiciones de la síntesis de oligonucleósido fosforamidita y a la síntesis de oligonucleótidos. Sin embargo, después de la síntesis de oligonucleótidos el oligonucleótido es tratado con metilo amina la cual no solamente escinde el oligonucleótido del soporte sólido sino que también retira los grupos acetilo de los ortoésteres. Los sustituyentes resultantes 2-etil-hidroxilo sobre el ortoéster son menos ávidos de electrones que el precursor acetilado. Como resultado, el ortoéster modificado se hace más lábil a hidrólisis catalizada por ácido. Específicamente, la rata de escisión es aproximadamente 10 veces más rápida después de que los grupos acetilo son retirados. Por lo tanto, este ortoéster posee estabilidad suficiente con el fin de ser compatible con la síntesis de oligonucleótidos y aún más, cuando es

modificado subsecuentemente, permite llevar a cabo la desprotección bajo condiciones acuosas relativamente moderadas compatibles con el producto oligonucleótido de ARN final.

Adicionalmente, son bien conocidos en el arte métodos para síntesis de ARN (Scaringe, S. A. Ph.D. Thesis, University of Colorado, 1996; Scaringe, S. A., et al., J. Am. Chem. Soc., 1998, 120, 11820-11821; Matteucci, M. D. y Caruthers, M. H. J. Am. Chem. Soc., 1981, 103, 3185-3191; Beaucage, S. L. y Caruthers, M. H. Tetrahedron Lett., 1981, 22, 1859-1862; Dahl, B. J., et al., Acta Chem. Scand, 1990, 44, 639-641; Reddy, M. P., et al., Tetrahedrom Lett., 1994, 25, 4311-4314; Wincott, F. et al., Nucleic Acids Res., 1995, 23, 2677-2684; Griffin, B. E., et al., Tetrahedron, 1967, 23, 2301-2313; Griffin, B. E., et al., Tetrahedron, 1967, 23, 2315-2331).

Los compuestos antisentido de ARN (oligonucleótidos de ARN) de la presente invención pueden ser sintetizados por los métodos descritos aquí adquiridos en Dharmacon Research, Inc (Lafayette, Co). Una vez sintetizados, los compuestos antisentido de ARN complementarios pueden ser entonces fusionados por métodos conocidos en la técnica para formar compuestos antisentido de cadena doble (dúplex). Por ejemplo, pueden formase dúplex combinando 30 µl de cada una de las cadena complementarias de oligonucleótidos de ARN (solución de oligonucleótidos de ARN 50 uM) y 15 µl de regulador de fusión 5X (acetato de potasio 100 mM, HEPES-KOH 30 mM pH 7.4, acetato de magnesio 2 mM) seguida por calentamiento durante 1 minuto a 40°C, y luego 1 hora a 37°C. Los compuestos antisentido dúplex resultantes pueden ser utilizado en kits, ensayos, selecciones, u otros métodos para investigar el papel de un ácido nucleico objetivo, o para propósitos de diagnóstico o terapéuticos.

Ejemplo 17

5

Diseño y selección de compuestos antisentido dúplex direccionados a STAT3

De acuerdo con la presente divulgación, una serie de dúplex de ácido nucleico que comprenden los compuestos antisentido de la presente invención y sus complementos pueden ser diseñados para apuntar a STAT3. La secuencia de nucleobases de la cadena antisentido del dúplex comprende al menos una porción de un oligonucleótido direccionado a STAT3 como se divulga aquí. Los extremos de las cadenas pueden ser modificados mediante la adición de una o más nucleobases naturales o modificadas para formar un sobrante. La cadena en sentido del ARNds es diseñada entonces y sintetizada como el complemento de la cadena antisentido y también puede contener modificaciones o adiciones en cada terminal. Por ejemplo, en una realización, ambas cadenas del dúplex ARNds serian complementarias sobre las nucleobases centrales, teniendo cada una sobrantes en uno o en ambos terminales. Las cadenas antisentido y en sentido del dúplex comprenden desde aproximadamente 17 a 25 nucleótidos, o desde aproximadamente 19 a 23 nucleótidos. Alternativamente, las cadenas antisentido y en sentido comprenden 20, 21 o 22 nucleótidos.

Por ejemplo, un dúplex que comprende una cadena antisentido que tiene la secuencia CGAGAGGCGGACCG y que tiene un sobrante de dos nucleobases de desoxitimidina (dT) tendría la siguiente estructura:



Complemento de

Cadena Antisentido

Los sobrantes pueden variar de 2 a 6 nucleobases y estas nucleobases pueden o pueden no ser complementarias al ácido nucleico obietivo. En otra realización, los dúplex pueden tener un sobrante solamente en un terminal.

En otra realización, un dúplex que comprende una cadena antisentido que tiene la misma secuencia CGAGAGGCGGACCG puede ser preparada con extremos cerrados (sin sobrantes de cadena sencilla) como se muestra:

Complemento de

Cadena Antisentido

El dúplex de ARN puede ser unimolecular o bimolecular, esto es, las dos cadenas pueden ser parte de una molécula individual o pueden ser moléculas separadas.

Las cadenas de ARN del dúplex pueden ser sintetizadas por métodos divulgados aquí o adquiridas en Dharmacon Research, Inc. (Lafayette, CO). Una vez sintetizadas, las cadenas complementarias son fusionadas. Se toma una alícuota de las cadenas sencillas y se diluye a una concentración de 50 uM. Una vez diluidas, se combinan 30 uL de cada cadena con 15 uL de una solución 5X de regulador de fusión. La concentración final de dicho regulador es

71

40

45

acetato de potasio 100 mM, HEPES-KOH 30 mM pH 7.4 y acetato de magnesio 2 mM. El volumen final es 75 uL. La solución es incubada durante 1 minuto a 90°C y luego se centrifuga durante 15 segundos. El tubo se deja en reposo durante 1 hora a 37°C tiempo después del cual los dúplex de ARNds se utilizan en experimentación. La concentración final del dúplex de ARNds es 20 uM. Esta solución puede ser almacenada congelada (-20°C) y congelada-descongelada hasta 5 veces.

Una vez preparados, los compuestos antisentido dúplex son evaluados en cuanto a su capacidad para modular STAT3.

Cuando las células alcanzan el 80% de confluencia, se tratan con los compuestos antisentido dúplex de la divulgación. Para células cultivadas en placas de 96 pozos, los pozos son lavados una vez con 200 L de OPTI-MEM-1™ medio de suero reducido (Gibco BRL) y luego tratados con 130 L de OPTI-MEM-1™ que contienen 12 g/mL de LIPOFECTIN™ (Gibco BRL) y el compuesto antisentido dúplex deseado a una concentración final de 200 nM (una relación de 6 g/mL de LIPOFECTIN™ por 100 nM de compuesto antisentido dúplex). Después de 5 horas de tratamiento, el medio es reemplazado con medio fresco. Las células son recolectadas 16 horas después del tratamiento, momento en el cual el ARN es aislado y la reducción del objetivo se mide por RT-PCR.

Una serie de dúplex de ácidos nucleicos que comprenden los compuestos antisentido de la presente divulgación y sus complementos fue diseñada para direccionar al ARNm de STAT3, utilizando la secuencia publicada (número de acceso GenBank[®] L29277, incorporada aquí como SEQ ID NO: 1). La secuencia de nucleobases de la cadena antisentido del dúplex es 20 nucleótidos de longitud. Las secuencias de la cadena antisentido están listadas en la Tabla 21. La cadena en sentido de la ARNds está diseñada y sintetizada como el complemento de la cadena antisentido.

Todos los compuestos de la Tabla 21 son oligodesoxinucleótidos, de 21 nucleótidos de longitud siendo los dos nucleótidos en el extremo 3' el sobrante TT y con enlaces fosfodiéster internucleósido (esqueletos) a todo lo largo. Estas secuencias muestran contener timina (T) pero una persona experimentada en la técnica apreciará que la timina (T) es reemplazada en general por uracilo (U) en secuencias de ARN.

25 Tabla 21

sARNds direccionado a STAT3 humana									
ISIS#	Región	Sitio objetivo	SEQ objetivo	ID	Secuencia	SEQ ID NO			
330249	Codificación	1669	1		ATTCTTGGGATTGTTGGTCTT	400			
330247	Codificación	637	1		CTCCAGCATCTGCTGCTTCTT	401			

Los compuestos en la Tabla 21 fueron probados en cuanto a sus efectos sobre la expresión de STAT3 humana en células A549. El ISIS 330249 que comprendía ARNds y sus objetivos complementan el mismo sitio como oligonucleótido antisentido ISIS 106734 (SEQ ID NO: 45) y el ARNds que comprende ISIS 330247 y su complemento apuntan al mismo sitio que el oligonucleótido antisentido ISIS 113176 (SEQ ID NO: 115); así, ISIS 106734 e ISIS 113176 también fueron probados. Células A549 fueron tratadas con oligonucleótidos mezclados con LIPOFECTINTM (Invitrogen Life Technologies, Carlsbad, CA) como se describe aquí. Las concentraciones de oligonucleótidos usadas están indicadas en la Tabla 22. El oligonucleótido de control usado fue ISIS 129698 (TTT GATCGAGGTTAGCCGTG, SEQ ID NO: 402). Las células fueron tratadas con oligonucleótido durante 4 horas y recolectadas unas 16 horas adicionales después. Las células no tratadas sirvieron como control.

Los niveles de expresión de ARNm de STAT3 humana fueron cuantificados por PCR en tiempo real utilizando el conjunto de sonda cebador PPS199 y las cantidades de objetivo en el gen fueron normalizadas utilizando RibogreenTM como se describió en otros ejemplos aquí. Los datos son promedios de 2 experimentos que se muestran en la Tabla 22. Una designación "-" o "+" indica un descenso o incremento de la expresión de ARNm en STAT3, respectivamente, con respecto a células de control no tratadas. Cuando está presente, "N.D." indica no determinado.

Tabla 22

30

5

10

Inhibición	de niveles de AR	Nm de STAT	3 por sARNo	ds			
Cambio er	porcentaje de la	expresión d	e ARNm ST	AT3 en células	s A549 por com	puestos antis	entido dúplex
Concentra	ción de oligonucl	eótidos					
lsis#	SEQ ID NO	12.5 nM	25 nM	50 nM	100 nM	200 nM	400 nM
330249	400	-64	-70	-80	-83	-87	-81
106734	45	-5	-5	-40	-56	-67	-77

330247	401	+11	-19	-15	-16	-20	-48
113176	115	+8	+17	+6	0	-22	-34
129698	402	N.D	N.D.	+41	+42	+1	+22

Ejemplo 18

5

10

15

20

40

Inhibidor de crecimiento tumoral en modelos de ratón LNCaP de carcinoma de próstata

El modelo murínico LNCaP de carcinoma de próstata humano es descrito en Kiyama et al., Cancer Res. 63:3575-3584, 2003. En resumen, se cultivaron células de carcinoma prostático humano LNCaP y se mantuvieron en medio RPMI (Invitrogen Life Technologies, Carlsbad, CA) suplementadas con suero bovino fetal al 5% activado por calor. Aproximadamente 1 X 10⁶ células de LNCaP fueron inoculadas subcutáneamente con 0.1 ml de Matrigel (Becton Dickinson Labware, Franklin Lakes, NJ) en la región de flanco de ratones lampiños atímicos machos de 6 - 8 semanas de edad (Harlan Sprague Dawley, Inc., Indianapolis, IN) a través de una aguja calibre 27 bajo anestesia con metoxifluorano. Los ratones portadores de tumor entre 300 y 500 mm³ en volumen fueron castrados a través de metodología escrotal y asignados aleatoriamente a tratamiento con 10 mg/kg de antisentido humana ISIS 113176 (SEQ ID NO: 115) u oligonucleótido de STAT3 de control no coincidente humano ISIS 129987 (SEQ ID NO: 404) por vía intraperitoneal cinco veces por semana para la primera semana seguida por tres veces por semana posteriormente. El tratamiento comenzó un día después de la castración. Los volúmenes tumorales y las mediciones de antígeno específico para próstata (PSA) en suero fueron llevados a cabo una vez a la semana. Los volúmenes tumorales fueron calculados por la fórmula L X W X H X 0.5236 (Gleave et al., Cancer Res. 51:1598-1605, 1992). Las muestras de sangre fueron obtenidas de incisiones de la vena de la cola de los ratones, y los niveles de PSA en suero fueron determinados mediante un kit de inmunoensayo enzimático con un límite inferior de sensibilidad de 0.2 mg/litro (Abbott IMX, Montreal, Quebec, Canadá) de acuerdo con el protocolo del fabricante.

La ISIS 113176 suprimió la inducción de niveles de PSA en suero y crecimiento tumoral en el modelo de xenoinjerto LNCaP en ratones lampiños castrados. El tratamiento similar de los ratones con el oligonucleótido de control no coincidente ISIS 129987 no tuvo efecto. Los efectos mediados por el oligonucleótido antisentido STAT3 sobre PCA y el volumen tumoral fueron significativamente diferentes del oligonucleótido no coincidente ISIS 129987 o con controles tratados con solución salina (prueba t de Student, p≤0.50). Los efectos del tratamiento fueron demostrados al final del periodo observación. (10 semanas después de la castración).

Para direccionar la toxicidad específica del objetivo potencial de esta metodología, se trataron ratones normales por vía subcutánea con un oligonucleótido antisentido de STAT3 murínico optimizado (hasta 50 mg/kg tres veces a la semana durante 2 semanas) y se evaluaron los efectos farmacodinámicos y toxicológicos en la sangre, hígado y médula ósea. El tratamiento con oligonucleótido antisentido de STAT3 dio como resultado una reducción del 85% en ARNm en hígado y una inhibición significativa de la proteína de STAT3 en la subpoblación premonocítica de la médula ósea. No se observaron cambios manifiestos en los recuentos en sangre entera, histología de hígado o subpoblaciones en médula ósea en animales tratados con oligonucleótido antisentido de STAT3. La expresión en hígado y médula ósea de STAT3 fue reducida significativamente por tratamiento con el oligonucleótido antisentido de STAT3. Así, los oligonucleótidos antisentido para STAT3 representan una oportunidad terapéutica para el tratamiento de cáncer de próstata.

35 **Ejemplo 19**

Inhibición antisentido de STAT3 humana en hepatocitos humanos primarios: respuesta a la dosis

En una realización adicional, los oligonucleótidos antisentido direccionados a STAT3 humana fueron seleccionados para estudios de respuesta a la dosis en hepatocitos humanos primarios. Los hepatocitos humanos primarios fueron adquiridos de InVitro Technologies (Baltimore, MD). Las células fueron sembradas en placas de 24 pozos (Falcon-Primaria, BD Biosciences, Bedford, MA) a una densidad de 50,000 células/pozo en un medio de DMEM con alta glucosa suplementado con suero de bovino fetal al 10%, 100 unidades/mL de penicilina y 100 μg/mL de estreptomicina (medio y suplementos de Invitrogen Life Technologies, Carlsbad, CA). Las células se dejaron adherir durante la noche, y fueron tratadas con oligonucleótidos antisentido al día siguiente.

Los oligonucleótidos antisentido probados en este ensayo fueron ISIS 113196, ISIS 337332, ISIS 337333, ISIS 345778, ISIS 345781, ISIS 345794, ISIS 345815 e ISIS 345823. Las células fueron tratadas con 5, 10, 25, 50 y 150 nM de oligonucleótidos antisentido mezclados con LIPOFECTIN™, a una concentración de 3 μg /mL de LIPOFECTIN™ por 100 nM de oligonucleótido. Las células no tratadas sirvieron como control contra el cual fueron normalizados los datos. Después de 4 horas, el medio de cultivo fue reemplazado y las células fueron cultivadas durante 20 horas adicionales. El ARN fue aislado y se midieron los niveles de ARNm de STAT3 por PCR en tiempo real, utilizando PPS199, como se describió aquí. Los datos fueron obtenidos en triplicado y promediados. Los resultados se muestran en la Tabla 23 como porcentaje de expresión de ARNm con respecto al control no tratado.

Para cada oligonucleótido antisentido probado, se muestran en la Tabla 24 la IC50, la concentración de oligonucleótido antisentido a la cual se inhibe la expresión de ARNm de STAT3 en un 50%.

Tabla 23

		% de cor	% de control						
Tratamiento SEQ ID NO		Dosis (nl	Dosis (nM)						
	5	10	25	50	150	IC50 (nM)			
113196	135	88	80	73	33	28	36		
337332	246	84	74	74	55	31	53		
337333	247	72	81	90	49	31	51		
345778	326	81	79	58	80	31	84		
345781	329	72	89	61	77	35	82		
345794	342	51	29	13	7	2	4		
345815	363	67	80	86	50	29	49		
345823	370	120	129	65	40	16	37		

Tabla 24

Tratamiento	SEQ ID NO	IC ₅₀ (nM)	
113196	135	36	
337332	246	53	
337333	247	51	
345778	326	84	
345781	329	82	
345794	342	4	
345815	363	49	
345823	370	37	

Como se muestra en la Tabla 23, las ISIS 113196, ISIS 337332, ISIS 345794, e ISIS 345823 redujeron los niveles de ARNm de STAT3 humano en hepatocitos humanos primarios de una forma dependiente de la dosis. Como se muestra en la Tabla 24, ISIS 345794 exhibe la IC50 más baja.

10

Se muestran en la Tabla 25 niveles de expresión de STAT1 en las células descritas anteriormente. Los niveles de expresión de STAT1 fueron medidos por PCR en tiempo real utilizando cebadores y sondas diseñados por métodos de rutina en la técnica y descritos aquí (por ejemplo, Primer Express®, Applied Biosystems, Foster City, CA).

Tabla 25

Expresión de	ARNm	de :	STAT1 humai	na en hepato	citos humano	s primarios t	tratados con			
oligonucleótic	los antise	ntido	que apuntan	a STAT3						
			% de control	% de control						
Tratamiento	Tratamiento SEQ ID			Dosis de oligonucleótido antisentido de STAT3 (nM)						
Tratamento	NO		5	10	25	50	150			
113196	135		113	103	12 5	10 8	251			

337332	246	102	102	14 2	13 6	349
337333	247	80	121	87	10 5	264
345778	326	92	190	18 7	16 8	582
345781	329	149	122	13 4	16 9	406
345794	342	232	138	19 0	21 2	438
345815	363	158	117	18 7	18 7	272
345823	370	119	110	85	18 7	305

Como se muestra en la Tabla 25, los nucleótidos antisentido direccionados a STAT3 no causaron una inhibición sustancial o dependiente de la dosis de la expresión de STAT1. Un análisis con herramientas de búsqueda de alineamiento local básico (BLAST), una técnica de análisis genético conocida en el arte, de ISIS 345794 revelo que no había homologías con moléculas de ácido nucleicos diferentes a STAT3.

5 Ejemplo 20

Inhibición antisentido de STAT3 humana en células HepG2: respuesta a la dosis

En una realización adicional, se seleccionaron oligonucleótidos antisentido direccionados a STAT3 humana para estudios de respuesta a la dosis en células HepG2.

La línea celular de hepatoblastoma humano HepG2 fue obtenida de la American Type Culture Collection (Manassas, VA). Las células HepG2 fueron cultivadas de manera rutinaria en Eagle MEM ajustado para contener 1.5 g/L de bicarbonato de sodio y suplementado con suero bovino fetal al 10%, aminoácidos no esenciales 0.1 mM, y piruvato de sodio 1 mM (Invitrogen Life Technologies, Carlsbad, CA). Las células fueron pasadas de manera rutinaria por tripsinización y dilución cuando alcanzaron aproximadamente 90% de confluencia. Las placas de cultivo multipozos fueron preparadas para cultivo celular recubriéndolas con una dilución 1:100 de colágeno de cola de rata tipo 1 (BD Biosciences, Bedford, MA) en solución salina regulada con fosfato. Las placas que contenían colágeno fueron incubadas a 37°C durante aproximadamente 1 hora, después de la cual el colágeno fue retirado y los pozos fueron lavados dos veces con solución salina regulada con fosfato. Las células fueron sembradas en placas de 96 pozos (Falcon-Primaria #3872, BD Biosciences, Bedford, MA) a una densidad de aproximadamente 8,000 células/pozo para uso en experimentos de transfección de compuestos oligoméricos.

Los oligonucleótidos antisentido probados en este ensayo fueron ISIS 113196, ISIS 337332, ISIS 337333, ISIS 345778, ISIS 345781, ISIS 345794, ISIS 345815 e ISIS 345823. Las células fueron tratadas con 5, 10, 25, 50 y 150 nM de oligonucleótido antisentido mezclados con LIPOFECTIN™, a una concentración de 3 µg/mL de LIPOFECTIN™ por 100 nM de oligonucleótido. Células no tratadas sirvieron como control contra el cual se normalizaron los datos. Después de 4 horas, el medio de cultivo fue reemplazado y las células fueron cultivadas durante 20 horas adicionales. El ARN fue aislado y los niveles de ARNm de STAT3 fueron medidos por PCR en tiempo real utilizando el conjunto de cebador sonda PPS199, descrita aquí. Los datos fueron obtenidos en triplicado y promediados. Los resultados se muestran en la Tabla 26 como porcentaje de la expresión de ARNm con respecto al control no tratado. Se muestra también la IC₅₀, la concentración del compuesto antisentido a la cual se inhibe en 50% la expresión de ARNm de STAT3.

30 Tabla 26

Inhibición de	expresió	n de	ARNm d	e STAT3 hu	mana en cél	ulas HepG2					
				% control Dosis (nM)							
Tratamiento	SEQ NO	ID	Dosis (r								
	NO		1	10	25	50	100	200	(nM)		
113196	135		75	40	26	12	11	12	7		
337332	246		73	47	30	13	7	17	9		
337333	247		91	47	29	15	15	16	10		
345778	326		94	55	26	13	13	24	12		
345781	329		66	52	19	7	6	14	11		

345794	342	63	14	5	2	1	0	6
345815	363	52	23	19	11	12	12	5
345823	370	66	65	34	21	13	12	15

Como se muestra en la Tabla 26, las ISIS 113916, ISIS 337333, ISIS 345794, ISIS 345815, e ISIS 345823 produjeron una reducción dependiente de la dosis en la expresión de ARNm de STAT3 en células HepG2.

Se muestran en la Tabla 27 niveles de expresión de STAT1 en células tratadas con oligonucleótidos antisentido direccionados a STAT3 descritos anteriormente. Los niveles de ARNm de STAT1 fueron medidos por PCR en tiempo real utilizando los cebadores y sondas diseñados por métodos rutinarios en el arte y descritos aquí.

5

10

15

Tabla 27

Expresión de direccionados		STAT1 huma	ana en célula	as HepG2 tra	atadas con o	ligonucleótidos	antisentido	
Tratamiento	SEQ ID	% control Dosis (nM)						
Tratamiento	NO	1	10	25	50	100	200	
113196	135	87	94	96	10 1	89	79	
337332	246	82	84	96	10 7	82	30	
337333	247	91	87	10 9	83	87	56	
345778	326	112	84	96	99	61	50	
345781	329	93	114	13 5	14 3	93	40	
345794	342	115	112	10 5	77	93	57	
345815	363	84	113	11 2	93	58	61	
345823	370	115	115	16 1	13 1	115	94	

Como se muestra en la Tabla 27 los oligonucleótidos de STAT3 no produjeron una inhibición sustancial o dependiente de la dosis de la expresión de STAT1.

Los niveles de proteína de STAT3 fueron medidos también después de la transfección de células HepG2 con oligonucleótidos antisentido. Las células fueron tratados con dosis de 10 nM, 50 nM o 100 nM de oligonucleótidos antisentido direccionados a STAT3 y los niveles de proteína de STAT3 fueron medidos por transferencia Western utilizando un anticuerpo de STAT3 disponible comercialmente (Santa Cruz Biotechnology, Inc., Santa Cruz, CA), el cual fue detectado utilizando reactivos ECLplus™ (Amersham Biosciences, Piscataway, NJ) y cuantificado utilizando el Chemidoc™ EQ System (Bio-Rad Laboratories, Hercules, CA). La proteína expresada por el gen cuidador G3PDH fue utilizada para normalizar las diferencias en niveles de proteína entre las muestras. Los datos se muestran en la Tabla 28, expresados como porcentaje de expresión de proteína con respecto a las células de control no tratadas.

Tabla 28

Inhibición de	la expresión	de proteína de	STAT3 en c	élulas HepG2	
Tratamiento	% control SEQ ID Dosis (nM)				
Tratamonto	NO	10	50	100	
113196	135	100	28	13	
337332	246	94	29	12	
337333	247	104	23	12	
345778	326	66	17	8	
345781	329	83	17	7	

Inhibición de	la expres	ión d	e proteína de	STAT3 en céli	ulas HepG2
			% control		
Tratamiento	SEQ	ID	Dosis (nM)		
Tratamento	NO		10	50	100
345794	342		96	28	19
345815	363		82	32	19
345823	370		99	46	31

Como se muestra en la Tabla 28, el tratamiento con ISIS 113196, ISIS 337332, ISIS 337333, ISIS 345778, ISIS 345781, ISIS 345794, ISIS 345815, e ISIS 345823 produjeron una reducción dependiente de la dosis de los niveles de proteína de STAT3 en células HepG2.

5 **Ejemplo 21**

10

Inhibición antisentido de STAT3 humana en células A549: respuesta a la dosis

Se probaron oligonucleótidos antisentido direccionados a STAT3 humana en un estudio de respuesta a la dosis en células A549. Las células fueron tratadas con oligonucleótidos antisentido mezclados con LIPOFECTIN™, a una concentración de 3 µg/mL de LIPOFECTIN™ por 100 nM de oligonucleótido. Las concentraciones de oligonucleótido se indican en las Tablas 29 y 30. Las células no tratadas sirvieron como control contra el cual se normalizaron los datos. Los niveles de expresión de ARNm de STAT3 fueron medidos en duplicado, utilizando 2 diferentes conjuntos de cebador sonda, ambos descritos aquí: PPS199 y PPS2033. Los datos utilizando PPS2033 y PPS199 se muestran en las Tablas 29 y 30, respectivamente, como porcentaje de expresión con respecto a los controles no tratados.

15 Tabla 29

		% control							
		Dosis de oli	Dosis de oligonucleótidos (nM)						
Tratamiento	SEQ ID NO	9.375	18.75	37.5	75				
106734	45	97	92	46	21				
113176	115	91	78	58	27				
113196	135	80	71	15	5				
337332	246	104	70	21	10				
337333	247	93	67	28	10				
337348	262	84	73	30	17				
345778	326	92	63	17	8				
345781	329	97	50	19	8				
345785	333	87	68	23	10				
345815	363	85	70	35	20				
345823	370	91	96	50	33				
129690	393	83	88	96	103				
129691	410	122	105	109	119				
129695	391	79	92	90	102				
141923	409	98	106	95	98				

Como se muestra en la Tabla 29, todos los oligonucleótidos antisentido direccionados a STAT3 humana inhibieron la expresión en células A459, medidas utilizando PPS2033.

Tabla 30

		% de contro	I							
		Dosis de olig	Dosis de oligonucleótidos (nM)							
Tratamiento	SEQ ID NO	9.375	18.75	37.5	75					
106734	45	85	62	26	10					
113176	115	90	83	51	26					
113196	135	97	70	17	8					
337332	246	123	81	22	9					
337333	247	76	51	14	4					
337348	262	109	89	34	14					
345778	326	76	36	6	2					
345781	329	107	59	21	6					
345785	333	79	45	9	2					
345815	363	124	83	31	16					
345823	370	136	111	70	35					
129690	393	130	124	142	151					
129691	410	101	126	128	107					
129695	391	128	125	136	143					
141923	409	88	92	84	76					

Como se muestra en la Tabla 30, los oligonucleótidos antisentido direccionados a STAT3 humana inhibieron la expresión en una forma dependiente de la dosis en células A549, medida utilizando PS199.

Se llevo a cabo un experimento adicional de respuesta a la dosis de la misma manera. Utilizando un rango alternativo de concentraciones de oligonucleótidos antisentido. Los datos utilizando conjuntos cebador sonda PPS2033 y PPS199 se muestran en la Tablas 31 y 32, respectivamente, como porcentaje de la expresión de ARNm de STAT3 con respecto a las células de control no tratadas.

5

Tabla 31

•		% de contro			
		Dosis de oli	gonucleótidos (nM)	
Tratamiento	SEQ ID NO	18.75	37.5	75	150
106734	45	87	52	23	11
113176	115	114	68	24	20
113196	135	82	26	10	6
337332	246	88	49	14	7
337333	247	53	25	9	9
337348	262	56	35	10	2
345778	326	59	22	9	7
345781	329	83	39	7	3
345785	333	70	37	15	9

345815	363	50	27	13	7
345823	370	77	58	23	6
129690	393	102	110	111	103
129691	410	89	87	103	112
129695	391	108	112	121	129
141923	409	88	99	86	78

Los datos en la Tabla 31 demuestran que las concentraciones adicionales probadas también inhibieron la STAT3 humana en una forma dependiente de la dosis.

Tabla 32

		% de contro	% de control					
		Dosis de oli	gonucleótidos (nM)				
Tratamiento	SEQ ID NO	18.75	37.5	75	150			
106734	45	85	57	31	16			
113176	115	101	64	33	19			
113196	135	90	23	12	7			
337332	246	76	47	14	5			
337333	247	63	32	14	11			
337348	262	67	45	13	5			
345778	326	60	27	12	11			
345781	329	94	50	12	5			
345785	333	57	31	14	9			
345815	363	44	25	13	7			
345823	370	63	65	24	4			
129690	393	99	102	116	98			
129691	410	72	79	83	88			
129695	391	104	105	142	137			
141923	409	107	87	96	80			

Los datos en la Tabla 32 demuestran que las concentraciones adicionales probadas también inhiben la STAT3 humana en una forma dependiente de la dosis.

Ejemplo 22

5

Inhibición antisentido de STAT3 humana en células Hep3B: respuesta a la dosis

La inhibición antisentido de STAT3 fue probada en un estudio de respuesta a la dosis en células Hep3B.

La línea celular de hepatoma humano Hep3B (Hep3B2.1-7) se obtiene de la American Type Culture Collection (ATCC, Manassas, VA). Está línea celular fue derivada inicialmente de un carcinoma hepatocelular de un afroamericano masculino de 8 años de edad. Las células eran epiteliales en morfología y tumorigénicas en ratones lampiños. Las células Hep3B fueron cultivadas de manera rutinaria en Minimum Essential Medium (MEM) con solución salina balanceada de Earle, L-glutamina 2 mM, 1.5 g/l de bicarbonato de sodio, aminoácidos no esenciales 0.1 mM, piruvato de sodio 1.0 mM (ATCC #20-2003, Manassas, VA) y con suero bovino fetal al 10% inactivado por

calor (Invitrogen Life Technologies, Carlsbad, CA). Las células se pasan de manera rutinaria por tripsinización y dilución cuando alcanzan el 90% de confluencia.

Las células fueron tratadas con los oligonucleótidos antisentido ISIS 129688, ISIS 113196, ISIS 337333, ISIS 345794, ISIS 345815, o el oligonucleótido de control ISIS 129688 (TTCGCGGCTGGACGATTCAG, incorporado aquí como SEQ ID NO: 411), mezclado cada uno con LIPOFECTIN™, a una concentración de 3 µg/mL de LIPOFECTINT™ por 100 nM de oligonucleótido. La ISIS 129688, la cual no apunta a STAT3 es un "oligómero con brecha" de 20 nucleótidos que consiste de diez 2'-desoxinucleótidos flanqueados en ambos lados (direcciones 5' y 3') por "alas" de cinco nucleótidos compuestas de 2'-O-metoxietilo (2'-MOE) nucleótidos. La ISIS 129688 tenía un esqueleto fosforotioato a lo largo del oligonucleótido, y todos los residuos de citidina son 5-metilcitidinas.

Las concentraciones de oligonucleótidos fueron 6.25 nM, 25 nM, 50 nM, y 100 nM. Las células no tratadas sirvieron como el control contra el cual fueron normalizadas. Los niveles de expresión de ARNm de STAT3 fueron medidos en duplicado por PCR en tiempo real, como se describe aquí, usando PPS2033. Los datos se muestran en la Tabla 33 como porcentaje de expresión con respecto a los controles no tratados.

		% de control					
Tratamiento	SEQ ID NO	Dosis (nM)	Dosis (nM)				
		100	50	25	6.25		
113196	135	57	24	17	98		
337333	247	50	35	25	23		
345794	342	94	77	125	112		
345815	363	74	99	89	104		
129688	411	82	27	13	92		

Tabla 33

15 Como se muestra en la Tabla 33, el tratamiento con las ISIS 113926, ISIS 337333, ISIS 345815 o ISIS 345815 produjo una reducción dependiente de la dosis en la expresión de ARNm de STAT3 en células Hep3B. La ISIS 345794 redujo la expresión de ARNm de STAT3 en la dosis de 50 nM en células Hep3B.

Ejemplo 23

5

Inhibición antisentido de STAT3 humana en células THLE-2: respuesta a la dosis

20 La inhibición antisentido de STAT3 fue probada en un estudio de respuesta a la dosis en células THLE-2.

La línea celular epitelial de hígado transformada por SV-40 THLE-2 fue obtenida del American Type Culture Collection (ATCC, Manassas, VA) y cultivada de acuerdo con las instrucciones del proveedor. Las células fueron sembradas a una densidad de aproximadamente 10,000 células por pozo en placas de 96 pozos para uso en experimentos de transfección con oligonucleótidos.

Las células fueron tratadas con los oligonucleótidos antisentido ISIS 129688, ISIS 113196, ISIS 337333, ISIS 345794, ISIS 345815, o con el oligonucleótido de control ISIS 129688, mezclados cada uno con LIPOFECTIN™, a una concentración de 3 μg/mL de LIPOFECTINT™ por 100 nM de oligonucleótido. Las concentraciones de oligonucleótidos fueron 6.25 nM, 25 nM, 50 nM, y 100 nM. Las células no tratadas sirvieron como el control contra el cual fueron normalizados los datos. Los niveles de expresión de ARNm de STAT3 fueron medidos en duplicado por PCR en tiempo real, como se describe aquí, usando PPS2033. Los datos se muestran en la Tabla 34como porcentaje de expresión con respecto a los controles no tratados.

Tabla 34

Inhibición de la	expresión de STA	T3 en células 1	ΓHLE-2: respuesta	a la dosis					
		% de contr	% de control						
Tratamiento	SEQ ID NO	Dosis (nM)	Dosis (nM)						
		100	50	25	6.25				
113196	135	93	13	6	5				
337333	247	117	30	14	11				
345794	342	111	32	16	21				

Inhibición de la	expresión de STAT	3 en células THLE-	2: respuesta a la d	osis	
		% de control			
Tratamiento	SEQ ID NO	Dosis (nM)			
		100	50	25	6.25
345815	363	104	31	16	12
129688	411	93	95	83	72

Como se muestra en la Tabla 34, el tratamiento con ISIS 113926, ISIS 337333, o ISIS 345815 produjo una reducción dependiente de la dosis en la expresión de RNAm de STAT3 en células THLE-2. La ISIS 354794 también redujo la expresión de ARNm de STAT3 en células THLE-2.

Ejemplo 24

10

5 Diseño y selección de sARNds direccionada a STAT3 humana

En una realización adicional, una serie de dúplex de ácido nucleico fue diseñada para direccionar a ARNm de STAT3 (número de acceso GenBank[®] NM_139276.2, incorporada aquí como SEQ ID NO: 412) y se muestra en la Tabla 35. Todos los compuestos en la Tabla 35 son oligorribonucleótidos de 19 nucleótidos de longitud con enlaces fosfodiéster internucleósido (esqueletos) a lo largo del mismo. Los compuestos fueron preparados para tener extremos cerrados. La Tabla 35 muestra la cadena antisentido del ARNds y la cadena en sentido es sintetizada como complemento de la cadena antisentido. Estas secuencias demuestran contener uracilo (U) pero una persona experimentada en la técnica apreciará que el uracilo (U) es reemplazado en general por timina (T) en la secuencia de ADN. "Sitio objetivo" indica el primer número de nucleótido (más cercano a 5') sobre la secuencia objetivo particular al cual se enlaza el compuesto.

15 Los compuestos de la Tabla 35 fueron probados en cuanto a sus efectos sobre el ARNm de STAT3 en células A549. Los controles de ARNds que no direccionan a STAT3 humana incluyen el dúplex de ISIS 335449 (UUUGUCUCUGGUCCUUACUU; incorporada aquí como SEQ ID NO: 413) y su complemento, y el dúplex de ISIS 359661 (UUAUCGCUUCUCGUUGCUU; incorporada aquí como SEQ ID NO: 414) y su complemento. La ISIS 335449 es un oligorribonucleótido de 20 nucleótidos de longitud con enlaces fosfodiéster internucleósido 20 (esqueletos) a lo largo del compuesto. La ISIS 359661 es un oligorribonucleótido de 19 nucleótidos de longitud con enlaces fosfodiéster internucleósido (esqueletos) a lo largo del compuesto. Tanto la ISIS 335449 y la ISIS 359661 y sus complementos fueron preparados con extremos cerrados. La ISIS 129700 (TAGTGCGGACCTACCCACGA, incorporada aquí como SEQ ID NO: 415), la cual no direcciona a STAT3, fue utilizada como oligonucleótido de cadena sencilla de control. La ISIS 129700 es un oligonucleótidos ("oligómero con brecha") quimérico de 20 25 nucleótidos de longitud, compuesto de una región "brecha" central consistente de diez 2'-desoxinucleótidos, la cual está flanqueada en los extremos 5' y 3' por "alas" de cinco nucleótidos. Las alas están compuestas de 2'-Ometoxietilo (2'-MOE) nucleótidos. Los enlaces internucleósido (esqueleto) son fosforotioato (P=S) a lo largo del oligonucleótido. Todas las citidinas son 5-metilcitidinas.

Las células A549 fueron tratadas con 150 nM de compuestos ARNds mezclados con 15 g/mL de LIPOFECTIN™ (Invitrogen Life Technologies, Carlsbad, CA) o 150 nM de oligonucleótidos de cadena sencilla mezclados con 15 g/mL de LIPOFECTIN™ durante un periodo de 4 horas seguido por 20 horas de cultivo en medio de cultivo normal.

La expresión de ARNm de STAT3 humana fue medida como se describió aquí en otros ejemplos, usando PPS2033. Los resultados fueron normalizados con respecto a células de control no tratadas, las cuales no fueron tratadas con los compuestos de ARNds o con los oligonucleótidos de cadena sencilla. Los datos son el promedio de 2 experimentos y se presentan en la Tabla 35.

Tabla 35

35

Inhibición	de ARNm de S	TAT3 human	a por sARNo	ds en células A549		
lsis#	Región	SEQ Objetivo	Sitio objetivo	Secuencia	% inhibición	SEQ ID NO
36195 8	Codificación	412	520	CCAUUGGCUUCUCAAGAUA	0	416
36195 9	Codificación	412	892	GCCCGCCAGCUCACUCAC	33	417
36196 0	Codificación	412	925	GAGUUUUCUGCACGUACUC	36	418
36196 1	Codificación	412	1075	CCAGUUUCUUAAUUUGUUG	21	419
36196 2	Codificación	412	1096	AAACUUUUUGCUGCAACUC	66	420
36196 3	Codificación	412	1171	UUAAGUUUCUAAACAGCUC	87	421

Inhibición	de ARNm de S			ds en células A549	1 0/	1050
lsis#	Región	SEQ Objetivo	Sitio objetivo	Secuencia	% inhibición	SEQ ID NO
36196 4	Codificación	412	1314	AAUUUUAAGCUGAUAAUUC	66	422
36196 5	Codificación	412	1337	GAGUCUUUGUCAAUGCACA	63	423
36196 6	Codificación	412	1424	UUGUUGGAUUCUUCCAUGU	59	424
36196 7	Codificación	412	1593	GUGGGUCUCUAGGUCAAUC	38	425
36196 8	Codificación	412	1605	AACUGGCAAGGAGUGGGUC	30	426
36196 9	Codificación	412	1843	CUGAAUAAUUCACACCAGG	33	427
36197 0	Codificación	412	1867	AUUUAGCCCAUGUGAUCUG	58	428
36197 1	Codificación	412	1877	UCUUUGCAAAAUUUAGCCC	52	429
36197 2	Codificación	412	1888	CAGCCAUGUUUUCUUUGCA	24	430
36197 3	Codificación	412	1934	AGGUCAAUGAUAUUGUCCA	45	431
36197 4	Codificación	412	1944	CUUUUUCACAAGGUCAAUG	53	432
36197 5	Codificación	412	1954	CCAGGAUGUACUUUUUCAC	39	433
36197 6	Codificación	412	2057	UCACUGAAUCUUAGCAGGA	20	434
36197 7	3´UTR	412	2681	AAAGAUAGCAGAAGUAGGA	83	435
36197 8	3´UTR	412	3010	UUUGGAUGUCAGCAAGGUU	76	436
36197 9	3´UTR	412	3075	CCCUUUAAUUGUUAUUAUU	0	437
36198 0	3´UTR	412	3501	GGGAUUAUAUAAAUUACCA	25	438
36198 1	3´UTR	412	3625	AAAUAAGUCUAUUUAUAAA	11	439
36198 2	3´UTR	412	3645	GGCCAAUACAUUACAAAGG	42	440
36198 3	3´UTR	412	4010	UAUCACCAAGAAACUGGCU	42	441
36198 4	3´UTR	412	4080	GACUCAAGUUUAUCAGUAA	0	442
36198 5	3´UTR	412	4330	AAUUCCACAGAAACUCUGA	47	443
36198 6	3´UTR	412	4350	UAAUUUGAUUUAACAAACA	21	444
36198 7	3´UTR	412	4480	UAUGUACUGAAGAGUGUUG	62	445
36198 8	3´UTR	412	4520	UCUCACCUUUCUAAAUAUU	44	446
36198 9	3´UTR	412	4630	AAGACCAGAUACAUGCUAC	69	447
36199 0	3´UTR	412	4650	CUUUUGCUACAAUCAGAGU	38	448
36199 1	3´UTR	412	4790	CCACCUUAUAGGUAGGUAA	38	449
36199 2	3´UTR	412	4840	GAAGUACACAUUGGAAUUU	53	450
36199 3	3´UTR	412	4930	UGGAAGUUAAAGUAGAUAC	57	451
36199 4	3´UTR	412	4956	UACGGUUCCUAUAUAACGU	45	452

Estos datos demuestran que los sARNds direccionados a STAT3 humana reducen la expresión de ARNm en células A549. Los sARNds que comprende las cadenas antisentido de SEQ ID NOs 417, 418, 420, 421, 422, 423, 424, 425, 426, 427, 428, 429, 431, 432, 433, 435, 436, 440, 441, 443, 445, 446, 447, 448, 449, 450, 451 y 452 y sus complementos demostraron al menos una inhibición del 30% de STAT3 en este ensayo.

Ejemplo 25

45

50

55

Apoptosis en líneas celulares de carcinoma de pulmón después de inhibición con antisentido de STAT3 humana

Los oligonucleótidos antisentido direccionados hacia STAT3 humana fueron probados en cuanto a sus efectos sobre la apoptosis en células A549 y H460, las dos líneas celulares de carcinoma de pulmón.

- Las células A549 fueron obtenidas y cultivadas como se describió aquí. La línea celular de carcinoma de pulmón H-460 fue obtenida de la American Type Culture Collection (ATCC; Manassas, VA) y cultivadas en medio RPMI suplementado con suero bovino fetal al 10%, 100 unidades/mL de penicilina y 100 μg/mL de estreptomicina (medios y suplementos de Invitrogen Life Technologies, Carlsbad, CA). Ambos tipos fueron sembrados a una densidad de 10,000 células por pozo en placas de 96 pozos.

Para evaluar los efectos de la inhibición antisentido de STAT3 sobre la apoptosis, se llevo a cabo un ensayo de caspasa 24 y 48 horas después del tratamiento con oligonucleótido antisentido. La actividad de la caspasa 3 fue evaluada con un ensayo fluorométrico HTS Caspasa-3 (Catálogo #HTS02; EMD Biosciences, San Diego, CA) que 20 detecta la escisión después de residuos de aspartato en la secuencia de péptidos DEVD. El sustrato DEVD es marcado con una molécula fluorescente, la cual exhibe un desplazamiento de azul a verde en fluorescencia tras la escisión con caspasa-3. La caspasa-3 activa en las células tratadas con el compuesto oligomérico fue medida mediante este ensayo de acuerdo con las instrucciones del fabricante. Después del tratamiento con oligonucleótido antisentido, se agregaron 50 mL de regulador de prueba que contenían ditiotreitol 10 M a cada pozo, seguido por la adición de 20 L del conjugado del sustrato fluorescente de caspasa-3. La fluorescencia en los pozos fue detectada 25 inmediatamente (excitación/emisión 400/505 nm) utilizando un lector de placas fluorescentes (SpectraMAX™ GeminiXS™, Molecular Devices, Sunnyvale, CA). La placa fue cubierta e incubada a 37°C durante 3 horas adicionales, después de lo cual se midió de nuevo la fluorescencia (excitación/emisión, 400/505 nm). El valor en tiempo cero fue sustraído de la medición obtenida a las 3 horas. La medición obtenida de las células de control no 30 tratada fue designada como 100% de actividad. La actividad de la caspasa-3 en células tratadas con los compuestos oligoméricos fue normalizada con respecto a la de las células de control no tratadas. Los valores de actividad de caspasa por encima o por debajo de 100% fueron considerados como indicativos de que el compuesto tiene la habilidad de estimular o inhibir la actividad de la caspasa, respectivamente.

La apoptosis también fue evaluada detectando la escisión de la poli (ADP-ribosa) polimerasa (PARP) en células A549 y H460, las cuales fueron sembradas a 250,000 células por pozo en 6 pozos tratados con 150 nM de oligonucleótidos antisentido direccionados a STAT3 humana. La proteína fue aislada 48 horas después del tratamiento con oligonucleótido y sometida a análisis por transferencia Western. Se detecto PARP con un anticuerpo comercialmente disponible (Cell Signaling, Beverly, MA), seguido por detección con ECLplus™ (Amersham Biosciences, Piscataway, NJ). La señal fue detectada con un Chemidoc™ EQ System (Bio-Rad Laboratories, Hercules, CA). Se cuantificaron tanto el PARP como de longitud completa como el PARP escindido.

La apoptosis fue evaluada adicionalmente por la medición de la hipodiploidía en células A549 y H460, las cuales fueron sembradas a 50,000 células por pozo en placas de 24 pozos y tratadas con 20, 80 y 150 nM de oligonucleótidos antisentido direccionados a STAT3 humana. La ISIS 226844 (GCCCTCCATGCTGGCACAGG. SEQ ID NO: 454) no direcciona a STAT3 y fue utilizada como control negativo. La ISIS 183891 (CCGAGCTCTCTTATCAACAG, SEQ ID NO: 455) es direccionada hacia la inhibición similar quinesina 1 de lo cual resulta una detención en el ciclo celular, y se utilizó como control positivo una dosis de 100 nM. Las células fueron recolectadas 48 horas después del tratamiento y se usaron procedimientos de rutina para preparar células para análisis por citometría de flujo. Las células fueron sometidas a tinción con yoduro de propidio para generar un perfilo de ciclo celular utilizando un citómetro de flujo. El perfilo de ciclo celular fue analizado con el programa ModFit (Verity Software House, Inc., Topsham ME). La fragmentación de ADN nuclear es un hito de la apoptosis y un produce un incremento en células con un contenido de ADN hipodiploide, las cuales se categorizan como "subG1". Un incremento en células en la fase G1 es indicativo de una detención del ciclo celular antes de la entrada en la fase S; un incremento en células en la fase S es indicativo de la detención del ciclo celular durante la síntesis de ADN; y un incremento en células en la fase G2/M es indicativo de detención del ciclo celular justo antes o durante la mitosis. Las células aneuploide (A) tienen un contenido de ADN superior a las de las células diploides. Los perfiles del ciclo celular de las células tratadas con compuestos oligoméricos fueron normalizados con respecto a los de las células de control no tratadas. Los valores por encima o por debajo de 100% fueron considerados como indicativos de un incremento o disminución, respectivamente, en la proporción de células que tienen un contenido de ADN de la etapa del ciclo celular indicada.

5

Los datos de estos ensayos en células A549 se muestran en las siguientes Tablas. Los niveles de ARNm de STAT3 en células A549 se muestran en la Tabla 36 como porcentaje de la expresión de ARNm con relación a células de control no tratadas. La actividad de caspasa-3 a 24 y 48 horas después del tratamiento con oligonucleótidos se presenta en la Tabla 37 como porcentaje de las células de control no tratadas. La cuantificación de PARP se muestra en la Tabla 38 como un porcentaje con respecto a las células de control no tratadas. Los perfiles de ADN se muestran en la Tabla 39, como porcentaje en cada fase del ciclo celular.

Tabla 36

		n células A549 % de contr						
		Dosis de oligonucleótidos (nM)						
ISIS#	SEQ ID NO	10	20	40	80			
106707	58	37	40	27	26			
113176	115	42	35	21	16			
113196	135	2	1	1	2			
337332	246	24	3	5	18			
337333	247	17	16	16	17			
337348	262	44	19	10	12			
345778	326	8	12	9	14			
345781	329	6	1	2	8			
345785	333	7	4	4	9			
29848	453	76	75	71	70			
129987	404	62	58	49	41			

Tabla 37

Actividad	de caspa	sa-3 despu	és de inhib	ición antisent	ido de S	TAT3 en célu	ılas A549		
	Activida horas	d de caspa	asa-3, % d	e control 24		Activida horas	d de caspa	asa-3, % de	e control 48
ISIS#	Dosis d	e oligonucle	eótidos (nM)		Dosis d	e oligonucle	eótidos (nM)
	10	20	40	80		10	20	40	80
106707	54	60	70	64		67	73	83	71
113176	77	87	88	83		56	38	124	125
113196	76	108	97	93		165	506	674	597
337332	155	243	195	208		494	1782	1608	766
337333	52	70	63	102		118	121	147	200
337348	39	51	72	66		73	82	2167	2649
345778	31	34	45	70		146	134	124	207
345781	220	258	240	279		1917	2766	3434	3428
345785	69	84	90	97		516	889	1307	1364
226844	86	81	78	75	1	153	400	2114	843
29848	72	70	85	68		16	18	8	14
129987	58	52	66	66	1	67	61	53	61

Tabla 38

	PARP % de control		
ISIS#	Longitud completa	Escindida	
106707	89	104	
113176	87	97	
113196	8	2171	
337332	6	2532	
337333	11	1828	
337348	16	975	
345778	7	665	
345781	2	823	
345785	1	313	
29848	84	127	
129987	106	119	

TABLA 39

	ON después de inhibición antisentido de S	Perfiles ADN % de células por perfil						
Tratamiento	Concentración oligonucleótido (nM)	Sub G1 G1		G1/S	G2/M	Α		
UTC	Ninguno	0	51	29	20	13		
UTC	Ninguno	0	49	32	19	14		
	20	0	51	30	19	15		
106707	80	0	53	28	18	17		
	150	0	55	26	20	17		
	20	0	54	28	18	16		
113176	80	0	54	29	17	16		
	150	5	53	29	18	15		
	20	3	50	28	22	12		
113196	80	34	67	21	13	7		
	150	32	63	23	14	4		
	20	10	47	29	24	10		
337332	80	39	67	18	16	3		
	150	42	69	18	13	5		
	20	0	52	29	20	12		
337333	80	22	56	30	14	7		
	150	20	57	25	18	8		

		Perfiles ADN % de células por perfil				
Tratamiento	Concentración oligonucleótido (nM)	Sub G1	G1	G1/S	G2/M	Α
	20	0	54	28	19	16
337348	80	1	51	30	19	16
	150	27	53	24	23	12
	20	1	51	26	23	14
345778	80	25	63	21	16	5
	150	30	60	24	16	5
	20	20	47	28	25	13
345781	80	43	62	27	11	5
	150	39	61	30	9	5
	20	3	50	27	23	14
345785	80	33	61	18	21	8
	150	32	59	23	18	7
	20	0	52	30	18	16
29848	80	0	52	30	17	15
	150	2	58	22	20	12
	20	0	52	29	19	15
129987	80	0	49	31	20	16
	150	0	54	28	18	16
183891	100	2	7	7	86	11

Es evidente a partir de estos datos que la inhibición antisentido de STAT3 dio como resultado la apoptosis en células A549, medida por 3 ensayos diferentes. Como ejemplo, el tratamiento con ISIS 345781 a 20 nM, el cual inhibió la expresión de ARNm de STAT3 tanto como en 99% (Tabla 36), e incrementó dramáticamente la actividad de la caspasa-3 a 48 horas hasta un nivel de aproximadamente 30 veces mayor (Tabla 37) que el observado con el control no tratado. Adicionalmente, el PARP de longitud completa fue reducido a 2% del control, y el PARP escindido fue aproximadamente 8 veces el del control (Tabla 38). Adicionalmente, la población subG1 de las células tratadas con ISIS 345781 fue aproximadamente 20 veces mayor que el control (Tabla 39), indicando que ocurrió fragmentación del ADN. En general, la distribución de las células en otras fases del ciclo celular, subG1, G1, G1/S y G2/M, no cambio marcadamente. La ISIS 337332 produjo un incremento en la población de G1 en las dosis de 80 y 150 nM, lo cual es indicativo de una detención del ciclo celular G1. Juntos, estos datos demuestran claramente que la inhibición antisentido de STAT3 por ISIS 345781 induce la apoptosis en células A549. Otros tratamientos con oligonucleótidos antisentido causaron de la misma manera un descenso en la expresión de STAT3 concomitante con una inducción de la apoptosis.

Los datos a partir de los ensayos PCR en tiempo real, caspasa-3, PARP y perfilo de ADN en células H-460 se muestran en las siguientes tablas. Los niveles de ARNm de STAT3 en células H-460 se muestran en la Tabla 40 como porcentaje de la expresión de ARNm con respecto a células de control no tratadas. La actividad de caspasa-3 a 24 y 48 horas después del tratamiento con oligonucleótidos se presente en la Tabla 41 como porcentaje de células de control no tratadas. La cuantificación de PARP se muestra en la Tabla 42 como porcentaje con respecto a las células de control no tratadas. Los perfiles de ADN se muestran en la Tabla 43 como porcentaje en cada fase del ciclo celular.

Tabla 40

		% de contr	% de control				
		Dosis de oligonucleótidos (nM)					
ISIS#	SEQ IDE NO	10	20	40	80		
106707	58	49	49	33	30		
113176	115	52	50	22	17		
113196	135	12	4	4	6		
337332	246	21	18	12	15		
337333	247	26	20	14	22		
337348	262	41	25	16	12		

Inhibición an	tisentido de STA	Γ3 en células H-46	60		
		% de conti	% de control		
		Dosis de o	ligonucleótidos (nl	И)	
345778	326	11	7	8	9
345781	329	13	6	5	9
345785	333	15	8	7	15
29848	453	85	83	85	68
129987	404	53	61	65	48

Tabla 41

Actividad	de caspa	sa-3 despu	iés de inhib	ición antisentic	o de S	TAT3 en cél	ulas H-460		
	Activida horas	nd de cas	pasa-3, %	control 24		Activida horas	ad de cas	pasa-3, %	control 48
ISIS#	Dosis d	e oligonucl	eótidos (nM)		Dosis d	le oligonucl	eótidos (nN	1)
	10	20	40	80		10	20	40	80
106707	83	81	70	83		37	24	27	57
113176	97	85	80	143		37	44	121	235
113196	241	291	285	264		101	130	163	140
337332	132	416	431	487		205	364	399	393
337333	84	84	88	87		93	113	111	116
337348	55	54	71	125		58	62	297	440
345778	65	83	91	119		111	125	139	170
345781	218	361	426	493		509	586	630	654
345785	76	84	112	154		210	237	279	313
226844	84	78	128	138		81	89	293	269
29848	112	86	90	92		59	41	46	55
129987	98	93	76	96		85	67	75	87

Tabla 42

Escisión de PARP desp	ués de inhibición antisentido de STAT3 e	n células H-460	
	PARP % de control		
ISIS#	Longitud completa	Escindida	
106707	188	146	
113176	144	112	
113196	14	47	
337332	29	97	
337333	36	120	
337348	74	247	
345778	30	100	
345781	4	13	
345785	43	143	
29848	129	100	
129987	165	128	

Tabla 43

remies de AL	DN después de inhibición antisentido de STA T			cálulas por	norfil	
Tratamiento	Concentración de oligonucleótidos (Nm)	Perfiles ADN % de células por perfil Sub G1 G1 G1/S G2/M				
UTC	Ninguno Ninguno	2	52	31	17	16
UTC	Ninguno	1	50	33	18	17
	20	2	50	32	18	20
106707	80	1	51	32	17	19
	150	2	52	30	18	20
	20	2	50	33	18	21
113176	80	8	47	35	17	19
	150	18	49	24	27	13
	20	11	42	41	17	16
113196	80	32	46	39	15	9
	150	27	47	37	16	11
	20	13	44	40	16	15
337332	80	28	41	45	15	7
	150	28	43	45	13	7
	20	7	42	40	17	18
337333	80	15	43	40	17	14
	150	14	43	41	15	14
337348	20	2	56	27	16	23

		AT3 en células H-460 Perfiles ADN % de células por perfil				
Tratamiento	Concentración de oligonucleótidos (Nm)	Sub G1	G1	G1/S	G2/M	Α
	80	11	46	38	16	19
	150	7	47	37	16	19
	20	22	49	35	16	12
345778	80	20	48	36	15	11
	150	13	44	40	15	17
	20	25	41	39	20	10
345781	80	26	43	39	18	8
	150	8	48	38	15	18
	20	22	47	39	14	10
345785	80	20	48	37	15	15
	150	2	49	34	17	19
	20	3	47	35	19	18
29848	80	10	41	41	17	15
	150	2	49	33	19	20
	20	2	50	32	18	21
129987	80	2	49	32	19	19
	150	16	17	44	39	16
183891	100	2	52	31	17	16

La inhibición antisentido de STAT3 en células H-460 indujo la apoptosis. Por ejemplo, el tratamiento con 20 nm de ISIS 345785 inhibió la expresión de STAT3 en aproximadamente 92% (Tabla 40). Esta reducción en la expresión objetivo fue acompañada por un incremento de aproximadamente 2.4 veces en la actividad de caspasa-3 (Tabla 41), con respecto al control no tratado. El PARP de longitud completa fue reducida a 43% del control, mientras que el PARP escindido se incremento a 143% del control (Tabla 42). Además, la hipodiploidía en células tratadas con 20 nM de ISIS 345785 fue incrementada aproximadamente 4 veces con respecto a las células de control (Tabla 43). Así, la inhibición antisentido de STAT3 por ISIS 3456785 en células H-460 dio como resultado la inducción de apoptosis. Otros tratamientos de oligonucleótidos antisentido causaron de la misma manera un descenso en la expresión de STAT3 concomitante con una inducción de apoptosis.

Además de inducir la apoptosis, la inhibición antisentido de STAT3 por ISIS 113176 dio como resultado una detención de la fase S, indicando que se bloqueó la replicación de ADN.

Ejemplo 26

10

Inhibición de STAT3 y crecimiento tumoral in vivo en un modelo de ALCL

Ratones transgénicos NPM-ALK desarrollaron espontáneamente linfomas de células T y tumores de células plasmáticas (Chiarle et al., Blood, 2003, 101, 1919-1927). Así, se utilizan como modelos *in vivo* de linfoma de células grandes anaplásticas (ALCL) y mieloma múltiple, estando los dos asociados con la activación de STAT3. Adicionalmente, cuando las células de los linfomas de células T y tumores de células de plasmas son inyectadas en ratones receptores, se desarrollan tumores subcutáneos en los ratones receptores. Los linfomas de células T y tumores de células de plasma trasplantados sirven como modelos animales para ALCL y mieloma múltiple, respectivamente.

Los oligonucleótidos antisentido direccionados a STAT3 fueron probados en cuanto a sus efectos sobre la expresión de STAT3 y el crecimiento tumoral en ALCL *in vivo*. Aproximadamente 2 X 10⁶ células derivadas de tumores de células T de ratón NPM-ALK fueron inyectadas en ratones singenéicos (genéticamente idénticos). 7 días después de

la inyección de las células tumorales, los ratones recibieron diariamente inyecciones subcutáneas de ISIS 17152 (SEQ ID NO: 99) o un oligonucleótido de control no coincidente de 3 bases ISIS 28084 (SEQ ID NO: 151) a una dosis de 20 mg/kg. Los oligonucleótidos fueron administrados durante 14 días a seis animales por tratamiento con oligonucleótido. Los oligonucleótidos fueron inyectados subcutáneamente de manera contralateral a los lados del tumor. Los volúmenes tumorales fueron medidos diariamente y se muestran en la Tabla 44.

Tabla 44

5

10

15

20

	Volumen tumoral mm ³		
Día de tratamiento	STAT3 ASO	Oligo de control	
1	30	30	
2	30	80	
3	50	500	
4	90	1300	
5	110	1480	

Se observo un mínimo o ningún crecimiento tumoral en animales tratados con ISIS 17152. Por el contario, en animales tratados con el oligonucleótido de control, se desarrollaron grandes masas tumorales en todos los 5 animales al cabo de los 14 días de inyección de las células tumorales. La proteína STAT3 fue medida por transferencia Western como se describió aquí utilizando un anticuerpo monoclonal STAT3 (Zymed Laboratories, Inc., South San Francisco, CA), el cual fue detectado con un sistema de quimioluminiscencia (ECL, Amersham Biosciences, Piscataway, NJ). La proteína STAT3 se redujo en el tumor así como en el hígado de los animales tratados con ISIS 17152. Adicionalmente, el examen histológico de la masa tumoral residual revelo que además de ser sustancialmente más pequeños, los tumores de los animales tratados con ISIS 17152 desplegaron aéreas significativas de necrosis y muerte celular individual.

Se llevo a cabo un experimento similar *in vivo* en el cual aproximadamente 1 X 10⁷ células tumorales NPM-ALK humanas (provistas por Dr. A. Lorenzana, Van Eslander Cancer Center, Gross Pointe Woods, MI) fueron inyectadas en ratones inmunocomprometidos. Este estudio fue llevado a cabo tal como se describió para la células de ratón NPM-ALK, utilizando ISIS 113176 (SEQ ID NO: 115) o un oligonucleótido de control no coincidente (129987, SEQ ID NO: 404) a 20 mg/kg. Los oligonucleótidos fueron inyectados subcutáneamente de manera contralateral a los lados del tumor. Los oligonucleótidos fueron administrados durante 14 días a grupos que contenían 3 animales cada uno. Los volúmenes tumorales fueron medidos y se muestran en la Tabla 44.

Tabla 44

Volumen tumoral en un mod	delo de ALCL utilizando células NP	M-ALK humanas	
	Volumen tumoral mm ³		
Día de tratamiento	STAT3 ASO	Oligo de control	
0	50	50	
2	100	100	
4	100	240	
6	100	520	
8	260	1310	
10	330	2670	
12	360	3140	
14	790	4810	

Se observo mínimo o ningún crecimiento de tumores en animales tratados con ISIS 113176. Por el contario, se observo crecimiento tumoral en animales inyectados con un oligonucleótido de control no coincidente. Estos datos demuestran que la inhibición antisentido de STAT3 inhibe la expresión de proteína de STAT3 en tumores e inhibe el crecimiento tumoral in vivo en un modelo de ALCL. Estos hallazgos demuestran que la inhibición de STAT3 es una metodología terapéutica en el tratamiento de ALCL humano.

Ejemplo 27

5

10

Inhibición de crecimiento tumoral in vivo en un modelo de mieloma múltiple

Las células de mieloma múltiple derivadas de ratones transgénicos NPM-ALK, que se caracterizan por la presencia de STAT3 activada constitutivamente, fueron inyectados por vía subcutánea en ratones singenéicos, los ratones recibieron inyecciones subcutáneas diarias de ISIS 17152 (SEQ ID NO: 99) o un oligonucleótido de control no coincidente (SEQ ID NO: 151) a una dosis de 20 mg/kg. Los oligonucleótidos fueron administrados durante 14 días. Los oligonucleótidos fueron inyectados subcutáneamente de manera contralateral a los lados del tumor. Los volúmenes tumorales fueron medidos cada 2 días y se muestran en la Tabla 45.

Tabla 45

	Volumen tumoral nm ³		
Día de tratamiento	STAT3 ASO	Oligo de control	
0	80	170	
2	80	830	
4	80	1170	
6	170	1670	
8	250	3500	
10	500	6670	
12	500	8580	
14	1170	11000	
16	1330	13670	

15

25

30

Como se muestra en la Tabla 45, la ISIS 17152, direccionada a STAT3 inhibió el crecimiento tumoral en este modelo, mientras que el oligonucleótido de control no lo hizo. Estos datos demuestran que la inhibición antisentido de STAT3 evita el crecimiento tumoral *in vivo* en un modelo de mieloma múltiple.

Ejemplo 28

20 Efectos de la inhibición antisentido de STAT3 en líneas celulares ALCL

La inhibición antisentido de STAT3 fue evaluada en cuanto a sus efectos sobre el crecimiento celular y supervivencia en células ALCL humanas (células TS ALCL o células SU-DHL, provistas por el Dr. A. Lorenzana, Van Eslander Cancer Center, Gross Pointe Woods, MI). Las células TS ALCL fueron transfectadas con 0.02, 0.3, 1.5, 3, 6, 12 y 15 M de ISIS 113176 (SEQ ID NO: 115) o la ISIS no coincidente de 3 bases 129987 (SEQ ID NO: 404) por electroporación. Se sometieron a electroporación 2 X 10⁶ células utilizando una unidad de electroporación Amaxa[®] (Amaxa Biosystems, Gaithersburg, MD) de acuerdo con las instrucciones del fabricante. Después de 24 horas, se recolectaron las células. La viabilidad celular fue evaluada por tinción con azul de tripano, la cual es tomada solamente por células no saludables o muertas. La viabilidad celular y la proteína de STAT3 no se redujeron en células tratadas con el control no coincidente. Sin embargo, las células tratadas con ISIS 113176 desplegaron una reducción dependiente de la dosis en la viabilidad celular, la cual fue 97%, 87%, 67%, 60% y 29% del control a dosis de 0.03, 1.5, 3, 6 y 12 M. la viabilidad celular fue reducida al 36% del control en células que recibieron una dosis 15 M de ISIS 113176. Además de una reducción en la viabilidad celular, la transferencia Western de células tratadas, llevada a cabo como se describió aquí, revelo que la expresión de la proteína de STAT3 disminuyo de una manera dependiente de la dosis.

La incorporación de timidina tritiada en ADN recién sintetizado sirve como una medida de la proliferación celular. El crecimiento celular después de la inhibición antisentido de STAT3 fue evaluado midiendo la cantidad de timidina tritiada (³H) incorporada en las células transfectadas con ISIS 113176 (SEQ ID NO: 115). Las células SU-DHL fueron transfectadas con 7 μM de ISIS 113176. Las células fueron transfectadas con un STAT3 constitutivamente activado, STAT3c, el cual tiene una sustitución de aminoácidos que hace que la STAT3 espontáneamente dimérica, se enlace al ADN y active la transcripción (Bromberg, J.F., et al., Cell, 1999, 98, 295-303). Las células fueron cultivadas en la presencia de 1 Ci de ³H-timidina durante las últimas 18 horas de cultivo. 24, 48 y 72 horas después del tratamiento con oligonucleótido, las células fueron recolectadas. La incorporación de ³H-timidina fue medida por recuento de centelleo de rutina y se muestra como conteo por minuto (CPM) en la Tabla 46. Se usaron células Jurkat (las cuales pueden ser obtenidas de ATCC, Manassas, VA) como control para células no afectadas por la activación o inhibición de STAT3.

Tabla 46

		³ H-timidina ind	coporado, CPM		
Tipo celular		Tiempo después de transfección (horas)			
	Tratamiento	24	48	72	
	ISIS 113176	770	1530	1680	
SU-DHL	STAT3c	2000	3150	3590	
	No tratado	1350	2530	3090	
	ISIS 113176	2670	5330	8000	
Jurkat	STAT3c	1560	3780	5940	
	No tratado	1940	3830	6440	

Como se muestra en la Tabla 46, la inhibición antisentido en células SU-DHL humanas inhibe marcadamente la proliferación celular. Las células Jurkat, las cuales no expresan STAT3 activado constitutivamente, no fueron afectadas por el tratamiento con oligonucleótido antisentido. Así, los efectos de la proliferación celular son específicos para la inhibición antisentido de STAT3.

En un ensayo similar, se transfectaron células TS ALCL con 7 μM de ISIS 113176. La expresión de STAT3 y la escisión de PARP fueron evaluadas por transferencia Western 24, 48 y 72 horas después del tratamiento con oligonucleótido, usando procedimientos descritos aquí. La expresión de la proteína de STAT3 fue reducida y la escisión de PARP, un indicador de la apoptosis, fue observada, ocurriendo ambas de una forma dependiente del tiempo. El crecimiento celular fue evaluado midiendo la incorporación de ³H-timidina en estas células.

Tabla 47

	³ H-timidina incorporada, CPM Tiempo después de transfección (hora)				
Tratamiento	24	48	72		
ISIS 113176	770	1530	1680		
STAT3c	2000	3150	3590		
No tratada	1350	2530	3090		

Estos datos demuestran que la inhibición antisentido de STAT3 redujo la proliferación celular en células de linfoma anaplástico

Ejemplo 29

5

10

20

25

Efectos de oligonucleótidos antisentido direccionados a STAT3 en ratones normales: selección de toxicidad

Los oligonucleótidos antisentido direccionados a STAT3 fueron evaluados en cuanto a sus efectos en ratones normales. Ratones C57B1/6 fueron inyectados subcutáneamente con una dosis de 50 mg/kg de oligonucleótido, dos veces a la semana durante un periodo de 4 semanas. Los oligonucleótidos antisentido de STAT3 administrados fueron ISIS 337332, ISIS 337333, ISIS 345778, ISIS 345781, ISIS 113196, ISIS 345815, ISIS 345794, o ISIS 345823. La ISIS 335099 (GAGTATCACTATGGCTGGCC, SEQ ID NO: 456) no direcciono a STAT3 y fue utilizada como oligonucleótido de control. Los animales que recibieron inyecciones salinas fueron usados también como grupo de control. Cada grupo de tratamiento contenía 5 animales. Se recolectaron muestra de sangre antes del tratamiento (Wk0) y después de 2 (Wk2) y 4 (Wk4) semanas de tratamiento. Se midieron la glucosa, colesterol y triglicéridos en sangre por análisis clínico de rutina. Estos datos se muestran en la Tabla 48.

Tabla 48

5

10

	SEQ	Glucosa (mg/dL)			Triglice	Triglicéridos (mg/dL)			Colesterol (mg/dL)		
Tratamiento	ID NO	Wk 0	Wk 2	Wk 4	Wk 0	Wk 2	Wk 4	Wk 0	Wk 2	Wk 4	
Solución salina	n/a	175	206	192	112	70	124	68	65	73	
113196	135	165	185	192	87	75	62	67	69	54	
337332	246	170	184	217	110	59	64	75	115	10 3	
337333	247	180	177	213	93	81	71	72	52	55	
345778	326	168	182	187	133	104	89	73	62	55	
345781	329	186	180	190	102	58	71	77	149	12 1	
345794	342	186	193	201	81	100	84	81	91	94	
345815	363	178	175	157	87	154	108	81	142	17 8	
345823	370	183	194	239	123	99	106	81	81	96	

Las transaminasas de hígado ALT y AST, cuyos incrementos pueden indicar toxicidades, también fueron medidas en sangre por análisis clínicos de rutina. Estos datos se muestran la Tabla 49

Tabla 49

Tratamianta	SEQ ID	ALT (IU/	L)		ALT (IU/L	_)	
Tratamiento	NO	Wk 0	Wk 2	Wk 4	Wk 0	Wk 2	Wk 4
Solución salina	Ninguno	39	30	33	57	44	64
113196	135	33	49	76	48	52	109
337332	246	34	191	123	48	168	159
337333	247	32	43	44	50	53	60
345778	326	36	44	102	47	53	106
345781	329	32	223	204	43	170	211
345794	342	30	34	48	40	40	63
345815	363	31	48	85	45	47	81
345823	370	33	37	44	44	44	57

15

Después de 4 semanas de tratamiento, los animales fueron sacrificados y se preparó su ARN a partir de tejido de hígado. La expresión del ARNm de STAT3 fue medida por PCR en tiempo real tal como se describió aquí. Los datos

se muestran en la Tabla 50 como porcentaje de inhibición de la expresión de ARNm con respecto a los ratones de control tratados con solución salina.

Tabla 50

Tratamiento	SEQ ID NO	% de Inhibición
Control		0
113196	135	45
337332	246	75
337333	247	45
345778	326	45
345781	329	20
345794	342	55
345815	363	0
345823	370	35

5 Como se muestra en la Tabla 50, el tratamiento con ISIS 113916, ISIS 337332, ISIS 337333, ISIS 345778, ISIS 345794, e ISIS 345823 produjo una reducción del ARNm en STAT3 en hígado.

Los pesos del hígado, bazo, capa grasa y riñón fueron medidos al final del estudio. El peso de hígado promedio por cada grupo de tratamiento se da en la Tabla 51.

Tabla 51

Tratamiento	SEQ ID NO	Peso (g)
Solución salina	n/a	1.3
113196	135	1.7
337332	246	1.5
337333	247	1.5
345778	326	1.8
345781	329	1.4
345794	342	1.7
345815	363	1.5
345823	370	1.5

10

15

Los pesos de la capa grasa para animales tratados con solución salina promedió aproximadamente 0.33 g. Los pesos de la capa grasa promedio para los grupos de tratamiento de ISIS 337333, ISIS 345778, ISIS 345815, ISIS 345794, o ISIS 345823 variaron desde aproximadamente 0.29 g a 0.36 g, y no fueron significativamente diferentes en comparación con los medidos para el grupo tratado con solución salina. El promedio para los pesos de la capa grasa para animales tratados con ISIS 337333, ISIS 345781, e ISIS 113196 fueron ligeramente inferiores a los controles tratados con solución salina en aproximadamente 0.23 g, 0.22 g, y 0.26 g, respectivamente.

La medición de los pesos de bazo de los animales tratados con ISIS 337332, ISIS 337333, ISIS 345778, e ISIS 113196 dieron como resultado promedios entre aproximadamente 0.09 y 0.1 g, lo cual no difiere del promedio para

animales tratados con solución salina (aproximadamente 0.09 g). El peso de bazo promedio para animales tratados con ISIS 345815, ISIS 345794, o ISIS 345823 fue aproximadamente 0.08, 0.07, y 0.08, respectivamente. Así, el tratamiento con oligonucleótidos antisentido que direccionan a STAT3 no produjo un incremento en los pesos en el bazo de ratones normales.

- Los pesos promedio de riñón medidos para los grupos de tratamiento variaron desde aproximadamente 0.29 g hasta aproximadamente 0.34 g. En comparación con los pesos de riñón promedio medidos para controles tratados con solución salina (aproximadamente 0.36 g), estos datos indican que el tratamiento con oligonucleótidos antisentido direccionados a STAT3 no produjo ningún incremento en el peso de riñón en ratones normales.
- Los pesos corporales fueron medidos a la semana 0, 2 y 4. Los pesos corporales promedio medidos para los animales de control tratados con solución salina variaron desde aproximadamente 24 g a 27 g, y los animales mostraron una ganancia de peso con el tiempo. Los animales tratados con oligonucleótidos antisentido direccionados a STAT3 mostraron incremento similares en el peso con el tiempo, y sus pesos promedios no variaron significativamente de aquellos de los animales de control.
- El tratamiento de ratones normales con oligonucleótidos antisentido direccionados a STAT3 humana no dio como resultado efectos adversos significativos.

Ejemplo 30

Evaluación de oligonucleótidos antisentido direccionados a STAT3 como tratamiento para el cáncer.

La expresión y/o activación inapropiada de STAT3 está asociada con una variedad de cánceres, incluyendo cáncer de próstata, carcinomas de células escamosas de la cabeza y el cuello, carcinoma pulmonar de células no pequeñas y carcinoma hepatocelular, mieloma múltiple, linfomas de células grandes anaplásticas, leucemia linfocítica crónica, leucemia mieloide aguda y linfoma no Hodgkin. Así, los oligonucleótidos antisentido direccionados a STAT3 son evaluados en pacientes con tumores sólidos o enfermedades malignas hematológicas. Los grupos de tratamiento son de aproximadamente 30 a 40 pacientes. Durante un periodo de carga, los oligonucleótidos antisentido son administrados por vía intravenosa 3 veces en la primera semana, después de lo cual los oligonucleótidos antisentido son administrados semanalmente. Las dosis varían de 2 mg/kg a 10 mg/kg. Los efectos de tratamiento con oligonucleótidos antisentido son evaluados estableciendo la respuesta al tratamiento y midiendo los biomarcadores. Ejemplos de marcadores biológicos en pacientes con mieloma múltiple incluyen paraproteína en suero y apoptosis en células de mieloma múltiple circulantes. La proteína de STAT3 y la fosforilación también se miden en células de mieloma circulantes.

Los oligonucleótidos antisentido direccionados a STAT3 también son probados en pacientes que son refractarios a los agentes quimioterapéuticos o que experimentan una reaparición de un cáncer.

Los oligonucleótidos antisentido direccionados a STAT3 también son administrados solos o en combinación con otros agentes, por ejemplo, el agente quimioterapéutico Velcade[®].

Ejemplo 31

40

45

50

35 Apoptosis en líneas celulares de carcinoma de pulmón después de inhibición antisentido de STAT3 humana

La citoquina IL6 es un regulador corriente arriba conocido de la función de STAT3 y también es sobrerregulado en células cancerosas de pulmón. Puesto que la STAT3 está implicada frecuentemente en la formación de tumores y en la supervivencia de células epiteliales, fue de interés delinear el papel de STAT3 en células de carcinoma pulmonar de células no pequeñas. Con este fin, se probó la inhibición antisentido de STAT3 para sus efectos sobre el crecimiento celular e inducción de apoptosis. Los ensayos fueron llevados a cabo como se describió (Song et al., Oncogene, 2003, 22, 4150-4165).

Las líneas celulares A549, H460, H358 y H1299, todas las cuales fueron obtenidas de ATCC (Manassas, VA), fueron cultivadas en medio RPMI suplementado con suero bovino fetal al 5%, glutamina 2 mM y 1% de penicilina/estreptomicina (Invitrogen Life Technologies, Carlsbad, CA). Las células A549, H358 y H1299 exhibieron STAT3 activada constitutivamente.

Los oligonucleótidos fueron transfectados en células de cáncer pulmonar humanas usando bien sea liposomas encapsulados o electroporación. Las células A549, H358 y H1299 (100,000 - 200,000 células en una placa de 60 mm) fueron transfectadas con 500 nM de oligonucleótidos con 15 mg de LIPOFECTIN™ (Invitrogen Life Technologies, Carlsbad, CA) en 1.5 ml de medio OptiMEM™ (Invitrogen Life Technologies, Carlsbad, CA). Las células fueron incubadas con los oligonucleótidos durante 4 horas, la muestra fue retirada y las células fueron lavadas una vez con RPM y más suero bovino fetal al 5% y luego incubadas en medio de cultivo. Para las inmunoprecipitaciones, los ensayos de desplazamiento de movilidad electroforética y microscopia, las células fueron recolectadas 24 horas después de la transfección. Para los ensayos Apo-BRDU™, las células fueron recolectadas a 48 horas después de la transfección.

Para la electroporación de las células H460, las células fueron cultivadas a aproximadamente $20-30 \times 10^6$ en número, tripsinizadas e incubadas con oligonucleótidos a una concentración final de $10 \mu m$. Las células fueron sometidas a electroporación en un sistema de electroporación Biorad (Bio-Rad Laboratories, Hercules, CA) a $1000 \mu F$ y 230V en medio OPTI-MEM, Eagle en un volumen total de 400 mL. Las células fueron resembradas subsecuentemente en placas de 10 cm en RPMI con FBS al 5% y 1% de penicilina/estreptomicina y colocadas en una incubadora de CO_2 al 5% y 37°C durante la noche. La mañana siguiente las células fueron lavadas con PBS y se agregó nuevo medio con nuevo suero y antibióticos.

5

10

25

30

35

40

45

50

55

60

La apoptosis fue probada utilizando un kit Apo-BRDU™ (Pharmingen, BD Biosciences, San Diego, CA) de acuerdo con las instrucciones del fabricante. Se obtuvieron datos de 10,000 células por condición experimental y se analizaron para fluorescencia en un FACScan™ Immunocytometry System usando el software CELLQuest™ (BD Biosciences, San José, CA). La apoptosis también fue detectada midiendo la escisión de la poli-(ADP-ribosa) polimerasa (PARP) la cual es indicativa de apoptosis, utilizando el anticuerpo PARP (Cell Signaling, Beverly, MA) para detectar PARP de longitud completa así como el fragmento grande escindido.

Los ensayos de enlazamiento de ADN de STAT fueron llevados a cabo como se describió previamente (Yu et al., Science, 1995, 269, 81-83; Garcia et al., Cell Growth Differ., 1997, 8, 1267-1276). Los complejos proteína-ADN fueron resueltos por electroforesis no desnaturalizante en gel de poliacrilamida (PAGE) y detectados por autorradiografía. Los anticuerpos policionales anti-STAT3 (C-20) usados para identificar complejos de STAT3 específicos por el ensayo de desplazamiento de movilidad electroforética (EMSA) fueron obtenidos de Santa Cruz Biotechnologies. Para uso en ensayos de superdesplazamiento, se incubo 1 g del anticuerpo C-20 con extracto nucleares durante 20 minutos a temperatura ambiente antes de la adición de la sonda radiomarcada y la electroforesis.

Las inmunoprecipitaciones Western fueron llevadas a cabo como sigue. Los lisados celulares fueron normalizados en cuanto al contenido total de proteína (50 mg) y sometidos a SDS-PAGE. Los anticuerpo primarios utilizados en estos estudios consistieron de STAT3 (Transduction Laboratories, Lexington, KY), STAT3 Y705 fosforilado (Cell Signaling, Beverly, MA) PARP (Cell Signaling, Beverly, MA), y beta-actina (Sigma, St. Louis, MO). La detección de proteínas fue lograda utilizando anticuerpos secundarios conjugados con peroxidasa de rábano y el kit de quimioluminiscencia potenciada (ECL) de Amersham Biosciences (Piscataway, NJ).

Las células A549 fueron transfectadas sin oligonucleótidos, antisentido u oligonucleótidos no coincidente y después de 24 horas las células fueron recolectadas y se prepararon extractos de proteína total y nucleares. La transferencia Western revelo una reducción en el contenido total de proteína de STAT3 de las células por ISIS 113176, mientras que no se vio reducción en células tratadas con el oligonucleótido de control no coincidente o en células no tratadas. La reducción de los niveles de STAT3 fue acompañada por la activación de la apoptosis como lo evidencia la escisión de (PARP) tan pronto como en 24 horas después de la transfección, mientras que no se observo escisión de PARP en las células tratadas con el control no coincidente o no tratadas. Según se ensayo con EMSA, la inhibición antisentido de STAT3 dio como resultado una inhibición casi completa de la actividad de enlazamiento de ADN a STAT3, mientras que el tratamiento con oligonucleótidos no coincidentes no afecto la actividad de enlazamiento de ADN a STAT3. El examen fotomicroscópico de células tratadas con ISIS 113176 durante 48 horas revelo números reducidos y apariencia de tamaño y forma celular alterados con incremento acompañante en los residuos celulares y en células vacuoladas. Por el contario, las células tratadas con el oligonucleótido de control no coincidente parecieron no tener cambios en el número de células, tamaño, forma ni en tener residuos celulares incrementados que sugieran muerte celular. Para proveer evidencia adicional para soportar el papel de STAT3 en el control de la apoptosis en células A549, las células fueron recolectadas y probadas en cuanto a fragmentación de ADN por incorporación de Apo-BrdU. Los resultados de los tres experimentos independientes fueron reunidos y se determino el porcentaje de apoptosis por el porcentaje de células que incorporaron Apo-BrdU. Las células tratadas con oligonucleótidos antisentido de STAT3 tenían una incorporación de Apo-BrdU incrementada, aproximadamente 16 veces con respecto a la de las células tratadas con el control no coincidente y aproximadamente 48 veces la de las células de control no tratadas, resultados que son indicativos de la apoptosis. Las células no tratadas y las tratadas con control no coincidente tuvieron una evidencia mínima de ADN mellado. Por lo tanto, la inhibición antisentido de STAT3 indujo la apoptosis, según lo indica la escisión de PARP y la fragmentación de ADN, en células de carcinoma de pulmón A549.

Para extender los hallazgos con células A549, se llevaron a cabo experimentos similares con células de carcinoma de pulmón H358 y H1299. La inhibición antisentido de STAT3 dio como resultado la pérdida de la proteína de STAT3 en células tanto H358 como H1299 en comparación con tratamiento con el oligonucleótido de control no coincidente. La activación de rutas apoptóticas fue demostrada en células H358, evidenciadas por la escisión de PARP en células tratadas con ISIS 113176, mientras que no se vio evidencia de apoptosis en células H1299, a pesar de la proteína STAT3 ausente.

El efecto del tratamiento con oligonucleótidos antisentido de STAT3 También fue establecido en células de carcinoma de pulmón H460 que tuvieron mínima actividad de enlazamiento de ADN de STAT3. Las células H460 fueron transfectadas con hasta 10 m de ISIS 113176 o ISIS 129987 por electroporación. La actividad de STAT3 medida por EMSA mostró una mínima actividad de enlazamiento de ADN, la cual fue reducida por la inhibición

antisentido de STAT3 pero no por el tratamiento con el oligonucleótido de control no coincidente. No fueron evidentes efectos sobre la morfología celular o el número de células, la apoptosis no se incremento (0.53% y 0.27% de células apoptóticas después del tratamiento con ISIS 129987 e ISIS 113176, respectivamente), y no se observo incorporación incrementada de Apo-BrdU. Estos datos soportan la conclusión de que la inhibición antisentido de STAT3 es específica y no induce la muerte celular en células H460, las cuales tienen mínima actividad de STAT3.

A partir de estos datos, es evidente que la inhibición antisentido de STAT3 dio como resultado la apoptosis en células A549 y H358 mientras que no se vio observación de apoptosis en células H1299 o H460. Estos hallazgos demuestran que la inhibición directa de STAT3 lleva a la muerte celular apoptótica y sugiere que la STAT3 controla las rutas apoptóticas en ciertas células de cáncer pulmonar humano.

10 Ejemplo 32

5

15

35

40

45

50

Inhibición antisentido de STAT3 humana en células de cáncer de próstata

La patogénesis de mieloma múltiple involucra la activación de STAT3 por la citoquina IL-6, la cual evita la apoptosis. Obedeciendo a la asociación de citoquinas, incluyendo la IL-6, con el cáncer de próstata, se investigo la función de la STAT3 en células de cáncer de próstata. En una realización adicional, células DU145 sometidas a inhibición antisentido de STAT3 fueron evaluadas en cuanto a la actividad de STAT3, apoptosis y proliferación. Los procedimientos usados en estos ensayos fueron descritos en detalle por Mora, et al. (Cancer Research, 2002, 62, 6659-6666).

Las células de cáncer de próstata DU145 fueron obtenidas de ATCC (Manassas, VA) y fueron cultivadas en medio RPMI suplementado con suero bovino fetal al 10%. Las células fueron tratadas con 250 nM de ISIS 113176 (SEQ ID NO: 115) o ISIS 129987 (GCTCCAATACCCGTTGCTTC, SEQ ID NO: 404), un oligonucleótido de control no coincidente que no direcciona a STAT3. Las células fueron sembradas a una densidad de 2 X 10⁶ células en una placa de 10 cm 18 horas antes de la transfección. Las células fueron transfectadas durante 3 horas con Lipofectamine™ Plus (Invitrogen Life Technologies, Carlsbad, CA) sola, con Lipofectamine ™ Plus e ISIS 113176 o con Lipofectamine™ Plus con ISIS 129987. Las células no tratadas sirvieron como control.

Después de 24 horas de tratamiento las células fueron recolectadas para aislar proteína y preparar el extracto nuclear. La actividad de enlazamiento de ADN de la STAT3 fue evaluada por el ensayo de desplazamiento por movilidad electroforética (EMSA) en extractos nucleares. Se incubaron 5 ug de proteína celular total con una sonda de oligonucleótido marcada con ³²P que se enlaza a las proteínas de STAT3 activadas. Los complejos proteína-ADN fueron resueltos por electroforesis en poliacrilamida no desnaturalizante y detectados por autorradiografía. Los niveles de proteína de STAT3 fueron evaluados por transferencia Western, utilizando un anticuerpo de Santa Cruz Biotechnology (Santa Cruz, CA). Las células transfectadas también fueron recolectadas y fijadas en etanol al 95% para la tinción inmunohistoquímica de STA3 fosforilada, utilizando un anticuerpo policional humano de conejo (Phospho-Tyr705-Stat3; Cell Signaling, Beverly, MA).

La EMSA revelo una actividad de enlazamiento de ADN de STAT3 altamente disminuida en las células DU145 transfectadas con ISIS 113176, en comparación con las células de control (oligonucleótido de control no coincidente, Lipofectaminern Plus solo o sin tratamiento). Un anticuerpo de STAT3 bloqueó y desplazó esta actividad de enlazamiento de ADN, confirmando que la actividad corresponde a STAT3. La expresión de la proteína STAT3 fue reducida grandemente en células DU145 transfectadas con ISIS 113176, en comparación con células de control. Adicionalmente, la tinción de STAT3 fosforilada fue abolida en células transfectadas DU145. Estos datos demuestran que la inhibición antisentido de STAT3 dio como resultado una reducción en los niveles de proteína de STAT3, incluyendo STAT3 fosforilada, y en la actividad de enlazamiento de ADN de STAT3.

La apoptosis en células DU145 de control y transfectadas fue evaluada midiendo los niveles de caspasa-3, usando un anticuerpo específico para caspasa-3 activada, de acuerdo con el protocolo del fabricante (Becton Dickinson PharMingen, San Diego, CA). La tinción fue analizada por citometría de flujo. La proliferación celular fue medida contando el número de células viables utilizando un hemocitómetro y exclusión por coloración con azul de tripano. Las caspasa-3 activada fue aproximadamente 5%, 7% y 18% de los controles no tratados en células que recibieron Lipofectamine™ Plus solo, ISIS 129987 o ISIS 113176, respectivamente, demostrando un incremento en la apoptosis después de la inhibición antisentido de STAT3. La proliferación celular también fue suprimida durante un periodo de 48 horas y no se elevo por encima de 3 X 10⁶ células en muestras tratadas con ISIS 113176. El número de células tratadas con control no coincidente y Lipofectamine-Plus se incremento durante el mismo periodo de 48 horas, a aproximadamente 5 X 10⁶ y 9 X 10⁶ células, respectivamente.

Ejemplo 33

Fosforotioato u oligonucleótidos quiméricos direccionados a STAT3 de ratón con alas 2'-MOE y una brecha desoxi

De acuerdo con la presente divulgación, se diseño una serie adicional de oligonucleótidos para direccionar a diferentes regiones de la STAT3 de ratón, utilizando secuencias publicadas (número de acceso GenBank® U06922, incorporada aquí como SEQ ID NO: 82, el complemento de los nucleótidos 12369484 a 12421464 de número de

acceso GenBank[®] NT_039521.2, incorporada aquí como SEQ ID NO: 461; número de acceso GenBank[®] NM_213659.1, incorporada aquí como SEQ ID NO: 462; y número de acceso GenBank[®] NM_011486.3, incorporada aquí como SEQ ID NO: 463). Los oligonucleótidos se muestran en la Tabla 52. "Sitio objetivo" indica el primer número de nucleótido (más cercano a 5') en la secuencia objetivo particular al cual se enlaza el oligonucleótido. Todos los compuestos en la Tabla 52 son oligonucleótidos quiméricos ("oligómeros con brecha") de 20 nucleótidos de longitud, compuestos de una región "brecha" central consistente de diez 2'-desoxinucleótidos, la cual está flanqueada en ambos lados (direcciones 5' y 3') por "alas" de cinco nucleótidos. Las alas están compuestas de 2'-Ometoxietilo (2'-MOE) nucleótidos. Los enlaces internucleósido (esqueleto) son fosforotioato (P=S) a lo largo del oligonucleótido. Todos los residuos de citidina son 5-metilcitidinas.

5

- Los compuestos fueron analizados en cuanto a su efecto sobre los niveles de ARNm de STAT3 de ratón mediante PCR en tiempo real tal como se describió en otro ejemplo aquí. Los datos son promedio de 2 experimentos en los cuales las células b.END fueron tratadas con 75 nM de oligonucleótidos antisentido.
- La línea celular b.END endotelial de cerebro de ratón fue obtenida del Dr. Werner Risau en el Max Plank Institute (Bad Nauheim, Alemania). Las células b.END fueron cultivadas de manera rutinaria en DMEM, con alta glucosa (Invitrogen Life Technologies, Carlsbad, CA) suplementado con suero bovino fetal al 10% (Invitrogen Life Technologies, Carlsbad, CA). Las células fueron pasadas de rutina por tripsinización y dilución cuando alcanzaron aproximadamente 90% de confluencia. Las células fueron sembradas en placas de 96 pozos (Falcon-Primaria #3872, BD Biosciences, Bedford, MA) a una densidad de aproximadamente 3000 células/pozo para uso en experimentos de transfección con compuestos oligoméricos.
- Las sondas y cebadores para STAT3 de ratones fueron diseñadas para hibridar una secuencia de STAT3 de ratón, utilizando información de secuencia publicada (número de acceso GenBank® NMR_213659.1, incorporada aquí como SEQ ID NO: 462). Para STAT3 de ratón los cebadores de PCR fueron: cebador de avance: GCCACGTTGGTGTTTCATAATCT (SEQ ID NO: 464) cebador inverso: GATAGAGGACATTGGACTCTTGCA (SEQ ID NO: 465) y la sonda de PCR fue: FAM-TTGGGTGAAATTGACCAGCAATATAGCCG-TAMRA (SEQ ID NO: 466) donde FAM es el colorante fluorescente y TAMRA es el colorante de detención.

Tabla 52

desoxi	ato u oligonucie	eotidos quime	ericos airec	cionados a STAT3 de ratón con ala:	s 2 -MOE y ur	ia brecha
Isis#	Región	SEQ ID NO Objetivo	Sitio objetivo	Secuencia	% inhibición	SEQ ID NO
106747	Codificación	82	2017	GCCCATGATGATTTCAGCAA	70	58
133003	3´UTR	82	2527	AAAAAGTGCCCAGATTGCCC	76	99
337269	Codificación	82	339	TTCTCAAGATACCTGCTCTG	41	183
337270	Codificación	82	344	TTGGCTTCTCAAGATACCTG	76	184
337287	Codificación	82	627	TGGTTGTTTCCATTCAGATC	60	201
337289	Codificación	82	660	TCCAGCTGCTGCATCTTCTG	65	203
337294	Codificación	82	783	CTCTTCCAGTCAGCCAGCTC	51	208
337298	Codificación	82	873	AGTTGAGATTCTGCTAATGA	35	212
337299	Codificación	82	878	TCTGAAGTTGAGATTCTGCT	69	213
337302	Codificación	82	1110	TTGACCAGCAACCTGACTTT	30	216
337303	Codificación	82	1134	AGCTGATAATTCAACTCAGG	76	217
337304	Codificación	82	1139	TTTTAAGCTGATAATTCAAC	1	218
337317	Codificación	82	1412	CTAGGTCAATCTTGAGGCCT	50	231
337319	Codificación	82	1425	AAGGAGTGGGTCTCTAGGTC	9	233
337320	Codificación	82	1430	CTGGCAAGGAGTGGGTCTCT	55	234

Fosforotio desoxi	oato u oligonucle	eótidos quimé	éricos direc	cionados a STAT3 de ratón con alas	s 2'-MOE y ur	a brecha
Isis#	Región	SEQ ID NO Objetivo	Sitio objetivo	Secuencia	% inhibición	SEQ ID NO
337322	Codificación	82	1457	TCTGACAGATGTTGGAGATC	32	236
337323	Codificación	82	1462	TGGCATCTGACAGATGTTGG	54	237
337328	Codificación	82	1686	CATGTGATCTGACACCCTGA	51	242
337329	Codificación	82	1691	TAGCCCATGTGATCTGACAC	52	243
337331	Codificación	82	1721	CCTTGCCAGCCATGTTTTCT	57	245
337332	Codificación	82	1726	GAAGCCCTTGCCAGCCATGT	77	246
337334	Codificación	82	1736	CCCAGAAGGAGAAGCCCTTG	47	248
337337	Codificación	82	1992	ATGTTGTTCAGCTGCTT	62	251
337338	Codificación	82	1997	ATGACATGTTGTTCAGCTGC	77	252
337339	Codificación	82	2002	AGCAAATGACATGTTGTTCA	53	253
337340	Codificación	82	2007	ATTTCAGCAAATGACATGTT	44	254
337341	Codificación	82	2012	TGATGATTTCAGCAAATGAC	42	255
337342	Codificación	82	2022	TTATAGCCCATGATGATTTC	10	256
337343	Codificación	82	2027	TGATCTTATAGCCCATGATG	70	257
337344	Codificación	82	2032	ATCCATGATCTTATAGCCCA	70	258
337375	3´UTR	82	2704	ACCAGGAGGCACTTGTCTAA	59	89
367289	Intrón	461	3664	CTTAATTCTTAGAGATCCAC	66	467
367290	Intrón 1	461	13469	CACACTAATGCAAGATGCTA	51	468
367291	Intrón	461	24761	AAAAAGTGATCTACCAACAG	25	469
367292	Exón 8: Intrón 8	461	34889	CAACTCTTACCAGTTTTCCA	0	470
367293	Codificación	82	2253	ATCAATGAATCTAAAGTGCG	18	471
367294	Codón de inicio	462	147	CACTGAGCCATCCTGCTGCA	50	472
367295	Codón de inicio	462	156	AGCTGGTTCCACTGAGCCAT	60	473
367296	Codificación	462	380	TGTGCTGATAGAGGACATTG	70	474
367297	Codificación	462	475	AGACTCTTCCCACAGGCATC	63	475
367298	Codificación	462	864	CAGTCAGCCAGCTCTTCATC	52	476
367299	Codificación	462	940	AGTTATCCAGTTTTCCAGAC	40	477
367300	Codificación	462	990	TCCAGTTTCTTAATTTGTTG	44	478
367301	Codificación	462	1016	TGTAGGACACTTTCTGCTGC	62	479
367302	Codificación	462	1169	ACTGGACACCAGTCTTGATG	14	480

Fosforotio desoxi	oato u oligonucle	eótidos quime	éricos direc	cionados a STAT3 de ratón con ala	s 2'-MOE y ur	na brecha
Isis#	Región	SEQ ID NO Objetivo	Sitio objetivo	Secuencia	% inhibición	SEQ ID NO
367303	Codificación	462	1231	TTTAATTTTAAGCTGATAAT	0	481
367304	Codificación	462	1236	CACACTTTAATTTTAAGCTG	40	482
367305	Codificación	462	1241	CAATGCACACTTTAATTTTA	15	483
367306	Codificación	462	1300	GCCCAGAATGTTAAATTTCC	54	484
367307	Codificación	462	1379	CCCTAAGGGTCAGGTGCTTG	69	485
367308	Codificación	462	1398	CCATTCCCACATCTCTGCTC	55	486
367309	Codificación	462	1458	AAGGTGATCAGGTGCAGCTC	44	487
367310	Codificación	462	1505	GGGTCTCTAGGTCAATCTTG	46	488
367311	Codificación	462	1525	CACCACAACTGGCAAGGAGT	75	489
367312	Codificación	462	1588	GGTCAGCATGTTATACCACA	69	490
367313	Codificación	462	1647	ACTTGGTCCCAGGTTCCAAT	54	491
367314	Codificación	462	1763	GACACCCTGAGTAGTTCACA	58	492
367315	Codificación	462	1803	CCAGCCATGTTTTCTTTGCA	50	493
367316	Codificación	462	1842	ATGATATTGTCTAGCCAGAC	49	494
367317	Codificación	462	1868	CCAAGATATACTTTTCACA	30	495
367318	Codificación	462	1883	CTTCATTCCAAAGGGCCAAG	23	496
367319	Codificación	462	2005	CCAAGTGAAAGTGACCCCTC	25	497
367320	Codificación	462	2023	ACTGATGTCCTTTTCCACCC	50	498
367321	Codificación	462	2033	GGGTCTTGCCACTGATGTCC	50	499
367322	Codificación	462	2043	GACTGGATCTGGGTCTTGCC	67	500
367323	Codificación	462	2273	CACAGATGAACTTGGTCTTC	32	501
367324	Codificación	462	2283	GTTGGTGTCACACAGATGAA	35	502
367325	Codificación	462	2303	CAATGGTATTGCTGCAGGTC	50	503
367326	Codificación	462	2308	CAGGTCAATGGTATTGCTGC	64	504
367327	Codificación	462	2341	CATCAATGAATCTAAAGTGC	72	505
367328	Codificación	462	2346	AACTGCATCAATGAATCTAA	50	506
367329	Codificación	462	2351	TTCCAAACTGCATCAATGAA	40	507
367330	Codificación	462	2356	GTTATTTCCAAACTGCATCA	46	508
367331	Codificación	462	2423	AGGTCAGATCCATGTCAAAC	61	509
367332	3´UTR	462	2893	AGTCCTAGCTTCTATGTGGA	70	510
367333	3´UTR	462	2307	ATCAATGAATGGTGTCACAC	0	511
	1	1	i .		1	1

Ejemplo 34

20

25

30

35

40

45

50

55

60

Inhibición antisentido de STAT3 lleva a muerte celular e inhibición del crecimiento tumoral en un modelo de mieloma múltiple

En una realización adicional, fue investigado el requerimiento para STAT3 en el desarrollo de mieloma múltiple y en el crecimiento de tumores derivados de mieloma múltiple. Ratones transgénicos NPM-ALK (NPM-ALK Tg) desarrollaron espontáneamente mieloma múltiple caracterizado por STAT3 activado constitutivamente. Para determinar si la STAT3 es requerida para el desarrollo de mieloma múltiple, la STAT3 fue perturbada genéticamente en células B de ratones NPM-ALK Tg. El locus de STAT3 de ratón fue manipulado para contener sitios de reconocimiento de Cre recombinasa (sitios loxP) como fue descrito previamente (Raz et al., PNAS, 1999, 96, 2846-10 2851). Cuando los ratones que portaban este locus de STAT3 modificado fueron cruzado con ratones que alojaba un transgen de Cre combinasa, la Cre combinasa corta la porción del locus flanqueada por los sitios loxP, dando como resultado un locus STAT3 borrado. Los ratones NPM-ALK Tg fueron cruzados para introducir el gen STAT3 perturbado condicionalmente. Estos ratones fueron cruzados entonces con ratones que portaban un transgen Cre específico de CD 19+, el cual expresa Cre bajo el control del gen CD19 restringido del linaje B (Rickert et al., Nuc. 15 Acids Res., 1997, 25, 1317). Las crías resultantes alojaban una eliminación específica en células B del gen STAT3. Las células B pueden ser identificadas por el antígeno CD19, y maduran en las células de plasma responsables del mieloma múltiple, las cuales son identificadas por la presencia de los antígenos tanto CD19 como CD 138.

Los ratones fueron cruzado como se describió y la genotipia de las crías revelo que más del 80% de todas las células CD19+ o CD138+ (identificadas como se describió previamente, Chiarle et al., Blood, 2003, 101, 1919-1927) sufrieron eliminación de STAT3. Además, en 23 animales NPM-ALK Tg deficientes en STAT3 examinados, no se detectaron células de mieloma múltiple negativas a STAT3. Se prepararon extractos nucleares a partir de estas células como se describió previamente (Mora et al., Cancer Res. 62:6659, 2002). La detección de STAT3 fosforilado en extracto nucleares por transferencia Western como se describe aquí revelo que todas las células de mieloma múltiple CD138+ en estos ratones contenían STAT3 fosforilado nuclear detectable. Según se determino por transferencia Southern (como se describe en Raz et al., PNAS, 1999, 96, 2846-2851), el gen STAT3 en estas células estaba intacto. Estos datos demuestran que el STAT3 es absolutamente requerido para la transformación de las células de plasma.

Las células CD19+ positivas para STAT3 dieron como resultado el desarrollo de mieloma múltiple, y las células con mieloma múltiple fueron trasplantadas en ratones receptores. Los efectos de la inhibición antisentido de STAT3 fueron probados en los tumores resultantes. Las células de mieloma múltiple fueron inyectadas por vía subcutánea (2 X 10⁶ células) o intravenosa (1 X 10⁷ células) en ratones lampiños o singenéicos (ratones Balb/c). Los animales con tumores de mieloma múltiple medibles (aproximadamente 0.5 mm³) fueron inyectados diariamente con ISIS 17152 (SEQ ID NO: 99) o el oligonucleótido de control ISIS 28084 (SEQ ID NO: 151) a una dosis de 20 mg/kg durante 14 días. Las inyecciones fueron administradas por vía subcutánea, contralateralmente a los tumores. Cada grupo de tratamiento incluyo de 3 a 9 animales.

Después de 15 días de tratamiento con oligonucleótido, el crecimiento tumoral en animales inyectados con ISIS 17152 fue reducido a 15% con respecto al de los animales inyectados con oligonucleótido de control. Según se juzga por el análisis histológico de rutina, los tumores tratados con ISIS 17152 desplegaron áreas necróticas grandes a lo largo de los mismos, en comparación con los tumores tratados con el oligonucleótido de control, el cual muestra solamente cifras apoptóticas sencillas. Adicionalmente, los niveles de IgM en suero, los cuales se incrementan en mieloma múltiple, fueron medidos por ELISA usando un kit disponible comercialmente (por ejemplo, OPT-EIA™, BD Biosciences Pharmingen, San Diego, CA) y se encontró que disminuyeron en animales tratados con ISIS 17152, en comparación con los animales tratados con el oligonucleótido de control. Adicionalmente, la rata global de supervivencia de los animales que recibieron el tratamiento con ISIS 17152 se incremento significativamente, con respecto a los animales de control.

Se llevo a cabo un experimento similar en ratones en los cuales se habían desarrollado tumores de 1 cm³, para probar los efectos de la inhibición antisentido de STAT3 sobre tumores bien establecidos. Los ratones fueron tratados diariamente durante 14 días con 40 mg/kg de ISIS 17152 o del oligonucleótido de control. En este experimento, se observo necrosis tumoral y detención del ciclo de células tumorales como resultado de la inhibición antisentido de STAT3.

La apoptosis en tumores fue evaluada por la tinción con Annexin-V, utilizando un kit de tinción Annexin-V (Clontech, Palo Alto, CA) de acuerdo con las instrucciones del fabricante. En resumen, las células fueron resuspendidas en 0.2 mL de regulador de tinción (HEPES 10 mM, pH 7.4, NaCl 140 mM, CaCl₂ 5 mM) y 10 μL de yoduro de propidio (50 μg/ml) y 5 μL de reactivo Annexin-V que fueron agregados a 4°C durante 10 minutos. Las muestras fueron diluidas con el regulador FacsFlow y analizadas sobre un Becton Dickinson FACScanTM (Mountain View, CA). En células tumorales de ratones que recibieron el oligonucleótido antisentido direccionado a STAT3, se observo un incremento de aproximadamente 2 veces en las células tumorales positivas a Annexin-V, en comparación con el control. La apoptosis también fue evaluada por tinción TUNEL, llevada a cabo usando un kit comercialmente disponible (por ejemplo, APO-DIRECTTM, Pharmingen, BD Biosciences, San Diego, CA) de acuerdo con las instrucciones del fabricante. En células tumorales de ratones tratados con ISIS 17152, estuvieron presentes grandes áreas de células

positivas a TUNEL, en contraste con los tumores tratados con el oligonucleótido de control. Estos datos demuestran que la inhibición antisentido produjo apoptosis en tumores de mieloma múltiple trasplantados.

La detención del ciclo celular fue evaluada por citometría de flujo. Se prepararon células como se describe aquí. Las células de tumores tratados con ISIS 17152 (dosis de 20 mg/kg) exhibieron una reducción del 45% en la población en fase S, en comparación con células de tumores tratados con control. Así, la inhibición antisentido de STAT3 lleva a una detención en la fase G1 del ciclo celular.

5

10

Los tumores de mieloma múltiple primarios y tumores trasplantados fueron evaluado por transferencia Western para la expresión de STAT3, STAT3 fosforilada, Bcl-xL, survivina, ERK, ERK fosforilada y c-myc. Los lisados de proteína fueron preparados y sometidos a análisis por transferencia Western, utilizando anticuerpos disponibles comercialmente (anticuerpos de STAT3 y STAT3 fosforilada obtenidos como se describió aquí; otros anticuerpos están disponibles en Santa Cruz Biotechnology, Santa Cruz, CA). Tanto en tumores de mieloma múltiple primarios como trasplantados, se observaron altos niveles de estas proteínas, indicando que las células del tumor trasplantadas exhiben características similares a las células tumorales primarias.

También se probaron tratamientos de combinación en el modelo de ratón de mieloma múltiple. Animales que portaban tumores originados de células de mieloma múltiple trasplantadas fueron tratados con ISIS 17152 en combinación con bortezomib (conocido comercialmente como Velcade[®], Millenium Pharmaceuticals, Cambridge, MA) o ciclofosfamida (conocida comercialmente como Endoxana[®], AstaMedica, Frankfurt, Alemania). Un grupo de tratamiento, consistente de al menos 10 animales, recibe una dosis subcutánea diaria de ISIS 17152 a 20 mg/kg, en combinación con bortezomib, durante 14 días. El bortezomib es administrado por vía intravenosa a dosis que varían desde 0.05 mg/kg a 1.0 mg/kg, dos veces a la semana para el periodo de estudio de 14 días. Un grupo de tratamiento adicional, consistente de al menos 10 animales, recibe una dosis diaria subcutánea de ISIS 17152 a 20 mg/kg, en combinación con ciclofosfamida. La ciclofosfamida se administra intraperitonealmente a una dosis de 35 mg/kg, dos veces a la semana durante el periodo de estudio de 14 días. En los grupos de tratamiento de combinación, se evalúan los siguientes puntos finales: crecimiento tumoral, rata de supervivencia, niveles de IgM en suero, apoptosis, detención del ciclo celular, niveles de proteína de STAT3 y STAT3 fosforilada, y necrosis tumoral.

Estos datos demuestran que la inhibición antisentido de STAT3 lleva a una detención de la fase G1, muerte celular e inhibición del crecimiento tumoral *in vivo*. Así, los oligonucleótidos antisentido direccionados a STAT3 son agentes terapéuticos con aplicaciones en el tratamiento de mieloma múltiple.

```
Listado de secuencias
      <110> Isis Pharmaceuticals, Inc.
      <120> modulación de oligonucleótidos antisentido de la expresión STAT3
      <130> ISPH-0883
 5
      <140>
      <141>
      <150> 10/773,678
      <151> 2004-02-06
      <150> 10/713,139
10
      <151> 2003-11-14
      <150> 09/758,881
      <151> 2001-01-11
      <150> PCT/US00/09054
      <151> 2000-04-06
15
      <150> 09/288,461
      <151> 1999-04-08
      <160> 511
      <170> Patentin Ver. 2.1 y FastSeq Ver. 4.0
      <210> 1
20
      <211> 2787
      <212> ADN
      <213> Homo sapiens
```

<400> 1

```
cagetggaat teggggegge ggegeagaet gggaggggga geegggggtt eegaegtege 60
   agecgaggga acaagececa aceggatect ggacaggeae eceggettgg egetgtetet 120 ececetegge teggagagge cetteggeet gagggageet egeegeegt eceeggeaea 180
   egegeageee eggeeteteg geetetgeeg gagaaacagg atggeecaat ggaateaget 240
   acagcagctt gacacacggt acctggagca gctccatcag ctctacagtg acagcttccc 300
   aatggagctg cggcagtttc tggccccttg gattgagagt caagattggg catatgcggc 360
   cagcaaagaa tcacatgcca ctttggtgtt tcataatctc ctgggagaga ttgaccagca 420
   gtatagccgc ttcctgcaag agtcgaatgt tctctatcag cacaatctac gaagaatcaa 480
   gcagtttctt cagagcaggt atcttgagaa gccaatggag attgcccgga ttgtggcccg 540
   gtgcctgtgg gaagaatcac gccttctaca gactgcagcc actgcggccc agcaaggggg 600
   ccaggccaac caccccacag cagccgtggt gacggagaag cagcagatgc tggagcagca 660
   ccttcaggat gtccggaaga gagtgcagga tctagaacag aaaatgaaag tggtagagaa 720
   tetecaggat gaetttgatt teaactataa aacceteaag agteaaggag acatgeaaga 780
   tctgaatgga aacaaccagt cagtgaccag gcagaagatg cagcagctgg aacagatgct 840
   cactgogctg gaccagatgc ggagaagcat cgtgagtgag ctggcggggc ttttgtcagc 900
   gatggagtac gtgcagaaaa ctctcacgga cgaggagctg gctgactgga agaggcggca 960
   acagattgcc tgcattggag gcccgcccaa catctgccta gatcggctag aaaactggat 1020
   aacgtcatta gcagaatctc aacttcagac ccgtcaacaa attaagaaac tggaggagtt 1080
   gcaccaaaaa gtttcctaca aaggggaccc cattgtacag caccggccga tgctggagga 1140
   gaggategtg gagetgttea gaaacttaat gaaaagtgee tttgtggtgg ageggeagee 1200
   ctgcatgccc atgcatcctg accggcccct cgtcatcaag accggcgtcc agttcactac 1260
   taaagtcagg ttgctggtca agttccctga gttgaattat cagcttaaaa ttaaagtgtg 1320
   cattgacaaa gactctgggg acgttgcagc tctcagagga tcccggaaat ttaacattct 1380
   gggcacaaac acaaaagtga tgaacatgga agaatccaac aacggcagcc tctctgcaga 1440
   attcaaacac ttgaccctga gggagcagag atgtgggaat gggggccgag ccaattgtga 1500
   tgcttccctg attgtgactg aggagctgca cctgatcacc tttgagaccg aggtgtatca 1560
   ccaaggtctc aagattgacc tagagaccca ctccttgtca gttgtggtga tctccaacat 1620
   ctgtcagatg ccaaatgcct gggcgtccat cctgtggtac aacatgctga ccaacaatcc 1680
   caagaatgtg aacttcttca ctaagccqcc aattggaacc tgggaccaag tggccgaggt 1740
   gctcagctgg cagttctcgt ccaccaccaa gcgggggctg agcatcgagc agctgacaac 1800
   gctggctgag aagctcctag ggcctggtgt gaactactca gggtgtcaga tcacatgggc 1860
   taacttctgc aaagaaaaca tggctggcaa gggcttctcc tactgggtct ggctagacaa 1920
   tatcatcgac cttgtgaaaa agtatatctt ggccctttgg aatgaagggt acatcatggg 1980
   tttcatcagc aaggagcggg agcgggccat cttgagcact aagcccccag gcaccttcct 2040
   gctgcgcttc agtgaaagca gcaaagaagg aggcgtcact ttcacttggg tggagaagga 2100
   catcagcggt aagacccaga tccagtccgt ggaaccatac acaaagcagc agctgaacaa 2160
   catgtcattt gctgaaatca tcatgggcta taagatcatg gatgctacca atatcctgtt 2220
   gtctccactt gtctatctct atcctgacat tcccaaggag gaggcattcg ggaagtattg 2280
   teggecagag agecaggage atectgaage tgacceaggt agegetgece catacetgaa 2340
   gaccaagttt atctgtgtga caccaacgac ctgcagcaat accattgacc tgccgatgtc 2400
   cccccgcgct ttagattcat tgatgcagtt tggaaataat ggtgaaggtg ctgaaccctc 2460
   agcaggaggg cagtttgagt ccctcacctt tgacatggag ttgacctcgg agtgcgctac 2520
   ctccccatg tgaggagctg agaacggaag ctgcagaaag atacgactga ggcgcctacc 2580
   tgcattctgc cacccctcac acagccaaac cccagatcat ctgaaactac taactttgtg 2640
   gttccagatt ttttttaatc tcctacttct gctatctttg agcaatctgg gcacttttaa 2700
   aaatagagaa atgagtgaat gtgggtgatc tgcttttatc taaatgcaaa taaggatgtg 2760
   ttctctgaga cccatgatca ggggatg
<210> 2
<211> 20
<212> ADN
<213> Secuencia Artificial
```

5

<220>

<223> Oligonucleótido Antisentido

	<400> 2
	gtctgcgccg ccgcccgaa 20
	<210> 3
5	<211> 20
	<212> ADN
	<213> Secuencia Artificial
	<220>
10	<223> Oligonucleótido Antisentido
	1220 Ongonacionado inicionida
	<400> 3
	ggccgaaggg cctctccgag 20
15	<210> 4
	<211> 20
	<212> ADN
	<213> Secuencia Artificial
20	<220>
	<223> Oligonucleótido Antisentido
	<400> 4
	tcctgtttct ccggcagagg 20
25	
	<210> 5
	<211> 20
	<212> ADN
20	<213> Secuencia Artificial
30	<220>
	<223> Oligonucleótido Antisentido
	12207 Oligoriadiedilad Artiserilad
	<400> 5
35	
	<210> 6

	<211> 20
	<212> ADN
	<213> Secuencia Artificial
5	<220>
	<223> Oligonucleótido Antisentido
	<400> 6
	gccatcctgt ttctccggca 20
10	
	<210> 7
	<211> 20
	<212> ADN
	<213> Secuencia Artificial
15	
	<220>
	<223> Oligonucleótido Antisentido
	400 =
20	<400> 7
20	gggccatcct gtttctccgg 20
	<210> 8
	<211> 20
	<212> ADN
25	<213> Secuencia Artificial
23	2102 Goodellola Altinolal
	<220>
	<223> Oligonucleótido Antisentido
	•
30	<400> 8
	ttgggccatc ctgtttctcc 20
	<210> 9
	<211> 20
35	<212> ADN
	<213> Secuencia Artificial

	<220>
	<223> Oligonucleótido Antisentido
5	<400> 9
	cattgggcca tcctgtttct 20
	<210> 10
	<211> 20
10	<212> ADN
	<213> Secuencia Artificial
	<220>
	<223> Oligonucleótido Antisentido
15	
	<400> 10
	tccattgggc catcctgttt 20
	<210> 11
20	<211> 20
	<212> ADN
	<213> Secuencia Artificial
	<220>
25	<223> Oligonucleótido Antisentido
	<400> 11
	attccattgg gccatcctgt 20
30	<210> 12
	<211> 20
	<212> ADN
	<213> Secuencia Artificial
	<220>
35	<223> Oligonucleótido Antisentido

	<400> 12
	tgattccatt gggccatcct 20
	<210> 13
5	<211> 20
	<212> ADN
	<213> Secuencia Artificial
	<220>
10	<223> Oligonucleótido Antisentido
	100 10
	<400> 13
	gctgattcca ttgggccatc 20
15	<210> 14
	<211> 20
	<212> ADN
	<213> Secuencia Artificial
20	<220>
	<223> Oligonucleótido Antisentido
	<400> 14
	tagctgattc cattgggcca 20
25	
	<210> 15
	<211> 20
	<212> ADN
	<213> Secuencia Artificial
30	
	<220>
	<223> Oligonucleótido Antisentido
	<400> 15
35	tgtagctgat tccattgggc 20
	igiagoigai ioodiigggo 20

	<210> 16
	<211> 20
	<212> ADN
	<213> Secuencia Artificial
5	<220>
	<223> Oligonucleótido Antisentido
	<400> 16
	ctgtagagct gatggagctg 20
10	
	<210> 17
	<211> 20
	<212> ADN
	<213> Secuencia Artificial
15	
	<220>
	<223> Oligonucleótido Antisentido
	<400> 17
20	cccaatcttg actctcaatc 20
	<210> 18
	<211> 20
	<212> ADN
	<213> Secuencia Artificial
25	
	<220>
	<223> Oligonucleótido Antisentido
20	<400> 18
30	cccaggagat tatgaaacac 20
	<210> 19
	<211> 20
	<211> 20 <212> ADN
35	<213> Secuencia Artificial
55	~~ 10/ Occubilcia Altiliciai

	<220>
	<223> Oligonucleótido Antisentido
	<400> 19
5	acattcgact cttgcaggaa 20
	<210> 20
	<211> 20
	<212> ADN
10	<213> Secuencia Artificial
	<220>
	<223> Oligonucleótido Antisentido
	<400> 20
15	tctgaagaaa ctgcttgatt 20
	<210> 21
	<211> 20
	<212> ADN
20	<213> Secuencia Artificial
	<220>
	<223> Oligonucleótido Antisentido
25	<400> 21
	ggccacaatc cgggcaatct 20
	<210> 22
	<211> 20
30	<212> ADN
	<213> Secuencia Artificial
	<220>
	<223> Oligonucleótido Antisentido
35	-

<400> 22

	tggctgcagt ctgtagaagg 20
	<210> 23
	<211> 20
5	<212> ADN
	<213> Secuencia Artificial
	<220>
	<223> Oligonucleótido Antisentido
10	
	<400> 23
	ctgctccagc atctgctgct 20
	<210> 24
15	<211> 20
	<212> ADN
	<213> Secuencia Artificial
	<220>
	<223> Oligonucleótido Antisentido
20	
	<400> 24
	tttctgttct agatcctgca 20
	<210> 25
25	<211> 20
	<212> ADN
	<213> Secuencia Artificial
	Z 107 Goodonola / Italiolai
	<220>
30	<223> Oligonucleótido Antisentido
	<400> 25
	tagttgaaat caaagtcatc 20
35	<210> 26

<211> 20

	<212> ADN
	<213> Secuencia Artificial
	<220>
5	<223> Oligonucleótido Antisentido
	<400> 26
	ttccattcag atcttgcatg 20
10	040 07
10	<210> 27
	<211> 20
	<212> ADN <213> Secuencia Artificial
	<213> Secuencia Artificial
15	<220>
	<223> Oligonucleótido Antisentido
	•
	<400> 27
	tctgttccag ctgctgcatc 20
20	
	<210> 28
	<211> 20
	<212> ADN
	<213> Secuencia Artificial
25	
	<220>
	<223> Oligonucleótido Antisentido
	<400> 28
30	tcactcacga tgcttctccg 20
30	todotodoga tgottotoog 25
	<210> 29
	<211> 20
	<212> ADN
35	<213> Secuencia Artificial

	<220>
	<223> Oligonucleótido Antisentido
	<400> 29
5	gagttttctg cacgtactcc 20
	<210> 30
	<211> 20
	<212> ADN
10	<213> Secuencia Artificial
	<220>
	<223> Oligonucleótido Antisentido
15	.400. 20
15	<400> 30
	atctgttgcc gcctcttcca 20
	<210> 31
	<211> 20
20	<212> ADN
	<213> Secuencia Artificial
	<220>
	<223> Oligonucleótido Antisentido
25	
	<400> 31
	ctagccgatc taggcagatg 20
	<210> 32
30	<211> 20
	<212> ADN
	<213> Secuencia Artificial
	<220>
35	<223> Oligonucleótido Antisentido

	<400> 32
	cgggtctgaa gttgagattc 20
	<210> 33
5	<211> 20
	<212> ADN
	<213> Secuencia Artificial
	000
10	<220>
10	<223> Oligonucleótido Antisentido
	<400> 33
	cggccggtgc tgtacaatgg 20
15	<210> 34
	<211> 20
	<212> ADN
	<213> Secuencia Artificial
20	<220>
	<223> Oligonucleótido Antisentido
	<400> 34
	tttcattaag tttctgaaca 20
25	5 0
	<210> 35
	<211> 20
	<212> ADN
	<213> Secuencia Artificial
30	
	<220>
	<223> Oligonucleótido Antisentido
	<400> 35
35	aggatgcatg ggcatgcagg 20
J J	aggaigodig ggodigodgg 20

	<210> 36
	<211> 20
	<212> ADN
	<213> Secuencia Artificial
5	
	<220>
	<223> Oligonucleótido Antisentido
	<400> 36
10	gaccagcaac ctgactttag 20
	<210> 37
	<211> 20
	<212> ADN
15	<213> Secuencia Artificial
	<220>
	<223> Oligonucleótido Antisentido
••	
20	<400> 37
	atgcacactt taattttaag 20
	<210> 38
	<210> 38
25	<211> 20 <212> ADN
23	<213> Secuencia Artificial
	2107 Geodericia Artificial
	<220>
	<223> Oligonucleótido Antisentido
30	3
	<400> 38
	ttccgggatc ctctgagagc 20
	<210> 39
35	<211> 20
	<212> ADN

	<213> Secuencia Artificial	
	<220>	
	<223> Oligonucleótido Antisentido	
5		
	<400> 39	
	ttccatgttc atcacttttg 20	
	040 40	
10	<210> 40	
10	<211> 20	
	<212> ADN	
	<213> Secuencia Artificial	
	<220>	
15	<223> Oligonucleótido Antisentido	
13	C2237 Oligoriacieotido Artisertido	
	<400> 40	
	gtcaagtgtt tgaattctgc 20	
20	<210> 41	
	<211> 20	
	<212> ADN	
	<213> Secuencia Artificial	
25	<220>	
	<223> Oligonucleótido Antisentido	
	<400> 41	
	caatcaggga agcatcacaa	20
30	<210> 42	
	<211> 20	
	<212> ADN	
	<213> Secuencia Artificial	
35	<220>	

<223> Oligonucleótido Antisentido

	<400> 42	
	tacacctcgg tctcaaaggt	20
5	<210> 43	
	<211> 20	
	<212> ADN	
	<213> Secuencia Artificial	
10	<220>	
	<223> Oligonucleótido Antisentido	
	<400> 43	
	tgacaaggag tgggtctcta	20
15	0 00 0 000	
	<210> 44	
	<211> 20	
	<212> ADN	
	<213> Secuencia Artificial	
20		
	<220>	
	<223> Oligonucleótido Antisentido	
	<400> 44	
25	cgcccaggca tttggcatct	20
	<210> 45	
	<211> 20	
	<211> 20 <212> ADN	
30	<213> Secuencia Artificial	
30	<213> Secuencia Attilicial	
	<220>	
	<223> Oligonucleótido Antisentido	
35	<400> 45	

cattcttggg attgttggtc

20

	<210> 46	
	<211> 20	
	<212> ADN	
	<213> Secuencia Artificial	
5		
	<220>	
	<223> Oligonucleótido Antisentido	
	<400> 46	
10	cacttggtcc caggttccaa 20	
	<210> 47	
	<211> 20	
	<212> ADN	
15	<213> Secuencia Artificial	
	<220>	
	<223> Oligonucleótido Antisentido	
20	400 47	
20	<400> 47	20
	cccgcttggt ggtggacgag	20
	<210> 48	
	<211> 20	
25	<212> ADN	
	<213> Secuencia Artificial	
	<220>	
	<223> Oligonucleótido Antisentido	
30	<400> 48	
	agttcacacc aggccctagg 20	
	<210> 49	
	<211> 20	
35	<212> ADN	
	<213> Secuencia Artificial	

	<220>	
	<223> Oligonucleótido Antisentido	
5	<400> 49	
	gttttctttg cagaagttag 20	
	<210> 50	
	<211> 20	
	<212> ADN	
10	<213> Secuencia Artificial	
	<220>	
	<223> Oligonucleótido Antisentido	
15	<400> 50	
	atattgtcta gccagaccca 20	
	<210> 51	
	<211> 20	
20	<212> ADN	
	<213> Secuencia Artificial	
	<220>	
	<223> Oligonucleótido Antisentido	
	<400> 51	
25	aacccatgat gtacccttca	20
	<210> 52	
	<211> 20	
	<212> ADN	
30	<213> Secuencia Artificial	
	<220>	
	<223> Oligonucleótido Antisentido	
35	<400> 52	
	gcttagtgct caagatggcc 20	

	<210> 53
	<211> 20
	<212> ADN
5	<213> Secuencia Artificial
	<220>
	<223> Oligonucleótido Antisentido
10	<400> 53
	gctgctttca ctgaagcgca 20
	<210> 54
	<211> 20
	<212> ADN
15	<213> Secuencia Artificial
	<220>
	<223> Oligonucleótido Antisentido
20	<400> 54
	gtgaaagtga cgcctccttc 20
	040 55
	<210> 55
	<211> 20
25	<212> ADN
	<213> Secuencia Artificial
	<220>
	<223> Oligonucleótido Antisentido
30	
	<400> 55
	ctgatgtcct tctccaccca 20
	<210> 56
35	<210> 56 <211> 20
,,	<211> 20 <212> ADN
	1 <i> 11</i>

	<213> Secuencia Artificial
	<220>
	<223> Oligonucleótido Antisentido
5	
	<400> 56 actggatctg ggtcttaccg 20
	adiggatory gyroriadog 20
	<210> 57
10	<211> 20
	<212> ADN
	<213> Secuencia Artificial
	<220>
15	<223> Oligonucleótido Antisentido
	<400> 57
	aaatgacatg ttgttcagct 20
	<210> 58
20	<211> 20
	<212> ADN
	<213> Secuencia Artificial
	<220>
25	<223> Oligonucleótido Antisentido
	<400> 58
	gcccatgatg atttcagcaa 20
30	<210> 59
	<211> 20
	<212> ADN
	<213> Secuencia Artificial
35	<220>
<i></i>	<223> Oligonucleótido Antisentido

	<400> 59	
	tattggtagc atccatgatc 20	
5	<210> 60	
	<211> 20	
	<212> ADN	
	<213> Secuencia Artificial	
10	<220>	
	<223> Oligonucleótido Antisentido	
	<400> 60	
	atagacaagt ggagacaaca	20
15	<210> 61	
	<211> 20	
	<212> ADN	
	<213> Secuencia Artificial	
20	<220>	
	<223> Oligonucleótido Antisentido	
	<400> 61	
	ttgggaatgt caggatagag	20
25	<210> 62	
	<211> 20	
	<212> ADN	
	<213> Secuencia Artificial	
30	<220>	
	<223> Oligonucleótido Antisentido	
	<400> 62	
	ctcctggctc tctggccgac 20	
35		

<210> 63

	<211> 20	
	<212> ADN	
	<213> Secuencia Artificial	
5	<220>	
	<223> Oligonucleótido Antisentido	
	<400> 63	
	acctgggtca gcttcaggat	20
10		
	<210> 64	
	<211> 20	
	<212> ADN	
	<213> Secuencia Artificial	
15		
	<220>	
	<223> Oligonucleótido Antisentido	
	<400> 64	
20	cacagataaa cttggtcttc 20	
	240. 65	
	<210> 65 <211> 20	
	<211> 20 <212> ADN	
25	<213> Secuencia Artificial	
23	(213) Geodericia Artificial	
	<220>	
	<223> Oligonucleótido Antisentido	
	G	
30	<400> 65	
	atcggcaggt caatggtatt	20
	<210> 66	
	<211> 20	
	<212> ADN	
35	<213> Secuencia Artificial	

	<220>	
	<223> Oligonucleótido Antisentido	
	<400> 66	
5	ccaaactgca tcaatgaatc	20
	<210> 67	
	<211> 20	
	<212> ADN	
10	<213> Secuencia Artificial	
	<220>	
	<223> Oligonucleótido Antisentido	
15	<400> 67	
	ggttcagcac cttcaccatt	20
	<210> 68	
	<211> 20	
20	<212> ADN	
	<213> Secuencia Artificial	
	<220>	
	<223> Oligonucleótido Antisentido	
25	C2237 Oligoriacieotiao Antisentiao	
23	<400> 68	
	gagggactca aactgccctc	20
	9-999	
	<210> 69	
30	<211> 20	
	<212> ADN	
	<213> Secuencia Artificial	
	<220>	
25	222. Olimonuolo fitido Anticontido	

	<400> 69
	caactccatg tcaaaggtga 20
	<210> 70
	<211> 20
5	<212> ADN
	<213> Secuencia Artificial
	<220>
	<223> Oligonucleótido Antisentido
10	
	<400> 70
	ttctcagctc ctcacatggg 20
	<210> 71
15	<211> 20
	<212> ADN
	<213> Secuencia Artificial
20	<220>
20	<223> Oligonucleótido Antisentido
	<400> 71
	cgttctcagc tcctcacatg 20
	egitoloage tooloacatg 20
25	<210> 72
	<211> 20
	<212> ADN
	<213> Secuencia Artificial
30	<220>
	<223> Oligonucleótido Antisentido
	<400> 72
	tccgttctca gctcctcaca 20
35	
	<210> 73

	<211> 20	
	<212> ADN	
	<213> Secuencia Artificial	
5	<220>	
	<223> Oligonucleótido Antisentido	
	<400> 73	
	cttccgttct cagctcctca 20	
10	<210> 74	
	<211> 20	
	<212> ADN	
	<213> Secuencia Artificial	
15	<220>	
	<223> Oligonucleótido Antisentido	
	<400> 74	
	agetteegtt eteageteet 20	
20		
	<210> 75	
	<211> 20	
	<212> ADN	
	<213> Secuencia Artificial	
25		
	<220>	
	<223> Oligonucleótido Antisentido	
	<400> 75	
30	agaatgcagg taggcgcctc	20
	<210> 76	
	<211> 20	
	<212> ADN	
35	<213> Secuencia Artificial	
	<220>	

	<223> Oligonucleótido Antisentido	
	<400> 76	
	accacaaagt tagtagtttc	20
5		
	<210> 77	
	<211> 20	
	<212> ADN	
	<213> Secuencia Artificial	
10		
	<220>	
	<223> Oligonucleótido Antisentido	
	<400> 77	
15	tgctcaaaga tagcagaagt 20	
13	<210> 78	
	<211> 20	
	<212> ADN	
	<213> Secuencia Artificial	
20		
	<220>	
	<223> Oligonucleótido Antisentido	
	<400> 78	
25	attcactcat ttctctattt 20	
	<210> 79	
	<211> 20	
20	<212> ADN <213> Secuencia Artificial	
30	<213> Secuencia Antinciai	
	<220>	
	<223> Oligonucleótido Antisentido	
35	<400> 79	
	catttagata aaagcagatc	20

	<210> 80	
	<211> 20	
	<212> ADN	
5	<213> Secuencia Artificial	
	<220>	
	<223> Oligonucleótido Antisentido	
10	<400> 80	
	acatccttat ttgcatttag 20	
	<210> 81	
	<211> 20	
15	<212> ADN	
	<213> Secuencia Artificial	
	<220>	
	<223> Oligonucleótido Antisentido	
20		
	<400> 81	
	gatcatgggt ctcagagaac	20
	<210> 82	
	<211> 2869	
25	<212> ADN	
	<213> Mus musculus	
	<400> 82	

```
geogegacea geoaggeogg coagtoggge toagcoogga gacagtogag accootgact 60
gcagcaggat ggctcagtgg aaccagctgc agcagctgga cacacgctac ctgaagcagc 120
tgcaccagct gtacagcgac acgttcccca tggagctgcg gcagttcctg gcaccttgga 180
ttgagagtca agactgggca tatgcagcca gcaaagagtc acatgccacg ttggtgtttc 240
ataatctctt gggtgaaatt gaccagcaat atagccgatt cctgcaagag tccaatgtcc 300
tctatcagca caaccttcga agaatcaagc agtttctgca gagcaggtat cttgagaagc 360
caatggaaat tgcccggatc gtggcccgat gcctgtggga agagtctcgc ctcctccaqa 420
cggcagccac ggcagcccag caagggggcc aggccaacca cccaacagcc gccgtagtga 480
cagagaagca gcagatgttg gagcagcatc ttcaggatgt ccggaagcga gtgcaggatc 540
tagaacagaa aatgaaggtg gtggagaacc tccaggacga ctttgatttc aactacaaaa 600
ccctcaagag ccaaggagac atgcaggatc tgaatggaaa caaccagtct gtgaccagac 660
agaagatgca gcagctggaa cagatgctca cagccctgga ccagatgcgg agaagcattg 720
tgagtgaget ggeggggete ttgtcageaa tggagtaegt geagaagaea etgaetgatg 780
aaqaqctqqc tqactqqaaq aqqcqqcaqc aqatcqcqtq catcqqaqqc cctcccaaca 840
tctgcctgga ccgtctggaa aactggataa cttcattagc agaatctcaa cttcagaccc 900
qccaacaaat taagaaactg gaggagctgc agcagaaagt gtcctacaag ggcgacccta 960
tegtgeagea eeggeeeatg etggaggaga ggategtgga getgtteaga aaettaatga 1020
agagtgcctt cgtggtggag cggcagccct gcatgcccat gcacccggac cggcccttag 1080
tcatcaagac tggtgtccag tttaccacga aagtcaggtt gctggtcaaa tttcctgagt 1140
tgaattatca gcttaaaatt aaagtgtgca ttgataaaga ctctggggat gttgctgccc 1200
tcaqaqqqtc tcqqaaattt aacattctqq qcacqaacac aaaaqtqatq aacatqqaqq 1260
agtetaacaa eggeageetg tetgeagagt teaageacet gaeeettagg gageagagat 1320
qtqqqaatqq aqqccqtqcc aattqtqatq cctccttqat cqtqactqaq qaqctqcacc 1380
tgatcacctt cgagactgag gtgtaccacc aaggcctcaa gattgaccta gagacccact 1440
ccttgccagt tgtggtgatc tccaacatct gtcagatgcc aaatgcttgg gcatcaatcc 1500
tgtggtataa catgctgacc aataacccca agaacgtgaa cttcttcact aagccgccaa 1560
ttggaacctg ggaccaagtg gccgaggtgc tcagctggca gttctcgtcc accaccaagc 1620
qaqqqctqaq catcqaqcaq ctqacaacqc tqqctqaqaa qctcctaqqq cctqqtqa 1680
actactcagg gtgtcagatc acatgggcta aattctgcaa agaaaacatg gctggcaagg 1740
gcttctcctt ctgggtctgg ctagacaata tcatcgacct tgtgaaaaag tatatcttgg 1800
ccctttggaa tgaagggtac atcatgggtt tcatcagcaa ggagcgggag cgggccatcc 1860
taagcacaaa gcccccgggc accttcctac tgcgcttcag cgagagcagc aaagaaggag 1920
gggtcacttt cacttgggtg gaaaaggaca tcagtggcaa gacccagatc cagtctgtag 1980
agccatacac caagcagcag ctgaacaaca tgtcatttgc tgaaatcatc atgggctata 2040
agatcatgga tgcgaccaac atcctggtgt ctccacttgt ctacctctac cccgacattc 2100
ccaaggagga ggcatttgga aagtactgta ggcccgagag ccaggagcac cccgaagccg 2160
acccaggtag tgctgcccg tacctgaaga ccaagttcat ctgtgtgaca ccaacgacct 2220
gcagcaatac cattgacctg ccgatgtccc cccgcacttt agattcattg atgcagtttg 2280
gaaataacgg tgaaggtgct gagccctcag caggagggca gtttgagtcg ctcacgtttg 2340
acatggatct gacctcggag tgtgctacct cccccatgtg aggagctgaa accagaagct 2400
gcagagacgt gacttgagac acctgccccg tgctccaccc ctaagcagcc gaaccccata 2460
tegtetgaaa eteetaaett tgtggtteea gatttttttt tttaatttee taettetget 2520
atctttgggc aatctgggca ctttttaaaa gagagaaatg agtgagtgtg ggtgataaac 2580
tgttatqtaa aqaqqaqaqa cctctqaqtc tqqqqatqqq qctqaqaqca qaaqqqaqqc 2640
aaaggggaac acctcctqtc ctgcccgcct gccctccttt ttcagcagct cgggggttgg 2700
ttgttagaca agtgcctcct ggtgcccatg gctacctgtt gccccactct gtgagctgat 2760
accecattct gggaactect ggctctgcac tttcaacctt gctaatatcc acatagaage 2820
                                                                  2869
taggactaag cccaggaggt tcctctttaa attaaaaaaa aaaaaaaaa
```

<210>83

<211> 20

5 <212> ADN

<213> Secuencia Artificial

	<220>	
	<223> Oligonucleótido Antisentido	
	<400> 83	
5	gttccactga gccatcctgc	20
	<210> 84	
	<211> 20	
	<212> ADN	
10	<213> Secuencia Artificial	
	<220>	
	<223> Oligonucleótido Antisentido	
15	<400> 84	
	ttcaggtagc gtgtgtccag 20	
	240. 05	
	<210> 85	
20	<211> 20	
20	<212> ADN	
	<213> Secuencia Artificial	
	<220>	
	<223> Oligonucleótido Antisentido	
25	a_or engenacionad miles mas	
	<400> 85	
	atgtgactct ttgctggctg 20	
	<210> 86	
30	<211> 20	
	<212> ADN	
	<213> Secuencia Artificial	
	<220>	
35	<223> Oligonucleótido Antisentido	

	<400> 86	
	ccaagagatt atgaaacacc	20
	<210> 87	
5	<211> 20	
5	<212> ADN	
	<213> Secuencia Artificial	
	<220>	
	<223> Oligonucleótido Antisentido	
10	12207 Oligoriuolootido / iridooritido	
10	<400> 87	
	gctccaacat ctgctgcttc 20	
	<210> 88	
15	<211> 20	
	<212> ADN	
	<213> Secuencia Artificial	
	<220>	
20	<223> Oligonucleótido Antisentido	
	<400> 88	
	gctcttcatc agtcagtgtc 20	
25	<210> 89	
	<211> 20	
	<212> ADN	
	<213> Secuencia Artificial	
30	<220>	
30	<223> Oligonucleótido Antisentido	
	2227 Oligoridoleotido Artiseltido	
	<400> 89	
	atctgacacc ctgagtagtt	20
35		

<210> 90

	<211> 20	
	<212> ADN	
	<213> Secuencia Artificial	
5	<220>	
	<223> Oligonucleótido Antisentido	
	<400> 90	
	gccagaccca gaaggagaag	20
10		
	<210> 91	
	<211> 20	
	<212> ADN	
	<213> Secuencia Artificial	
15	<220>	
	<223> Oligonucleótido Antisentido	
	<400> 91	
	cgctccttgc tgatgaaacc	20
20		
	<210> 92	
	<211> 20	
	<212> ADN	
	<213> Secuencia Artificial	
25		
	<220>	
	<223> Oligonucleótido Antisentido	
	<400> 92	20
30	aacttggtct tcaggtacgg	20
30	<210> 93	
	<211> 20	
	<212> ADN	
	<213> Secuencia Artificial	
35	2.07 Occasion rumona	
	<220>	

	<223> Oligonucleótido Antisentido	
	<400> 93	
	atcaatgaat ctaaagtgcg 20	
5		
	<210> 94	
	<211> 20	
	<212> ADN	
	<213> Secuencia Artificial	
10		
	<220>	
	<223> Oligonucleótido Antisentido	
	<400> 94	
15	tcagcacctt caccgttatt 20	
	toageacon cacegnan <u>-</u> c	
	<210> 95	
	<211> 20	
	<212> ADN	
20	<213> Secuencia Artificial	
	<220>	
	<223> Oligonucleótido Antisentido	
	<400> 95	
25	actcaaactg ccctcctgct	20
	<210> 96	
	<211> 20	
	<212> ADN	
30	<213> Secuencia Artificial	
	<220>	
	<223> Oligonucleótido Antisentido	
35	<400> 96	
	ggtttcagct cctcacatgg	20

	<210> 97	
	<211> 20	
	<212> ADN	
5	<213> Secuencia Artificial	
	<220>	
	<223> Oligonucleótido Antisentido	
10	<400> 97	
10		20
	taaaaaaaaa aatctggaac	20
	<210> 98	
	<211> 20	
15	<212> ADN	
	<213> Secuencia Artificial	
	<220>	
	<223> Oligonucleótido Antisentido	
20		
	<400> 98	
	aagatagcag aagtaggaaa	20
	<210> 99	
25	<211> 20	
	<212> ADN	
	<213> Secuencia Artificial	
	<220>	
	<223> Oligonucleótido Antisentido	
30		
	<400> 99	
	aaaaagtgcc cagattgccc	20
	-210- 100	
35	<210> 100 <211> 20	
	<212> ADN	

	<220>	
	<223> Oligonucleótido Antisentido	
5		
	<400> 100	
	atcacccaca ctcactcatt	20
	<210> 101	
10	<211> 20	
	<212> ADN	
	<213> Secuencia Artificial	
	<220>	
15	<223> Oligonucleótido Antisentido	
13	(223) Oligoriudicollud Artisertiud	
	<400> 101	
	cctttgcctc ccttctgctc 20	
	<210> 102	
20	<211> 20	
	<212> ADN	
	<213> Secuencia Artificial	
	<220>	
25	<223> Oligonucleótido Antisentido	
	<400> 102	
	tgaaaaagga gggcaggcgg	20
20	0.10	
30	<210> 103	
	<211> 20	
	<212> ADN <213> Secuencia Artificial	
	<220>	
35	<223> Oligonucleótido Antisentido	

<213> Secuencia Artificial

	<400> 103	
	caccaggagg cacttgtcta	20
	<210> 104	
5	<211> 20	
	<212> ADN	
	<213> Secuencia Artificial	
	<220>	
10	<223> Oligonucleótido Antisentido	
	<400> 104	
	aacctcctgg gcttagtcct	20
15	<210> 105	
	<211> 20	
	<212> ADN	
	<213> Secuencia Artificial	
20	<220>	
	<223> Oligonucleótido Antisentido	
	<400> 105	
	aaaaagtgcg cagattgccc	20
25		
	<210> 106	
	<211> 20	
	<212> ADN	
	<213> Secuencia Artificial	
30		
	<220>	
	<223> Oligonucleótido Antisentido	
	<400> 106	
35	aaaaagtccg ctgattgccc	20

	<210> 107	
	<211> 20	
	<212> ADN	
	<213> Secuencia Artificial	
5	<220>	
	<223> Oligonucleótido Antisentido	
	<400> 107	
	aaaaactccg ctgaatgccc	20
10		
	<210> 108	
	<211> 20	
	<212> ADN	
	<213> Secuencia Artificial	
15		
	<220>	
	<223> Oligonucleótido Antisentido	
	<400> 108	
20	atgtgattct ttgctggccg	20
	<210> 109	
	<211> 20	
	<212> ADN	
25	<213> Secuencia Artificial	
	<220>	
	<223> Oligonucleótido Antisentido	
30	<400> 109	
	agctgattcc attgggccat	20
	<210> 110	
	<211> 20	
~ -		
35	<212> ADN	

	<220>	
	<223> Oligonucleótido Antisentido	
5	<400> 110	
	ccaggagatt atgaaacacc	20
	<210> 111	
	<211> 20	
10	<212> ADN	
	<213> Secuencia Artificial	
	<220>	
	<223> Oligonucleótido Antisentido	
15	<400> 111	
	accgtgtgtc aagctgctgt	20
	<210> 112	
	<211> 20	
20	<212> ADN	
	<213> Secuencia Artificial	
	<220>	
	<223> Oligonucleótido Antisentido	
25		
	<400> 112	
	ccattgggaa gctgtcactg	20
	<210> 113	
30	<211> 20	
	<212> ADN	
	<213> Secuencia Artificial	
	<220>	

<223> Oligonucleótido Antisentido

35

	<400> 113	
	tgtgattctt tgctggccgc	20
	<210> 114	
5	<211> 20	
	<212> ADN	
	<213> Secuencia Artificial	
	<220>	
10	<223> Oligonucleótido Antisentido	
	<400> 114	
	geggetatae tgetggteaa	20
15	<210> 115	
	<211> 20	
	<212> ADN	
	<213> Secuencia Artificial	
	<220>	
20	<223> Oligonucleótido Antisentido	
	<400> 115	
	getecageat etgetgette 20	
25	<210> 116	
	<211> 20	
	<212> ADN	
	<213> Secuencia Artificial	
30	<220>	
	<223> Oligonucleótido Antisentido	
	<400> 116	
	gattettece acaggeaceg	20
35		

<210> 117

	<211> 20	
	<212> ADN	
	<213> Secuencia Artificial	
	<220>	
5	<223> Oligonucleótido Antisentido	
	<400> 117	
	tgattcttcc cacaggcacc	20
10	<210> 118	
	<211> 20	
	<212> ADN	
	<213> Secuencia Artificial	
15	<220>	
	<223> Oligonucleótido Antisentido	
	<400> 118	
	atcctgaagg tgctgctcca	20
20		
	<210> 119	
	<211> 20	
	<212> ADN	
	<213> Secuencia Artificial	
25	<220>	
	<223> Oligonucleótido Antisentido	
	<400> 119	
	cggacatcct gaaggtgctg	20
30		
	<210> 120	
	<211> 20	
	<212> ADN	
	<213> Secuencia Artificial	
35		
	<220>	

	<223> Oligonucleótido Antisentido	
	<400> 120	
	cccgccagct cactcacgat	20
5		
	<210> 121	
	<211> 20	
	<212> ADN	
	<213> Secuencia Artificial	
10		
	<220>	
	<223> Oligonucleótido Antisentido	
	<400> 121	
15	agtcagccag ctcctcgtcc	20
	<210> 122	
	<211> 20	
	<212> ADN	
20	<213> Secuencia Artificial	
	<220>	
	<223> Oligonucleótido Antisentido	
25	<400> 122	
	ccagtcagcc agctcctcgt	20
	<210> 123	
	<211> 20	
30	<212> ADN	
	<213> Secuencia Artificial	
	<220>	
	<223> Oligonucleótido Antisentido	
	<400> 123	
35	cgcctcttcc agtcagccag	20

	<210> 124	
	<211> 20	
	<212> ADN	
	<213> Secuencia Artificial	
5		
	<220>	
	<223> Oligonucleótido Antisentido	
	<400> 124	
10	ggccggtgct gtacaatggg	20
	<210> 125	
	<211> 20	
	<212> ADN	
15	<213> Secuencia Artificial	
	<220>	
	<223> Oligonucleótido Antisentido	
20	<400> 125	
	atcetetect ecageategg	20
	<210> 126	
	<211> 20	
25	<212> ADN	
	<213> Secuencia Artificial	
	<220>	
	<223> Oligonucleótido Antisentido	
30		
	<400> 126	
	ccgctccacc acaaaggcac	20
	<210> 127	
35	<211> 20	
	<212> ADN	

	<213> Secuencia Artificial	
	<220>	
	<223> Oligonucleótido Antisentido	
5	<400> 127	
	cgtccccaga gtctttgtca	20
	<210> 128	
	<211> 20	
10	<212> ADN	
	<213> Secuencia Artificial	
	<220>	
	<223> Oligonucleótido Antisentido	
15		
	<400> 128	
	ttgtgtttgt gcccagaatg	20
	<210> 129	
20	<211> 20	
	<212> ADN	
	<213> Secuencia Artificial	
	<220>	
25	<223> Oligonucleótido Antisentido	
	<400> 129	
	gctcggcccc cattcccaca	20
30	<210> 130	
	<211> 20	
	<212> ADN	
	<213> Secuencia Artificial	
35	<220>	
	<223> Oligonucleótido Antisentido	

	<400> 130	
	aggcatttgg catctgacag	20
5	<210> 131	
	<211> 20	
	<212> ADN	
	<213> Secuencia Artificial	
	<220>	
10	<223> Oligonucleótido Antisentido	
	<400> 131	
	cttgggattg ttggtcagca	20
15	<210> 132	
	<211> 20	
	<212> ADN	
	<213> Secuencia Artificial	
20	<220>	
	<223> Oligonucleótido Antisentido	
	<400> 132	
	ctcggccact tggtcccagg	20
25	<210> 133	
	<211> 20	
	<212> ADN	
	<213> Secuencia Artificial	
30	<220>	
	<223> Oligonucleótido Antisentido	
	<400> 133	
	ccccgcttgg tggtggacga	20
35		

<210> 134

	<211> 20		
	<212> ADN		
	<213> Secuencia Artificial		
5	<220>		
	<223> Oligonucleótido Antisentido		
	<400> 134		
	ccccgcttg gtggtggacg	20	
10			
	<210> 135		
	<211> 20		
	<212> ADN		
	<213> Secuencia Artificial		
15	<220>		
	<223> Oligonucleótido Antisentido		
	<400> 135		
20	ggagaagccc ttgccagcca		20
20	040 400		
	<210> 136		
	<211> 20 <212> ADN		
	<213> Secuencia Artificial		
25	22132 Secuencia Artificial		
23	<220>		
	<223> Oligonucleótido Antisentido		
	a_or ongonuoronaerumoonnae		
	<400> 136		
30	ttcattccaa agggccaaga 20		
	<210> 137		
	<211> 20		
	<212> ADN		
35	<213> Secuencia Artificial		

	<220>	
	<223> Oligonucleótido Antisentido	
	<400> 137	
5	cccgctcctt gctgatgaaa 20	
	<210> 138	
	<211> 20	
	<212> ADN	
10	<213> Secuencia Artificial	
	<220>	
	<223> Oligonucleótido Antisentido	
15	<400> 138	
	gtgctcaaga tggcccgctc	20
	<210> 139	
	<211> 20	
20	<212> ADN	
	<213> Secuencia Artificial	
	<220>	
	<223> Oligonucleótido Antisentido	
25	<400> 139	
	cccaagtgaa agtgacgcct	20
	<210> 140	
	<211> 20	
30	<212> ADN	
30	<213> Secuencia Artificial	
	-220	
	<220>	
35	<223> Oligonucleótido Antisentido	
33		

<400> 140

	acccaagtga aagtgacgcc	20
	<210> 141	
	<211> 20	
5	<212> ADN	
	<213> Secuencia Artificial	
	<220>	
	<223> Oligonucleótido Antisentido	
10		
	<400> 141	
	ccgaatgcct cctccttggg	20
	<210> 142	
15	<211> 20	
	<212> ADN	
	<213> Secuencia Artificial	
	<220>	
20	<223> Oligonucleótido Antisentido	
20	2237 Oligoriacieoliao Artisertiao	
	<400> 142	
	gccgacaata cttcccgaat	20
25	<210> 143	
23	<211> 20	
	<212> ADN	
	<213> Secuencia Artificial	
	<220>	
30	<223> Oligonucleótido Antisentido	
	<400> 143	
	gatgctcctg gctctctggc	20
35	<210> 144	

<211> 20

	<212> ADN	
	<213> Secuencia Artificial	
	<220>	
	<223> Oligonucleótido Antisentido	
5		
	<400> 144	
	tcaatgaatc taaagcgcgg	20
	<210> 145	
10	<211> 20	
	<212> ADN	
	<213> Secuencia Artificial	
	<220>	
	<223> Oligonucleótido Antisentido	
15		
	<400> 145	
	gactcaaact gccctcctgc	20
	<210> 146	
20	<211> 20	
	<212> ADN	
	<213> Secuencia Artificial	
	<220>	
25	<223> Oligonucleótido Antisentido	
	<400> 146	
	atcacccaca ttcactcatt	20
30	<210> 147	
	<211> 17	
	<212> ADN	
	<213> Secuencia Artificial	
	<220>	
25	-223> Oligonucleótido Antisentido	

	<400> 147	
	aaaagtgccc agattgc 17	
	<210> 148	
5	<211> 20	
J	<212> ADN	
	<213> Secuencia Artificial	
	<220>	
10	<223> Oligonucleótido Antisentido	
	<400> 148	
	aaaagtgccc agattgctca	20
15	<210> 149	
	<211> 20	
	<212> ADN	
	<213> Secuencia Artificial	
20	<220>	
	<223> Oligonucleótido Antisentido	
	<400> 149	
	taaaagtgcc cagattgctc	20
25		
	<210> 150	
	<211> 20	
	<212> ADN	
	<213> Secuencia Artificial	
30		
	<220>	
	<223> Oligonucleótido Antisentido	
	<400> 150	
35	aagcagatca cccacattca	20

	<210> 151	
	<211> 20	
	<212> ADN	
	<213> Secuencia Artificial	
5	<220>	
	<223> Oligonucleótido Antisentido	
	<400> 151	
	aaaaagaggc ctgattgccc	20
10	<210> 152	
10	<211> 20	
	<212> ADN	
	<213> Secuencia Artificial	
	12 To > Occuentia / Williola	
15	<220>	
	<223> Oligonucleótido Antisentido	
	<400> 152	
	tctggcaaag tgtcagtatg	20
20		
	<210> 153	
	<211> 74424	
	<212> ADN	
	<213> H. sapiens	
25	<220>	
	<223> Oligonucleótido Antisentido	
	<400> 153	

```
agagegggea ggagggaget gtateagggg catttaaagt geettgaegt caegeaetge 60
caggaactca gctgagtttt cagcaggaca ttccggtcat cttccctccc tcccccggg 120
cttetgtgee caagteeteg getetteeet egetgtggeg gagggaggag caeegaactg 180
teggaacage cageacaggg gegtateagt etectettgg eteegeeett teteetaget 240
getetectea ttggteagtg ggeggggett eggetgtace geacaegeae tgggaectet 300
gggtggccga acgagctggc ctttcatgaa ttatgcatga cggcgtgcct cggccaggct 360
ggggctgggc gaggattggc tgaaggggct gtaattcagc ggtttccgga gctgcggcgg 420
cgcagactgg gagggggagc cgggggttcc gacgtcgcag ccgagggaac aagccccaac 480
eggateetgg acaggeacce eggettggeg etgtetetee eceteggete ggagaggece 540
tteggeetga gggageeteg eegeeegtee eeggeaeaeg egeageeeeg geetetegge 600
ctctgccgga gaaacaggtg aagggggtgc agggtggggc cgttggggag gcctggggac 660
ccgggggctc cgcagcggca gggggcctct gggaccttgg ggatgttgtg atggacgctg 720
cagtggggcc gggagagatg aagagacgcg gagggtcgcc ctgagggaag actcttcggg 780
atgacaqqaq cqqqcctcqq aaqqqactcq qqqcqtqqa qqqaaqtttc qttcttcqqa 840
gaaacagaac gcgctcgagg gggcaccgtg gggcgagggc gcactcggtt gcggcggcag 900
gagtgaggga cagtcccccg atttcctgct ccctggggcc ctggggacgt tccggccacc 960
ggagcgactg tcacgccgac ggggatcacc ggcgcgagtg gggggtcgga aagcgcctcc 1020
teccegaceg gteggeget acceptage cacttactee gettgeeetg ttecagatee 1080
ttcaggagac agctgtgccc ttttggaggc aggaataggt gtgtctgtcg cctgcagcct 1140
tacgggctgg ctggtcgtgg gtaggcttta ttgcataaga atcaagtttc ctgtagggaa 1200
attgacagac cggtactctt tctaaattcc ctcgcatctt tttctaggtt aaattatgct 1260
ccgtcaagcc agctctagag agagaaataa acctcttgac attgtccttt tccaaatacc 1380
tggtaaagtc ggccagaaga taaataattg agccattgca tttactggat tgtggtgttg 1440
cttaattgca taggacggaa tgaaccaatt gagagtggga gttttctgtc tcagagccaa 1500
qatcttqqqt aaatqcaqaq qaqaqqqaaa caaaqacaqq ctgqccttqa aaaaaccatq 1560
tgtgcaaact ttacatgcat ttggggggtg tggttgcact gaagttaaca agattcaaac 1620
cgtcgcccaa gttggtattt ccatgtttgg tacacatcac tctgtgccat atcaggtcgt 1680
tgttaagtgt ggtgacaaaa tcagtggtta gtcatttttt taattaaaaa tgtgtatagt 1740
gigtacetge iggicttact gtatgigcaa ctaaaggttt acatagictg igtatgggtt 1800
gtaaattttt ggctggctgt gctgataaag cattgggctt gaataaagca aagcagaaaa 1860
tcatctcaat cttttatatg tggatttaga ctgtgttatg acttggttca gccagttttc 1920
tatcttattt tatattaaat atgtctgtgt tctctgagtc agcacattta tttccttatt 1980
acatgttcca gacaggagtg ctagcccagt ttttgttcag tttgcacagt gggatgggga 2040
aacaagtctg gaatttaaaa aaaaatgttt tagaggttgg agccttgatt ttagtctcta 2100
tattagcaca tccatcacaa agaaccatta gtaaattcat gaatcttttg ttttttatgt 2160
agttcatttg agaagaataa tcacttagaa atatccacag tgccaggcat ggtggtgcac 2220
acctctgatc ccagctaatt gaaggctgag gtgggaggat tccttgagtc caggagttga 2280
gtctggtctg ggcaacatgg tgagaggcca ggaattgggt ctagagtcta gtctaagcac 2340
agaaataccc acagcacagt tatgaattaa cccacaaagg acttgtgagg tgggtagttc 2460
acataacaat taccctaata tcgtagataa gaaaattgag gccaaaggat caagacactt 2520
ggccaacgca gcagagtgcc atagtggtgg aatttgtgcc tccttctgta tattttgtga 2580
aaagtatcag tgaaattett ttttttttt tttttgagte agagtettge tetgttgeec 2640
aggetagagt geagtggege aatettgget eactgeaace tetgeeteet gggtteaage 2700
gattetectg ceteageete ceaagtaget gggactacag gegtgegeea ceaegeecag 2760
ctaatttttg tatttttagt agagaccggg gttttaccat attggccagg ctggtcttga 2820
actectgace ttgtgatttg cecaceteta teteceaaag tgetgggatt acaggtgtga 2880
gccaccgcgc ccagtaagta tcagtgaaat tctaacatat atctgaacag taaaatacca 2940
ccaataggct gaaagacttc atgggaggta aatattcaat aaacaggtga aaaaagaaat 3000
acaaatggag cttgcttaga ttattttct aattgctatg tctaacttgg gaagtgagga 3060
actqtttttq qtcaqcataa tttaccatca qaatttaqct atttactaat qaaaagaaat 3120
actaatctag gtttgtttta gattaaggac agtcatgacc taaatgtcat ttaaaccaga 3180
gtgcattgtg gcttgatcag tggtcatttc tgtctctaga aagttgcttt aacttctctg 3240
cctctacgtg tctcttgaca ttcagatatg aggtggggta gaggtggtga ccaactttcc 3300
agacgcctga gtccaaacct tcttagctta tggttttctt aggtgatgtg caaatcaaca 3360
aatatatact ttttttttt tttttttgag ttggagttgc actctatcac ccaggctgga 3420
gtgcagtggc atgatcgtgg ctcactgcaa cctcctcctc ccgggttcaa gtgattctcg 3480
caectcagce teetgagtag etgggattae aggtgeeege caetaegeee ggetaatttt 3540
tgtattttta gtagagataa ggtttcacta tattgaccag gctggtctca aactcctgac 3600
ctcaagagat ctgcccacct cagcctccca aagtgctggg attacaggcg tgaaccacct 3660
tgcctggcca acatatatat accttttgca actttgtcag agttgctatg aagaataagt 3720
tgtatcttgt tcacagaaat tgcagtctac tgggggagct gataaatgtt ttaaccatcc 3780
aatgtaacat gttgtcatca aagagatggt gagactttac acttgtgcta acaaggtagc 3840
tgttctacat aaaagaacat acagtacaga tgtagaactt ttctgttatc atagaacgtt 3900
```

```
ctattggaca gtgctaggct gaatgctaca gatcttcaga gaaaggagag gttatgaggc 3960
ctggagttqt ctagaaaqtc tttttqccaa agagggattt caactggqtc ccaaataatq 4020
ggtggaattt gataggtgta aagaatttgc ggtggtttat gcctgtaatc ccagcacttt 4080
gggaggctga ggcaggagga ttgcttgagc ccaggagttt gagaccagct tgggcaacgt 4140
ggtaaaactc cctctcccct aaaaataaaa aaaattagcc aggcctggtg gcgtggacct 4200
gtagtcccag ctactggtga gactaaggtg ggaggatcac ccaagccccg ggggttaagg 4260
ctgcagtgag ccgtgatccc gccaccgcac tccagcctgg gtgacagagt gagacctgt 4320
ctccaaaaaa aaaaaaaatt cctggtagcc cggtagacta ggagggtaag taggggagaa 4380
gtgattactt acaaaagaca ttgaatacag gaccaaggaa tttcagttct gttctttgt 4440 aggggaagct tttaaaactt tcggggcgcc gggcgcggtg gctcacgcct gtaatcccag 4500
cactttggga ggcccagacg cgcggatcac gaggccagga gatcgagacc atcctggcta 4560
acacggtgaa accccatctc tactaaaaat acaaaaaaaa gtagccgggc gttgtggcgg 4620
gcgtctgtag tcccagctac tcgggaggct gaggcaggag aagagcgtga actcgggagg 4680
cggagcttgc agtgagccga tatcgcacca ctgcactcca gcctgggcga cagagcgaga 4740
ctccgtctca aaaaaaaaaa aaataaataa ataaataaat aaataaaact ttggagccga 4800
agcactgatg tttaatcata gagtgcttac tatgtgttag gcacaggcct gattgcctga 4860
tgctggttaa tttgtacaaa gtaaatcagt gcatatgccc tctgccctag gggagttatt 4920
aactggagtc tgacattgta caaaggtagg tatcctgact agtttgattt ggtactttgg 4980
gtgaaaaag tatagtgtgc ttaagtgcag aagtgttttt tgaggatttt tgattggata 5040
caaaccacca ctcatattt atgtctttgg cacttaaaaa tttcaccata acttttgagt 5100
catttataaa aaccactgaa agagtacttg agggacatcc ccgaatcctg aagaacttct 5160
ggtgttctgg agcagcctca gtgagatcca ggaggatggc attgctgggc tggcccagcc 5220
cttattgatt atggtgtaaa gaattaatat ggtggttata tactctttgt tagacacctt 5280
ggettacaag acgtaagegt aaagtgtagt gegetttagt cagtatggee acatggteet 5340
ttggtggtaa attgtttgag atgcctccag tttttaaaag gagtagcata tcgggccagg 5400
agcagtggct catgcctata atcccagcac tttggaaggc cgaggcaaga ggattgcttg 5460
agcccaggag ttcaagacca gcctgggcaa catagtgaga ccactttgtt tctttaaaaa 5520
aaaaaaaaaq qcaaaaacaq qctqqqcatq qtqqctqatq cctqtaatcc caqcqctttq 5580
tgaggcagag gtgagcggat cacttgaggt caggagtttg agaccagcct ggccaacatg 5640
gtaaaacccc gtctctacta aaaatacaaa aattagccag gtgtggtggc acacgcctgt 5700
agttccagct actctggagg ctgagccagg agaattgctt gaacctggga ggtggaggct 5760
gcagtgagcc aagatcctgc cactgcactc cagactgggg gacagagtga gacattctga 5820
cagtgctaca ctgaatgcta catgtcttca gaggaaggag aggttatgag gcctgggaat 5880 aacatatgga agaatgaatt tctgttatgg tcagttctca tttgtcatgt taggattact 5940
gcaactetta cccagccggg tgtggtggct catgcctgta attccagcac tttgggaggc 6000
tgtgggcgga tcacgaggtc aggagatcga gaccatcctg gctaacacgg tgaaactccg 6060
cctctactaa aaatacaaaa aattagccca gcgtggtggc agacgcctgt agtcccagct 6120
actcaggagg ctgaggcagg agaatggcat gagtcctgga ggcggagctt gcagtgagct 6180
gagategtge cactgcacte cageetggge aacagagtgg gactecatet caaaaaaaa 6240
agaaaaaaa aaggattacc gcaactcttt aattcagatc agcaaacatg ttgagagcca 6300
ggtattgcgt caggcaggat ccaaggataa tgaaatattg tccgttttca tgaaactgga 6360
gatgttgcag ggaccgaggt gtgtgctatg ccagtatgga agtaggacag gggagacgac 6420
agggcagtga gtggttcaag actctggctc tgaagtcaaa cagatctggg actgaatcct 6480
ggatctgcca cttcctagtc agaatctgag cctctatttt cttatctgta aaagaagatt 6540
ataacagtgc ttatcttgta ggtactgttg acgattcaat aagataatgt ggataaaatg 6600
cttagcatag tgcctggcac atagtaagag ctcggtaaat ctaagttctt actaaatatc 6660
caagaaaaga gattaattct tttcaggagt gagagaaagt catcattatt gaggggcttt 6720
atcagatggg aacacctgaa tagggtttta taggatgaat aggaattett tecacgaagt 6780
tgcgttacaa aaagttgcat tcaaggctga aggaacatga gggtgcagag gcttaaaaca 6840
qccttqtqtq ttcaqqqaqc tataaqtaga agttcttaat ttaqqaqaac taaaccaaqq 6900
ggaaaggagg ccaaggaacc acagttetta tecettttet gttaataatt gggtttaaat 6960
gtcattaaaa taagttattt tgtccttttt agaaaagtaa taacatgcta ttataaaaaa 7020
aaagacttgt aggaatataa aatgtgtgtt ttacatgtat cctgttaatt gacttgcttt 7080
tattcagatt ttttgcagcc ctttctgttt accaggttat cttggagaca tatttattcc 7140
aaattoottt ttttttttt ttttgagatg gagtotogot otgtogooca ggotggagtg 7200
cagtggcgct atcttggctc attgcaagct ccgcctcccg ggttcacgcc actctcctgc 7260
ctcagcctcc cgagtagctg ggactacagg cgcccgccac cacgcccagc taatgtttt 7320
ttttttatat ttttagtagc gacagggttt caccgtgtta gccaggatgg tctcaatctc 7380
ctcacattgt gatecgectg ceteggecte ecaaagtget gggattacag gegtgageca 7440
gcacgcctgg ccttccaaat tccttttaac agcctagcaa aagaataata aggaaggtaa 7500
atotgoccct acaagaaaat aatgottoga cgatcoggot ttoottoctg ctaccoccag 7560
ccataaqaat aaatqacctt qctcatcact qaaattttac ctqacctttq aatttttaac 7620
tgcgtcagcc aaagaactta tattttgagt attcctaagg tgattgctat tgtagttttg 7680
aaacacttgg ttggtatgtt tgagggtttc atggtccaaa gttactatag cagttaaaag 7740
agtggactat caggtcagac ctattgggct ttaatcccag ttctgccttc tcttagacct 7800
```

```
tgggcctgtt gttttcactt ctctggtttt cagtttctct gtccacaatt gtggaaacga 7860
ggtccacttg tagagtaatt gagaggatga agcaagatga tgcatatcaa gtactttgca 7920
tagtgccggg cagacaggta acattcaagt gctaataatt actattatta ctatttattt 7980
tttgagacag gttctcactc tgtcacctag gctggagtgc agcggtgaga tcacagctca 8040
tgacageett gaceteetag geteaagtga teeteetgee teageetteg gggtagetgg 8100
ggctacaggt gtgtgctacc accctcagct aattttctaa tttttttgag tcaggatctc 8160
gtcacgttgc ctaggctgaa ttactcttat taaaaactat aatatcaggc cgagtgcggt 8220
ggctcacgcc tgtaatccca gcactttggg aggccaaggc gggtggatca cctgaggtca 8280
ggagttcaag accagcctgc ccaacagagt gagacccccc ccgtctctac taaaaatata 8340
aaaattagee agttgtggtg gtgggeaeet gtaateeeag etacteggga ggetgaggea 8400
ggataatcgc ttgaacccgg gaggcggagg ttgcggtgaa ccgagatcgt gccactgcac 8460
tacageetgg gtgacagagt gagactetgt etcaaaaaaa eegaaaaaca aaaageataa 8520
ttagggtggt aacgcttata cataggggca ggtggaataa aacataatta ggaggtcggg 8580
catggtggct cacgcctgta attccagcac tttgggaggc cgaggcgggt caggagttca 8640
agaccagect geccaacata gtgagacccc gtetetacta aaaatataaa atttageetg 8700
tigtggtggc gggtgcctgt agtcccagct acccgggagg ctgaggcagg agaattgctt 8760
ttgaacccag gaggtggggg ttgcagtgag ctgagategc gccgctgcac tccagcctgg 8820
gagacagagc aagactccgt cacaaaaaca aaaaacaaaa aactgtcata tcaaaaacta 8880
aactaaaatg gtaatatctg ttagatatta caaagtcagg caaattatga ttcatggcag 8940
ccactaatga cccaaaggag agaaagaata attagcagat tctaacctaa tgggaaaaaa 9000
actaaatgaa tagggatggg ggacttacat tctgttagag gaaattgagg ctgtcatata 9060
aaaggaatag gtaaggcaaa ctgtaaattc ctgtttacac aaatgccctt ctgataaatc 9120
tetgeattge ceacagteca tgattacete tecettattt taagtaatat ttaacacatt 9180
aaaaatggat taccacccaa ggaattgctc ccgacccaga aagtgcaggt agtgttgaag 9240
gtttgagggg aagaggaatg attagagttg gttgtgtctc aggaagaagc caacaggagg 9300
aaccttattt tgagtcaggt aaagaaggtg ggagtgagga ggcatcccgg tggccaggta 9360 tgaagctggg agctgattgc tgcacattac tcagctgaat taaatgtgcc ctcacatctg 9420
tgtgtgtgcg tacatgcaaa tgtacatgtg tatgagttag ttggaggggt agacctttat 9480
tttcctgtcc tgtaactttc ctttgcaaac taatctgtat tcagaacagt gttgcagtta 9540
agaaccaccc agcttgtcca tgaaacaggt tctctcaccc catctcccca gttttagaga 9600
aggcaggaaa gaaaaggcag tgcttttctt ttttcctggc cgtatgcggg gcaggaagaa 9660
gccagcagag cttgaaagag aaagtaaacc ttctgggaaa taaacggctt ggcttcccta 9720
ttgtggagga ggagtgcaaa ttattagggg gatgtttggg tagtttttgt agaagccatt 9780
totgaaaact gatttggatt agtgaaggta agcccaattt aggaaaaccc tgcccagtct 9840
ggtgtcagcc acctgtttcc cgctttgttt gattgatttg attagtttgt ggtattctga 9900
cctctcattt ttattacaag agttggaaga tttgagtctg aacttgagca cctgcttcgg 9960
tgaaagette etaaaatgea tgttttttea eattttttet eatgtteatt ttgttttget 10020
ttttagcaaa cactttttct gacagaatct aaaagcatta gacttttctt gttttcccct 10080
tetetececa caatgtaate ttgaaaacce aaatgttage tgtgtaaatt aceteteceg 10140
taaaccaaac aaagtgcaat attgcattga gttagcattg aaatagtcgg cctttgaatt 10200
tttttctact tgtggtttag acataataaa tatttcatct cagactgact ttctcgacaa 10260
atcagttttg catttgggcc tcttttcatc agtatgttta gggaaagcac atttattgaa 10320
acattaacca aaatgaaaca taattaggag gccgggagcg atggctcacg cctgtaatcc 10380
cagcactttg ggagaccaag gcatgtggat tgcttgaggt caggagttca agaccatcct 10440
tgccgacttg gtgaaatcct gtttctactg aaaatacaaa aaactagctg ggtgtggtga 10500
cgcgtgcctg taatcccagc tactctggag gctaaagcaa gagaatcgct tgaacctggg 10560
aggragaggt tgcagtgagt cgagatcgtg ccactgcact ccagcctggg caacagagac 10620
tccgtctcaa acaaccaaaa aaacaaaaac aagcataatt agggtggtaa cgcttataca 10680
taggggcagg tggaataatt gaagcattct ggagccagaa ataatcaact gattaagaat 10740
aatctggctg ggtgcggtgg ctcacgcctg taatcccagc tactcaggag gctgaggcag 10800
gagaatcgct tgaacctggg aggtggaggt tgcagtgagc cgagatcgcg ccattgcact 10860
ccagcctggg ctatggagca agactccatc tcaaaaaaaa aaaaaaaaa aatcctgttt 10920
ctgcagaaat atcccaggtg tcctgggtca gcagtgcccc atagattcca cggacgttta 10980
ccctaagttt tccaatggga gttcatacct ctatacccag tgagaatatt ttctgagtaa 11040
tgggaatgag attggagatg tagggtagag aagatccata cagtctttgg gttaaacttt 11100
ttcctctttg cctaggaaag attaatgcta atcttaacca cagatttgta gtaagaatgt 11160
atcagttttg tcattcagtt ctagactcca gttttcttta ttgtaatacc aatattttag 11220
agtaaatttt gaaatgaatc agtacaaaag atatgtagta agtggaaagt tagtccgcac 11280
cttatccttg ggactctttc ccagggacag ctagttacct actatttatc tctcctgagt 11340
tacttcatat gtatgcatgc aaacatgtta ttctctgggt gttgttcctt ccatatatag 11400
cagcaaatac accaaactct gtattttgct ttttgtcact ttatcttaga gaatactcaa 11460
tgcaaataca tgtgtatata cctcatgttt aaaaaatcta catagtaaaa ttagccaggc 11520
atggtagtgt gtgcctgtaa tcccagctac tcgggaggct gtggtgggag aatcacttga 11580
accetgagat cacaccactg gactecagee tgggecacag ageaagatte tgteteaaaa 11640
aacaaaaaca aaaacaaaaa aactacagag tagtattcta ggctatgcat atcataaatt 11700
```

```
tgattteeta atgataggea tagatgattt geetgggegg caaattageg ttggetgtt 11760
ctcaggaaga agccaacagg aggaacctta ttttgagtca ggttccaaag acagaaacat 11820
tgtctgacat ttgtttttgg gcttatatga ataaatctgt acacatatat ttttaatgtt 11880
ttaatcgtaa tatgtatact atttggaaat gtggcttttt agttaacaga gtgcatgttt 11940
taccccattg cacttaaaca ttaacttggg gataattaaa tgagtctgtc acttggacag 12000
gcaggaattg taccccccac aaacccataa accgccaatt ttttttttt gagacagagc 12060
ctcattctgt tgcccaggct ggagtgcagt ggtgcgatct gggcccactg taagctcagc 12120
ctcccgggtt catgccattc tcctgcctca gcctcccaag tagctgggac tacaggcgcc 12180
cgtcacaatg cccggctaat tttttgtatt tttagtagag tcggggtttc accatgttag 12240
ccaggatggt ctctatctcc tgaccttgtg atccgcccgc tttggcctcc caaagtgctg 12300
gaattacagg tgtgagccac cgcacctggc cggtttttt ttttttttt qagatqqagt 12360
cttgctctgt tgccaggctg gagtgcaatg gcatgatctc cgctcactgc aacctccacc 12420
tecegggtte aagtgattet cetgeeteag ceteetgagt agetgggaet acaggegtgt 12480 gecaceaege acagetaatt tttgtaattt tagtagagat ggggttteat taataateat 12540
taatattaga caactgtcag actcacagtg gtggatacaa actttctcaa attctgattt 12600
ttactctaaa gctcaaattt tatcattggc aacaaatatt gtcagttgct ttccctgaac 12660
agacagette cettettea tttttgagaa aatatetgee agtateeeag ttggtttate 12720
aatcattett tetettttt tttttgagac ggagteteac tetgteacce aggetggagt 12780
gcagtggcat gatctcggct cactgcaacc tccacctccc aggttccagc aattctcctg 12840
cctcagcctc ccgagtagct gggattacag gggctagcag ccacacctgg ctaatttttg 12900
cattittagt agagacaggg tittaccatg tiggccaggc tgatcttgaa ctcctgacct 12960
catgatatgc ccaccttggc ctcccaaagt gctgggatta caggtgtgag ccattgcgcc 13020
eggetetatt atttettte tttetttett tttettttt ttttttgaga tggagttteg 13080
ctcttgttgc ccaggctgga gtgcaatggc gcgatctcgg ctcaccacaa cctccgcctc 13140 ccgaattcaa gtgattctct tgcctaagcc tcccgagtag ctgggattac aggcatgtgc 13200
caccacaccc gtctagtttt gtatttttat tagagatggg ggtttctcca tgttggtcag 13260
gctggtctcg aactcccaac ctcaggagat ctgcctgcct cagcctccca aagtactggg 13320
attacagttt tgagccacct gacccggttt gcttattatt tcttttaaat ttaaaaaata 13380
ataaataaag gggccatgag agcgaagagt ttgagaaagg ttggtctaaa ggttttaaca 13440
taagaatccc tgggttattt gcttaaaaag aagaaagaat ctatggatct gcctgagagg 13500
gtctgatgta gtttatctgg ggtcatcctc acaggcatag cagatattct gattcagatg 13560
gtccttggtc cttagtttga gaaatgtggc tttacaaggc ccatagaata taaagtcttc 13620
tttggattag tgaagtcatg tccacagggt ttagaaaatg tttttgtttt agagataaag 13680
gtaagtggaa gagtagacat gtagtgaatg agggaaaatg ttttagagat ttcttttat 13740
tctgtttact cttcttggta tgcacgtacc tgaatattaa ggatatttta tgaagtcatg 13800
acattaccag attaatgttg gttttgtttt aaggtacttt ctgactgctg gggttaattc 13860
ctacagacga ttctggtaaa gaatagcctt taagttttaa aagtgttgac ttatttcaga 13920
tqtcttaata aaqttaactt ccaqttatta catqtaacqt atataaaqct ctcattttcc 13980
tttattctcg ttaattgttt gcataacaaa ttcaaaggga aatttgcttg gcagagatca 14040
gatagcagag atgagattta aaaacaggta atttggctac tagcctggga gtttgaagat 14100
tccaagtttg catccatgtg tagtcactta acatttctgt ccttatctgt aaatgggaat 14160
aacacctact tgatagggtt gttacattat cttggccacc tcaggttctc tttggctgag 14220 tgattgactg gaaaacgcaa tgtgaattca tgcttcagac tgggttcttt tttttttt 14280
tttttgagat ggagtttcac tcttattgcc caggctggag tgcaatggca cgatctcagc 14340
teactgeaac etetgeetee eaggtteaag egatteteet geeteagget eeegagtage 14400
tgggattaca ggcatgcacc accatgcctg gctaattttt ttgtattttt agtagagacg 14460
gggtttcact gtgttggtca gactggtttc aaactcctga cctcaggtga tccacctgct 14520
tcagtctccc aaagtgctgg gattacaggc atgagccacc gcacccagcc caggctaggt 14580
tctatatggg tgtgcttttt agaatttaga tcatgggcta tccccaacac aaactggata 14640
atgtttettt etagattete tetaagegtg tattetettt ettteetagg eacageeace 14700
acttcactta cattgtggga ttataatttc atgagtagtg gaatttcctt aaccttctct 14760
tgtgtgggag ctgaaggaca aaatgagata ttctctgaag agtggttaca tcatgcaaaa 14820
ctatgatgtg taatgaggtc acttagtttt ctaagtacat tatacatttt gataagattt 14880
tcatagaaaa qcttqtctcc ttqqqqaqat cactcatctt ccatcttqac tattatttaa 14940
actttatggg tcagatttat ctttttaaaa acttaaccat aaagctcaat taatttttt 15000
ttttttttt tgagacggag tctcgctctg ttgcccaggc tggagtgtag tggcgcgatc 15060
teggeteact geaagetetg ceteceaggt teatgecatt etectgeete ageeteetga 15120
ctagatggga ctacaggcgc ccgccacgat gcccggctaa ttttttgtat ttttagtaga 15180
gacggggttt caccgtgtta ggatggtctc gatctcctga cctcgtgatc cacccgcctc 15240
ggcctcccaa agtgctggga ttacaagcgt gagccaccgc gcccggctca attaatatat 15300 tttaaaaatt aatagacttt attatttta ttttattta tttttgaggc agagtctcgc 15360
tetgteacce aggetgagtg cagtggtgtg atettggete actgcaaact ccacctcccg 15420
ggctcaagtg attctcctgc ctcagcctcc taagtagcta ggattacagg tgcctgccac 15480
tttttgagat ggagtttcac tctttttgcc caggctggag tgcaatggca tgatctcggc 15600
```

```
tcactgcaac ctccgcctcc caggttcaag tgattctcct gcctcagcct cccaagtagc 15660
tgagattata gttgtctgcc accacgcctg gctaattttt tgtatgtttg atagagacag 15720
ggtttcacta tgttagccag gatgtctcga tctcttgacc tcgtgatccg cctgccttgg 15780
cctcccaaag tgctgggatt acaggcgtga gccactgcgg ccagtctaga ctttatttt 15840
taaagcagtg ttagttttac agaaaaatta tgtggaaagt acagagagtt tccatatacc 15900
cettacttte teccacaact tetattatta acatettgea ttagtatagt acgteeetta 15960
caactaatga accaactcga tacattatta ttaaccaaat tcctgagttt attttatttc 16020
tatttttatt ttattatt tatttttag aggtagggtc tcactgtgtt gtccaggcca 16080
ggttgcagtg gcatcatcat agcttgctat agcctgaaac tcctgggctc aagcaatcct 16140
cctgcctcag tctcccaaag tgttggaatt acaggtgtga gccactctgt ccagcctgaa 16200
gtccatagtt tacattacat ttcactctgt tgagcattct atggattttg acaaatgtgt 16260
gatgatgtat atttgccagt acacaattat ataaaatagt tttactgccc tagaaacccc 16320
ctgtgctcca cctattcatt cctctgctga accactggca accactgatc ttttataata 16380
tctccatagt tttgtctttt ccagaatgtc atatagttgg acatacagtg tgtagccttt 16440
tcagattggc ttctttcagt aaatgatatg catttcaggt ttcttcatgt ttttttgtgg 16500
cttgataggt tgtttctttt cattggtgag taatactcta ttgtatggat ataccacatg 16560
ttgtttatca aacattcacc tgaaggatag acatcttggt tgcttccaag tttgagcagt 16620
tatgaataaa gctgctataa acattccagt gcaggacttt tcacctcctc tggataaata 16680
tcaaggagtg caattgctag atcatatggt aagagtatgt ttagttttgt aagaagctat 16740
caaactatat tcaaagtgac tgtaccatta tacattccca tcagcagtga gtgagagttc 16800
ctgttactcc acatcttcac cagcatttag tggtgtcagt gttttggatt ttagccattt 16860
taatgggtgt ataatggtat acctattaaa attggttttt tttggagaca gagtttcaca 16920
gtttcactct tgttgccctg gctggagtgc aatggcgcaa tctcggctca ctgcagcctc 16980
cgcctcccag tttcaagtga ttctcctgcc tcagcctccc aagtagctgg gattacaggt 17040
gcacgccacc atgttctgct aatttttttg tattttagta gagatggggt ttcactgtgt 17100
tacccagget ggtettgaac teetgagete aggtaateca cetgeeteag etteccaaag 17160
tgttaggatt acaggcatga gccaccgcac ctggcctcaa ttttttttt tttttttt 17220
agacagagtt ttgctcctgt tgaccaggct ggagtgcagt ggcacaatct cggctcactg 17280
caaceteege eteetgagtt caagegatte teetgecaca geeteetgag tagetgggat 17340
tataggegee egecactacg cetggetaat ttttttttt tttttaatta gagacgaggt 17400
ttetecatgt tggteagget ggtettgaae teecegttet eaggtgatee geetgeetea 17460
gcctcccaaa gtgctgagat tacaggtgtg agccaccgtg ccccgcctgt tttggctttt 17520
actgtgaaga cgtgttagcc gctgtgatga ctagcaagtg tggccctcca cccagtcgct 17580
ctgggctccc agctcctgca tcctgctgca aacttgacat cttccctcaa gtaacttgta 17640
gttgtctcct gtctacttgc ccaaaatata actcttaaac ttttctctct gcaagtttgt 17700
gcctctctcc ctgtctgact tccccatcta aataaatggt agaccaccat ctactccttt 17760
gtgcaagcca gaaatctagg aatcatcctt aaattccctg ttctgtctta tctctgcttt 17820
cattcaaagc atcagcaaat cetgttggtt ctacetetga agttttetea aatactgtta 17880
cttgactcat cctgactttt gtttctgctt tatgttaggc taaatgccct gaaaactctt 17940
ttgtacaaaa cacctagaaa tactggataa actgggctta acagggaggc ccggtgtggt 18000
ggctcacgcc tgtaatccca gaactttggg aggccaaggt gggtggatca cctgaggtca 18060
ggagttccag accagcctgg ccaatacgta gtgaaacccc acctctacta aaaaaaaaa 18120
aaaaaattaq ctqqqtqttq tqqtqcacac ctqtaqqtqq tqcatqcttq aacttqqqaq 18180
geggaggttg cagegagetg agategegee aetgeaette ageetgggtg acagageagg 18240
attetgtete ttaaaaaaaa aaacaaaaaa agaaaaacag gaaaatette agaagcaaaa 18300 accaaacaat etcaccaaag aaatgagaag atggetggge geggtggete aegeetgtaa 18360
teccageact ttgggaggee gaggeggea gateaceega gatgggeaga teaceegagg 18420
tcaggaattc gagaccagcc tggccaatat ggtgaaaccc cgtctctgct aaaaatacaa 18480
aaattageca ggtgtggtgg caggegeetg taateecage taeteaggag getgaggeag 18540
gagaatcgct tgaacctggg aggcggaggt tgcagtgagc cgagatcatg ccactgtact 18600
ctagcctgga cgacagagca agactctgtc tcaaaaaaaa aaaaggctgg gtgtggtggc 18660
teatgeetat aateetagea etttgggagg eeaaggtggg eggateaett gaggeeaggt 18720
gaacatggcg aaaccccatc tctactaaaa atactaaagt tagctgggca tggtgggg 18780
tgcctgtaat cccagctact cgggaggcga ggcaggagaa tcgcttgaac caggaggtgg 18840
aggttacagt gaaccgagat ctcgccaccg cactctagtc tgggcgacag agcaagactc 18900
cgtctcaaaa aacaacaaca aaaaaccaac acatggccaa agtgcagtga cttacatctg 18960
tataatccca atgttttggg aggctgaggc aggaggatcg cttgagtcca ggaatttgag 19020
accagoctgg gcaacataga cotcatcaco aaaaaaaaaa tatttttaa ttagotgggt 19080
ttggcagcat gtacctgtag tcctagctac tcaggaggct gaggtgggag gatcacttag 19140
geocaggagt ttgatagttc gaggttatag tgagctatga tcctgccact gcactccagc 19200
ctgggccaca gagtgagacc ctgtctctta gaaacaaaac aaaacaaaaa aaagaaactg 19260
aattaaaaac aacaagaaca aaaatgctgc tttttgttat tgagttgtag cccaagtttc 19320
ttgagggtaa agcattgaaa agcaggcagt aatagatttg ctgtttaaag agatttactt 19380
quagractat tracaatage aaagacatgg aatraaceta aatgeccate agtgacaaat 19440
tggataaaga aaatgtggta catacactgt ggaatactat gcagccataa aaaacaacga 19500
```

```
qatcatqttt ttgtttgttt gtttgtttgt ttgtttttga gatggagtct tgctctattg 19560
cccaggctgg aatgcaggtg gcacgatttc agctcactgc aacctccgcc tcccaggttc 19620
aagcaattet etgeeteage eteeegagta getgggatta eaggtgeeet eeaceatgee 19680
tggctaattt ttgtatttct agtagagatg gggtttcacc gtgttgggca ggctgttctt 19740
gaacteetga ceteatgate eteceaeete ggeeteeeaa agtgeeggga ttaegtgtga 19800
gccaccgtgc tcggctgaga tcatgttttt gcaggaacat ggatggagct ggaggctatt 19860
atecttagea aagtaatgea ggaacagaaa accgaagace acgtgttete acttataagt 19920
qqqaqctaaa tqataaqqac ttqtqaacac aaaqaaqqaa accacaqata ctqqqqttta 19980
cttgagggtg gagagtggga ggagggagag gaacagaaaa gataactatt gggtattggg 20040
cttaatactt aatatttat caaaataagc tgtacaacaa acccctctga catgagttta 20100
aaaggetggt tgcattggga ggctgaggca ggcagagcac ttgaggccag gaattcgaga 20220
ccagcttggc taacgtggag aaaccctgtc tctactaaaa attcaaaaat tagccaggtg 20280
tggtggtgca tgcctgcagt cccagctacc agggaggctg aggcaggaga attgcttgaa 20340
ctcaggaggc agaggttgca gtgagctgag attgcaccac tgcattccag cctgggcgac 20400
atatctcaaa cctagtcatc caagtggttg tacgatttta gtgtctgcat atcaatattt 20520
agtgtgatct actttcttag attctcaaat actgccaatg ggcacatgtc atgaaataat 20580
gictittaga ggacaagaga gtgctaaagt ctcattattg cagtttaaga aaaacaattc 20640
tgtaacagtt taactttata ggaaatgcct tttgtttatt tattttttt cttttgaggc 20700
ttagattttt atttttatgt ttttagagat ggggtcttcc tatgttaccc aggctggcct 20760
tquattectq qqctcaaqtq atettectqc tteaqcetec tqaqtaqetq qqactaqacq 20820
tocactactg ctcctggctg gaagtttaga ttttaattta aactcttcta ttgggaaact 20880
ttgtatgttt gctttaccac ttaacatttg catgcattat tgtacctatt gtctcctact 20940
taaggaaggg cagtttatgc tgttatatga agtgaattaa cctcctatgg tacttcagtt 21000
ttctctatgc taaaagtgtg ttctagattt ttgaaaaact tacttaattt tcattcattt 21060
attcaaatat ttgagcattc tgtagttgct ggggaaatag cagtgaactg aagaatgtct 21120
ttgttcttat ggggcttaag ttcctagttg atcatattgg aaggagatac atgaaaaaag 21180
aaatatatga acaatggagg gcgatgagta ctgtaaagga gaattcagca ggggagatgt 21240
tgctgtttta gatagagggg tgtcaagaga cattgtgcag agacctgaac gaagtgaggg 21300
agcaagccat ggagatatct agggaaagag cctatcaggt ggagagaaga gtcctagggc 21360
agaaacgggc aaggtgtgtt ccaggagcag agaggggaca gctgtgagca aggggagagt 21420
tgtagggaag gaggcaaaga gagacatctg gggcaaaatg gattgactgg tgggccgtgg 21480 taggactttg gatttttcc tgagtgggtt ttgagcaggg gaatgaaatg atctgactct 21540
ggtttttttt ttttttggag acaaaatctt gctctgttgc cgaggctgaa gtgcagtggc 21600
gcaatctegg ctcattgcaa catctacttc ctgggttcaa gctatgctcc tgcctcagcc 21660
tecegagtag etaggattae aggettggge caccatgeeg gegaatttet gtttttattt 21720
ttattttta tttatttta tgtttatgtt ttttgagacg gagtctcgct gtgtcaccca 21780
ggctggagtg cagtggcgcg atctcagctc actgcaacct ctgcctcccc ggttcaagca 21840
acttetectg ceteagecte cegagtaget gagattacag gegeetgeea etacacetgg 21900
ctaatttttg tatttttagt agaaacggga tttcaccttg ttggccaggc tggtctcgaa 21960
ctcctgacct taatttatct getegeettg geeteecaaa gtgetgggat gacaggtttg 22020 agccaccgtg ccagccagga etettattt gaaaggatct gtaatgtgga gaatagaagg 22080
tagagggaca aggatgaaag catccaggcc agttagccta gtccagctat ctaggtaaga 22140
gatgctggtg gcctggatta aggctgcgtc agtgggaggt tgtgagaaag gctcaccttc 22200
ctttttttt ttttttttt tttttgagac aggatettac tetgtetece aggetggagt 22260
gcagtggtgc aatctcagct tactacaacc tecgectect gggctcaagt gatacccca 22320
cctcagcctc ccaagtagct gggatcacag gcttgcgcca ctatatccgg ctaatttttg 22380
tatatttegt agagacaggg ttttgccatg ttgcctagge tggtctcaaa etectgaget 22440
caagtgatcc accegectca geetectaaa gtgetgggat tataggeetg ageeattgtg 22500
cccggtcact tccagatttt gaagacagag ccaacaggat ttgttaatgg attaggtgtg 22560
gcaggaggag ggggaggaag agagagaga actggagttg aagttaaggc tcatttcaag 22620
gtttttagcc tcaacatgtg caggaatgga gttgtcactt gctagaatgg gggagactgg 22680
aggagaagcc ggctgggaga ggtttttaat gaaggggttg gctttggata cattaagttt 22740
gacatgcatt tragacatcc aggtggagat attgaagagg cagttggcta taagtgtctg 22800
atgttcatat tagcggatgg ggctagagac ataaatttga gaattgtcag tgtataaacg 22860
ttgttttgaa agaaagtggg gctgaataat ttagaaagga gtgcatagag aaaataagtt 22920
tactattaaa atagctttaa caggccgggc acggtggctc atgcctgtaa tcccagcact 22980
ttgggaggct ggggtgggca gatcaaaagg tcaggagttt gagaccagcc tggccaatat 23040
ggtgaaaccc tgtctctact gaaaatacaa aaattagcca ggcgttgtac cgggcacctg 23100
tagtcccagc tacttgggag gttgaggcag gagaatcact tcaacccggg aggtggaggt 23160
tgcagtgagc caagatcacg ccactgcact ccatcctggg caacagagca agactccgtc 23220
tcaaaaaaaa aaacaaaaaa aaacaaaaaa aaaaaacttt aacagcaaag cctcttcctt 23280
taaaattatg aattttttc ttatggaagt tggactcttt cattattaag tctacattca 23340
atcactatgt tagtaaaaat gttgttctag ttgccgaatg caataaacca gctcagactt 23400
```

```
agtggcctaa agcagcaatc atttgactat gttcgaagat gccgtgggca ggaatttaga 23460
taacaqcagg gatggcttgt ctttgctctg cgatgtctga ggtctcactg agaaaactca 23520
ageggetggg ggtaataate atetggaatt ttetttaete etgtatetga tgtetggget 23580
gegatgaete aaaggetgat tteagetgag actgtagaee aegtgeetae ttgtggeete 23640
cccttttgcc ttgggtttct cacagaatgt ggctggttct ggagaatgag acttccaatg 23700
aaatcaggtg gaaatgacat ctcgccgctt tcagcatgct ctattggttg gaacagttat 23760
ggacttagct agattcaaag gaagggaaca aagaccccct cctctcagag agtggggcat 23820
aatgagagaa tttagggcca tgttatccaa ccaccacaaa tgccttctga atttgaggtt 23880
ctgcctcaaa agttcatagt tcctttgact gaaggacttc tatatatcca agcatcgtca 23940
gccccaggta tattgttcca tgtaagtgac caggactacc ttagtatttc gtatagggaa 24000
agtgacctga ataaatttga gaaaagaatc ttccttctct ccagtaagca ctgaggtaag 24060
cattgageca tattataggt ttatgacttt gagactcaga aatttaaatt cttggccagg 24120
cgcagtggct cacgcctgta accccaacac tttgggaggc caaggcaggc agatcacttg 24180
aggtcaggag tttgagacca acctggccaa aatggtgaaa ctccatctct acgaaaaata 24240
caaaaattag ccaggtgtgg tggcgggcac ctgtaatccc agctacttgg gaggctgagg 24300
taagagaatg gettaagtte tetttatetg etttatttea gttgeetete ttagatgaat 24360
attaatgact tacatagcat tttagatcag tggatgtttt tgtgattctt ttatttgagc 24420
tttggccaaa gataacagta cccacaggtt ttttccagct actcgctctt ctcccttcag 24480
tggccctcga gcctggaaaa tctgacatga caatgtgctt gctcaaccta ccactgtttt 24540
tettttgaaa agtttggcag eetgtttetg acteetatga aggtgaatte etcageatte 24600
acaqtttatt agaaaaatac tttgcttctc tccaaactcg aaattcaaga taaccaaacc 24660
tatatatagg ctgatctttc aggatgcagt tgtcatgttg atgccatgct tttcagtatc 24720
gtggccatca tctgttcagt aggggaggtg tacttctgta atgggaggtg gtggttatgt 24780
gtgtgtgcaa gtgtttattt ggtgtcttaa gttagcctgt gggaagttct aaatcaggat 24840
ggtacgtggt tgccagcaga gagctgctcc tcaagtgaag gaggtagaat caaagccaat 24900
aggaaagagc ctcagatgct tatatatgta ccgtggggat tcagagtgaa agcagtcatt 24960
ggactagggg tggggttagg gagagcctgt ctgacagaca caagaaaggg atggataacg 25020 ccacccagag aaaaaagcat tttaggcaag aacaaatatg aaaaaggaac aaagtctgtg 25080
qqtqqqqqc aaqqaqqaqa taaqttqact tqaaqqaaqa caacacttat qaaaqtcacc 25140
tggaggctgg gtgccatggc tcatgcctat aatcgcagca ctttgggagg ccgaggtagg 25200
aggacaactt gagcccagga gttcgagacc atcctgggca acatggtgag actgagtctc 25260
taccaaaaaa aaaaaaaaa gaaaattatc cagacatggt ggcatgtgcc tgtaatccca 25320
gttactcagg aggctgaggt gggagggttg cttgagccca ggaggttgag gctgcagtga 25380
gctgtgatcg tattattgca ctccagcctg ggtaacagag caagaccctg tctcaaaaaa 25440 tgaaagtcat ctgtaggctg gagaagggaa ctggaagggg ctaaagttgg ctgagtagtt 25500
acagagectg agataagggt aaagattttg cattggacaa tgagatgtta gtgtgtgttt 25560
ttgagctggg gagtgctgtg attttactct tattgaagaa tcactgaagg attattcttg 25620
aatcagtgat tettgateat tettgaattt tteaaacage aaaactggaa gagttggeet 25680
attecteaga atatitteta attgggegea gtgteeteac ttgggagaac etggetacac 25740
actitagtig taattcactc cagtegitca ttcattcaat acctattitt tcagcaccta 25800
ttatgagcca gacactatgc tggatgccag ggttcagggt aggacacgct agtgagcaaa 25860
agccaagact cttcttgtct tcatggggct ttcagtccag catagtggtt atgagtccaa 25920
gttaatggag tcacagtact tgggtgcaag tcatggtgat ggtgatagaa ggaaggcatg 25980
tgtgagggcc agtggcaggc aggagcctgg tgtttttgag gacctgaaga aggagcagag 26040
tgagtgccag gaacttagcc accagctggt accagccata cgagaggggc agagccagcc 26100
aggatgtegg teatgetagt aatgagtaca aacaettaca tgetgeacge tattgggete 26160
ctgagtgcta cgtgttcatt agctcgatga atttgtacag caaccctgtg aggtaagcac 26220
tgttctctcc cctttctata gatgaggaaa ttaaggcaca aagaggataa ataactggca 26280
ccagctacac gctaagtgat cgaagtggtg gaaccaggat tcaaatccat gctattctgc 26340 cttaagataa caaatcttgt tttttagcct aagaacagag cagtcatcag gagggtttta 26400
agtaggggtg tggcaagatc aagtttgtgt cttgaaaagg tctctctacc cacagtgtgg 26460
aaaatggcct ggaggcaagc acacagatgt tgggagacag ttaacagctc ttgccatggc 26520
cccctatgca ttttggctct gatgtttctg cctgattttt ctcttgcctc tgcctctttt 26580
cctgagggga tggcaggttt taccattcag ctggagtaca aaccctgaac cctttttggt 26640
taaatatcta cttgcttttc ctacagtatt attttgagtt gctgtggctg taatgtcttg 26700
agggaatcga gcttgacagt aatttataga acaaacagtt tttagagact gtgtggccca 26760
attgccctct caatgttggc actcctgcca tgacatttac catgctgagc atgtgaccgc 26820
catctgaata ccaaatgcca caggaacctg ggaggttgtc acttactcct ccctttctct 26880
gagtcacctt tgcccttcag tcagtcacca agtcccatca catgtagctc tgtaatgtca 26940
cagaagatgg atgtctgcct caaaacactt acaatgctgc tacctaaatt gggcagccac 27000
gacctcccac caggattatt gcagcctgag ggatcttttt gaaatgtaaa tcaaactatc 27060
acttytctyt ttaaagcttt tcaaagactt accccattyc cettygaaga aagtycagat 27120
atcttgacag gagageette tecageetee tettetgeeg tggteteett gtacagtete 27180
tacagtgtac tgcttcatta gaaccctgga gattattatt tgctagttct gggctaagaa 27240
ctggcacctg gctttgtaga gctcctcagg agattctgag gcgtattcag agttgagccc 27300
```

```
tgatctctgc tctgatttcg aggttctcgt tatatttatt aatgatcacg aaaaaattta 27360
gttttgetet tgttgeccag getggagtge aatggegtga teteagetea etgeaacete 27480
cgcctcccgg gttcaagaga ttctcctgcc tcagcctccc aagtagctga aattacaggc 27540
atccaccacc atgcctgcta atgtttttgt attttttagt agaggtgggc tttcacagtg 27600
ttggtcaggc tggttttgaa ctcctgacgt cagctgatcc acccacctag gccccccaga 27660
gtgctgggat tacaggtgtg agccaccgtg cccagccgta gctttcgaaa tttgaaacct 27720
ggtcccactg tcagaggttc caatttggca ctggtttggt tcccaggcat ctttcttgct 27780
gtatatattt tttagtgtca gccagggtgg agacctctgt attacttcat ggggaagaat 27840
ttqqqaqaaq atqttqtqaq qaqacaqqtt ctaqtectaq aqtqatttat cctttctcqt 27900
acagatttcc aggtatttga ggggccactc ttctgtaatt catgtttttc tctcctaacc 27960
tcactcctgt tgcctgcatc ttcttgctga gcaaaatatt caaggtcttc aactcctcac 28020
accetggtig tecetecetg gatgtgtttg gttgttttag tgttecattt caattttgat 28080
acacagaatt agaatagcat ccagatgtgg gtctgttaca gctagactac tagatccttc 28140
aaaatccaag tactagtatg tctattaaaa taccataaga tcacattggc tagttacaat 28200
ggttggtttg tgggttactt aaaaatcaac taaaattctt ttttttttt tgagatggag 28260
ttttgctctt gttgcctagg ctggaatgca atgacacaat cttggctcac tgccacctct 28320
geeteecagg tteaageaat teecetgeet tageeteetg agtagetggg attacaggea 28380
tgtgccacca tggccagcta attctgtatt tttagtagag atgaggtttt tccatgttgg 28440
teaggetggt etegaactee egaceteagg tgatecacet geeteageet eccaaagtge 28500
tgggattaca ggcgtgagcc actgagcctg gccaaaattc ccactttcta atactcctgt 28560
agtagetggg taeggtgggt cacatetgta ateceageae ttttggagge tgaggetgga 28620
ggategettg agectaggag ttegagacca geetgggeaa gatggeeaga egecatetet 28680
aatttaaaaa aaagaaaaaa caagactcct atagtggtga agaacagaca ttccgaaaac 28740
agactgtgcg ttatgattcc agctccatgc ctttactacc tgtgttgtga ctttggataa 28800
atcacttaaa aatcttttt tttttttt ttttttgaga cggagtcttg ctctgccgcc 28860
caggetggag tgcagtggcg cgatctcggc tcactgcaag ctctgcctcc caggttcaca 28920
coattetect geetcageet eccaagtage tgggactgea ggtgeeegee actacacetg 28980
gctaattttt tgtattttta gtagagacgg ggtttcaccg tgttagccag gatggtctcg 29040
atetectyte etegtgatee accegectea geeteteaaa gtyttyggat tacaggegty 29100
agccaccgca cccggccaaa tcacttaaaa ttctgtgcct cagtttctcc tctgtaaagt 29160
gggataaaaa tagtacctat ctgatagggt tgttacaatt atgaaatgag caaataagta 29220
tgtcaagtgt ttaaaacagc gcctggcttc ttgtaaaaag tgctatataa atcatagcta 29280
taatcattac ttatttcgac tgctctttaa ccaaggttct tatttttcat ctttttcttt 29340
tgttttgaat atcacttagt gttttcacct tttactcttt ttaggaccta gagccatcct 29400
aggtgaaata cgtatggaga tatttgatca ggtcaccacc cagctctcct gacctccctt 29460
ctctccttaa attaacatgc caaatcacag catcactgac tccttccctc ccgatatgat 29520
aagagtgtgc attgaaatgc atgtatttta cttagcaggg aaagctgatt agtgattatc 29580
acacttaacc cctagtgaat ctgatggatt aacctgcttt ccaggacact aaggaaatgg 29640
gtttaagata agaaatatct ggctgggtgc ggtggcttta cgcctgtaat cccagcactt 29700
tgggaggccg aggtgggcag atcacgaggt caggtgattg agatcatect ggctaacacg 29760
atgaaacccc ctctttacta aaaatacaaa aaattagccq ggtgtggtgg cgggcgcctg 29820
gagtcccagc tactcgggag gctgaggcaa gagaatggtg tgaacccagg aggcagagct 29880
tgcagtgagc tgagattgtg cccaccgcat tccagcctgg gcaacagagt gagactacat 29940
ctcaaaaaaa aaaaaaaaa aagtaagaaa tgtccatgaa agggagaccc tgggggaaag 30000
gaacaataac tgcagctctg aggatctggc accagcagca ccagcacaga gggatgctgt 30060
acaaccatta ttgattttaa ctttacaaca gttcttcaaa ggagagagag ttccctgttt 30120 tactgaagag aaagcccatt tggtagtgaa ataccattcc caaagacaaa tagctaataa 30180
atgteaggea gggttttgea eccaggeeca tecageteee gtetetactg teettteeee 30240
cacaccacac tgatacagag gaatgtgtct ggttggggaa gtggaagtgt tcccaagtgg 30300 ggaggtcatc tgatgcacaa atttggtctg ttttgtgggt tttcttgttt tagttttagt 30360
ttttgtagag ctcagacctg ttcttaggca gctttaacaa tcaactgtgc actcagtaat 30420
tgacaaatca tgtttgttac ttttaattta gagggaatta ggtttgttaa gctcttgctc 30480
cttetttaga gatggggtet agetetgtea eccaggetgg agegeagtgg tatgateaca 30540
geteactgea gteteaatet geteaagtga teeteetgee teageeteea tgggaetaca 30600
agcatgggcc accatgctag gctaatttta aaaaaatttt tttgtagagg caaggtctca 30660
eggtgttgcc caggetggtc ttgaactect gagetcaage aatceetett ceacettggc 30720
ctctcaaagt gctagaatta taggcatgag ccaccatgcc tggcctttac ttctttcata 30780
tattcaaatt ttgtcatatt agtagggaac tataactcaa gttttcttat agattgatgt 30840
tcatttttac aagcttgatc gtcattggtt tttaatttta aagcaaatcc tgttatatgt 30900
aattgaacat tacagtaatt atagtaattt gtttcagatt gggcactcaa gtgttaatat 30960
tttgtctctt taggaaatca aaactagatt tatatataga cttcttattg caagtatcta 31020
gtcttaaatc ttacaaaggt actatttgga cttaaaacta tgaaattgtg tgcttactat 31080
ataagtgtac ttattttgag ttatgtttta aacttgaaat tccattctta atgtctagag 31140
taattatgaa tggttaaatt atgaatgact ctaatagttt aaagctacag tatttattta 31200
```

```
tttatttatt taatttattt tttgagatgg agtttcgctc ttgtcgccca ggctggagtg 31260
tagtggcacc atcttggttc actgcaacct ctgcctcgcg ggttcaagtg attctcctgc 31320
ctcagcetee caagtggetg ggattacagg tgtattteae catgeetgge taatttttgt 31380 atttttagta gagacagget tttgccatgt tageetgget ggtetegaac teetgacete 31440
aggtgaceta coetecteag ceteceaagg attacaagca tgagecacea cacetggeet 31500
acagtatttt aatgtggact ctctgtcatc cattatgctg tttatcctgt ggtgaaaatt 31560
ttatgaagat tgaatgittt tetetagegt gaattgetti etettaetti teteattttt 31620
ttccttccta atctacttgc agatacttca gattattttt agaacgtggt atggtgagaa 31680
caaataaatt ggggtttcca aatcttaata aattatgtgg ccctcagtgg gattagcagg 31740
gttgtattga aaacaccaat agaaacaaaa tagttctttt atgcgcttta aataaaaatt 31800
tetttteagg eeaggegeag tggeteacae etgtaateee ageaecetgg gaggetgagg 31860
caggcagatc acctcaggtc aggagtttaa gacaagcctg gccaacatgg tgaagcgccg 31920
tetetaetaa aaatacaaaa attageeggg tatgatggeg catgeetgta ateccageta 31980
ctccagaggc tgaggcatga gaatcacttg aactcaggag atggaggttg cagtgagctg 32040
agatggtgcc actgcactct agcctgggca acagagtgag attctgtctc aaacaacaac 32100
aacaacaata acaaaacatc tcttttcagg ccaggtactg tggctcacgc ctgtaatccc 32160
agcactttgg gaggccaaaa caggagggtc gcttgagacc aggagtttga gaccagcttg 32220
ggcagctggt ctctatttga acaaacaaac aaacaaacac aatactcttt tcatagaaaa 32280
atgtttacta cacaataaac tttaaaagaa tatgcagctg tattaatgct atgactccaa 32340
tttaaaggaa ttacatcaac atgtcaattt ttatttttc ggagacaggg tctcgctgtg 32460
tcacccaage tggagtacag tggtgcaate acageteact gcageettga ettectggee 32520
tcaagtgatc ctccccctc agcctcccaa agtgctgggg tcacagacca ccacacctgg 32580
caacatgtca gtttttgttc tgcatagtgg gatggtggga tatggatgtt tttatctttt 32640
attttctttt ttatattttt ctaaattttc cacattgaac attattttat aatctttcaa 32700
acatatetet taaaaggact ggtteetata gaatteagtg caagaaatet tetgtgttte 32760
tttatacttt ggttgccttg atcactgggc ctttcctgac agcaaagaag aggttagtgt 32820
aggcagcaga taaaacacag gtatgctcta tttaaaatgc atgtatttat aataaaagta 32880
taggtggtac ccaaaggaaa atgtcatgac acattgcaaa gtggaacaga agttatcttt 32940
agateaettt etgttetgga ttattgtatg ageetgattt tegtetetet tteegeette 33000
ceteaceete gttgtaaate cactagtgca tggatgtgaa gtacaagtet taaetttaaa 33060
aagttttatg aagctgtgta gtaaatccct tttgtaagtg gtcttgactg cgtttctcaa 33120
tatatctttt ggtttcatta gattcaagta tataaatgag aactgtaact ttggacagac 33180
tttttcagtc atctttacgg taataagttc ccaattagac aatagttatt tgttttatga 33240
cttgctgttg gtaggttatc cccaagggac tgagaaattc ctgttttgaa aagtccaaaa 33300
agtetttgat gacttgctgt tteatttttt tettttetet teagttatag aaaacaggat 33360
tacacccacc ttgcctttgt acagtgcatc tactatctgc tgacttaacc tgagtaaatg 33420
ctttgaattg agccccatat aatgtcctaa ggcagcctat atggagtaat gaattgtctt 33480
ctctcttatg cacccagagt ggtagttggc actcaagttg ttcctcagat aactttgtgt 33540
gttctggggc tcaatgaagt agttattaag tcacaggctt ggggagaaca ttcatcctat 33600
ggcattgaat gaagtgttgc ccaattctag aatgtctaat aaaatttttt taaaaaccca 33660
caggettaga attatteegt agatatgaag taatgtagtt agaaettagt ggagttettt 33720
agattaactt gtaatttgaa aaaccaaaat tgaaattgtg aaataacatg ggctctttga 33780
ggtcttttcc agtaaaacag ttacagtaaa gctgcttggc agtgattttc ctagacactt 33840
tggctagtca tctcctgtga ctgctgttaa ttaaatatgg tttgtagcta agcagcctgt 33900
aaggagaaga ctatggaagt atttgcatat tctctccttg aaaatactac ctggtctttg 33960
gctttaagtt atacttttat tttcccctgt agaataacta ttaaagtatt acctatggtg 34020
attagactaa gaagtaaaac atgaaatcag tcattgttgg tgccctggtg ccttcttttt 34080
ttttttttttq agacagagte teactetgtt geecaggetg gagtgeaatg geacgatett 34140
ggctcactgc aacctctgcc tcccaggttc aagcgattct cctgcctcag cctcccaagt 34200
agetgagact acaggegeec accaecacge etggetaatt tttgaatttt tagtagagac 34260
agggtttcac tatattggct aggctggtct caaactcctg accttgtgat ccgcccacct 34320
cagectecca aagtgetggg attataggtg ttagecactg tgeecagect ggtgetttaa 34380
ttttatggaa aaaactacta gctggtttct gttttaagaa ataacacagg ccgggtgcca 34440
tgacttgcgc ttgtactccc agcagtttgg gaggccgagg cgggcggatc acgaggtcag 34500
gagtttgaga ccagcctggc caacatagtg aaaccccgtc tctactaaaa atacaaaaat 34560
tagccgggcg tggtggggca tgcctgtagt cccagctact cgggaggctg aggcaggaga 34620
atcgcttgaa cctgggaggt ggaggctgca gtgagccaag atcgccccac tgcacaccag 34680
tacttactag coctectetg tecceageta aaaataagaa cagcaacaac caaaaaatec 34800
ttagttatgt actggaaatg aattagataa ttttcaataa cttacacgtt tttaggatat 34860
gttagtttga aaatgcaaat attcatgcat gaccccagtg ttaatctatg atggagcagg 34920
tatagtggga tgctgtttca tgatttaatt tggaccttca gggagtagac tgtgatgcct 34980
ctgcatttqt atccaagaca aataattaaa tagtctattt ttggctgggc atgatgcctc 35040
atgcctgcag teccagcact ttgggagget gaggtgggag gategettga ggccaggagt 35100
```

```
tcaagatcag tctgggcaac aaaatgagac cttgtctcta caaaaaactac aaaaaattag 35160
ctgaacattg tggcttgtgc ccctagtccc agctactcag gtccctgagt taggaggatt 35220
qcttgagccc aggagttgga ggttacagtg atctatattt gccactgcac tccagcctgg 35280
gtgacagaga gagaccctgt ctcaaaaaat aaagtctgtt tttaaaatta attttaaaca 35340
ctggagttta ttacaaaaag cagttggttc tttttttaaa tcatttttt ttaggagaac 35400
caccgctttt tggctacatt gtctagagta gcagtgttca ataaaaataa gatccaagtc 35460
tetttette titettitt tittitiga tatgeagtet cactetqttg cecaggetgg 35580
agtgcagtgg cacgateteg geccaetgca aceteegeet eeegggttea ageaattete 35640
ctgcctcagc ctcccgagta gctgggacta caggcatqtg ccaccatacc cagctaattt 35700
ttgtattttt agtagagatg gagetttgcc atgttggcca gtctggtctc aaactcctga 35760
cctcgggtga tccacatgct ttggcctccc taagtgctgg gattacaggc atgagccacc 35820
atgccctacc aatgttaagt tttctagtag ccatattaaa agaagtaaaa agaaatgggt 35880
gaagttaatt ttaataatat attttattta acccaatata tctaaaatat tatcatttca 35940
acatgaacaa gatactttac attettttgt ttttcactaa gtcctcaaaa tccagtgtgt 36000
attituatatt gacagcatag ttcagtttga agcagccaca tttcaagtgc tcagtagcca 36060
catgtggcta gtgactccat actggactgt gtaggtttag agtttcagta aatttgtatg 36120
caatagaatc tacataaatt ggcatattat gcagatttct ttgtatgcac atcagttctt 36180
qcatagcata agtcaggtca tgatgctttt agtctatgag gcagattttt ttttttttt 36240
ttttgagaca gagteteact tggteaceca ggetggagtg tagatgeaca atettggete 36300
actgcaacct ccatgtgagg cagattttaa cttggcccta atgcaaatat tgtaagagag 36360
atctaatggc ctttgatttc ttacagaggg caatcaatac atgccatggt tacaatgctt 36420
caqcatataq tatqcacqtc agccactqct tttactctqq ctaqtqctta qtqtacctqt 36480
accactgeec aggeageatt tgteetgtgg caggtgaate ttagggtgga aggtggcaag 36540
taacattgct tttttttgag agggagtctt gctgtattgc ccaggctgga gtgcagtggt 36600
gcgatctcgg ctcactacaa cctccacctc ccgggttcaa gtgattctcc tgcctcagcc 36660
tectgagtag etgggattac agaeggeeae caccatgete ggetaatttt tgtattttta 36720
gtagagacgg ggtttcacta tgttggccag gctggtctcg aactcctgac ctcgtgatcc 36780
accepecteg geeteceaaa gttetgggat tacaggtgtg agecacegtg eecageetac 36840
atttttaaat taattaatta taagcaggat ctcactgtgt tggccagact ggtcttgaac 36900
tgataagagt tcaagaccag cctaggcaac atggtaaaac cctgtctact aaaaaataca 36960
aaaaaaaaa ttagctgggc atggtggtgc gtgcctataa tcccagctac ttgggaggct 37020
qaqqcaqqaa aatcqcttqa acccqqqaqa ctqaaqttqc aqtqaqqtqa qattqcacca 37080
ctgcactcca gcctaggcga ttccatctca aaaacaataa caacaaaata acattgttgg 37140
aatatttagt taatttatag aagcgtattg gcctaattgg ggcaaatacc ttattctgac 37200
atteteteta tttgetttae tgagettttt caecagtgga atttaagece ttgatacatg 37260
aggagggaaa ataccttgga gctgtgctgc acatgtaaag tacacaggag atttagaaaa 37320
cttcgtagca aaaaaaagag tgtaaagtat ctcattaata gtttttgtgg gctggacacg 37380
gtggctcaag cctatactct tggcacattg ggaggctgag atgcatgagt ctaggagttt 37440
gagaccagee tgggcaacae agtaggacce egtetetaca aaaataatea gecagatgtg 37500
gtgcgcatct gtagtcccag ttacttgaga ggctgaggtg ggaggatcgt ttgagctggg 37560
aagttgaggc tacagtgagc tgtgattgaa ccactgcact ccagcctggg tgacagagtg 37620
cctgtctcca aaaaataaat aaataaataa taatatgttt tgtatgttca tatgttgcaa 37680
taacattttg gatatattaa atgaaataaa atacattaaa attaatttca cctgtttctt 37740
ttcttttctt tttttttt ttttttgaga tggagtctcg ctatgtcatc aggctggagt 37800
geagtggeac gatetegget caetgeaace tectecteet gggtteaage gattettetg 37860
cctcagcctc cctagtagct gggattaaag gcatgtgcca ccacacccag ctaatttttg 37920
tattittaqt aqaqacqqqq tttcaccata ttggccagga tggtctcgat ctcctgacct 37980
catgateege etgeettgge etcecaaagt tetgggatta caggegtgag ecaetgeace 38040
cagectettt taacttttta agtatggeta ecagaaaatt taaaatgeat gtgtggeetg 38100
tattctattt ctgttggatg ctgctgcctt agattattaa ttattcaatg taaagactgc 38160
tgggaggtac tacctgcact tccctgaata tatgcttgag agctccacca gccgtcttca 38220
cagtagcaag aggggtattc tgagtctgtc ccccaaagag ggagggagaa gtgcagccct 38280
ctcaggttct gtcagaaaac ctgatcccag gccaggcgtg gtagcttacg cctgtaatcc 38340
cagcactttg ggaggttgag gcaggaggat tgcttaagcc caggagttcg agaccagcct 38400
gggcaacaca gtgaagaccc tatctctaca aaaatttttt taaaaaaatt agccaggtgc 38460
aqcaatgctq cctqtactcc caqctqcttq qqaqqctqaq gtagqaqqat tqcctqaqcc 38520
caggagttag aggttgcagg agttagaggt tccacgatcg cacctttcat tccgttacat 38580
ttgctgcctt gagaacagaa gacctgctgg ttttgttgcc agtttgctca gtcattttta 38640
tgaaaaagcc agtgctaact aggtgcttct tcgtgccttc tctgagaatc aagaactcta 38700
gtatgtttgc gtgtgttcag tctctcatta aatgttctca ctatcccaga gaaccatctc 38760
attggacctt ggtctgtaca taccttcatc tttggctctg acttgtaatt atttttagaa 38820
cttctctttt tttttttttg gagacagagt tttgctctag ttgccagact ggaatgcagt 38880 ggcacgatct cagctcacct caacctctgc cttccaggtt caagcaattc tcctgcctca 38940
acctettgag tagetgtaat tacaggcatg tgccaccacg cetggetaat tttgtgtttt 39000
```

```
tagtagagac agggtttctc caagttggtc aggctggtct caaactcccg acctcaggtg 39060
atotgocogo ottggootoo caaagtgotg ggattacagg ogtaagcoac tgcgootggo 39120
ctaattttag aacttgttaa aacaacttgg cctctattga tatttccatg acccatgcta 39180
ttcagaaaga ggattacagg taattagctg gctgggtttc tcataccaga gcatttcact 39240
gggatgttcc tgaacctggg acaactttta tgcctggcat ttttctttcc ttctctgttg 39300
tcccagacta agcaattttt aaaatagtta ttatttgttg agtaggagaa tctcaggcag 39360
atcttcctgg atcctcattt atacttttaa acctgtagtc ttggaattag tgctctgtcc 39420
cccaacccca aacatccaat ttctacattt tggctacagt acaggtttac tgtgtataac 39480
taaaagggct gtggaggaga aagaaaggaa ccgacatttg ttgggcatct gttatgtgcc 39540
atgcactgag ctggatgctg taggaatatc tcaatacctc tgaggagtgg gaattattat 39600
ctctatttta tagacaaggg aatagaaatc tgggagttaa gtaatttttt aatttcacac 39660
acttctggta gataatggat tctagaacct ggcataatag ccacttgtca tcccagtgta 39720
aaagagatgt gtggccagat ggggtggctc acatatgtaa tcccagcact ttgggaagcc 39780
gaggcaggag gatgacttga gcccaggagt tcaagaccag cctgggcatg ttttgtttgt 39840
ctcacgaaac attttttaaa aaatgagtgt ggcatggtgt tgtgtgccta tagtcccagc 39900
tectegggag getgaggtgg gaggatetet tgageceatg ateatgeeat tgeaetetag 39960 eetgggeeae agageaagae tetgtettea aaaaataata aaaaggaget gtgattatee 40020
caaggtgggg attgtgaatg tgtttgtatt gttctaaact gggagaaaca ggctgggtgt 40080
gttggcttat gcctgtaatc tcagcacttt gggaggccaa ggtgggagga tcacttgagt 40140
ccaggagttc aaggccaccc tgggcaacag gcaaaaaata gagaccccat ctctattttt 40200
taaaaataaa ataaactggg agaaagaagc agggtcctcc ccagagcatc tttatcccta 40260
gtcacagacc tgacacctgt gttgggcaat ggctacttct agattgttta cccctactgg 40320
gacttgtggt gaacatatgc acactttggt ttacagttgg gacccctgat tttagcagga 40380
tggcccaatg gaatcagcta cagcagcttg acacacggta cctggagcag ctccatcagc 40440
tetacagtga cagetteeca atggagetge ggeagtttet ggeecettgg attgagagte 40500
aagattggta agtccttctt aagtgactct ccaaattgtt aggtttcagt ttgagtcaag 40560
agacatgaac tettaatgte atgeettget gtteeattaa aaaatgtatg ggtacaggtg 40620
atggggaaaa tgagatcagg agataaaggg gcaccetttg gtettgtaaa gcetttitta 40680
tettagaagg geatgtggge aactgtettt gacacattga aacegeetgt atggtggtgg 40740
atgtettgaa ggttgatttg gaceteattt acttgggeag atcetetata tattetgata 40800
atccagtgat gtggtagaca tattttttct ctgaatgtga attctgtcat agctagaact 40860
ttgggttgat acttgtaatt cccctttagt taaaggaagg agccacaggg gtgtattagt 40920
ctgttctcaa tttgctataa agaaatacct gagactgggt aatttataag aaaagaggtt 40980
taateggete atagttetge aggetatata ggaageatag cageatetge tgetggggag 41040
gcctcagcaa gcttccaatc atggcggaag gcagagagg agcaggcagg tcacatggcc 41100
acagcaagag caagagagca agggggaggt gccacacact tttaaactat cagatctcac 41160
aagaactcac tgtctcgagg acagtatcaa cagggatggt attaaaccat tcatgagaaa 41220
cccaccccca tgatccagtc accttccacc aggccccacc tcaaacagtg ggggttacat 41280
ttcagtatga gatttgggca gggatgtaga tccaaactag atcacaggat aagggaagta 41340
gattccattc atagagcaga taatggcaca gatgtccagc aactattttc ttcactttaa 41400
tatgctcagg ctcactactg attttggttt aattcaggcc agtgttaata tgacctggtt 41460
tttccagaat gcatactctg atttggtgaa gggccaggag gtgattcaca gatgttggag 41520
ataggccatc ccagcctggg attacttatt tgtactaata aatctgacca gagttaattg 41580
agggtttaaa gcaaaacagc atatctgtct actttgctca aatattttac aaatacaaca 41640
tttttttttt tgagatggag tctggctgta gcccaggctg gagtgcagtg gtacagtctc 41760
ggctcactgc acctctgcct cttggattca agcgattctc ccgcctcagc ctcccgagta 41820
gctgggatta caggtgccca ccaccacac tggctaattt tttatttta gtagagacag 41880
cgtttcacca tgttggccag gttggtctgg aactcctgac ctcaggtgat ccgcctgcct 41940
cagcetecca aagtgetggg attacaggea tgagecacca tgeetggeet ggaataattg 42000
ttaataatta ttacattgat ggcattttat tgctgagcaa gaagaatcta acatgatgaa 42060
tgggttatag catcaggttt gctttgtttt tttgtttttt tcctctttct tgatggtgat 42120
ttctgtgttt gtgtgtatgc gtcggcttca gagccattct ttatcattct tccttttcct 42180
agggcatatg cggccagcaa agaatcacat gccactttgg tgtttcataa tctcctggga 42240
gagattgacc agcagtatag ccgcttcctg caagagtcga atgttctcta tcagcacaat 42300
ctacgaagaa tcaagcagtt tcttcaggta tgatgagaaa ctgaggacaa ggagaaacag 42360
gaccegcaga gtcgggtgtt agtgttcttt cctggaagca tctcttttct catttggcta 42420
agtaacgaga atctatcttg tattttcaat cacaggagaa gtaattagcc ctttctcaaa 42480
gctctgtata cttacccgtg agcatcatta cctgagaatc acttctcttg tcacagttga 42540
agtaataaag tgattgttat gttaatcata catgttagca tgttaacgcg gtccactgat 42600
aggaagatga ctctcactgt tacatgttaa atgtttgacc ataatgggat acttcttgac 42660
taagtcagta getteeetge aagaccagga tagtatactg tgtaaagact cagacaagge 42720
caggcatggt ggctcacgcc tgtaatccca acaccttagg aggttgaggt gggaggattg 42780
cttgagcctg ggagttttga gaccagcttg ggcaacataa caagacacca tctctacaga 42840
aattttttt aaaaactagc tgattgtggt ggcatgcacc tgtagtccca gctactcaga 42900
```

```
aggctgaggt gagaaaattg tttgagcctg ggaggtcgaa gctgcaataa gccgtgattg 42960
cgccactgca ctccagcctg gcggacagag tgagagccag tctcaaaaaa aaaaaaaaa 43020
gactcagget aatgtgeett etgttacaga aatagtaacg aceteceett egeeeceege 43080
cgacagagag ccttcaccca ggctctgaag cctttgttcc gttgtttcct agaataaatg 43140
cttteettga tgaatacatt agttttaagg tgecacagtt cagtecacat etecatggte 43200
tgctgctgat ttttattctc tttctctcct acttatagag caggtatctt gagaagccaa 43260
tggagattgc ccggattgtg gcccggtgcc tgtgggaaga atcacgcctt ctacagactg 43320
cagccactgc ggcccaggtg agacctgaga caaaacaaat ccctggtctg ggaggaatgg 43380
aaaatcaaac aactttataa tgagataaat tattagatct actaaaaaag aaggaaaaga 43440
aattaaatag atcaataatc ataaaaatac attgaaaaac tctaaaaaaa aagaaagttc 43500
caccecccaa aatacattga aaaactetaa aaaaaagaaa gttecaccaa aagaatecaa 43560
cagacccaat ggtttaaaag ttttgttttg ttctgacaaa ttttctttgt ttttctttt 43620
ttttttttttt gagacagagt tttgctcttg ttacccaggc tagagtgcaa tggcgcgatc 43680
ttggctcact gcaacctca cctccagggt tcaagtgatt ctcctgcctc agcctcaaqa 43740
gtagctggga ttataggcgt gtgccaccac acccagctaa ttttgtattt ttagtagaga 43800
cggggtttct tcatgttggt caggctggtc tcgaactcct gacctcaggt gatccgcccg 43860
cctcagcctc ccacagtgct gggattacag gcgtgagcca ctgtgcccgg cctgttctga 43920
caaactttca tagtacagat tattccaata tcattcaaac ttttccaaag tataggaaaa 43980
caagggatgt tttcagctta ttttatgagg ctggaaaaat cctcatatca aaacctaaaa 44040
aacagccagg tgtagtagct cacgcctgta atcccagcac tttgggaggc tgagacgggc 44100
agattgcctg agcctcagga gttcgagacc agctggggca atgtagcgag acctcatctc 44160
tettttttt ttttttgag acagagtete tetetgtegt ecaggetgga gtgeagtggt 44220
gccatcttag ctcactgcaa cctccgcctc ccaggttcaa gcgattctct tgcctcagcc 44280
tecegactag etgggactae aggtgtgtge caccaageet ggetaatttt tigtattitt 44340
tttagtagag atggggtttc accttgttag gcaggatggt cttgatctcc tgacttcatg 44400
atccaccggc cacagcetee caaagtgetg ggattatagg catgagecae cacgeccage 44460
cttttttttt tttttgagac agagtcttgc tctgttgcca ggctggagtg cagtggcqtq 44520
atctcagete actgcaactt etgeeteeca ggttcaaget attcceetge etcageetee 44580
caagtagctg ggactacagg cgcgcccac cacacccagc taattttttg tgtttttagt 44640
agagatgggg tttcactgtg ttagccagga tggtctcgat ctcttgacct cgtgatccgc 44700
ccgcctcggc ctcccaaagt gctgggatta caggcgtgag caaccgcacc tggcttaatt 44760
aaggatettt etaaacacaa gaaagaatat ttateagaaa eeaaagggag catgatgeae 44820
agtggtgaaa cactattctc agtaaaaaca gcaaaagata aggatgtctt ttaccattga 44880
tacttttctg agggatccag cctatgcaaa aagaaaaaga aatgagggta caaatattgg 44940
aaagcaaggg acagaactct tattatttac agatagatag gtcttcctcg aagatccaag 45000
agaaacaaaa ctaacaataa caattggaac tagcaaggtt tagaaaggcc attgtataca 45060
agataaatat ttttagaatc tgcagttccc ctaatcagta gcagcagtaa cctgttagaa 45120
gatgtaatga aagtaaagat ctgggccagg cacgatgtct cacgcctgta atccaagcac 45180
tttgggaggc caaggtgggc agatcatgag gtcaagagat tgagaccatc ctggccaaca 45240
tgatgaaacc ccatctctac taaaaataca aaaattagct gggtgtggtg gtacgcgcct 45300
gtagtcccag ctactcggga agctggggca ggagaatcgc ttgaacctgg gaggcggagg 45360
ttgtagtgaa ccaagattgc gccactgcac tcctgggcga cagagcgaga ctccgactga 45420
aaaaaaaaaa aaaaaaaaa gaaagatctg attcatagta gtaaaactaa atgtatgcaa 45480
tttgcatata ctattggtat gtatgggaaa atatctggaa acacatatac taaatcatta 45540
aaqtagtcgg tcataggaga cttttttact ttctgtgagg ggttttaccg tctttaatat 45600
cctataatca gggacatttt ttctttttct ccgtgacccc ctgcttttta aaaaattgtg 45660
gtgaaataca cataacatta catttcaaat ttacctttgt aacctttgtt ttttttttt 45720
ttttttgaga cagteteaet etgteaecca ggetggagtg cagtggtgtg ateaeagete 45780
actgcagect caaccacetg ggccetageg atcetectge etcagectta tgagtagetg 45840
ggactacagg cacatgccac catgcccagc taattttttt ttttttttt tttggtagag 45900
atgggetett gecatgttte ceaggetggt gttgaactee tgggeteate aactgatgag 45960
aaagagetet eeaggeagaa agaagateat gttcaaagae agaaacagaa atgtgtatte 46020
ttgggagaag tgtagaaagt tcagcatctg attgggtcgg ggaagacaag ctagtcaagg 46080
ccacatgatg ttttaattag tcatgcctaa cagtggggcc ctggaagagc agtttaccac 46140
aaggggccaa ctgcttcggt ttgaacccgc agccctgcca cttgctctgt aaccttaagt 46200
aaacaatttt tactctctct gttcctccaa tgggagtgat aacaatacct tcttcataga 46260
attaattcat acatgtaaaa tgcttagaac agtatctgac acataaatgc aaaataattt 46320
aactgettte tgetgetget gacateacta teateaceet caccattact gtaggaaatg 46380
gggacccagt gaagaatttt tttttttttt tttgagacag agteteaete tgteaeceag 46440
geoggagtge agtgaegega ttteggeeca etgeaacete tgeeteteag gtteaagega 46500
tteteatgte teagetteee aagtagetgg gattacagge atgagecace acaetggget 46560
aattttttgt atttttagtg agatagggtt tcaccatatt ggccaggctg gtctcaaact 46620
cctgacctca ggtgatccat ccacctcggc ctcccaaagt gctgggatta caggcataag 46680
ccactgtgtc cggccctagt gaggaatttt aagcagaaaa ctgatatgct caggtgtgag 46740
cgaggtggta ggtaacactt actgtgcagt gccctgtagc ccaagaggtt agcacacagg 46800
```

```
catttgctca ggcagcacta ggattttctg ctgtggaaaa cctttgtatt ttatcctgct 46860
ccacaagata aaaataagtg gtttaagtca atttggatag aggctccaac ttaccatggg 46920
aggtaggaaa gccaaagtta tcccaaggat gttttcaatc gtacggatta ggggtctgca 46980
aactgtgagc gtggcccaaa tccagcctgc tgcttgtttt tgtaaatgag gttttttcgg 47040
aacccagcca cactcattta tttatgcatt atctgtggct gctttggtgc tgcagtggca 47100
gggctatttg tggcagggac tgtatgaccc aggaaaccaa aaatatttac cctctgtccc 47160
ttagagaaaa agtttgcaac ccctgatata aagctataag ttggttattt gtggcctcaa 47220
cccaggcete actgetattt tttetgttta caatacetgg catgetetta agtgetetaga 47280
attggttaaa gatagaagag tggatgtaat ccctgctacc aagggctgtc aggctagttg 47340
ggattataag tacacaaaca ctcaaagtga gaaaaacaca gaaaaggatg tgtgtcattt 47400
tgtctaagga agttgaataa gatttctcag gaaaagaaac atttgaactg aatttgaagg 47460
tgagtgagtt caggtgtgtt tgggctgaag cccaggccat gctgagtgga tagcgggtgg 47520
gaagagagt tggaaacaca ctgcatgcag ggaagagttg ggagtctggg gtgaccaagg 47580
cacagggagg gaaagttgaa gttatcaatt gtgtgaaaca gctttctgtg ttggcctgag 47640
atgtttatag ctggaagcag tggggagcca atacagtttt ttacgaaggt attagaggtg 47700
ggtttctgtg ggtgatcgtt aatcatgttt tctcccttta agtgtagtcc tgcttgagaa 47760
atagacatga gaaaggaatg aaggttaaaa catcagctgt attgttggta aaactagaat 47820
ggaaagtgtg gcttgagctg gtaaccatag gggctttcca atgcctgtgc cctgagttag 47880
tatggagctt cagctgccat agaccaacaa ggcagaggga taggcctcta gacctgcttc 48000
tagaaaccag gctgctgctc ttgcttatgg tgggccctag gaaggcaaga gtgagaggag 48060 ggaggcacca gcttaggtgc tgggttcttt gaagatctgt gtgtacacag agtctttctc 48120
tccatcttac caatcagatg agtcactgtc actgtgggaa gaagtagggg catgggtcac 48180
cttcccaaaa cttctaagaa gtttgtattc tgtgggcttg gatagggacc atgggaaagg 48240
aagagaatgg ttgcccataa aactggctgt agtgtggcct caaacttctg gacttaaatg 48300
atceteceae eteageetee caagtageta gaactacagg tatatgecae catgeceage 48360
tagttaaaaa aaaattttt ttttttttt gttgagatga ggtctctttc tatgttccct 48420
gggccggtct caaactccca gcctcaagtg atcctcctgc cttggtttcc caaagtgcta 48480
ggattatagg tgggagctac catgcctagc ccaagcctgt aattttttt ttttttttt 48540
gagatggagt ttcacttttg ttgctcaggc tggagtgcat ggcgcagtct tggctcacca 48600
caacctccac ctcccgggtt caggcgattc tccttcctca gcctcccgag tagctgggat 48660
tacaggcatg caccaccaag ctcagctaac tttgtatttt tagtagagat gggtttctcc 48720
gtgtcggtca ggctggtctc aaactcctga cctcaggtaa tctgcccacc ttggcctccc 48780
aaagtgetgg gattacagge atcagecace geacetggea egaacetgta atttttaagt 48840 ttcatatget atttatttt tgttatttet ttaatteatt catteattta tteattegag 48900
atggggcctc actatgttga ctaggctagt tttgaactcc tggcctcaag cagtcctccc 48960
acttcagect teceaagtge tgatattata ggtgtgaget getacateca geettettte 49020
ttctttttct ttttccatgt gctatttgac attttccaag gtaccagcct ccccttctcc 49080
ccaagataat atcttttaat atggaatttc atccctaggg caggactttt tttttattat 49140
ccctcagaaa tatactggac accacgttta agtagacatc caacatctgc tgtcataaat 49200
tgttttgaat tttttgacat acttgcccat gaggtttttg aaggcataga ccatgtctta 49260
gctgaacatg tggtctctta gtgccataaa gggggtttat ggtatgacct gtgtagtgtc 49320
acctgtgtag tgacagcacc actgcctctg tttcccttcc tcttgtgatg gcagcagcgt 49380
ctcaagccaa acaagaaggg tagttagggt gggatggaag ctgggtagag gtattcctct 49440
ccccatagtt ctgtgttcac atgtgcattg acctcctttt tggcagcaag ggggccaggc 49500
caaccaccc acagcagccg tggtgacgga gaagcagcag atgctggagc agcaccttca 49560
ggatgtccgg aagagagtgc aggtgatgca agttacaagc ctcgggcagg gagctttcat 49620
taattttttt ttttttttt gagacagggt cttgctctgc cactcaggct gggctgcagt 49680
ggcatgatca cageteactg cageetegae eteteaggee caagegatee teetacetea 49740
tcctcccaag tagccgggac cacaggcatg caccaccacg cccagctaat taaaaaaaaa 49800
aaatttgtag agatgggggt ctccctgtgt tgtccaggct gatcatgaac tcctgggctc 49860
aagtgateet eccaacteag ceteteaaag tgetggeatt acaggegtga gecactgeac 49920
ctggccaaca gggagccttc tcttggggat actgcctgca ggtcctgcat gtatcttttt 49980
tgaggttttg gcttcatttg aattctcctc agaaacttta tattttctgt tcccaaggaa 50040
atctttcttt acttctgttt ttttgtttgc ttattttaaa caggatctag aacagaaaat 50100
gaaagtggta gagaatctcc aggatgactt tgatttcaac tataaaaccc tcaagagtca 50160
aggaggcaag tgaatattag agatgttaaa atctctagaa agtgagtttg tgttgttgag 50220
ttgaaagact catttgtctt aactctgttt agatcttaag gcgggcgggg cgcaagggag 50280
gtacgggtcc tcaaaggagc ctggtcatta aggacaggag tattccctca ggtccaggag 50340
tattecetea ggtecaggag tattecetea ggteaaggag tattecetea ggteaaggag 50400
tattecetea ggtecaggag tattecetea ggtecaggag tattecetea ggtecaggag 50460
tattccctca ggtccaggag tattccctca ggtccaggag tattccctca ggtcaaggag 50520
tattccctca ggtccaggag tattccctca ggtccaggag tattccctca ggtccaggag 50580
tattecetea ggtecaggag tattecetea ggtecaggag tattecetea ggteaaggag 50640
tattccctca ggtccaggag tattccctca ggtccaggag tattccctca ggtccaggag 50700
```

```
tattecetca ggtcaaggag tattecetca ggtccaggag tattecetca ggtccaggag 50760
tattecetea ggtecaggag tattecetea ggtecaggag tattecetea ggtecaggag 50820
tattecetca ggtecaggag tattecetca ggtecaggag tattecetca ggtecaggag 50880
tattccctca ggtcaaggag tattccctca ggtccaggag tattccctca ggtccaggag 50940
tattecetea ggtecaggag tattecetea ggteaaggag tattecetea ggteaaggag 51000
tattccctca ggtcaaggag ttttttcttc cttcgcagac atgcaagatc tgaatggaaa 51060
caaccagtca gtgaccaggc agaagatgca gcagctggaa cagatgctca ctgcgctgga 51120
ccagatgcgg agagtaaggg cataggtcgg accacttccc ccatgtgtct cgctcacttg 51180
cgggatttca gcgtcttgtg gcagaacttg cttggtttct aagaagttcc tgctctggag 51240
ttgactaaag aatgtggtta gagacagtet gaggaaatgt tttetgactt tgttttggtt 51300
tccaaccaga gcatcgtgag tgagctggcg gggcttttgt cagcgatgga gtacgtgcag 51360
aaaactctca cggacgagga gctggctgac tggaagaggc ggcaacagat tgcctgcatt 51420
ggaggcccgc ccaacatctg cctagatcgg ctagaaaact ggtaaaggat gaaagaagct 51480
tttcctttct ttctcgaaag ctagattgaa ttctgatctt aactgcaggc ccacagaatt 51540
ggtactatat ctccaacgtg gggacttttc catattcaaa tttagcccaa gaattaaagt 51600
ttttacttta tttcggccag gcgctgtggc tcacacctgt aatcccagca ctttgggaga 51660
ccaagatggg cggatcactt gaggtcagga gtttgagacc agcctggcca acatggtgaa 51720
aacacatctc tactaaaaac ataaaaaaat tagccgggcg tggtggtgcg cacctgtagt 51780
cccagctact ctgggcggct gaggcaggag aatcacttga acctgggata tggaagttgc 51840
agtgagegga gatettaeta eegeacacca accageetgg gagacagagt gagactecat 51900
ctcaaaaaaa taaaaataaa ataaagtttt tactttattt qqaqaaactt tqttttaaaa 51960
aatgtattta tattattata ttttaagtat attttactta ataattcaat taaggctttt 52020
ggtttaactg tatttaacag atagacaaac cttttaattt tagttatttt agtaatctaa 52080
aatgacacat gcccttttta agggaaaaaa ttcaaataca gaaaattaat caagagaaga 52140
aaaaaattttt aaatgaaatc atcagcagta ctagtagtta aaatttagtt gatgctcaat 52200
ctagacatct gtcattatgt atatacacat tatgtatata cacataaaga tagaaattta 52260
tacagtttat attaggatca ttttttttc tttttttgga gtcagggtct cactgtgtta 52320
cccagtctag agtacagtta tgcagtcatg gctcactgga gccttgacct cctgggctca 52380
ggcagtette ecacettage etteteagta getgggacta eaggeatgea ecaceacec 52440
tggctaattt ttaaattttt tatagagaca gggtcttact ttgttgcctg ggctggtctc 52500
aaattoctgg getcaaggga teateceaet teggeetete aaaagetetg gaattataga 52560
tgtgagetge cgtgeecage ceaggatett cetttatatg ettttetgta atttgeaett 52620
ttaccttcat ccagcatatc ttactgcaac ccttcctgtg caaggcccta tagtgagcat 52680
gttgcaccag cttgccttag gagaaacttg agatacagag cctgcactgg aaatttageg 52740
caactctaca tgagaatgcc tgtctattca tatcctcact aaccctgagt gttgttaatt 52800
tactgaaagc agttttaaat gcttcctgac cagggaacga agaagcttaa gttctgggaa 52860
tgggaggata gaagtgccag aaaagagctc aggagttcag aaatccctgc agcggtcccc 52920
ctccctctcc tttcactttc tgtctttctg gtcttttggt ctttgttaca ctagtgataa 52980
accatcaaag aatgatggaa tgatgctaac ttctctcttt ttttaatttt tttgagacag 53040
agtotoacto tgtcacccag gttagagtgc agtggcatga tcttggctta ctgcaacctc 53100
ctcctcccag gttcaagcga ttcttagtca caaccttcca agtagctggg attacaggcc 53160
catgccacca tgcctgcta tttttttgta ttttagtaga tcgacctgcc tcggcctctc 53220
aaatttttgg gattacaggt gtcagccact gcacctggcc taatatctct attcttggag 53280
atagatttaa tgagcttttt ctccctctct attcacttat tccttgtgca tgttatcaat 53340
attttgaaac ataatgtcat gtcctttgat cagttgaagg ctgacattga aaaggcttat 53400
ggggattggg tgttgtggct cacgcctgta aatcccaatg ctttgggagg cagagtcggg 53460
tacaaaaatt taaaaaacta gacatgtgcc attacacttc agcctgggtg acagagtgag 53580
actocatoto aaaaaactaa actaaactaa acaggoatgg tggcacacac ctatagttot 53640
agctactcag gaagctgagg taggaggatc actcatgtcc aggagttgga ggaggcagtg 53700
agctatgatc atgccattgc actgcactag gccacagagt gggaccctgt ctcaaaaaaa 53760
aaaaaagaaa gaaagaaaag aaagggctca tgtagttcaa gcccttctct tcatgcaagg 53820
ggatgctaag gcccatgatg gtgaagggcc tggcaaagct tgcacagata gtgtgtgaca 53880
qaqctqqctc aaacccatct ttqqqaqctq tctaatctct ttttctqaqt ctttatqttc 53940
atagacaagt taggatgagt aaagtaagtg ctaaattcca tatttcgtgt tctgcatatc 54000
tgggctcaga tgcttgtcat tttccagtga taactccatc aatgcctcct agtggtataa 54060
attttaatac ttcttgtgtg cccagccccc tcttagaaat ttgagatttt aggaagggac 54120
tagtaataaa aggtaaaata aattattttc tggccaggca tggtggctca cacctgtaat 54180
gccagtactt cgggaggtcg aggcagatgg atcacctgag gtcaggagtt caagaccagc 54240
ctggccaaca aggcaaaatc ccatctctac taaaaatgca aaaattatcc gggagtggtg 54300
gtgggtgcct gtaatcccag ctacttggga ggctgaggca ggagaatcac ttgaacttgg 54360
gaggeggagg ttgcagtgag ctgagactgt gccactgcac tccagcctgg gcaacagagt 54420
aagactctat ctcaaaaaaa aaaaaaaaa aaaaaaggcc aggcgcagtg gcttacacct 54480
gtaatctctc aggaggctca ggcaggagaa tcacttgaac ccgggaaatg gaggttgcag 54540
tgagccgaga ttgcaccact gcactccagc tcaaaaaata aataaataaa taaattattt 54600
```

```
tcttttttta tttattttt cagcatccac ccaacatggt gaaaaattcc tcttttctta 54660
atqtcactga actgtaaact taagatgaaa aattgtaaat ttcatgctat atatatttca 54720
ccacaataaa aaaatteett gttettattg tagtggtete catgtettea gtattteett 54780
ccccttctcc atctcacctg tatacattca ctttggtaat tagcatcttt cttaatttat 54840
tggcaggata acgtcattag cagaatctca acttcagacc cgtcaacaaa ttaagaaact 54900
ggaggagttg cagcaaaaag tttcctacaa aggggacccc attgtacagc accggccgat 54960
gctggaggag agaatcgtgg agctgtttag aaacttaatg aaaaggtaat ttagcatcct 55020
tgtccctttc cctcatctaa aaaataccta aagactcacg tggtagagtg agaggcgggc 55080
tgacttctgg tcatggccgt ggcgcgtgag cccatcttct ctttcctcag tgcctttgtg 55140
giggagegge agecetgeat geceatgeat cetgacegge ceetegteat caagacegge 55200
qtccaqttca ctactaaagt caggtaggcc atgccacttc catttccagt agagatttta 55260
ctgagggaca ctgttagggt gagggtagag ttggtggcca gggtcattct ttccaggtgt 55320
ggtgtcacag gcagtacact gttgcggggt tgaaatttgt tgccatacta tctgcttgct 55380
ctctgattct gatgtcaaaa gcaaaagagc agtcatcttt ttgaaggtac ctgggcatat 55440
tectatgatt gtagacetgg agteteagge cacagettet cettetgece aagggacaaa 55500
ataatgtcat ctattttctg ttctttgagg ctactcttcc ctgtggattt taagggaaag 55560
agtaaggett agtgatgggg aagetgagag geeceaggge aggtgggtgg tgggeetgta 55620
gggtgaggtg ttactttcac actcaagtca gaacaggtgt gctggggttt tgaccttctg 55680
cagcaaaatt tccctcctca gaaacttagt atggtgttcg gtttcaggat taatagaaca 55740
aaatgccagc tgcacagcat gtgttcctgt aatatttttc attatatggc tttgattatc 55800
cttttgtgaa teteteacaa etttaagttg ttagttetta gatgttttet eagtacettt 55860
ggcttgaagg agtgatactc atcttttgtt tttgtttgag acagggtctc actctcaccc 55920
aggetggtgt geagtggeat gateteaget caetgeaace tecatetece aggtteaagt 55980
gattettgtg ceteageete etgagtaact gggaatagag gtgegtgeea eeacaceegg 56040
ctaattttt ttttttgag acagagtctc gctctttcgg ccaggccaga gtgcgtgttg 56100
caatctcaac tcactgcaac ctccacctcc caggttcaag cgattctcct gccttagcct 56160
ccctgagtag ctggaccggc acactccacc atgcccggct aatttttgta tttttagtag 56220
agacagggtt tctccatgtt ggccaggctg gtctcaaaac tcctgacctc agtaatccac 56280
ccacccggc ctccaaaagt gctgggatta cagatgtgag ccaccacgct cggccttttt 56340
tttttttttt tttttttga gatggagtet ttetetatea eeeaggetag agtgetgagg 56400
tgtgatctcg gatcactgca gcctctgcct cctgggttca agtgattctc ctgcctcagc 56460
cteccaaqta getgggatta caggtacetg ccaccatgec eggetgattt ttgtattttt 56520
agtagagacg gggtttcacc atcttggcca ggctggtctc gaactcctga ccttgtgatc 56580
caccigcett ggcctcccaa agtgctggga ttacaggtgt gagtcaccgc acccagccct 56640
attttaattt ttttaaagag agagataggg gccaggcacg gtggctctcg cctgtaatcc 56700
cagcactttg ggaggccaag gtgggtggat cacctgaggt cgggagttcg agaccatcct 56760
gaccaacatg gagaaactct gtctctacta aaaatacaaa attagctgag cgtggtggcg 56820
cgcgcctgta atcccagcta cttgagaggc tgaggcagga gaatcacttg aacccaggag 56880
gcggaggttg cggtgaacgg agattgcgcc attgcactcc agcctgggta acgagagaaa 56940
ctgtctcaaa aaaaaaaaa gagaaagaga gataggatct cgctctgtca tctaggctag 57000
agtgcagtgg catgatcata gatcactgta gccttgaact cctgggcaca agtgatcctc 57060
ttgcctcagc ctcccgagta actgcgacta caggtacatg ctaccacacc ccgctaattt 57120
ttaaattttt tatagatgtg ggeteteaet ttgttgeeca gaetgttatg gaacteetgg 57180
gctcaaggga tcctcccagc ttggcctccc acagtgctga gattatagat gtgagcctgt 57240
aattatagac agcttggcct atttacctgt tggaaatgaa gaattatgaa ttttacattt 57300
cttcaagaaa aggttatggg agagttactg actttttttc cttggatttt ttctttttaa 57360
ataggtigct ggtcaaattc cctgagttga attatcagct taaaattaaa gtgtgcattg 57420
acaagtaagt actcctatct tagctctgtt tttcaaatga ggaatagaaa aatgagaact 57480
ttgacagaca tcatttgaac tagagactct gtctttattc agagatcttc attttgtgga 57540
caaaagtttt caaaagcctt ggggtgcatt gtcatttacg tgtctgaaca aagccacaaa 57600
gctgggggta cagatttgat ttgtggttgc tattgtgaca accagtccct cttttccttg 57660
tttagttttt tacttgtaca tgtcattcat gcatattata tataagactg agatcatgtg 57720
ttaattaacg actgggatac gttctgcaaa atgtatcatt aggcaatttt gttgtgcaaa 57780
tgttgtagag tatatagtcc ttacacaaac ctgggtggca gaacctactg cacacctacg 57840
ctatgtggca gagcctactg gtcgtaggct gtaaacctgt acagtatgtt actgtgctga 57900
ataccgtagg caattgtaac acatctcaat gaagtaggaa tttttcagct ccatgataat 57960
cttatgggac caccatcata tatgcatttt gttgttgacc gaaacgtcgt tatatattct 58020
ttccatacat agcatgtgga aagaatagat ctcttttttt taattgttcc acactttacc 58080
atataatgga atacgcaaaa tttcacaata cctttcagga tgtaaaatac atataccctt 58140
tgacgacatt agaaaagaga aaatgtgggc cgggcgcggt ggctcatgcc tgtaatccca 58200
gcactttggg aggccgaggc gggcggatca cgaggtcagg agatcgagac catcctgggt 58260
aacacggtga aaccccgtct ctactaaaaa tacaaaaaaa ctagctgggc gtggtggcgg 58320
gcacctgtag teccagetae teaggagget gaggeaggag aatggeatga acctgggagg 58380
tggagtttgc agtgagccaa gatcacacca ctgcactcca gcctgggcga cagagactcc 58440
atctcaaaaa aaaaaaaaa gaaaagaaaa gagaaaatgt ggctgggcgc ggtggctcac 58500
```

```
qcctgtaatc tcagcacttt gggaggctga ggtgggcaga tcacctgagg tcgagagttc 58560
qaaaccaqcc cgaccaacat ggagaaacct tgtctctact aaaaatacaa aattagccag 58620
gtgtgttggc gcatgcccgt aatcccagct acacgggagg ctgaggcagg agaatcactt 58680
gaactcagga ggtggaggtt gtggtgagcc gagatcacac cattgcactc cagcctgggc 58740
aacaagageg aaactatete aaaaaaaaaa aaagaaaaaa gaaaagataa aatgcattet 58800
tatttttagt tgatgtaatt atgtggaaat ttcatgagga tgcactggaa aataatgaaa 58860
taagggagtt gacgaaggtg gtaggtttaa taagtacata tgcaatatga aacataggtt 58920
ccccttccta tggggaggca accaactgtg cctgctacgc agaggtgtta tgttgcgctg 58980
atcaactgta actgaatagt ttaaagaaat gcccaggagc acagaggttt tttcatgaca 59040
qtaaataaca qqtqqtcaaa qtaqqctttt tgaaqaaaca caqaqcctat tttattaaca 59100
acagtetgtg ttettacaga gactetgggg acgttgcage tetcagaggg taagttcage 59160
ctagaggett cettttqttc cqtttaacct aacttcatcc tccggctact tggtcaccta 59220
catagttgat tgttcccctg tgattcagat cccggaaatt taacattctg ggcacaaaca 59280
caaaaqtqat qaacatqqaa qaatccaaca acggcagcct ctctgcagaa ttcaaacact 59340
tggtatgtgg gaggagetec cetteacaaa gggeetetgg etgeeggaga gggetaggga 59400
gagcctcaca ggacacctgc ctttttcttt tcttacagac cctgagggag cagagatgtg 59460
ggaatggggg ccgagccaat tgtgatgtaa gttttgttgg ggatgaaaga caactggggt 59520
gttttccttg agggagagag gggtaaagat ccttcttaat ccccagaatt agaaacatca 59580
acctgttctt tcagctgtag ttattccaaa aagtcacttc aggccaaagt gacatgaaca 59640
gaagttccat gtgccatgga gctctctggc ttggaacatt tccgtgaata tctgggagtt 59700
ggctcctcct taaggagaag tggaaagtcc cttgctgagt tgttctccac acccatgtgg 59760
tataaagcag ctttccacct tgcctggggc tttccaaatt ccccatccag ctcctgcggc 59820
tgaccctgct tggctccatt tttagtgccc tgtttttctc tcccactgag gtgggataga 59880
qqqtqtaaaa qcaacaqatt tqaqttaaac tttaaaataa atqaccacct tqcattagct 59940
tgcttaggaa aagagtacat aaaataaaat gaacaaacaa aaacccatct tgttctttat 60000
cccccttatt ttctgctttt cattgattca gattattgga ttcttattgt caagaataaa 60060
ctttaaacaa acaaacaaaa aaaggtaaat gtgacggaag gctagttttc agtcattttt 60120
aaaaattgtg atgccccgtt cttttctta catttgtccc ctgaacaatt cttcctcttt 60180
aaaatgtagc agtcctagct gggcgtgctg gctcacaccc cgtactttgg gatgccaagg 60240
caggetggtc acttgaggtc aggagttcaa gaccagcetg gccaacatgg tgaaagceeg 60300
tetetactaa agatacaaaa attagetggg tgtggtggtg caegeetgta gteecagtta 60360
ctggggaggc tgaggcatga gaatcgcttg aacctgagag gtggagcttg cagtgagcca 60420
agattttqcc actqcactct aqcctqqqca acaqaqtqaa actctqtctc aaaaaaataa 60480
ataaaataaa atgtagcagt cctttttaaa aatgtggaat tttacttgac agtagagtga 60540
agtagcctgt atgcaatgat atgggaaaat gtacatgaca tattaagaaa aagcaaaatg 60600
taaaataatt tgaatagtat tattagtata tgtgttttaa aaatacacta tactcttatg 60660
tgtattcata tgtatattaa gaaattctgg aggaatatac cagcagtgct atgtgtatta 60720
gtgctgctgt tggtatccat ggctattcta gactgtctct gtgatatttg cattttaaac 60780
tgaatatatt acttttataa tcagaaaaat agtattaaaa atgaattata atttaatttc 60840
ttttttttt ttttttttg agtcggagtc tcgttctatc ggattgcagt ggtgcgatct 60900
cageteactg caacetetge etectagett caagegatte teetgtetca geeteccaag 60960
tagctgggac gataggtgca tgccaccacg cctggctaat ttttgcattt ttagtagaga 61020
cagggtttca ccatattggt caggctggtc ttgaactoct gacctcgtga tccacccatc 61080 tcggcctccg aaagtgctgg gattacaggc atgagccgct gtgcccagac tagaattcaa 61140
tttttgagaa ttcattgaca actcttactt aaaataaggt tgctgtactg atgtgagaca 61200
ttgttgtagt cagtttggaa aacaatttgg cagtataaaa atgaacatac ctgtaaacca 61260
acggtgccat tcccaggatt taatagcaga gaaatctttg catatatgtc ccaggagaca 61320
tatataaagt ggacatcagc ctgattataa gctctaaatg caacccaaat aaatacccat 61380
caacattaga atgaatacat tatttgtggt atagacacaa tggaatactc cgcagctgtg 61440
aaaaggaata cactgcagat acacataacc atgtggattc atttcacatc aagtgaaaag 61500
tgaatcccaa aagaattcat tggagtccat aagtgtaagg ttcacaaatg tcccaaacta 61560
acaaqacaaa aaqqqctaqq aaatqataaa cccaaaaqac aaaataqcaq ttatttctga 61680
qqqaqqqq aaqqqqatqq qqttqqqqaa qqqcacccaq aqaattttaq qaqtqatqqa 61740
tttacaaata accaattgga tctatgtaat attataatac aaactgagta aaggattagg 61860
ttgaggatca cagcattgga agttcttggt gttgaagaga gtaagtgccg agcaagttgt 61920
gtccctggca gtttgtttgt gaccacctgg tggcttaccc ttcttggtgt ggtgaggctt 61980
ggcatgtcac tttccttggc tgtggctgtt agtactgaat gccattctct ctgaggaaaa 62040
gtgtccttct cttttttatt gattgactga ttgattgaga cagagtctca ctctgtcacc 62100
caggetggag tgcagtggcg tgatctcggc tcactgcatc ctctgcctcc tgggttcaag 62160
cgattetect geeteageet eetgagtage tgggactaca ggegeecact accacacca 62220
gctaattttt gtattcttag tagaaacggg gtttcaccaa attattggcc aggctggtct 62280
cquactectq accatqtqat ccacctgect eggecteeca auatgetggg attgtaggtg 62340
```

```
cactetytea ceceagetag agtgeagtgg cacaateata getegetgea geetecatet 62460
cctaggetea agecatecte ecaceteage etetegagta getggggeta taggtgtgca 62520
ccaccacacc cagctaattt ttgtattttt tgcagagatg gagttttgct gtgctgctta 62580
gactggtete gaacteetgg geteaggeaa tecteetgee ttggeeteee aaagtgetgg 62640
gattacagge atgagecace acacetggee taagagtgte ettetegtta etgtaggett 62700
ccctgattgt gactgaggag ctgcacctga tcacctttga gaccgaggtg tatcaccaag 62760
gcctcaagat tgacctagag gtaagttctg cagcagaatc ggtgagaggc tacgtacagg 62820
ggtgactcag gacaaaaact tccactggga tttttacaag agaaggtgga atgattactg 62880
tttgcttaac actgtgttta tttttgctta cttttctcca aaaaaatcct tggcatccca 62940
tctggcaata aagtcttgct tgaatgctta gaagatgtgt gtatattcag ctttcagcaa 63000
acttgatatg aaaatctcta tttagaaatt gattggccgg gcgcggtggc tcacgcctgt 63060
aatcccagca ctttgggagg ctgaggcggg tggatcacga ggtcaggagt tcgagaccag 63120
cctggccaac atgacgaaac cccgtctcta ctaaaataca aaaattagct gggtatggtg 63180
geggaegeet ataateeeag etacteggga ggetgaggea ggagaateae ttgaacetgg 63240
gaggcagagg ttgcagtgag ctgagattgt gccattgcac tccagcctgg gtgacagagt 63300
gagactccgt ctcaaaaaaa aaaaaaagaa attagaactg actttataaa gtttgggcat 63360
aagagtetta geageeagtg tgtttagtat acagaaaatt gtggeaatga catteteett 63420
toccaacttt ottgattttt aaattaagat atacctagaa aagcaggaat octggtottt 63480
gattcctgag acctccctgt ttcatgtgaa gatacagctt caagtcttgg agaatgcctc 63540
caaggtotta aaaatgggga atotgtggat tgtgagtoaa gotttgagca agtoaggttt 63600
tacaagggac cggtatattc cgactgcagc ctgagttgtg tggccacgct gggcattctt 63660
tocactatga gtgctcactg agctgactca ctcacactcc tcgcctagag ttggcagcag 63720
gtgtggttta tggcatgtcc tttcattctg agccccgtga gatgcgggtg aagagatttc 63780
caaggetgtg agageeett tgeeteecea geteagteee caeteette geagaeeeae 63840
teettgecag ttgtggtgat eteeaacate tgteagatge caaatgeetg ggegteeate 63900
ctgtggtaca acatgctgac caacaatccc aaggttagtg ccccctcctt ttagttggtg 63960
ccccgggatc tcttgcgact taggggtacc tagtatagac aatgagcacc atccctcatc 64020
taaacaagca aatgtgttct ttccaataga atgtaaactt ttttaccaag cccccaattg 64080
gaacctggga tcaagtggcc gaggtcctga gctggcagtt ctcctccacc accaagcgag 64140
gactgagcat cgagcagctg actacactgg cagagaaact cttgggtccg catttcaccc 64200
cttctccctc ccgcccaccc gcccagaaaa gggatccggc ccatagggct gttcatttgg 64260
gccatgtcta ctgagcatta ggccatgttt ctttcctgag caaggcgctg tgctggtgcc 64320
aggaaacagg ggagttgggg agttggggtg cagagacagt ttgcagtttt cagtcgaggt 64380
gatcattttt gaggtgggag gtagatttct tttctcctgg ttgctgtctc attcacccac 64440
tctatctaac tttagaagat cttttaagtg tgtgttggaa ggtggcacta aaggcttgac 64500
attocctgtc cattittta ataaactata ggctagttgg tittititgt citattitat 64560
ttatttattt attttttga gacgagtett getetgttge ceaggetgga gtgeagtagt 64620
gtgatctcgg ctcactgcaa cctccgcctt ctgggttcaa gcgattcttc tgcctcggcc 64680
tecegagtag etgagaetae aggtgeteae eaceaegeee agetaatttt tgtattttta 64740
gtagagacgg ggttttacca tgttggccag gatagtctcc gtctcttcac ctcgtgatcc 64800
gcccacctcg gcctcctaaa gtgctgggat tacaggcttg agccactgtg cccagcgtag 64860
gctagttttt aaaaaagaat tagtggaata ttttatgtgc cacctgggct agaagtagct 64920
ttgttctaat aaagctgttg ccaccaaata cacctgtctg acacccgatg tcagcttgtt 64980
agtgagtgct gctgttggtt cccagcctac cacccgaggt tgggaagagc agggggactt 65040
gttatatcac cctccatccc tgctgggcta cccagcaaca caagtgagtc aaatgatggg 65100
atagtgtttg tcctcatgtg cacacacaca acagtgccta ccttcaaaga tgtgaaagct 65160
gattattttg tggcccattg tgggatgaat gtgtgtgtgt tctgttttaa gaaataacct 65220
cttgacccca agctgaaaat gtactacttg actcttttc tttccttcag gacctggtgt 65280
gaattattca gggtgtcaga tcacatgggc taaattttgc aaagtaagca atcttgttaa 65340
attetegtgg gaatgggaat geteacetge aeggetgteg ttgagggete tggettgaag 65400
gccctgaact cttggtccag cggccagtag gacctgcctg aaggtagacg ggcctgagga 65460
tttgggtgat gcactgcacc cctaggaagg gaagggctgg gatggcagta gacttggctt 65520
teccattact ettiteteca ggaaaacatg getggeaagg getteteett etggqtetgg 65580
ctggacaata tcattgacct tgtgaaaaag tacatcctgg ccctttggaa cgaagggtag 65640
gttggacaga gtgtgcacag atgtaaccaa gtcccctgct ctcagcaagc cagtggcagg 65700
ggatggatgc cctgttagca ataacaacat tgttcctcct ccttggctcc aggtacatca 65760
tgggctttat cagtaaggag cgggagcggg ccatcttgag cactaagcct ccaggcacct 65820
tectgetaag atteagtgaa ageageaaag aaggaggegt caettteaet tgggtggaga 65880
aggacateag eggtaaggga ggeteeeace eacceacet getggtgget getgaggeet 65940
catcactgct tctagttgca agcacctact gcccctggt gggtggagat ggccttgact 66000
ccctgtttca ctcagactcg caaaacacat ttgcgtgact tctaaatcct tccagctgaa 66060
ggattggttt gctttgtttt gcttgctcca gtgactattt gttgagaatt ttgcaattta 66120
aattgtattc ttcatctctt tttctactta accctgttaa tatatcttac gcaagtagtt 66180
atattcaagt ttattttcta tgacccaact agtagcctct tcttaattag aagccagcct 66240
gaatatttcc acagtgccag gccactgaac agggtgttca gggtctcaac actagggtgg 66300
```

```
cttaagtctt ttccccttcg aggaaagaaa aaatgggcag ttttctctga gatgacctag 66360
ctgtaggttc catgatcttt ccttcccatg tcctgtgaca ggtaagaccc agatccagtc 66420
cgtggaacca tacacaaagc agcagctgaa caacatgtca tttgctgaaa tcatcatggg 66480
ctataagatc atggatgcta ccaatatcct ggtgtctcca ctggtctatc tctatcctga 66540
cattcccaag gaggaggcat tcggaaagta ttgtcggcca gagagccagg agcatcctga 66600
agctgaccca ggtagttgtt gattttccat gttcctggca tttaattttt gggaaaagtt 66660
ggaaattttg ggatccttgg aggatagata ggcaaatgcc tgaataacct gggggataat 66720
tatttctcct tatgggaaag aattgtagtg agtgcttttg ttggggtgac cgatgggatt 66780
tgagaggaga atcagaatca cttagagtag tgtagttcct gctccacaga gagtgcatga 66840
gtctaaagag gggatacagc ctgggcaata tggtgaaacc tcgtctctac aaaaaatcca 66900
aaaaaattac ccggtgtggt ggcacgcatt tgtagtcgta gctacttggg aggctgaggt 66960
gggaggatca cctgagccaa ggagttcaag gctgtagtga gcggtgatca tgccaccgca 67020
ctccagcctg gctgatagag tgagatactg tgtcaaaaaa taaaaataaa gaggggatca 67080
atacacatac gtcccccaaa acatgcctga aacacgagaa gggaaagtga gggcagttaa 67140
caggatgccc tgctggcaca gtgcttctta gtagatgcta gaaggtttga ggcccagatt 67200
tragercage atatggettt ttgeetgtaa etgaaceatg tragtgtgee agatggtetg 67260
aagaaagggt ttctggagga aattattatt agctgcatgg gagtatggtt tacactagag 67320
tagaagagct gggagcatca cgtttgaagg ggaagacagt gactgggtgg aggggcaagg 67380
gattagtatt tagagtgtgc aactattgaa aataaggtat attttaatgt gtaagaggac 67440
atgtacttat atgttatata taaattattt tagctgggtg aagtggctca tgcctatagt 67500
cctagcactt tgggaggccc aggcgggagg atcacttgag cctgggagtt tgagaacagc 67560
ctagacaaca tagtgagacc ctatctatac aaaaataatt ttttttaaat tagccacgtg 67620
tggtggtttg tgcctgtagt cctagctact cgggaggctg aggtgggagg attgcttaag 67680
cccaggaggt tgaggctgca gtgagccatg atcgcaccac tgcactccag cctgggtgac 67740
ctgtaatctc agctgggcat gggggttcac acctgcagtc ctagcacttt gggaggctga 67860
agcaggagga tcacttgagg ccaggaactc aagaccagcc tggcaacata gcaagacccc 67920
actacacaca cacacacaca cacacacaaa gaagagaaag aaaaaaacga aacaaaactg 67980
taatctctgc agctgtcctc agtgtggagg gggtagccct gtctgttccc cttcagcact 68040
tgctgttttg actctctggg ttctttgtgc aggtcttgat ggggagtctc tggtttgcca 68100
ttctttgttt gatttaactt tctgtaatca taaagccaat gatgggcttt tttttttt 68160
ttttttttag actaagtett getetateae ecaagetgga gtgcagtgge accatetegg 68220
ctcactgcaa cctccacctc ccggttcaag caattctcct gcctcagcct cccgagtagc 68280
tgggattatg ggcttgtgcc accatgccca gctgattttt gtattttttg tagagaaagg 68340
gtttcgccat gttggccagg ctggcctcga actcctgacc tcaggtgatc tgcccacttc 68400
agceteccaa agtgetggga ttacaggegt gagecactgt geetggeeta atgatggget 68460
ctttaatgtg atcctttagg gttggcgcct tgccctagtt gctgttgaaa aaactatttt 68520
tgtccaaata gcacacaca agaaacctac caacttccct cccacttttt cctaggaatt 68580
cettetgagg gatttettga gatggggcag aatggggett ggaagaggga gttggageta 68640 attgacegtt geetttetee tttgttgggg teetgagtet tgtteetget gtaagagtta 68700
ctcacttcct gtctgccacc tatctccctt tgcatgtgtg cttcagttgg gagatctgtt 68760
tatcagcccc tgccacacgg ctctttgttc cttctgcaga ggacgttggg gtcccacggc 68820
tggtcctttt gactcatttt gctttcaagg tcccacctcc cagtctgagg ctgcatcctc 68880
eattaccatc geeetteetg tgggetggga ggeeaggtee ttteetgeee agegatgtea 68940
gcgtttcctc aggggccagg cactcatcag gagaaaggaa ctaattactt gagtaatttg 69000
ccttgccttg ctgagaggag tgtgccctga gggactccat gtgagtgtgg tgacgggtgt 69060
gggggtgtcc ctgtgttatt ttaaaatggg tgccttcagg acgatgagca tgtgaccatt 69120
tectetetat ttecateaca agagtattat ggtatgaggg teteaggtta gattateete 69180
ccaagactet tetetettee ttetetactg gaageccaca tagcatttee ttatggettg 69240
agggagaggt teggagecae ttacaaatta gataaagtae atttacaate ttgtacaaag 69300
gagteteget etategteea gaetggagtg eagtggegeg atettgette actgaaacet 69420
ctgcctccca ggttcaagag attctcatac ctcagcctcc tgagtagctg ggattacaga 69480
catgcaccac tatgcctggc taatttttgg atttttagta gagaccgggt ttcaccctgt 69540
tggccaggct ggtctcgaac ccctgacctc aagtgatctt cccgcctggg cctcccaaag 69600
gacagtetgt cactetgtea eccaggetgg agtgeagtgg tgegatetea ecteaettea 69720
geetetgeet eccaggitea agigatiete etgieteage etectgagia geigggatia 69780
caggegtgcc accaegecca getatttttg taattteatt aaagacaggg ttteeccatg 69840
ttggtgaggc tggtcttgaa ctcctggcct caagtgatcc acctgcttca gcctcccaaa 69900
gtgcagggat tacaggcatg agccactgtg cctggcctca gctatcttga atgctggaga 69960
attaaateet tttetgteta gggtgteage teectaaggg etgggeeaaa acagttggat 70020
ttataagaca ctagagtctt gcctcagtag ctcctttgaa ttctgcactg aattgatcag 70080
tticttggcc caaagtaaac tcagatggca gcccaagagc cactctgcag tgccttcttt 70140
cacatggtca tcatgctctc tgatccctca ggttctgtct aagcctcatg ttttatgacc 70200
```

```
gtgctgttct cagcccacct caccctgccc catgccttct caatggtttg ttcacctgaa 70260
ttccccagat ttcatgccag tatccccaag gttccttgac ctcttggtgt aagcattcag 70320
catctaaaat tcattttatt cccgtcaacg catttctaac tgtagaacaa gaattataaa 70380
tgacaaagct catagaaaat tggcaccttg tcttccccct ccctcttatt ttatacataa 70440
aagagaatat gggctgggca ttgtggccaa ggctgggcat gatagctcat acttgtaatc 70500
cagcactttg ggagggtgag gcagatggat cacctgaggt caggagttca agaccagcct 70560
ggccaacatg gtgaaacctc atctctacta aaattacaaa aaaaaaatta gctaggcatg 70620
gtggcagatg cctgtaatcc agctactcag gaggctgatg aaggagaatc acttgaaccc 70680
tggaggcaga ggttgtagag agccaagatg gcgctactgc actccaacct gggcgaaaga 70740
gagcaagact ccgtctcaaa aaaaaaaaag acaaaaatta gccaggcatg gtggtgccac 70800
ctgtagtccc agctgcttgg gagcctaagg caggagaatc gttttgacct gggagtagga 70860
ggttgcggta accgagattg tgccactgca cttgagcctg ggcaacagag tgagactctg 70920 tctcaaaaca ataagaacaa cagcaacaaa agagagagac catgccttgc tccaggtctc 70980
ttagctattg aagatgtacc tggacccagg tctccggtct tctagttgaa gcaattgtac 71040
tgccttacaa agtcacattc tctttggtgc tttttgattg acgtatttat ccaactagaa 71100
agttactcat gccctcatcc aaaaatgtgg tagaggccag attagtgctg gtaggaataa 71160
gagatataac ctttggcttt ggaaccacaa gcattagcag tctccatgtt ctttaaagac 71220
ttggtgatat tggtatttag gctggacacc atgcaaagac tacacaggct cggttcctgc 71280
atgcagagaa gttatctaag agatatgacc aggccggaat agaatgctca gaccacgtgg 71340
aggctgttaa acttttacat aatctaggga aagaagggac acaaggtggc attagtctag 71400
ggtcaggtgg gaaaaggtta tgctgaaaag tctctgcagc tcaggacagc tttgtgcaaa 71460
gaactgaagt tcacagctgc tagtgcctgg gagatcaaat agtataaatg agggcagaca 71520
accetgaggg geagatggag ettteeagae aatettggea tgaggatgag tgagttteaa 71580
atcagtcctg ccgaggcaga tggcttcctc cagctctgct tactgaatgc gaagtcacag 71640
tcagtaagaa aactggtttt cttcttccca ggcgctgccc catacctgaa gaccaagttt 71700
atctgtgtga caccgtaagt ggcttccttt ccccgttttg ccttcatttc taatatcctc 71760
agttatccct gggaatggga cactgggtga gagttaatct gccaaaggtt ggaagcccct 71820 gggctatgtt tagtactcaa agtgaccttg tgtgtttaaa aagcttgagc ttttatttt 71880
ctgttggaga ccagagtttg atggcttgtg tgtgtgtgtt ttgttctttt tttttttcc 71940
attgtgtett gteaacccc cgtttecct cctgctgcc cccatttect acagaacgac 72000
ctgcagcaat accattgacc tgccgatgtc cccccgcact ttagattcat tgatgcagtt 72060
tggaaataat ggtgaaggtg ctgaaccctc agcaggaggg cagtttggtg agtatttggt 72120
tgacagactt tgtccctata agggaagttg gtcccctttg tgtgatgctc tcacatgtac 72180
acaccgagag ctggtcactc ggaatggtag gagattctag agctttgctt tccaaaagag 72240
atggtatgaa tgccacatgt gtgagtataa atcttctagc agccacactg gaaatagacg 72300
aacttaattt ttacaatata ttttatttaa cccactaaat ccaacatact ctcaatttaa 72360
catttcagaa aaagttgagg ctgggtgagt ggctcatgcc tgtaatccca gcactttggg 72420
aggccgaggt gggtggatca cttgaggtca ggagttcgag accagtctga ccaaaatctc 72480
taaaatataa aaattagctg ggcatggtgg cgcatacctg taatcccagc tactcaagaa 72540
gctgaggtgg gaggatcgct tgagcctggg aggtggaggt tgcagtgagc agagatcgtg 72600
ccactgcact ccagcctggg cgacagagtg agactccatc tcaaataaac aaaactaaac 72660
taaaaagaaa aagttgagac ctttttttat tcttttttt catactaagc ctttaaaatc 72720
cagtgggctt ttgacaqcca cagcacagct cagtttggac aaaccaaatc tcaaatgctt 72780
ggtggccacg tgtgtctcgg ggctcctgaa ttaaacagta gatcaagggc agaagatctc 72840
aggacageet tagagettet gtaaacatgg agetetggga ateagttaag gtgggaatga 72900
gaaaggaccc ttcccgaggc agggtcctcc agggaggagg gtaaatctgg cttttctgac 72960
catccctggg ccttaagggg caggagattg gatagcagtg gtagcctggg ccctgtcctc 73020
tgaagggctg ggggcgtggc ctgccagttg cagagggtgg acaactgaac tagttttccc 73080
tgtctgtccc tccagagtcc ctcacctttg acatggagtt gacctcggag tgcgctacct 73140
cccccatgtg aggagctgag aacggaagct gcagaaagat acgactgagg cgcctacctg 73200
cattetgeca ceceteacac agecaaacce cagateatet gaaactacta actttgtggt 73260
tccagatttt ttttaatctc ctacttctgc tatctttgag caatctgggc acttttaaaa 73320
atagagaaat gagtgaatgt gggtgatctg cttttatcta aatgcaaata aggatgtgtt 73380
ctctgagacc catgatcagg ggatgtggcg gggggtggct agagggagaa aaaggaaatg 73440
tettgtgttg ttttgtteec etgeceteet tteteageag etttttgtta ttgttgttgt 73500
tqttcttaqa caaqtqcctc ctqqtqcctq cqqcatcctt ctqcctqttt ctqtaaqcaa 73560
atgccacagg ccacctatag ctacatactc ctggcattgc actttttaac cttgctgaca 73620
tccaaataga agataggact atctaagccc taggtttctt tttaaattaa gaaataataa 73680
caattaaagg gcaaaaaaca ctgtatcagc atagcctttc tgtatttaag aaacttaagc 73740
agccgggcat ggtggctcac gcctgtaatc ccagcacttt gggaggccga ggcggatcat 73800
aaggtcagga gatcaagacc atcctggcta acacggtgaa accccgtctc tactaaaagt 73860
acaaaaaatt agctgggtgt ggtggtgggc gcctgtagtc ccagctactc gggaggctga 73920
ggcaggagaa tcgcttgaac ctgagaggcg gaggttgcag tgagccaaaa ttgcaccact 73980
gcacactgca ctccatcctg ggcgacagtc tgagactctg tctcaaaaaa aaaaaaaaa 74040
aaaagaaact tcagttaaca gcctccttgg tgctttaagc attcagcttc cttcaggctg 74100
```

```
gtaatttata taatccctga aacgggette aggtcaaacc cttaagacat ctgaagetge 74160 aacctggeet ttggtgttga aataggaagg tttaaggaga atctaagcat tttagacttt 74220 ttttataaa tagacttatt tteetttgta atgtattgge etttagtga gtaaggetgg 74280 geagagggtg ettacaacct tgacteett teteeettgga ettgatetge tgttteagag 74340 getaggttgt ttetgtgggt geettateag ggetgggata ettetgatte tggetteett 74400 eetgeeecae eeteeegae eeag
```

<210> 154

<211> 3455

5 <212> ADN

<213> H. sapiens

<220>

<221> CDS

10 <222> (241)...(2553)

<400> 154

ccgagggaac aagc ccctcggctc ggag cgcagccccg gcct	cccaac cggat aggccc ttcgg ctcggc ctctg	cctgg acaggcacc gcctga gggagcctc gccgga gaaacagtt	c cgggggttcc gac c cggcttggcg ctg g ccgcccgtcc ccg g ggacccctga ttt	tctctcc 120 gcacacg 180 tagcagg 240
			c aca cgg tac ct p Thr Arg Tyr Le 1	
			a atg gag ctg cg o Met Glu Leu Ar 30	
			g gca tat gcg gc p Ala Tyr Ala Al 45	-
_	_	Val Phe His As	t ctc ctg gga ga n Leu Leu Gly Gl 60	-
			g aat gtt ctc ta r Asn Val Leu Ty 5	
			g agc agg tat ct n Ser Arg Tyr Le 9	
			g tgc ctg tgg ga g Cys Leu Trp Gl 110	-
			c cag caa ggg gg a Gln Gln Gly Gl 125	
		Val Val Thr Gl	g aag cag cag at 1 Lys Gln Gln Me 140	
2 2 2			g cag gat cta ga l Gln Asp Leu Gl 5	_
			ttt gat ttc aa Phe Asp Phe As	

				165					170					175		
												aat Asn				816
_					_	_	_	_	_	_	_	cag Gln 205	_			864
												ctg Leu				912
_			_				_				_	gac Asp			_	960
												gga Gly				1008
												tca Ser				1056
												gag Glu 285				1104
												cac His				1152
												atg Met				1200
					_		_	_		_		cct Pro	_			1248
	_		_			-	_					gtc Val		_	_	1296
												aaa Lys 365				1344
gac Asp	aaa Lys 370	gac Asp	tct Ser	ggg Gly	gac Asp	gtt Val 375	gca Ala	gct Ala	ctc Leu	aga Arg	gga Gly 380	tcc Ser	cgg Arg	aaa Lys	ttt Phe	1392
												gaa Glu				1440
		_			_	-				_		ctg Leu			_	1488
												tcc Ser				1536

Thr G														cac His		1584
ggc c Gly I		_		_						_		_				1632
tcc a Ser A 465																1680
aac a Asn M	_	_					_		_					_		1728
cca a					_			_		_	_	_		_		1776
tcc t Ser S	Ser			_	_		_	_			-	_			_	1824
gca g Ala G																1872
aca t Thr T 545		_			_		_		_	_		_				1920
ttc t Phe I		_		_	_				_				_			1968
																2016
ctg g Leu A	_				_				_				_	_		2016
	Ala gag Glu	Leu	Trp 580 gcc	Asn atc	Glu ttg	Gly	Tyr act	Ile 585 aag	Met	Gly	Phe ggc	Ile acc	Ser 590 ttc	Lys	Glu	2064
cgg g Arg G	Ala gag Glu	cgg Arg 595	Trp 580 gcc Ala gaa	Asn atc Ile agc	Glu ttg Leu agc	Gly agc Ser	Tyr act Thr 600 gaa	Ile 585 aag Lys gga	Met cct Pro	Gly cca Pro	Phe ggc Gly act	acc Thr 605	Ser 590 ttc Phe	Lys ctg Leu tgg	Glu cta Leu gtg	
cgg g Arg G	gag Glu tc Phe 610	cgg Arg 595 agt Ser	Trp 580 gcc Ala gaa Glu	atc Ile agc Ser	Glu ttg Leu agc Ser	agc Ser aaa Lys 615	act Thr 600 gaa Glu	Ile 585 aag Lys gga Gly	Met cct Pro ggc Gly atc	Gly cca Pro gtc Val	ggc Gly act Thr 620	acc Thr 605 ttc Phe	Ser 590 ttc Phe act Thr	Lys ctg Leu tgg Trp	Glu cta Leu gtg Val	2064
cgg gArg GArg G	gag Slu tc She 610 aag Lys	cgg Arg 595 agt Ser gac Asp	Trp 580 gcc Ala gaa Glu atc Ile	Asn atc Ile agc ser agc ctg	Glu ttg Leu agc Ser ggt Gly 630 aac	agc Ser aaa Lys 615 aag Lys	act Thr 600 gaa Glu acc Thr	lle 585 aag Lys gga Gly cag Gln	Met cct Pro ggc Gly atc Ile	Gly cca Pro gtc Val cag Gln 635 gct	ggc Gly act Thr 620 tcc Ser	acc Thr 605 ttc Phe gtg Val	Ser 590 ttc Phe act Thr gaa Glu	tgg Trp	cta Leu gtg Val tac Tyr 640	2064
cgg gArg GArg GArg GArg GArg GArg GArg GA	gag Glu ttc Phe 610 aag Lys	Leu cgg Arg 595 agt Ser gac Asp cag Gln atc	Trp 580 gcc Ala gaa Glu atc Ile cag Gln atg	atc Ile agc Ser agc Ser ctg Leu 645	Glu ttg Leu agc Ser ggt Gly 630 aac Asn	agc Ser aaa Lys 615 aag Lys aac	act Thr 600 gaa Glu acc Thr atg Met	Ile 585 aag Lys gga Gly cag Gln tca Ser	Met cct Pro ggc Gly atc Ile ttt Phe 650 ctg	Gly cca Pro gtc Val cag Gln 635 gct Ala	ggc Gly act Thr 620 tcc Ser gaa Glu	acc Thr 605 ttc Phe gtg Val atc Ile	Ser 590 ttc Phe act Thr gaa Glu atc Ile	Lys ctg Leu tgg Trp cca Pro atg Met 655	Glu cta Leu gtg Val tac Tyr 640 ggc Gly	2064 2112 2160

cca gag agc cag gag cat cct gaa gct gac cca ggt agc gct gcc cca Pro Glu Ser Gln Glu His Pro Glu Ala Asp Pro Gly Ser Ala Ala Pro 690 695 700	2352
tac ctg aag acc aag ttt atc tgt gtg aca cca acg acc tgc agc aat Tyr Leu Lys Thr Lys Phe Ile Cys Val Thr Pro Thr Thr Cys Ser Asn 705 710 715 720	2400
acc att gac ctg ccg atg tcc ccc cgc act tta gat tca ttg atg cag Thr Ile Asp Leu Pro Met Ser Pro Arg Thr Leu Asp Ser Leu Met Gln 725 730 735	2448
ttt gga aat aat ggt gaa ggt gct gaa ccc tca gca gga ggg cag ttt Phe Gly Asn Asn Gly Glu Gly Ala Glu Pro Ser Ala Gly Gly Gln Phe 740 745 750	2496
gag tcc ctc acc ttt gac atg gag ttg acc tcg gag tgc gct acc tcc Glu Ser Leu Thr Phe Asp Met Glu Leu Thr Ser Glu Cys Ala Thr Ser 755 760 765	2544
ccc atg tga ggagctgaga acggaagctg cagaaagata cgactgaggc Pro Met * 770	2593
gcctacctgc attetgccac ccctcacaca gccaaacccc agatcatctg aaactactacttttgtggtt ccagatttt tttaatctcc tacttctgct atetttgagc aatctgggccttttaaaaa tagagaaatg agtgaatgtg ggtgatctgc ttttatctaa atgcaaatacggatggttc tctgagaccc atgatcaggg gatgtggcg ggggtggcta gagggagaaaaggaaatgt cttgtgttgt tttgttcccc tgccctcctt tctcagcagc tttttgttgttgttgttgttgttgttgttgttgttgttg	a 2713 a 2773 a 2833 b 2893 c 2953 c 3013 g 3073 a 3133 g 3193 b 3253 g 3313 c 3373
<210> 155	
<211> 20	
<212> ADN <213> Secuencia Artificial	
<220> <223> Oligonucleótido Antisentido	
<400> 155	
gtgcgcgcga gcccgaaatc 20	
<210> 156	
<211> 24	

<212> ADN

	<213> Secuencia Artificial
	<220>
	<223> Cebador para PCR
5	<400> 156
	acatgccact ttggtgtttc ataa 24
	<210> 157
10	<211> 27
	<212> ADN
	<213> Secuencia Artificial
	<220>
15	<223> Cebador para PCR
	<400> 157
	tcttcgtaga ttgtgctgat agagaac 27
•	
20	<210> 158
	<211> 29
	<212> ADN
	<213> Secuencia Artificial
25	<220>
	<223> Sonda para PCR
	<400> 158
	cagtatagcc gcttcctgca agagtcgaa 29
30	
	<210> 159
	<211> 20
	<212> ADN
	<213> Secuencia Artificial
35	
	<220>

	<223> Oligonucleótido Antisentido
	<400> 159
	agcctctgca ccctcatgtt 20
5	
	<210> 160
	<211> 20
	<212> ADN
	<213> Secuencia Artificial
10	
	<220>
	<223> Oligonucleótido Antisentido
	400 400
4.5	<400> 160
15	ctcctaaatt aagaacttct 20
	<210> 161
	<211> 20
	<211> 20 <212> ADN
20	<213> Secuencia Artificial
20	12 To Secucificia Attifficial
	<220>
	<223> Oligonucleótido Antisentido
	J. 1. J.
25	<400> 161
	ttttgcatga tgtaaccact 20
	<210> 162
	<211> 20
30	<212> ADN
	<213> Secuencia Artificial
	<220>
	<223> Oligonucleótido Antisentido
35	

<400> 162

	tattgaaaat tatctaattc 20
	<210> 163
	<211> 20
5	<212> ADN
	<213> Secuencia Artificial
	<220>
	<223> Oligonucleótido Antisentido
10	
	<400> 163
	ttgggccatc ctgctaaaat 20
	<210> 164
	<211> 20
15	<212> ADN
	<213> Secuencia Artificial
	<220>
20	<223> Oligonucleótido Antisentido
20	<400> 164
	attcacttgc ctccttgact 20
	anouoligo olooligaet 20
	<210> 165
25	<211> 20
	<212> ADN
	<213> Secuencia Artificial
	<220>
30	<223> Oligonucleótido Antisentido
	<400> 165
	atgcccttac tctccgcatc 20
35	<210> 166
J J	\L 102 100

<211> 20

	<212> ADN
	<213> Secuencia Artificial
	<220>
5	<223> Oligonucleótido Antisentido
	<400> 166
	ctgaacttac cctctgagag 20
10	<210> 167
	<211> 20
	<212> ADN
	<213> Secuencia Artificial
4-	
15	<220>
	<223> Oligonucleótido Antisentido
	<400> 167
	aaatgcggac ccaagagttt 20
20	<210> 168
	<211> 20
	<212> ADN
	<213> Secuencia Artificial
	<220>
25	<223> Oligonucleótido Antisentido
	<400> 168
	cttgttccct cggctgcgac 20
30	<210> 169
	<211> 20
	<212> ADN
	<213> Secuencia Artificial
35	<220>

<223> Oligonucleótido Antisentido

	<400> 169
	gcctgtccag gatccggttg 20
5	<210> 170
	<211> 20
	<212> ADN
	<213> Secuencia Artificial
10	<220>
	<223> Oligonucleótido Antisentido
	<400> 170
	gaagggcctc tccgagccga 20
15	
	<210> 171
	<211> 20
	<212> ADN
• •	<213> Secuencia Artificial
20	
	<220>
	<223> Oligonucleótido Antisentido
	<400> 171
25	
23	ggcggcgagg ctccctcagg 20 <210> 172
	<211> 20
	<212> ADN
	<213> Secuencia Artificial
30	
-	<220>
	<223> Oligonucleótido Antisentido
	-
	<400> 172
35	tccggcagag gccgagaggc 20

	<210> 173
	<211> 20
	<212> ADN
	<213> Secuencia Artificial
5	
	<220>
	<223> Oligonucleótido Antisentido
	<400> 173
10	ccatcctgct aaaatcaggg 20
	<210> 174
	<211> 20
	<212> ADN
15	<213> Secuencia Artificial
	<220>
	<223> Oligonucleótido Antisentido
20	<400> 174
	ccattgggcc atcctgctaa 20
	<210> 175
	<211> 20
25	<212> ADN
	<213> Secuencia Artificial
	<220>
	<223> Oligonucleótido Antisentido
30	
	<400> 175
	tgtcaagctg ctgtagctga 20
	<210> 176
	<211> 20
35	<212> ADN
	<213> Secuencia Artificial

	<220>
	<223> Oligonucleótido Antisentido
5	<400> 176
	aactgccgca gctccattgg 20
	<210> 177
	<211> 20
10	<212> ADN
	<213> Secuencia Artificial
	<220>
	<223> Oligonucleótido Antisentido
15	<400> 177
	tcttgactct caatccaagg 20
	<210> 178
	<211> 20
20	<212> ADN
	<213> Secuencia Artificial
	<220>
25	<223> Oligonucleótido Antisentido
25	400 470
	<400> 178
	cgcatatgcc caatcttgac 20
	<210> 179
30	<211> 20
	<212> ADN
	<213> Secuencia Artificial
	<220>
35	<223> Oligonucleótido Antisentido

	<400> 179
	cgactcttgc aggaagcggc 20
	<210> 180
	<211> 20
5	<212> ADN
	<213> Secuencia Artificial
	<220>
	<223> Oligonucleótido Antisentido
10	
	<400> 180
	tcgtagattg tgctgataga 20
	<210> 181
15	<211> 20
	<212> ADN
	<213> Secuencia Artificial
	<220>
20	<223> Oligonucleótido Antisentido
	<400> 181
	agaaactgct tgattcttcg 20
25	0.40 400
25	<210> 182
	<211> 20
	<212> ADN <213> Secuencia Artificial
	<213> Secuencia Artificial
30	<220>
30	<223> Oligonucleótido Antisentido
	12207 Gilgoridologiado / Ililicorridad
	<400> 182
	gatacctgct ctgaagaaac 20
35	
	<210> 183

	<211> 20
	<212> ADN
	<213> Secuencia Artificial
5	<220>
	<223> Oligonucleótido Antisentido
	<400> 183
	ttctcaagat acctgctctg 20
10	<210> 184
	<211> 20
	<212> ADN
	<213> Secuencia Artificial
15	<220>
	<223> Oligonucleótido Antisentido
	<400> 184
	ttggcttctc aagatacctg 20
20	
	<210> 185
	<211> 20
	<212> ADN
	<213> Secuencia Artificial
25	
	<220>
	<223> Oligonucleótido Antisentido
	<400> 185
30	gtgattcttc ccacaggcac 20
	<210> 186
	<211> 20
	<212> ADN
35	<213> Secuencia Artificial

	<220>
	<223> Oligonucleótido Antisentido
	<400> 186
5	atctgctgct tctccgtcac 20
	<210> 187
	<211> 20
	<212> ADN
	<213> Secuencia Artificial
10	
	<220>
	<223> Oligonucleótido Antisentido
	<400> 187
15	ccagcatctg ctgcttctcc 20
	<210> 188
	<211> 20
	<212> ADN
	<213> Secuencia Artificial
20	
	<220>
	<223> Oligonucleótido Antisentido
	<400> 188
25	tgaaggtgct gctccagcat 20
	<210> 189
	<211> 20
	<212> ADN
30	<213> Secuencia Artificial
	<220>
	<223> Oligonucleótido Antisentido
35	<400> 189

ttctgttcta gatcctgcac

	<210> 190
	<211> 20
	<212> ADN
5	<213> Secuencia Artificial
	<220>
	<223> Oligonucleótido Antisentido
10	<400> 190
	ctggagattc tctaccactt 20
	<210> 191
	<211> 20
15	<212> ADN
	<213> Secuencia Artificial
	<220>
	<223> Oligonucleótido Antisentido
20	
	<400> 191
	aagtcatcct ggagattctc 20
	<210> 192
	<211> 20
25	<212> ADN
	<213> Secuencia Artificial
	<220>
	<223> Oligonucleótido Antisentido
30	
	<400> 192
	aatcaaagtc atcctggaga 20
	<210> 193
35	<211> 20
	<212> ADN

	<213> Secuencia Artificial
	<220>
_	<223> Oligonucleótido Antisentido
5	<400> 193
	gttgaaatca aagtcatcct 20
	<210> 194
10	<211> 20
	<212> ADN
	<213> Secuencia Artificial
	<220>
15	<223> Oligonucleótido Antisentido
	<400> 194
	ttatagttga aatcaaagtc 20
20	<210> 195
	<211> 20
	<212> ADN
	<213> Secuencia Artificial
25	<220>
	<223> Oligonucleótido Antisentido
	<400> 195
	gggttttata gttgaaatca 20
30	<210> 196
30	<211> 20
	<212> ADN
	<213> Secuencia Artificial
	12 107 Occuencia Artificial
35	<220>

<223> Oligonucleótido Antisentido

	<400> 196
	cttgagggtt ttatagttga 20
5	<210> 197
	<211> 20
	<212> ADN
	<213> Secuencia Artificial
10	<220>
	<223> Oligonucleótido Antisentido
	<400> 197
	tgactcttga gggttttata 20
15	
	<210> 198
	<211> 20
	<212> ADN
	<213> Secuencia Artificial
20	
	<220>
	<223> Oligonucleótido Antisentido
	<400> 198
25	ctccttgact cttgagggtt 20
	<210> 199
	<211> 20
	<212> ADN
30	<213> Secuencia Artificial
	<220>
	<223> Oligonucleótido Antisentido
25	400, 400
35	<400> 199

catgtctcct tgactcttga

	<210> 200
	<211> 20
	<212> ADN
	<213> Secuencia Artificial
5	
	<220>
	<223> Oligonucleótido Antisentido
	<400> 200
10	attcagatct tgcatgtctc 20
	<210> 201
	<211> 20
	<212> ADN
15	<213> Secuencia Artificial
	<220>
	<223> Oligonucleótido Antisentido
20	<400> 201
	tggttgtttc cattcagatc 20
	<210> 202
	<211> 20
25	<212> ADN
	<213> Secuencia Artificial
	<220>
	<223> Oligonucleótido Antisentido
30	.400. 202
30	<400> 202
	tggtcactga ctggttgttt 20
	<210> 203
	<211> 20
35	<212> ADN
<i></i>	<213> Secuencia Artificial

	<220>
	<223> Oligonucleótido Antisentido
5	<400> 203
	tccagctgct gcatcttctg 20
	<210> 204
	<211> 20
	<212> ADN
10	<213> Secuencia Artificial
	<220>
	<223> Oligonucleótido Antisentido
15	<400> 204
	gagcatctgt tccagctgct 20
	<210> 205
	<211> 20
20	<212> ADN
	<213> Secuencia Artificial
	-220
	<220>
25	<223> Oligonucleótido Antisentido
23	<400> 205
	cttctccgca tctggtccag 20
	olloloogod lolggloodg 20
	<210> 206
30	<211> 20
	<212> ADN
	<213> Secuencia Artificial
	<220>
35	<223> Oligonucleótido Antisentido

	<400> 206
	ttctgcacgt actccatcgc 20
	<210> 207
5	<211> 20
	<212> ADN
	<213> Secuencia Artificial
	<220>
10	<223> Oligonucleótido Antisentido
	<400> 207
	cagccagctc ctcgtccgtg 20
1 -	<210> 208
15	<211> 20
	<212> ADN <213> Secuencia Artificial
	<213> Secuencia Artificial
	<220>
20	<223> Oligonucleótido Antisentido
	<400> 208
	ctcttccagt cagccagctc 20
	<210> 209
25	<211> 20
	<212> ADN
	<213> Secuencia Artificial
	<220>
30	<223> Oligonucleótido Antisentido
	<400> 209
	tgccgcctct tccagtcagc 20
35	<210> 210

<211> 20

	<212> ADN
	<213> Secuencia Artificial
	<220>
5	<223> Oligonucleótido Antisentido
	<400> 210
	ccagttttct agccgatcta 20
10	<210> 211
	<211> 20
	<212> ADN
	<213> Secuencia Artificial
15	<220>
	<223> Oligonucleótido Antisentido
	400 044
	<400> 211
20	acgttatcca gttttctagc 20 <210> 212
20	<211> 20
	<212> ADN
	<213> Secuencia Artificial
	12 TOP GOODOTTOIN THINDIAN
25	<220>
	<223> Oligonucleótido Antisentido
	<400> 212
	agttgagatt ctgctaatga 20
30	
	<210> 213
	<211> 20
	<212> ADN
	<213> Secuencia Artificial
35	
	<220>

	<223> Oligonucleótido Antisentido
	<400> 213
	tctgaagttg agattctgct 20
5	
	<210> 214
	<211> 20
	<212> ADN
	<213> Secuencia Artificial
10	
	<220>
	<223> Oligonucleótido Antisentido
	<400> 214
15	cctttgtagg aaactttttg 20
	<210> 215
	<211> 20
	<212> ADN
20	<213> Secuencia Artificial
	<220>
	<223> Oligonucleótido Antisentido
25	<400> 215
	aggcactttt cattaagttt 20
	<210> 216
	<211> 20
	<212> ADN
30	<213> Secuencia Artificial
	<220>
	<223> Oligonucleótido Antisentido
35	<400> 216

ttgaccagca acctgacttt

20

```
<210> 217
      <211> 20
      <212> ADN
 5
      <213> Secuencia Artificial
      <220>
      <223> Oligonucleótido Antisentido
10
      <400> 217
      agctgataat tcaactcagg
                              20
      <210> 218
      <211> 20
      <212> ADN
15
      <213> Secuencia Artificial
      <220>
      <223> Oligonucleótido Antisentido
20
      <400> 218
      ttttaagctg ataattcaac
                             20
      <210> 219
      <211> 20
25
      <212> ADN
      <213> Secuencia Artificial
      <220>
      <223> Oligonucleótido Antisentido
30
      <400> 219
                            20
      ctttaatttt aagctgataa
      <210> 220
      <211> 20
35
      <212> ADN
      <213> Secuencia Artificial
```

	<220>
	<223> Oligonucleótido Antisentido
5	<400> 220
	gcacacttta attttaagct 20
	<210> 221
	<211> 20
10	<212> ADN
	<213> Secuencia Artificial
	<220>
	<223> Oligonucleótido Antisentido
15	
	<400> 221
	tcaatgcaca ctttaatttt 20
	<210> 222
20	<211> 20
	<212> ADN
	<213> Secuencia Artificial
	<220>
25	<223> Oligonucleótido Antisentido
	<400> 222
	cccagaatgt taaatttccg 20
30	<210> 223
	<211> 20
	<212> ADN
	<213> Secuencia Artificial
35	<220>

<223> Oligonucleótido Antisentido

	<400> 223
	agaggctgcc gttgttggat 20
	<210> 224
5	<211> 20
	<212> ADN
	<213> Secuencia Artificial
	000
10	<220>
10	<223> Oligonucleótido Antisentido
	<400> 224
	aagtgtttga attctgcaga 20
4.5	040 005
15	<210> 225
	<211> 20
	<212> ADN
	<213> Secuencia Artificial
20	<220>
	<223> Oligonucleótido Antisentido
	<400> 225
	tctctgctcc ctcagggtca 20
25	
	<210> 226
	<211> 20
	<212> ADN
20	<213> Secuencia Artificial
30	222
	<220>
	<223> Oligonucleótido Antisentido
	<400> 226
35	atcaggtgca gctcctcagt 20

	<210> 227
	<211> 20
	<212> ADN
	<213> Secuencia Artificial
5	
	<220>
	<223> Oligonucleótido Antisentido
	<400> 227
10	aggtgatcag gtgcagctcc 20
	<210> 228
	<211> 20
	<212> ADN
	<213> Secuencia Artificial
15	
	<220>
	<223> Oligonucleótido Antisentido
	<400> 228
20	ctcaaaggtg atcaggtgca 20
	<210> 229
	<211> 20
	<212> ADN
25	<213> Secuencia Artificial
	<220>
	<223> Oligonucleótido Antisentido
30	400, 220
50	<400> 229 gaggccttgg tgatacacct 20
	gaggeetigg tgatacacct 20
	<210> 230
	<211> 20
35	<212> ADN
	<213> Secuencia Artificial

	<220>
	<223> Oligonucleótido Antisentido
5	<400> 230
3	
	tcaatcttga ggccttggtg 20
	<210> 231
	<211> 20
10	<212> ADN
	<213> Secuencia Artificial
	<220>
	<223> Oligonucleótido Antisentido
15	<223> Oligoriacieotido Artisertido
	<400> 231
	ctaggtcaat cttgaggcct 20
	<210> 232
	<211> 20
20	<212> ADN
	<213> Secuencia Artificial
	<220>
	<223> Oligonucleótido Antisentido
25	
	<400> 232
	ggtctctagg tcaatcttga 20
	<210> 233
30	<211> 20
	<212> ADN
	<213> Secuencia Artificial
	<220>
	<223> Oligonucleótido Antisentido
35	

<400> 233

	aaggagtggg tctctaggtc 20
	<210> 234
	<211> 20
5	<212> ADN
	<213> Secuencia Artificial
	<220>
	<223> Oligonucleótido Antisentido
10	
	<400> 234
	ctggcaagga gtgggtctct 20
	<210> 235
15	<211> 20
	<212> ADN
	<213> Secuencia Artificial
	<220>
20	<223> Oligonucleótido Antisentido
	<400> 235
	accacaactg gcaaggagtg 20
	<210> 236
25	<211> 20
	<212> ADN
	<213> Secuencia Artificial
	<220>
30	<223> Oligonucleótido Antisentido
	400- 226
	<400> 236
	tctgacagat gttggagatc 20
35	<210> 237

<211> 20

	<212> ADN
	<213> Secuencia Artificial
	<220>
5	<223> Oligonucleótido Antisentido
	<400> 237
	tggcatctga cagatgttgg 20
10	<210> 238
	<211> 20
	<212> ADN
	<213> Secuencia Artificial
15	<220>
	<223> Oligonucleótido Antisentido
	<400> 238
20	gcatttggca tctgacagat 20
20	0.40
	<210> 239
	<211> 20
	<212> ADN
25	<213> Secuencia Artificial
23	<220>
	<223> Oligonucleótido Antisentido
	12207 Oligoriadicollado / Intiocritido
	<400> 239
30	ttcttgggat tgttggtcag 20
	<210> 240
	<211> 20
	<212> ADN
	<213> Secuencia Artificial
35	
	<220>

	<223> Oligonucleótido Antisentido
	<400> 240
	gtcagctgct cgatgctcag 20
5	
	<210> 241
	<211> 20
	<212> ADN
	<213> Secuencia Artificial
10	
	<220>
	<223> Oligonucleótido Antisentido
	<400> 241
15	tcccaagagt ttctctgcca 20
	<210> 242
	<211> 20
	<212> ADN
20	<213> Secuencia Artificial
	<220>
	<223> Oligonucleótido Antisentido
25	<400> 242
25	catgtgatct gacaccctga 20
	<210> 243
	<211> 20
	<212> ADN
30	<213> Secuencia Artificial
	<220>
	<223> Oligonucleótido Antisentido
35	<400> 243
55	NTUU/ 240

tagcccatgt gatctgacac

20

	<210> 244
	<211> 20
	<212> ADN
	<213> Secuencia Artificial
5	
	<220>
	<223> Oligonucleótido Antisentido
	<400> 244
10	gccatgtttt ctttgcaaaa 20
	<210> 245
	<211> 20
	<212> ADN
15	<213> Secuencia Artificial
	<220>
	<223> Oligonucleótido Antisentido
20	100 045
20	<400> 245
	ccttgccagc catgttttct 20
	<210> 246
	<211> 20
25	<212> ADN
	<213> Secuencia Artificial
	<220>
	<223> Oligonucleótido Antisentido
30	
	<400> 246
	gaagcccttg ccagccatgt 20
	<210> 247
35	<211> 20
	<212> ADN

	<213> Secuencia Artificial
	<220>
	<223> Oligonucleótido Antisentido
5	
	<400> 247
	aaggagaagc ccttgccagc 20
	<210> 248
	<211> 20
10	<212> ADN
	<213> Secuencia Artificial
	<220>
	<223> Oligonucleótido Antisentido
15	
	<400> 248
	cccagaagga gaagcccttg 20
	<210> 249
	<211> 20
20	<212> ADN
	<213> Secuencia Artificial
	<220>
	<223> Oligonucleótido Antisentido
25	
	<400> 249
	tccagccaga cccagaagga 20
	<210> 250
30	<211> 20
	<212> ADN
	<213> Secuencia Artificial
	<220>
35	<223> Oligonucleótido Antisentido

	<400> 250
	tctttgctgc tttcactgaa 20
	<210> 251
5	<211> 20
	<212> ADN
	<213> Secuencia Artificial
	<220>
10	<223> Oligonucleótido Antisentido
	<400> 251
	atgttgttca gctgctgctt 20
	<210> 252
15	<211> 20
	<212> ADN
	<213> Secuencia Artificial
	<220>
20	<223> Oligonucleótido Antisentido
	<400> 252
	atgacatgtt gttcagctgc 20
25	<210> 253
	<211> 20
	<212> ADN
	<213> Secuencia Artificial
30	<220>
	<223> Oligonucleótido Antisentido
	.400, 252
	<400> 253
35	agcaaatgac atgttgttca 20
55	

<210> 254

	<211> 20
	<212> ADN
	<213> Secuencia Artificial
5	<220>
	<223> Oligonucleótido Antisentido
	<400> 254
	atttcagcaa atgacatgtt 20
10	
	<210> 255
	<211> 20
	<212> ADN
	<213> Secuencia Artificial
15	
	<220>
	<223> Oligonucleótido Antisentido
	<400> 255
20	tgatgatttc agcaaatgac 20
	<210> 256
	<211> 20
	<212> ADN
25	<213> Secuencia Artificial
	<220>
	<223> Oligonucleótido Antisentido
	<400> 256
	ttatagccca tgatgatttc 20
30	
	<210> 257
	<211> 20
	<212> ADN
	<213> Secuencia Artificial
35	
	<220>

	<223> Oligonucleótido Antisentido
	<400> 257
	tgatcttata gcccatgatg 20
5	
	<210> 258
	<211> 20
	<212> ADN
	<213> Secuencia Artificial
10	
	<220>
	<223> Oligonucleótido Antisentido
	<400> 258
15	atccatgatc ttatagccca 20
	<210> 259
	<211> 20
	<212> ADN
20	<213> Secuencia Artificial
	<220>
	<223> Oligonucleótido Antisentido
25	<400> 259
	ggtagcatcc atgatcttat 20
	<210> 260
	<211> 20
30	<212> ADN
	<213> Secuencia Artificial
	<220>
	<223> Oligonucleótido Antisentido
35	

<400> 260

	aatgtcagga tagagataga	20
	<210> 261	
	<211> 20	
	<212> ADN	
5	<213> Secuencia Artificial	
	<220>	
	<223> Oligonucleótido Antisentido	
	<400> 261	
10		20
10	geeteeteet tgggaatgte	20
	<210> 262	
	<211> 20	
	<212> ADN	
15	<213> Secuencia Artificial	
	<220>	
	<223> Oligonucleótido Antisentido	
20	<400> 262	
	tccgaatgcc tcctccttgg	20
	240, 202	
	<210> 263	
25	<211> 20	
25	<212> ADN	
	<213> Secuencia Artificial	
	<220>	
	<223> Oligonucleótido Antisentido	
30		
	<400> 263	
	tactttccga atgcctcctc	20
	210- 264	
35	<210> 264	
JJ	<211> 20 <212> ADN	
	YE IZZ MUN	

	<213> Secuencia Artificial	
	<220>	
	<223> Oligonucleótido Antisentido	
5		
	<400> 264	
	gacaatactt tccgaatgcc	20
	<210> 265	
10	<211> 20	
	<212> ADN	
	<213> Secuencia Artificial	
	<220>	
	<223> Oligonucleótido Antisentido	
15		
	<400> 265	
	ctacctgggt cagcttcagg	20
	<210> 266	
20	<211> 20	
	<212> ADN	
	<213> Secuencia Artificial	
	<220>	
25	<223> Oligonucleótido Antisentido	
23	12207 Gilgoridologido / Willoomido	
	<400> 266	
	ataaacttgg tcttcaggta	20
30	<210> 267	
	<211> 20	
	<212> ADN	
	<213> Secuencia Artificial	
35	<220>	

<223> Oligonucleótido Antisentido

	<400> 267	
	gtcgttggtg tcacacagat	20
5	<210> 268	
	<211> 20	
	<212> ADN	
	<213> Secuencia Artificial	
10	<220>	
	<223> Oligonucleótido Antisentido	
	<400> 268	
	tgcaggtcgt tggtgtcaca	20
15		
	<210> 269	
	<211> 20	
	<212> ADN	
	<213> Secuencia Artificial	
20		
	<220>	
	<223> Oligonucleótido Antisentido	
	<400> 269	
25	attgctgcag gtcgttggtg	20
23	angongoag groginggig	20
	<210> 270	
	<211> 20	
	<212> ADN	
30	<213> Secuencia Artificial	
	<220>	
	<223> Oligonucleótido Antisentido	
35	<400> 270	
	atggtattgc tgcaggtcgt	20

	<210> 271	
	<211> 20	
	<212> ADN	
5	<213> Secuencia Artificial	
	<220>	
	<223> Oligonucleótido Antisentido	
10	<400> 271	
	ggtcaatggt attgctgcag	20
	<210> 272	
	<211> 20	
15	<212> ADN	
	<213> Secuencia Artificial	
	<220>	
20	<223> Oligonucleótido Antisentido	
20	<400> 272	
	gacatcggca ggtcaatggt	20
	<210> 273	
25	<211> 20	
	<212> ADN	
	<213> Secuencia Artificial	
20	<220>	
30	<223> Oligonucleótido Antisentido	
	<400> 273	
	caatgaatct aaagtgcggg	20
35	<210> 274	

<211> 20

	<212> ADN	
	<213> Secuencia Artificial	
	<220>	
5	<223> Oligonucleótido Antisentido)
	<400> 274	
	tgcatcaatg aatctaaagt	20
10	<210> 275	
	<211> 20	
	<212> ADN	
	<213> Secuencia Artificial	
15	<220>	
	<223> Oligonucleótido Antisentido)
	<400> 275	
	caaactgcat caatgaatct	20
20	caaaciycai caaiyaaici	20
20	<210> 276	
	<211> 20	
	<212> ADN	
	<213> Secuencia Artificial	
25		
	<220>	
	<223> Oligonucleótido Antisentido)
	<400> 276	
30	atttccaaac tgcatcaatg	20
	<210> 277	
	<211> 20	
	<212> ADN	
35	<213> Secuencia Artificial	

	<220>	
	<223> Oligonucleótido Antisentido	
	<400> 277	
5	aactgccctc ctgctgaggg	20
	<210> 278	
	<211> 20	
	<212> ADN	
10	<213> Secuencia Artificial	
	<220>	
	<223> Oligonucleótido Antisentido	
15	<400> 278	
	ggtgagggac tcaaactgcc	20
	<210> 279	
••	<211> 20	
20	<212> ADN	
	<213> Secuencia Artificial	
	<220>	
	<223> Oligonucleótido Antisentido	
25	223> Oligoriacieotiao Artisertiao	
25	<400> 279	
	cagtcgtatc tttctgcagc	20
	ouglogialo lilolgougo	20
	<210> 280	
30	<211> 20	
	<212> ADN	
	<213> Secuencia Artificial	
	<220>	
35	<223> Oligonucleótido Antisentido	

	<400> 280	
	agatagcaga agtaggagat	20
5	<210> 281	
	<211> 20	
	<212> ADN	
	<213> Secuencia Artificial	
10	<220>	
	<223> Oligonucleótido Antisentido	
	<400> 281	
15	aaagtgccca gattgctcaa	20
	<210> 282	
	<211> 20	
	<212> ADN	
20	<213> Secuencia Artificial	
	<220>	
	<223> Oligonucleótido Antisentido	
	<400> 282	
25	tttttaaaag tgcccagatt	20
	<210> 283	
	<211> 20	
	<212> ADN	
30	<213> Secuencia Artificial	
	<220>	
	<223> Oligonucleótido Antisentido	
35	<400> 283	

cagatcaccc acattcactc

20

	<210> 284	
	<211> 20	
	<212> ADN	
5	<213> Secuencia Artificial	
	<220>	
	<223> Oligonucleótido Antisentido	
10	<400> 284	
	tgcatttaga taaaagcaga	20
	<210> 285	
	<211> 20	
15	<212> ADN	
	<213> Secuencia Artificial	
	<220>	
	<223> Oligonucleótido Antisentido	
20		
	<400> 285	
	gaacacatcc ttatttgcat	20
	<210> 286	
25	<211> 20	
	<212> ADN	
	<213> Secuencia Artificial	
	220	
20	<220>	
30	<223> Oligonucleótido Antisentido	
	<400> 286	
	atcatgggtc tcagagaaca	20
35	<210> 287	

<211> 20

	<212> ADN	
	<213> Secuencia Artificial	
	<220>	
5	<223> Oligonucleótido Antisentido	
	<400> 287	
	cacatcccct gatcatgggt	20
10	<210> 288	
	<211> 20	
	<212> ADN	
	<213> Secuencia Artificial	
15	<220>	
	<223> Oligonucleótido Antisentido	
	400- 200	
	<400> 288 agacatttcc tttttctccc 20	
20	agacatttcc tttttctccc 20	
20	<210> 289	
	<211> 20	
	<212> ADN	
	<213> Secuencia Artificial	
25		
	<220>	
	<223> Oligonucleótido Antisentido	
	<400> 289	
30	accaggaggc acttgtctaa	20
	<210> 290	
	<211> 20	
	<212> ADN	
35	<213> Secuencia Artificial	

	<220>	
	<223> Oligonucleótido Antisentido	
	<400> 290	
5	gcaggcacca ggaggcactt	20
	<210> 291	
	<211> 20	
	<212> ADN	
10	<213> Secuencia Artificial	
	<220>	
	<223> Oligonucleótido Antisentido	
15	<400> 291	
	gcttacagaa acaggcagaa	20
	<210> 292	
	<211> 20	
20	<212> ADN	
	<213> Secuencia Artificial	
	<220>	
	<223> Oligonucleótido Antisentido	
25		
	<400> 292	
	aggtggcctg tggcatttgc	20
	<210> 293	
30	<211> 20	
	<212> ADN	
	<213> Secuencia Artificial	
	<220>	
35	<223> Oligonucleótido Antisentido	

	<400> 293	
	gtatgtagct ataggtggcc	20
	<210> 294	
5	<211> 20	
	<212> ADN	
	<213> Secuencia Artificial	
	<220>	
10	<223> Oligonucleótido Antisentido	
	<400> 294	
	gcaatgccag gagtatgtag	20
15	<210> 295	
	<211> 20	
	<212> ADN	
	<213> Secuencia Artificial	
20	<220>	
	<223> Oligonucleótido Antisentido	
	<400> 295	
	ttaaaaagtg caatgccagg	20
25		
	<210> 296	
	<211> 20	
	<212> ADN	
	<213> Secuencia Artificial	
30		
	<220>	
	<223> Oligonucleótido Antisentido	
	<400> 296	
35	ggcttagata gtcctatctt	20

	<210> 297	
	<211> 20	
	<212> ADN	
	<213> Secuencia Artificial	
5		
	<220>	
	<223> Oligonucleótido Antisentido	0
	<400> 297	
10	taaaaagaaa cctagggctt	20
	<210> 298	
	<211> 20	
	<212> ADN	
15	<213> Secuencia Artificial	
	<220>	
	<223> Oligonucleótido Antisentido	0
20	<400> 298	
	atacagaaag gctatgctga	20
	<210> 299	
	<211> 20	
25	<212> ADN	
	<213> Secuencia Artificial	
	<220>	
	<223> Oligonucleótido Antisentido)
30		
	<400> 299	
	ttaagtttct taaatacaga	20
	<210> 300	
35	<211> 20	
	<212> ADN	

	<213> Secuencia Artificial	
	<220>	
	<223> Oligonucleótido Antisentido	
5	<400> 300	
	gcatctgctg cttctccgtc	20
	<210> 301	
10	<211> 20	
	<212> ADN	
	<213> Secuencia Artificial	
	<220>	
15	<223> Oligonucleótido Antisentido	
	<400> 301	
	cagcatctgc tgcttctccg	20
20	<210> 302	
20	<211> 20	
	<211> 20 <212> ADN	
	<213> Secuencia Artificial	
	2107 Occurring Antinoidi	
25	<220>	
	<223> Oligonucleótido Antisentido	
	<400> 302	
	tccagcatct gctgcttctc	20
30		
	<210> 303	
	<211> 20	
	<212> ADN	
	<213> Secuencia Artificial	
35		
	<220>	

	<223> Oligonucleótido Antisentido	
	<400> 303	
	ctccagcatc tgctgcttct 20	
5		
	<210> 304	
	<211> 20	
	<212> ADN	
	<213> Secuencia Artificial	
10		
	<220>	
	<223> Oligonucleótido Antisentido	
	<400> 304	
15	tgctccagca tctgctgctt	20
	<210> 305	
	<211> 20	
	<212> ADN	
20	<213> Secuencia Artificial	
	<220>	
	<223> Oligonucleótido Antisentido	
25	<400> 305	
	tgctgctcca gcatctgctg	20
	<210> 306	
	<211> 20	
30	<212> ADN	
	<213> Secuencia Artificial	
	<220>	
	<223> Oligonucleótido Antisentido	
35		

<400> 306

	ggtgctgctc cagcatctgc	20
	<210> 307	
	<211> 20	
5	<212> ADN	
	<213> Secuencia Artificial	
	<220>	
	<223> Oligonucleótido Antisentido	
10	.	
	<400> 307	
	aaggtgctgc tccagcatct	20
	<210> 308	
15	<211> 20	
	<212> ADN	
	<213> Secuencia Artificial	
	<220>	
20	<223> Oligonucleótido Antisentido	
	<400> 308	
	tgggattgtt ggtcagcatg	20
	<210> 309	
25	<211> 20	
	<212> ADN	
	<213> Secuencia Artificial	
	<220>	
30	<223> Oligonucleótido Antisentido	
	<400> 309	
	attcttggga ttgttggtca	20
35	<210> 310	

<211> 20

	<212> ADN	
	<213> Secuencia Artificial	
	<220>	
5	<223> Oligonucleótido Antisentido	
	<400> 310	
	acattcttgg gattgttggt 20	
10	<210> 311	
	<211> 20	
	<212> ADN	
	<213> Secuencia Artificial	
15	<220>	
	<223> Oligonucleótido Antisentido	
	<400> 311	
20	cacattcttg ggattgttgg 20	
20	<210> 312	
	<211> 20	
	<211> 20 <212> ADN	
	<213> Secuencia Artificial	
25	12102 Goodellold / Italiolal	
	<220>	
	<223> Oligonucleótido Antisentido	
	C	
	<400> 312	
30	ttcacattct tgggattgtt 20	
	<210> 313	
	<211> 20	
	<212> ADN	
35	<213> Secuencia Artificial	
	<220>	

	<223> Oligonucleótido Antisentido	
	<400> 313	
	agttcacatt cttgggattg	20
5		
	<210> 314	
	<211> 20	
	<212> ADN	
	<213> Secuencia Artificial	
10		
	<220>	
	<223> Oligonucleótido Antisentido	
	<400> 314	
15	gaagttcaca ttcttgggat	20
	<210> 315	
	<211> 20	
	<212> ADN	
20	<213> Secuencia Artificial	
	<220>	
	<223> Oligonucleótido Antisentido	
25	<400> 315	00
25	agattatgaa acaccaaagt	20
	<210> 316	
	<211> 20	
	<212> ADN	
30	<213> Secuencia Artificial	
	2.07 0000010107111110101	
	<220>	
	<223> Oligonucleótido Antisentido	
35	<400> 316	
	ggagattatg aaacaccaaa	20

	<210> 317	
	<211> 20	
	<212> ADN	
5	<213> Secuencia Artificial	
	<220>	
	<223> Oligonucleótido Antisentido	
10	<400> 317	
	caggagatta tgaaacacca	20
	<210> 318	
	<211> 20	
15	<212> ADN	
	<213> Secuencia Artificial	
	<220>	
	<223> Oligonucleótido Antisentido	
20		
	<400> 318	
	tcccaggaga ttatgaaaca	20
	<210> 319	
25	<211> 20	
23	<212> ADN	
	<213> Secuencia Artificial	
	<220>	
30	<223> Oligonucleótido Antisentido	
	<400> 319	
	ctcccaggag attatgaaac	20
35	<210> 320	

<211> 20

	<212> ADN	
	<213> Secuencia Artificial	
	<220>	
5	<223> Oligonucleótido Antisentido	0
	<400> 320	
	ctctcccagg agattatgaa	20
10	<210> 321	
	<211> 20	
	<212> ADN	
	<213> Secuencia Artificial	
15	<220>	
	<223> Oligonucleótido Antisentido	0
	<400> 321	
	atctctccca ggagattatg	20
20	aicicicca gyagailaig	20
20	<210> 322	
	<211> 20	
	<212> ADN	
	<213> Secuencia Artificial	
25		
	<220>	
	<223> Oligonucleótido Antisentido)
	<400> 322	
30	cttgccagcc atgttttctt	20
	<210> 323	
	<211> 20	
	<212> ADN	
35	<213> Secuencia Artificial	

	<220>	
	<223> Oligonucleótido Antisentido	
	<400> 323	
5	cccttgccag ccatgttttc	20
	<210> 324	
	<211> 20	
	<212> ADN	
10	<213> Secuencia Artificial	
	<220>	
	<223> Oligonucleótido Antisentido	
15	<400> 324	
	agcccttgcc agccatgttt	20
	<210> 325	
	<211> 20	
20	<212> ADN	
	<213> Secuencia Artificial	
	<220>	
	<223> Oligonucleótido Antisentido	
25		
	<400> 325	
	gagaagccct tgccagccat	20
	<210> 326	
30	<211> 20	
	<212> ADN	
	<213> Secuencia Artificial	
	<220>	
35	<223> Oligonucleótido Antisentido	

	<400> 326	
	aggagaagcc cttgccagcc	20
	<210> 327	
5	<211> 20	
	<212> ADN	
	<213> Secuencia Artificial	
4.0	<220>	
10	<223> Oligonucleótido Antisentido	
	<400> 327	
	gaaggagaag cccttgccag	20
15	<210> 328	
	<211> 20	
	<212> ADN	
	<213> Secuencia Artificial	
20		
20	<220>	
	<223> Oligonucleótido Antisentido	
	<400> 328	
	aagcccttgc cagccatgtt	20
25		
	<210> 329	
	<211> 20	
	<212> ADN	
	<213> Secuencia Artificial	
30		
	<220>	
	<223> Oligonucleótido Antisentido	
	<400> 329	
35	agaageett gecageeatg	20

	<210> 330	
	<211> 20	
	<212> ADN	
	<213> Secuencia Artificial	
5		
	<220>	
	<223> Oligonucleótido Antisentido	
	<400> 330	
10	agaaggagaa gcccttgcca	20
	<210> 331	
	<211> 20	
	<212> ADN	
	<213> Secuencia Artificial	
15		
	<220>	
	<223> Oligonucleótido Antisentido	
	<400> 331	
20	ccagaaggag aagcccttgc	20
	<210> 332	
	<211> 20	
	<212> ADN	
25	<213> Secuencia Artificial	
	<220>	
	<223> Oligonucleótido Antisentido	
30	<400> 332	
	acccagaagg agaagccctt	20
	<210> 333	
	<211> 20	
35	<212> ADN	
	<213> Secuencia Artificial	

	<220>	
	<223> Oligonucleótido Antisentido	
5	<400> 333	
	tgcctcctcc ttgggaatgt	20
	<210> 334	
	<211> 20	
10	<212> ADN	
	<213> Secuencia Artificial	
	<220>	
	<223> Oligonucleótido Antisentido	
15		
	<400> 334	
	aatgcctcct ccttgggaat	20
	<210> 335	
20	<211> 20	
	<212> ADN	
	<213> Secuencia Artificial	
	<220>	
	<223> Oligonucleótido Antisentido	
25		
	<400> 335	
	cgaatgcctc ctccttggga	20
	<210> 336	
30	<211> 20	
	<212> ADN	
	<213> Secuencia Artificial	
	<220>	
	<223> Oligonucleótido Antisentido	
35		
	<400> 336	

	ttccgaatgc ctcctccttg	20
	<210> 337	
	<211> 20	
5	<212> ADN	
	<213> Secuencia Artificial	
	<220>	
	<223> Oligonucleótido Antisentido	
10		
	<400> 337	
	tttccgaatg cctcctcctt	20
	<210> 338	
15	<211> 20	
	<212> ADN	
	<213> Secuencia Artificial	
	<220>	
20	<223> Oligonucleótido Antisentido	
	3	
	<400> 338	
	actttccgaa tgcctcctcc	20
25	<210> 339	
	<211> 20	
	<212> ADN	
	<213> Secuencia Artificial	
20	000	
30	<220>	
	<223> Oligonucleótido Antisentido	
	<400> 339	
	ttgcaggaag cggctatact	20
35		
	<210> 340	

	<211> 20	
	<212> ADN	
	<213> Secuencia Artificial	
5	<220>	
	<223> Oligonucleótido Antisentido	
	<400> 340	
	tcttgcagga agcggctata 20	
10		
	<210> 341	
	<211> 20	
	<212> ADN	
	<213> Secuencia Artificial	
15		
	<220>	
	<223> Oligonucleótido Antisentido	
	<400> 341	
20	actcttgcag gaagcggcta 20	
	<210> 342	
	<211> 20	
	<212> ADN	
25	<213> Secuencia Artificial	
	<220>	
	<223> Oligonucleótido Antisentido	
30	<400> 342	
	gactcttgca ggaagcggct 20	
	<210> 343	
	<211> 20	
35	<212> ADN	
	<213> Secuencia Artificial	

	<220>	
	<223> Oligonucleótido Antisentido	
5	<400> 343	
	tcgactcttg caggaagcgg	20
	<210> 344	
	<211> 20	
10	<212> ADN	
	<213> Secuencia Artificial	
	<220>	
	<223> Oligonucleótido Antisentido	
15		
	<400> 344	
	ttcgactctt gcaggaagcg	20
	<210> 345	
20	<211> 20	
	<212> ADN	
	<213> Secuencia Artificial	
	<220>	
25	<223> Oligonucleótido Antisentido	
	<400> 345	
	cattcgactc ttgcaggaag	20
30	<210> 346	
	<211> 20	
	<212> ADN	
	<213> Secuencia Artificial	
	22.02 Goodonola / Italiola	
35	<220>	

<223> Oligonucleótido Antisentido

	<400> 346	
	tcttatagcc catgatgatt	20
5	<210> 347	
	<211> 20	
	<212> ADN	
	<213> Secuencia Artificial	
10	<220>	
	<223> Oligonucleótido Antisentido	
	<400> 347	
	gatcttatag cccatgatga	20
15		
	<210> 348	
	<211> 20	
	<212> ADN	
	<213> Secuencia Artificial	
20		
	<220>	
	<223> Oligonucleótido Antisentido	
	<400> 348	
25	atgatcttat agcccatgat	20
	<210> 349	
	<211> 20	
	<212> ADN	
30	<213> Secuencia Artificial	
	000	
	<220>	
	<223> Oligonucleótido Antisentido	
25	400- 240	
35	<400> 349	

ccatgatctt atagcccatg

20

	<210> 350	
	<211> 20	
	<212> ADN	
5	<213> Secuencia Artificial	
	<220>	
	<223> Oligonucleótido Antisentido	
10	<400> 350	
	gcatccatga tcttatagcc	20
	<210> 351	
	<211> 20	
15	<212> ADN	
	<213> Secuencia Artificial	
	<220>	
20	<223> Oligonucleótido Antisentido	
20	400 054	
	<400> 351	00
	tagcatccat gatcttatag	20
	<210> 352	
25	<211> 20	
	<212> ADN	
	<213> Secuencia Artificial	
	<220>	
30	<223> Oligonucleótido Antisentido	
	400 050	
	<400> 352	00
	gtagcatcca tgatcttata	20
) E	<210> 353	
35	<211> 20	
	<212> ADN	

	<213> Secuencia Artificial	
	<220>	
	<223> Oligonucleótido Antisentido	
5	<400> 353	
	aaaggctatg ctgatacagt	20
	<210> 354	
10	<211> 20	
10	<212> ADN	
	<213> Secuencia Artificial	
4 -	<220>	
15	<223> Oligonucleótido Antisentido	
	<400> 354	
	agaaaggcta tgctgataca	20
20	<210> 355	
20	<211> 20	
	<212> ADN	
	<213> Secuencia Artificial	
	(213) Secuencia Artificial	
25	<220>	
	<223> Oligonucleótido Antisentido	
	<400> 355	
	acagaaaggc tatgctgata	20
30		
	<210> 356	
	<211> 20	
	<212> ADN	
	<213> Secuencia Artificial	
35		
	<220>	

	<223> Oligonucleótido Antisentido	
	<400> 356	
	tacagaaagg ctatgctgat	20
5		
	<210> 357	
	<211> 20	
	<212> ADN	
	<213> Secuencia Artificial	
10	<220>	
	<223> Oligonucleótido Antisentido	
	<400> 357	
4.5	aatacagaaa ggctatgctg	20
15	040 050	
	<210> 358	
	<211> 20 <212> ADN	
	<212> ADIN <213> Secuencia Artificial	
20	2132 Secuencia Artificial	
20	<220>	
	<223> Oligonucleótido Antisentido	
	Ü	
	<400> 358	
25	aaatacagaa aggctatgct	20
	<210> 359	
	<211> 20	
	<212> ADN	
30	<213> Secuencia Artificial	
	<220>	
	<223> Oligonucleótido Antisentido	
25	400 050	
35	<400> 359	00
	ttaaatacag aaaggctatg	20

	<210> 360	
	<211> 20	
	<212> ADN	
5	<213> Secuencia Artificial	
	<220>	
	<223> Oligonucleótido Antisentido	
	<400> 360	
10	tcttaaatac agaaaggcta	20
	<210> 361	
	<211> 20	
	<212> ADN	
15	<213> Secuencia Artificial	
	<220>	
	<223> Oligonucleótido Antisentido	
20	<400> 361	
	ggtctcagag aacacatcct	20
	<210> 362	
	<211> 20	
25	<212> ADN	
	<213> Secuencia Artificial	
	<220>	
	<223> Oligonucleótido Antisentido	
30		
	<400> 362	
	tgggtctcag agaacacatc	20
	0.10	
25	<210> 363	
35	<211> 20	
	<212> ADN	

	<213> Secuencia Artificial	
	<220>	
5	<223> Oligonucleótido Antisentido	
5	<400> 363	
	catgggtctc agagaacaca	20
	<210> 364	
10	<211> 20	
	<212> ADN	
	<213> Secuencia Artificial	
	<220>	
15	<223> Oligonucleótido Antisentido	
	<400> 364	
	tcatgggtct cagagaacac	20
20	<210> 365	
	<211> 20	
	<212> ADN	
	<213> Secuencia Artificial	
25	<220>	
	<223> Oligonucleótido Antisentido	
	ALLOS GIIGONAGONAGONAGO	
	<400> 365	
	tgatcatggg tctcagagaa	20
30		
	<210> 366	
	<211> 20	
	<212> ADN	
	<213> Secuencia Artificial	
35		

<220>

	<223> Oligonucleótido Antisentido)
	<400> 366	
	cctgatcatg ggtctcagag	20
5		
	<210> 367	
	<211> 20	
	<212> ADN	
	<213> Secuencia Artificial	
10		
	<220>	
	<223> Oligonucleótido Antisentido)
	<400> 367	
15	cccctgatca tgggtctcag	20
	<210> 368	
	<211> 20	
20	<212> ADN	
20	<213> Secuencia Artificial	
	<220>	
	<223> Oligonucleótido Antisentido	,
	12207 Oligoriadiootiad / Intiodritiad	
25	<400> 368	
	cagacccaga aggagaagcc	20
	<210> 369	
	<211> 20	
30	<212> ADN	
	<213> Secuencia Artificial	
	<220>	
	<223> Oligonucleótido Antisentido)
35		
	<400> 369	

	cagccagacc cagaaggaga	20
	<210> 370	
	<211> 20	
5	<212> ADN	
	<213> Secuencia Artificial	
	<220>	
	<223> Oligonucleótido Antisentido	
10		
	<400> 370	
	ccagccagac ccagaaggag	20
	<210> 371	
15	<211> 20	
	<212> ADN	
	<213> Secuencia Artificial	
	<220>	
20	<223> Oligonucleótido Antisentido	
	<400> 371	
	gtccagccag acccagaagg	20
25	<210> 372	
	<211> 20	
	<212> ADN	
	<213> Secuencia Artificial	
30	<220>	
	<223> Oligonucleótido Antisentido	
	<400> 372	
	tgtccagcca gacccagaag	20
35		
	<210> 373	

	<211> 20	
	<212> ADN	
	<213> Secuencia Artificial	
5	<220>	
	<223> Oligonucleótido Antisentido	1
	<400> 373	
	attgtccagc cagacccaga	20
10		
	<210> 374	
	<211> 20	
	<212> ADN	
	<213> Secuencia Artificial	
15		
	<220>	
	<223> Oligonucleótido Antisentido	1
	<400> 374	
20	atattgtcca gccagaccca	20
	<210> 375	
	<211> 20	
	<212> ADN	
	<213> Secuencia Artificial	
25		
	<220>	
	<223> Oligonucleótido Antisentido)
	<400> 375	
30	catgatetta tageceatga	20
	<210> 376	
	<211> 20	
	<212> ADN	
35	<213> Secuencia Artificial	
	<220>	

	<223> Oligonucleótido Antisentido	
	<400> 376	
	tccatgatct tatagcccat	20
5		
	<210> 377	
	<211> 20	
	<212> ADN	
	<213> Secuencia Artificial	
10		
	<220>	
	<223> Oligonucleótido Antisentido	
	<400> 377	
15	catccatgat cttatagccc	20
	<210> 378	
	<211> 20	
	<212> ADN	
20	<213> Secuencia Artificial	
	<220>	
	<223> Oligonucleótido Antisentido	
	C2237 Oligoriacieolido Artiiseriido	
25	<400> 378	
	agcatccatg atcttatagc	20
	240, 270	
	<210> 379 <211> 20	
30	<211> 20 <212> ADN	
30	<213> Secuencia Artificial	
	<220>	
	<223> Oligonucleótido Antisentido	
	Ongonacioulac / unicentac	
35	<400> 379	
	tggtagcatc catgatctta	20

```
<210> 380
      <211> 20
      <212> ADN
 5
      <213> Secuencia Artificial
      <220>
      <223> Oligonucleótido Antisentido
10
      <400> 380
      ttggtagcat ccatgatctt
                                      20
      <210> 381
      <211> 20
15
      <212> ADN
      <213> Secuencia Artificial
      <220>
      <223> Oligonucleótido Antisentido
20
      <400> 381
                                      20
      gatattggta gcatccatga
      <210> 382
      <211> 2924
25
      <212> ADN
      <213> M. musculus
      <220>
      <221> CDS
30
      <222> (173)...(2341)
      <400> 382
```

gtcgacccac gcgtccgcgc tgaggtacaa ccccgctcgg tgtcgcctga ccgcgtcggc 6 taggagaggc caggcggccc tcgggagccc agcagctcgc gcctggagtc agcgcaggcc 1 ggccagtcgg gcctcagccc cggagacagt cgagacccct gactgcagca gg atg gct 1 Met Ala 1							
			tac ctg gag cag ctg Tyr Leu Glu Gln Leu 15	226			
		Phe Pro Met Glu	ctg cgg cag ttc ctg Leu Arg Gln Phe Leu 30	274			
			gca gcc agc aaa gag Ala Ala Ser Lys Glu 50	322			
_		_	ggt gaa att gac cag Gly Glu Ile Asp Gln 65	370			
Gln Tyr Ser Ar	_		ctc tat cag cac aac Leu Tyr Gln His Asn 80	418			
			tat ctt gag aag cca Tyr Leu Glu Lys Pro 95	466			
-		. Ala Arg Cys Leu	tgg gaa gag tct cgc Trp Glu Glu Ser Arg 110	514			
_			ggg ggc cag gcc aac Gly Gly Gln Ala Asn 130	562			
			cag atg ttg gag cag Gln Met Leu Glu Gln 145	610			
	p Val Arg Lys		cta gaa cag aaa atg Leu Glu Gln Lys Met 160	658			
			ttc aac tac aaa acc Phe Asn Tyr Lys Thr 175	706			
		Gln Asp Leu Asn	gga aac aac cag tct Gly Asn Asn Gln Ser 190	754			

		aag atg Lys Met 200									802
		aga agc Arg Ser 215									850
		gtg cag Val Gln									898
		cag cag Gln Gln		Cys							946
		ctg gaa Leu Glu					_	_			994
		caa caa Gln Gln 280									1042
		ggc gac Gly Asp 295									1090
		gag ctg Glu Leu	_		_	_	_	_			1138
		ccc tgc Pro Cys	_	_	_	_				_	1186
_		gtc cag Val Gln		_	_		_	_	_		1234
		aat tat Asn Tyr 360									1282
		gtt gct Val Ala 375		Arg							1330
		aca aaa Thr Lys									1378
	_	gag ttc Glu Phe	_	_				_	_	_	1426
		cgt gcc Arg Ala									1474
		atc acc Ile Thr 440									1522

_	att Ile	_						_		_						1570
	tgt Cys	_	_			_		_			_				_	1618
_	acc Thr				_							_	_			1666
	acc Thr 500															1714
	acc Thr	_	_		_	_			_	_		_	-	-		1762
_	ctc Leu										-	_				1810
_	aaa Lys		_		_		_	_		_						1858
	tgg Trp															1906
	tgg Trp 580															1954
	gcc Ala			_		_		_					_	_		2002
	gag Glu															2050
	atc Ile															2098
	cag Gln															2146
	atg Met 660															2194
	gac Asp															2242
-	cag Gln				-	-	-			_	-	_	_		_	2290
aag	acc	aag	ttc	atc	tgt	gtg	aca	cca	ttc	att	gat	gca	gtt	tgg	aaa	2338

Lys Thr Lys Phe Ile Cys Val Thr Pro Phe Ile Asp Ala Val Trp Lys

715

720

710

```
taa cggtgaaggt gctgagccct cagcaggagg gcagtttgag tcgctcacgt
                                                                          2391
     ttgacatgga tctgacctcg gagtgtgcta cctccccat gtgaggagct gaaaccagaa 2451
     getgeagaga egtgaettga gaeacetgee eegtgeteea eeectaagea geegaaceee 2511
     atatcgtctg aaactcctaa ctttgtggtt ccagattttt ttttttaatt tcctacttct 2571
     gctatctttg ggcaatctgg gcacttttta aaagagagaa atgagtgagt gtgggtgata 2631
     aactgttatg taaagaggag agcacctctg agtctgggga tggggctgag agcagaaggg 2691
     aggcaaaggg gaacacctcc tgtcctgccc gcctgccctc ctttttcagc agctcggggg 2751
     ttggttgtta gacaagtgcc tcctggtgcc catggctacc tgttgcccca ctctgtgagc 2811
     tgatacccca ttctgggaac tcctggctct gcactttcaa ccttgctaat atccacatag 2871
     <210> 383
5
    <211> 20
    <212> ADN
    <213> Secuencia Artificial
    <220>
10
    <223> Oligonucleótido Antisentido
    <400> 383
                            20
    tggtattgct gcaggtcgtt
15
    <210> 384
    <211> 20
    <212> ADN
    <213> Secuencia Artificial
20
    <220>
    <223> Oligonucleótido Antisentido
    <400> 384
    cggcaggtca atggtattgc
                            20
25
    <210> 385
    <211> 20
```

	<212> ADN	
	<213> Secuencia Artificial	
	<220>	
5	<223> Oligonucleótido Antisentido)
	<400> 385	
	ggacatcggc aggtcaatgg	20
10	<210> 386	
	<211> 20	
	<212> ADN	
	<213> Secuencia Artificial	
15	<220>	
	<223> Oligonucleótido Antisentido)
	<400> 386	
20	ttgtacctca gcgcggacgc	20
20	040 007	
	<210> 387	
	<211> 19	
	<212> ADN <213> Secuencia Artificial	
25	<213> Secuencia Antificial	
23	<220>	
	<223> Oligonucleótido Antisentido	,
	12207 Oligoriadicoliad 7 inicorniad	,
	<400> 387	
30	aaaagtgccc agattgccc	19
	<210> 388	
	<211> 18	
	<212> ADN	
35	<213> Secuencia Artificial	

	<220>	
	<223> Oligonucleótido Antisentido	
	<400> 388	
5	aaaagtgccc agattgcc	18
	<210> 389	
	<211> 17	
	<212> ADN	
10	<213> Secuencia Artificial	
	<220>	
	<223> Oligonucleótido Antisentido	
15	<400> 389	
	aaagtgccca gattgcc	17
	<210> 390	
	<211> 20	
20	<212> ADN	
	<213> Secuencia Artificial	
	<220>	
	<223> Oligonucleótido Antisentido	
25		
	<400> 390	
	gctgcaggtc gttggtgtca	20
	<210> 391	
30	<211> 20	
	<212> ADN	
	<213> Secuencia Artificial	
	<220>	
35	<223> Oligonucleótido Antisentido	

	<400> 391	
	ttctacctcg cgcgatttac	20
	<210> 392	
5	<211> 20	
	<212> ADN	
	<213> Secuencia Artificial	
	<220>	
10	<223> Oligonucleótido Antisentido	
	<400> 392	
	gtacagttat gcgcggtaga	20
15	<210> 393	
	<211> 20	
	<212> ADN	
	<213> Secuencia Artificial	
20	<220>	
	<223> Oligonucleótido Antisentido	
	<400> 393	
	ttagaatacg tcgcgttatg	20
25		
	<210> 394	
	<211> 20	
	<212> ADN	
	<213> Secuencia Artificial	
30		
	<220>	
	<223> Oligonucleótido Antisentido	
	<400> 394	
35	cgttattaac ctccgttgaa	20

	<210> 395	
	<211> 20	
	<212> ADN	
	<213> Secuencia Artificial	
5		
	<220>	
	<223> Oligonucleótido Antisentido	
	<400> 395	
10	ctgctagcct ctggatttga	20
	<210> 396	
	<211> 20	
	<212> ADN	
15	<213> Secuencia Artificial	
	<220>	
	<223> Oligonucleótido Antisentido	
20	<400> 396	
	ctcttactgt gctgtggaca	20
	<210> 397	
	<211> 15	
25	<212> ADN	
	<213> Secuencia Artificial	
	<220>	
	<223> Cebador para PCR	
30	12202 Ochador para i Ort	
30	<400> 397	
	gaggcccgcc caaca	15
	<210> 398	
35	<211> 26	
	<212> ADN	

	<213> Secuencia Artificial	
	<220>	
	<223> Cebador para PCR	
5		
	<400> 398	
	ttctgctaat gacgttatcc agtttt	26
	<210> 399	
	<211> 14	
10	<212> ADN	
	<213> Secuencia Artificial	
	<220>	
	<223> Sonda para PCR	
15		
	<400> 399	
	ctgcctagat cggc 14	
	<210> 400	
20	<211> 21	
	<212> ADN	
	<213> Secuencia Artificial	
	<220>	
25	<223> Oligonucleótido Antisentido	
	J. 11.	
	<400> 400	
	attcttggga ttgttggtct t	21
30	<210> 401	
	<211> 21	
	<212> ADN	
	<213> Secuencia Artificial	
35	<220>	

<223> Oligonucleótido Antisentido

	<400> 401	
	ctccagcatc tgctgcttct t	21
5	<210> 402	
J	<211> 20	
	<211> 20 <212> ADN	
	<212> ADIN <213> Secuencia Artificial	
	<213> Secuencia Artificial	
10	<220>	
	<223> Oligonucleótido Antisentido	
	<400> 402	
	tttgatcgag gttagccgtg	20
15		
	<210> 403	
	<211> 20	
	<212> ADN	
	<213> Secuencia Artificial	
20	<220>	
	<223> Oligonucleótido Antisentido	
	<400> 403	
	actcaggcta cctttctgct	20
25		
	<210> 404	
	<211> 20	
	<212> ADN	
	<213> Secuencia Artificial	
30		
	<220>	
	<223> Oligonucleótido Antisentido	
	<400> 404	
35	gctccaatac ccgttgcttc	20

	<210> 405	
	<211> 20	
	<212> ADN	
	<213> Secuencia Artificial	
5		
	<220>	
	<223> Oligonucleótido Antisentido	
	<400> 405	
10	ccgctctgct atagaggcac	20
	<210> 406	
	<211> 20	
	<212> ADN	
15	<213> Secuencia Artificial	
	<220>	
	<223> Oligonucleótido Antisentido	
20	400 400	
20	<400> 406	00
	aaaagtatct aaatcgctca	20
	<210> 407	
	<211> 20	
25	<212> ADN	
	<213> Secuencia Artificial	
	<220>	
	<223> Oligonucleótido Antisentido	
30		
	<400> 407	
	taaaagcgtc taagttgctc	20
	<210> 408	
35	<211> 20	
	<212> ADN	

	<213> Secuencia Artificial	
	<220>	
	<223> Oligonucleótido Antisentido	
5	<400> 408	
	aggagaagcc cttgccagcc	20
	<210> 409	
10	<211> 20	
10	<212> ADN	
	<213> Secuencia Artificial	
	<220>	
15	<223> Oligonucleótido Antisentido	
	<400> 409	
	ccttccctga aggttcctcc	20
20	<210> 410	
	<211> 20	
	<212> ADN	
	<213> Secuencia Artificial	
. -	000	
25	<220>	
	<223> Oligonucleótido Antisentido	
	<400> 410	
	atgcatacta cgaaaggccg	20
30		
	<210> 411	
	<211> 20	
	<212> ADN	
	<213> Secuencia Artificial	
35		
	<220>	

<223> Oligonucleótido Antisentido <400> 411 ttcgcggctg gacgattcag 20 5 <210> 412 <211> 4978 <212> ADN <213> H. sapiens 10 <220> <221> CDS <222> (241)...(2553)

15

ccgagggaac aag ccctcggctc gga cgcagccccg gcc	ccccaac cggato gaggccc ttcggo tctcggc ctctgo	actgg gagggggagc cctgg acaggcaccc cctga gggagcctcg ccgga gaaacagttg	cggcttggcg ctgtc ccgcccgtcc ccggc ggacccctga tttta	ctctcc 120 cacacg 180 agcagg 240
atg gcc caa to Met Ala Gln Tr 1	g aat cag cta p Asn Gln Leu 5	cag cag ctt gac Gln Gln Leu Asp 10	aca cgg tac ctg Thr Arg Tyr Leu 15	gag 288 Glu
Gln Leu His Gl		gac agc ttc cca Asp Ser Phe Pro 25		_
		agt caa gat tgg Ser Gln Asp Trp 40		
		gtg ttt cat aat Val Phe His Asn		
		ctg caa gag tcg Leu Gln Glu Ser 75		
		cag ttt ctt cag Gln Phe Leu Gln 90		
	u Ile Ala Arg	att gtg gcc cgg Ile Val Ala Arg 105		
		gcc act gcg gcc Ala Thr Ala Ala 120		
		gtg gtg acg gag Val Val Thr Glu		
		cgg aag aga gtg Arg Lys Arg Val 155		

	atg Met															768
	acc Thr															816
	tca Ser															864
	ctg Leu 210	_	_	_		_	_			_		_				912
_	tca Ser		_				_				_	_			_	960
	gac Asp															1008
	atc Ile															1056
	caa Gln		_		_				_		_			_	_	1104
	aaa Lys 290															1152
	gag Glu															1200
	gtg Val		Glu		Gln		Cys									1248
ctc									330					335		
	gtc Val						cag	ttc	act	act	aaa	gtc		ttg		1296
Leu gtc		Ile ttc	Lys 340 cct	Thr gag	Gly	Val aat	cag Gln tat	ttc Phe 345 cag	act Thr	act Thr	aaa Lys att	gtc Val aaa	Arg 350 gtg	ttg Leu tgc	Leu	1296 1344
Leu gtc Val gac	Val	ttc Phe 355 gac	Lys 340 cct Pro	Thr gag Glu ggg	Gly ttg Leu gac	Val aat Asn gtt	cag Gln tat Tyr 360	ttc Phe 345 cag Gln	act Thr ctt Leu	act Thr aaa Lys	aaa Lys att Ile gga	gtc Val aaa Lys 365	Arg 350 gtg Val	ttg Leu tgc Cys	Leu att Ile ttt	
gtc Val gac Asp	Val aaa Lys aaa	ttc Phe 355 gac Asp	Lys 340 cct Pro tct Ser	Thr gag Glu ggg Gly aca	Gly ttg Leu gac Asp	Val aat Asn gtt Val 375 aca	cag Gln tat Tyr 360 gca Ala	ttc Phe 345 cag Gln gct Ala	act Thr ctt Leu ctc Leu	act Thr aaa Lys aga Arg	aaa Lys att Ile gga Gly 380	gtc Val aaa Lys 365 tcc Ser	Arg 350 gtg Val cgg Arg	ttg Leu tgc Cys aaa Lys	att Ile ttt Phe	1344

										gat Asp						1536
										acc Thr						1584
										ttg Leu						1632
										gcg Ala 475						1680
										aac Asn						1728
					_			_		gtc Val	_	_		_		1776
				_	_		_	_		gag Glu	_	_			_	1824
										tat Tyr						1872
										gct Ala 555						1920
										ctt Leu						1968
										ggc Gly						2016
										cca Pro						2064
										gtc Val						2112
										cag Gln 635						2160
										gct Ala						2208
										gtg Val						2256
ctc	tat	cct	gac	att	ccc	aag	gag	gag	gca	ttc	gga	aag	tat	tgt	cgg	2304

```
Leu Tyr Pro Asp Ile Pro Lys Glu Glu Ala Phe Gly Lys Tyr Cys Arg
cca gag agc cag gag cat cct gaa gct gac cca ggt agc gct gcc cca
                                                                  2352
Pro Glu Ser Gln Glu His Pro Glu Ala Asp Pro Gly Ser Ala Ala Pro
                        695
tac ctg aag acc aag ttt atc tgt gtg aca cca acg acc tgc agc aat
                                                                  2400
Tyr Leu Lys Thr Lys Phe Ile Cys Val Thr Pro Thr Thr Cys Ser Asn
acc att gac ctg ccg atg tcc ccc cgc act tta gat tca ttg atg cag
                                                                  2448
Thr Ile Asp Leu Pro Met Ser Pro Arg Thr Leu Asp Ser Leu Met Gln
                725
                                    730
ttt gga aat aat ggt gaa ggt gct gaa ccc tca gca gga ggg cag ttt
                                                                  2496
Phe Gly Asn Asn Gly Glu Gly Ala Glu Pro Ser Ala Gly Gly Gln Phe
            740
                                745
gag tcc ctc acc ttt gac atg gag ttg acc tcg gag tgc gct acc tcc
                                                                  2544
Glu Ser Leu Thr Phe Asp Met Glu Leu Thr Ser Glu Cys Ala Thr Ser
                                                                  2593
ccc atg tga ggagctgaga acggaagctg cagaaagata cgactgaggc
Pro Met
gectacetge attetgecae eceteacaea gecaaaeeee agateatetg aaactaetaa 2653
ctttgtggtt ccagattttt tttaatctcc tacttctgct atctttgagc aatctgggca 2713
cttttaaaaa tagagaaatg agtgaatgtg ggtgatctgc ttttatctaa atgcaaataa 2773
ggatgtgttc tctgagaccc atgatcaggg gatgtggcgg ggggtggcta gagggagaaa 2833
aaggaaatgt cttgtgttgt tttgttcccc tgccctcctt tctcagcagc tttttgttat 2893
tgttgttgtt gttcttagac aagtgcctcc tggtgcctgc ggcatccttc tgcctgtttc 2953
tgtaagcaaa tgccacaggc cacctatagc tacatactcc tggcattgca ctttttaacc 3013
ttgctgacat ccaaatagaa gataggacta tctaagccct aggtttcttt ttaaattaag 3073
aaataataac aattaaaggg caaaaaacac tgtatcagca tagcctttct gtatttaaga 3133
aacttaagca gccgggcatg gtggctcacg cctgtaatcc cagcactttg ggaggccgag 3193
gcggatcata aggtcaggag atcaagacca tcctggctaa cacggtgaaa ccccgtctct 3253
actaaaagta caaaaatta gctgggtgtg gtggtgggcg cctgtagtcc cagctactcg 3313
ggaggctgag gcaggagaat cgcttgaacc tgagaggcgg aggttgcagt gagccaaaat 3373
tgcaccactg cacactgcac tccatcctgg gcgacagtct gagactctgt ctcaaaaaaa 3433
aaaaaaaaa aaagaaactt cagttaacag cctccttggt gctttaagca ttcagcttcc 3493
ttcaggctgg taatttatat aatccctgaa acgggcttca ggtcaaaccc ttaagacatc 3553
tgaagctgca acctggcctt tggtgttgaa ataggaaggt ttaaggagaa tctaagcatt 3613
ttagactttt ttttataaat agacttattt tcctttgtaa tgtattggcc ttttagtgag 3673
taaggetggg cagagggtge ttacaacett gacteeettt eteeetggae ttgatetget 3733
gtttcagagg ctaggttgtt tctgtgggtg ccttatcagg gctgggatac ttctgattct 3793
ggetteette etgeeceace etceegace cagteceet gateetgeta gaggeatgte 3853
teettgegtg tetaaaggte ceteateetg tttgttttag gaateetggt eteaggaeet 3913
catggaagaa gaggggaga gagttacagg ttggacatga tgcacactat ggggccccag 3973
cgacgtgtct ggttgagctc agggaatatg gttcttagcc agtttcttgg tgatatccag 4033
tggcacttgt aatggcgtct tcattcagtt catgcagggc aaaggcttac tgataaactt 4093
gagtetgece tegtatgagg gtgtatacet ggcetecete tgaggetggt gactectece 4153
tgctggggcc ccacaggtga ggcagaacag ctagagggcc tccccgcctg cccgccttgg 4213
ctggctagct cgcctctcct gtgcgtatgg gaacacctag cacgtgctgg atgggctgcc 4273
tetgaeteag aggeatggee ggatttggea acteaaaace acettgeete agetgateag 4333
agtitetgtg gaattetgtt tgttaaatea aattagetgg tetetgaatt aagggggaga 4393
cgaccttete taaqatgaac agggttegee ccagteetee tgeetggaqa cagttgatgt 4453
gtcatgcaga gctcttactt ctccagcaac actcttcagt acataataag cttaactgat 4513
aaacagaata tttagaaagg tgagacttgg gcttaccatt gggtttaaat catagggacc 4573
tagggcgagg gttcagggct tctctggagc agatattgtc aagttcatgg ccttaggtag 4633
catgtatctg gtcttaactc tgattgtagc aaaagttctg agaggagctg agccctgttg 4693
tggcccatta aagaacaggg tcctcaggcc ctgcccgctt cctgtccact gccccctccc 4753
catccccagc ccagccgagg gaatcccgtg ggttgcttac ctacctataa ggtggtttat 4813
aagetgetgt cetggecact geatteaaat tecaatgtgt actteatagt gtaaaaattt 4873
```

atattattgt gaggtttttt gtctttttt ttttttttt tttttggtat attgctgtat 4933 ctactttaac ttccagaaat aaacgttata taggaaccgt aaaaa 4978

<210> 413

<211> 20

5 <212> ARN

<213> Secuencia Artificial

<220>

<223> Compuesto oligomérico

10

<400> 413

uuugucucug guccuuacuu 20

<210> 414

15 <211> 19

<212> ARN

<213> Secuencia Artificial

<220>

20 <223> Compuesto oligomérico

<400> 414

uuaucgcuuc ucguugcuu 19

25 <210> 415

<211> 20

<212> ADN

<213> Secuencia Artificial

30 <220>

<223> Oligonucleótido Antisentido

<400> 415

tagtgcggac ctacccacga 20

35

<210> 416

	<211> 19	
	<212> ARN	
	<213> Secuencia Artificial	
5	<220>	
	<223> Compuesto oligomérico	
	<400> 416	
	ccauuggcuu cucaagaua	19
10		
	<210> 417	
	<211> 19	
	<212> ARN	
	<213> Secuencia Artificial	
15		
	<220>	
	<223> Compuesto oligomérico	
	<400> 417	
20	gccccgccag cucacucac	19
	<210> 418	
	<211> 19	
	<212> ARN	
25	<213> Secuencia Artificial	
	<220>	
	<223> Compuesto oligomérico	
30	<400> 418	
50	gaguuuucug cacguacuc	19
	gagadadoug cacguacuc	19
	<210> 419	
	<211> 19	
35	<212> ARN	
	<213> Secuencia Artificial	

	<220>	
	<223> Compuesto oligomérico	
5	<400> 419	
	ccaguuucuu aauuuguug	19
	<210> 420	
	<211> 19	
10	<212> ARN	
	<213> Secuencia Artificial	
	<220>	
45	<223> Compuesto oligomérico	
15	<400> 420	
	aaacuuuuug cugcaacuc	19
	<210> 421	
20	<211> 19	
	<212> ARN	
	<213> Secuencia Artificial	
	<220>	
25	<223> Compuesto oligomérico	
	<400> 421	
	uuaaguuucu aaacagcuc	19
30	<210> 422	
	<211> 19	
	<212> ARN	
	<213> Secuencia Artificial	
35	<220>	

<223> Compuesto oligomérico

	<400> 422	
	aauuuuaagc ugauaauuc	19
5	<210> 423	
	<211> 19	
	<212> ARN	
	<213> Secuencia Artificial	
10	<220>	
	<223> Compuesto oligomérico	
	<400> 423	
		19
15	gagucuuugu caaugcaca	19
13	<210> 424	
	<211> 19	
	<212> ARN	
	<213> Secuencia Artificial	
20		
	<220>	
	<223> Compuesto oligomérico	
	<400> 424	
25	uuguuggauu cuuccaugu	19
	<210> 425	
	<211> 19	
	<212> ARN	
30	<213> Secuencia Artificial	
	<220>	
	<223> Compuesto oligomérico	
35	<400> 425	
J	gugggucucu aggucaauc	19
	guggguouou agguoaauo	13

	<210> 426	
	<211> 19	
	<212> ARN	
	<213> Secuencia Artificial	
5		
	<220>	
	<223> Compuesto oligomérico	
	400 400	
10	<400> 426	
10	aacuggcaag gaguggguc 19	
	<210> 427	
	<211> 19	
	<212> ARN	
15	<213> Secuencia Artificial	
	<220>	
	<223> Compuesto oligomérico	
	<223> Compuesto dilgomenco	
20	<400> 427	
	cugaauaauu cacaccagg	19
	<210> 428	
	<211> 19	
	<212> ARN	
25	<213> Secuencia Artificial	
	<220>	
	<223> Compuesto oligomérico	
	<2237 Compuesto diigomento	
30	<400> 428	
	auuuagccca ugugaucug	19
	<210> 429	
	<211> 19	
35	<212> ARN	
	<213> Secuencia Artificial	

	<220>	
	<223> Compuesto oligomérico	
5	<400> 429	
	ucuuugcaaa auuuagccc	19
	<210> 430	
	<211> 19	
10	<212> ARN	
	<213> Secuencia Artificial	
	<220>	
	<223> Compuesto oligomérico	
15	<400> 430	
	cagccauguu uucuuugca	19
	<210> 431	
	<211> 19	
20	<212> ARN	
	<213> Secuencia Artificial	
	<220>	
	<223> Compuesto oligomérico	
25		
	<400> 431	
	aggucaauga uauugucca	19
	<210> 432	
30	<211> 19	
	<212> ARN	
	<213> Secuencia Artificial	
	222	
	<220>	

<223> Compuesto oligomérico

35

	<400> 432	
	cuuuuucaca aggucaaug	19
	<210> 433	
5	<211> 19	
J	<212> ARN	
	<213> Secuencia Artificial	
	<220>	
10	<223> Compuesto oligomérico	
	<400> 433	
	ccaggaugua cuuuuucac	19
15	<210> 434	
	<211> 19	
	<212> ARN	
	<213> Secuencia Artificial	
20	<220>	
	<223> Compuesto oligomérico	
	<400> 434	
	ucacugaauc uuagcagga	19
25		
	<210> 435	
	<211> 19	
	<212> ARN	
	<213> Secuencia Artificial	
30		
	<220>	
	<223> Compuesto oligomérico	
	<400> 435	
35	aaagauagca gaaguagga	19

	<210> 436	
	<211> 19	
	<212> ARN	
	<213> Secuencia Artificial	
5		
	<220>	
	<223> Compuesto oligomérico	
	<400> 436	
10	uuuggauguc agcaagguu	19
	<210> 437	
	<211> 19	
	<212> ARN	
15	<213> Secuencia Artificial	
	<220>	
	<223> Compuesto oligomérico	
20	<400> 437	
	cccuuuaauu guuauuauu	19
	<210> 438	
	<211> 19	
25	<212> ARN	
	<213> Secuencia Artificial	
	<220>	
	<223> Compuesto oligomérico	
30		
	<400> 438	
	gggauuauau aaauuacca	19
	240, 420	
35	<210> 439	
33	<211> 19 <212> ARN	
	\L 1 \Z	

	<213> Secuencia Artificial	
	<220>	
_	<223> Compuesto oligomérico	
5	<400> 439	
	aaauaagucu auuuauaaa	19
	<210> 440	
10	<211> 19	
	<212> ARN	
	<213> Secuencia Artificial	
	<220>	
15	<223> Compuesto oligomérico	
	<400> 440	
	ggccaauaca uuacaaagg	19
20	<210> 441	
	<211> 19	
	<212> ARN	
	<213> Secuencia Artificial	
25	<220>	
	<223> Compuesto oligomérico	
	<400> 441	
	uaucaccaag aaacuggcu	19
30	0 00	
	<210> 442	
	<211> 19	
	<212> ARN	
	<213> Secuencia Artificial	
35		
	<220>	

	<223> Compuesto oligomérico	
	<400> 442	
	gacucaaguu uaucaguaa	19
5		
	<210> 443	
	<211> 19	
	<212> ARN	
	<213> Secuencia Artificial	
10		
	<220>	
	<223> Compuesto oligomérico	
	<400> 443	
15	aauuccacag aaacucuga	19
	<210> 444	
	<211> 19	
	<212> ARN	
20	<213> Secuencia Artificial	
	<220>	
	<223> Compuesto oligomérico	
25	<400> 444	
	uaauuugauu uaacaaaca	19
	<210> 445	
	<211> 19	
30	<212> ARN	
	<213> Secuencia Artificial	
	<220>	
	<223> Compuesto oligomérico	
35		

	uauguacuga agaguguug	19
	<210> 446	
	<211> 19	
5	<212> ARN	
	<213> Secuencia Artificial	
	<220>	
	<223> Compuesto oligomérico	
10		
	<400> 446	
	ucucaccuuu cuaaauauu	19
	<210> 447	
15	<211> 19	
	<212> ARN	
	<213> Secuencia Artificial	
	<220>	
20	<223> Compuesto oligomérico	
	<400> 447	
	aagaccagau acaugcuac	19
	<210> 448	
25	<211> 19	
	<212> ARN	
	<213> Secuencia Artificial	
	<220>	
30	<223> Compuesto oligomérico	
	c100> 449	
	<400> 448	10
	cuuuugcuac aaucagagu	19
35	<210> 449	

<211> 19

	<212> ARN	
	<213> Secuencia Artificial	
	<220>	
5	<223> Compuesto oligomérico	
	<400> 449	
	ccaccuuaua gguagguaa	19
10	<210> 450	
	<211> 19	
	<212> ARN	
	<213> Secuencia Artificial	
1 [220	
15	<220>	
	<223> Compuesto oligomérico	
	<400> 450	
	gaaguacaca uuggaauuu	19
20	gaagaaaaa aaggaaaa	
	<210> 451	
	<211> 19	
	<212> ARN	
	<213> Secuencia Artificial	
25		
	<220>	
	<223> Compuesto oligomérico	
	<400> 451	
30	uggaaguuaa aguagauac	19
	<210> 452	
	<211> 19	
	<212> ARN	
35	<213> Secuencia Artificial	
	<220>	

	<223> Compuesto oligomérico	
	<400> 452	
	uacgguuccu auauaacgu	19
5		
	<210> 453	
	<211> 20	
	<212> ADN	
	<213> Secuencia Artificial	
10		
	<220>	
	<223> Oligonucleótido Antisentido	
	<221> misc_feature	
15	<222> 1-20	
	<223> n = A,T,C o G	
	<400> 453	
	nnnnnnnn nnnnnnnnn	20
20		
	<210> 454	
	<211> 20	
	<212> ADN	
	<213> Secuencia Artificial	
25		
	<220>	
	<223> Oligonucleótido Antisentido	
	400 454	
20	<400> 454	00
30	gccctccatg ctggcacagg	20
	<210> 455	
	<211> 20	
	<212> ADN <213> Secuencia Artificial	
35	107 Occuencia Artificial	
,,	<220>	

	<223> Oligonucleótido Antisentido	
	<400> 455	
	ccgagctctc ttatcaacag	20
5		
	<210> 456	
	<211> 20	
	<212> ADN	
	<213> Secuencia Artificial	
10		
	<220>	
	<223> Oligonucleótido Antisentido	
	<400> 456	
15	gagtatcact atggctggcc	20
	.040. 457	
	<210> 457	
	<220>	
20		
	<400> 457	
	000	
	<210> 458	
25		
	<220>	
	<400> 458	
	000	
30	<210> 459	
	~£10/ T00	
	<220>	
25	~100× 159	

<210> 460

<220>

5

<400> 460

000

<210> 461

10 <211> 51981

<212> ADN

<213> Mus musculus

<220>

15

```
acteagetga gtttteagea ggacatteeg etaatgtete eteeeteece eegggetttt 60
ttqtaaqcta qqcctctqcq cqtcccttqq tcqcqqaqqq aqqaqcacaa aqctctcaga 120
acagecaact cagggaggtg tgcccagage tetegacece geettetete etagaggegt 180
ttttcattgg ttagtgggcg gggcttagga agtacagcgc tcgcccggag gcctcagggt 240
qqcctaqcca qctqqccatt ccttaattat gcatggaggc gtgtcttggc cagtggcggc 300
tgggtgggga ttggctggag gggctgtaat tcagcggttt ccggagctgc agtgtagaca 360
gggagggga acctggggtt ccgacgtcgc ggcggaggga acgagcccta accggatcgc 420
tgaggtacaa ccccgctcgg tgtcgcctga ccgcgtcggc taggagaggc caggcggccc 480
tegggageec ageagetege geetggagte agegeaggee ggeeagtegg geeteageec 540
cggagacagg tgaaggggt gcaggtggg gccacctccc cgacggcacg ggggacggca 600
tgggggaccc cacggttcgt cagctgtggg ggtgcttaga gctgtgaatg gacacttaca 660
tggggcagga ggataggagg agacacacag ggtcgtcccg gcggcactga cgtccggatg 720
acaggaacca gcctgggaaa ggaagggacg ctgtaagttt cgagggggag atgcggagag 780
agagtgggga gttctggggg gtgtaggacc gtggggggga ggacattcta ggctgagggt 840
aacagaactg acagaagcgg ccctcctgtg actgctcccg gaggctaggg acgttcgggc 900
caccagagee actgecacte aggtggagat cattggggtg gaggegttag aaggageete 960
cttectgeec etgtgetggg cetggeegtt cettgeetag ceaetttett tgeettgete 1020
cegtteette tgtagteage tgtacecact taggaggtgg gaactgttgt gteteteete 1080
etgeetetee geeeteeee eteecetee ecceecee ceageetetg ggaetggeta 1140
gatttttttc ttaagaatca gatttcctat agaaaattga caaacttgta tcctttctaa 1200
attetetece atetettet gtgttaaget atgattteee ceaecttgtt aagaacaett 1260
tttttttcc caattcaaaa taaatccctg gccaaaccag ctctaaagag caacaaacct 1320
ctttcctctt tgacattgtt ctctcataaa cacctggtaa actcgacgag acgataaata 1380
attgagccat tgcatttact ggatcgtggt gttgcttaat tgcacaggcc agggtgagcc 1440
aatcaagagt gggagttttc tgtctcatag ccaagctctt gtgtaaaagc agaagctagg 1500
gaaacaaaga caggctggcc ttggctgagt tctgtgtgta aactttacct gttggggggt 1560
gtgtggctat aaattggtaa gttggcaaaa tccagactgt tgctcaagtc actttttca 1620
tacctggtcc acatccctcg gttgtatcaa ttgatgtgtg tatgggtact gtcagtgctt 1680
attcagtttc cttattcaga gtgtgtgtag tttatacctg ctgtttacta cagtgcttat 1740
ttgtgtatgc attgtgaatg ttgggctgtc agtgtaggtg cagcatggac gtgaatatat 1800
taaagcaata aatcacttct atcttctttt taatgtggaa ttagactgtt aggatttgag 1860
ccagccattt tttctctttt tatattaaat aatgtctatg ttccttgagg aaacatgttt 1920
gtttcattat tgcatgtgcc ggaccagaac actaagcggg atcttttaat ttttttttag 1980
ttttagactt tatttatctt tgttctatgt gtatgagtgt tttgcctgca tgcacgtctg 2040
tgccagtgtg tgcccagtgc cctaggtggc cagaagagga catcagagct tctggaacta 2100
qtqacaqatq qttqtqatcc accacctqqq tcctqqqaat caaacctaqq qcttttqqqq 2160
agaaccactg ggaagagaat ctggaataat aataatgaaa atgttggagt gtttgttctt 2220
aqtqttaqca cactccccac aaaqaaccat taqcaqattc atqaatcttt tattttcatc 2280
tgtagttcat cgggacaaat aaccacttag agataatcct cagttatgag gctctcgata 2340
qqqqctqaqa qataqctaqq tqqctcactq aatqctaacc tcattttqta qataaqqaaa 2400
ttgaggccaa taggcctaga cacttgcctt aaggcatcgt gagttacaat ggtttaacgt 2460
ctqcctttta catatttctt qqtccatqct taaqtattca qtttcaattt aqaqtqaqta 2520
tgttccctgt tgagaagtat cagagaaaat ctgaataatg aaacattggc agctgaaagc 2580
caaaqtaact gttctqtqtc tcaccctctc tcctccctct ccccctctc tcctttcccc 2640
tececettee ecetetee eteteetgtt ageataattt actgteaaac tteagetatt 2700
tttttaatgg agatgtttag gcaaatttta gctaaagggc ggctgtgacc tcaatgacat 2760
ttcagccgga gagccttgtg gtcagtggtc gtttctgtct gtagaaagtt cctttttctt 2820
ttgtcttgac atccaaatgt gagaagggcg cggaggtagt gagcaccttc cttgatgccc 2880
aagcccagaa gccttttagc tgatgttttc taagagatgg tgatggtgta cagctcagag 2940
aatacttaac ctctctgaca ttgtgaaaag tgctagggag agtgacatct tgtgtgtaga 3000
tttgcaggct gttggagcaa cttgataaat gctttattgt ctaatacaac acgttgatgt 3060
cattaaggag agcaaggcat tattacttac acctgtgcct tctgtccctc cctgctctct 3120
tettteecte aqttteecte cettttaete teetttete cetttetggg gacgaaacet 3180
aggttqctaa caaqcactct accacqqaac acattttatq tcattcqqat tttaaagttc 3240
tagccaaata aaaaaccaa aaaactcatc taaaqaqtqc ttqaaqqata qccctaaatc 3300
ttgaaggact cctggtgctg tggaccggcc tcagtgagat ggtggaggat ggcattggct 3360
tgctgtcttt gatggtgaaa agaatgtttg gcttgctctg gtgcagatag ttgggattac 3420
```

```
cagattgtat ttggtggcaa attcttggaa ataatttgtt taaaggagta acatttggaa 3480
ctagacggat gaatggtgct ggcggcacat gcccttaatt ccagcacttg gaaggcagca 3660
qcaqtqqatc tctaaqaatt aaggqccaqc tggtctacaa attgagttcc aggccaqcta 3720
agaccetgge ttaagatgaa caggaacaaa acactaagca gaagetggee atggatgttt 3780
catgtctgca gttttagcat gtggctagcc aagaactgag gccaaaaaaa aaaaaaaaa 3840
aaaaaaaaag tgagtttgaa gctagcctgg gttacctagt gaattccaag tctgctttga 3900
gtagctaata agaccctgtc tcaaaaaagg ctaggcaggt ctgctggtat atgcttgcaa 3960
ttcaaggatt tgggagacac tggctggagg cccactacca atttaaggcc aggtattctg 4020
cgtagctagc tggagactac ctagcaaagc cccggttcaa gaaaaagtat tttcacagag 4080
acaggaggat tgctgcaaat ttgatcaagg gaagcctggg gttcatggtt tcaggccagc 4140
agagtagaag ctgggcagga gccaaggaga atgagtattc aaaaccccac ccaagttctc 4260
atggaactgt aggcctagtg gggaccagag tgcacactgt tgcagtattc acctaaggca 4320
gaggagtgag tggctcaagt ctgaggctac ggaggcagag agacctggga tccgatcctg 4380
gattcactgc ttcttggtca gaagctaagc ctcagtcctg cctgtcccac cacggccacc 4440
cccagetee ecteetgtee caccaeggee acceeccage teccetetgg ttttttttt 4500
tttttttgag acagagtttc tctgtgtagc cctggctgtc ctggaacact ctctgtagac 4560
caggotggcc tocaactcac agagatetgc etgactetgc etcecaagtg etgagaccaa 4620
aggtqtqcac caccactqcc tqqctqaqcc tcaqttttct tacctaactt taaaaaaaaa 4680
aaaaaaaaag acagacaaaa gggtgggggg aaggtcggtc tgttggcatg ttggcacatg 4740
cctacaactt gaggtataca gggagaccct ctctcatgca agtgaaatgt ttagagcatg 4800
cagetecaca geaagageee tgtatatett aagttettag gaaaaggtee aaggatagag 4860
aggeteatte tatacagggg tgagaggtta caggaggget agttteeggg aacaccagag 4920
cacttacagg agggttagga attettgcag agettgtaca gttetttcaa ggtggtgggg 4980
gcgtggatgt gctgagctta aaacagcata gtgggtttag gggctaaaag tggaagctct 5040
taattgagga gaaggaaaca ggaaggccac agagccacat cttttatgcc ttctcttctg 5100
atcatgtcac tagaactgtg ttttaaaaag attgaattct tttcatgata gtaatatatg 5160
ctgtgttaaa aagetttacc tgttttcctg ttaatagttc agtgtgtgtt ttcccagaca 5220
ctctttaact taccagttca ttttggatct attttattga aaatcatttt aacagctcaa 5280
caaaataata tqqaaqqcaa atctaccccc ataaqaaaqt qatqtttaqa ccttqqcttt 5340
ccatcttqcc agctctatct gtggtaataa atgactttac tcaccactga acaattgacc 5400
tgacctttga ccttttaaat gcgtcagtca agaaactcac attctgagct ctcctaaggt 5460
aactattgct tgggtgatgt gcttgagggt tttgtggtac atggacagac gcaatggcat 5520
tctaaagcag cgctatgagg ccagacacct tgggtttgaa ttttcagata caacacctct 5580
ttgtccttaa ggctggttgc tttaacatct ctgagtttca atttctttgt ccacaaactg 5640
cctgctgggt ccactcacag ggtagctgtg aagaccgagt gagatcattt gttacatcat 5700
aagaaatttt gcgtggtgcc tagcacgtag ctaacattca aatgatatca attaacactg 5760
aaatetteaa tettetete tggttaceaa gttgggeaag ttatgattea tggeaceatt 5820
agtgacctga aggaaagaaa gagtaattag gagattttga cctacagggg aagctaagtg 5880
actagggact ggggatttac atggtgacag aggagatata tctttgacat agagatatag 5940
acatggcaaa ctgtacattc ctgttacata gaggctctca tgataagcct ctttgcagct 6000 tcaaagacct atgatccact ccatgtattt taatagtcaa cacattgaaa gttatcacta 6060
ctcagtaata gtcccttgga gtttttcatg ctcttaagaa gtatagacag ctacaggcta 6120
ggaacatggc tgagttggta gagtgcttct ctagtgtgta tgaagccatg gcttccatcc 6180
ctaggactag ataaacccag atttagtggc acactcctct aaaacccctt gttgggtgga 6240
gataagaaga tcagaagttt gaggtcacca tggactacac tgggagtatg aggccagtct 6300
gggctatgtg agacactgtc ttgagacatg ggtggtggtg gtgggtgttg ctggtggcat 6360
ggctcagtgg gtaaaggtgc ttgccttcag gcctgaccac ttgagtttga tttctttctt 6420
tetttetttt ttttttttg agacagggtt tetetgtata gecetggetg teetggaagt 6480
caetttqtaq accaqqetqq ceteqaacte aqaaateeac etgeetetqe eteceqaqtq 6540
ctgggattaa aggcatacgc caccacaccg ggctacgagt ttggtttctg gaacctgtgt 6600
gatggaaggt gagaattgtt ttccacaagt tgtcctctga tgtccacacc tgcagcatgg 6660
tttatgtgtg catacatatg cacaactaga gtaatagact aatgtaaaat gattttattt 6720
tcagacacac cagaagaagg cattggatcc cattacagat ggttgttgct gagaattgaa 6900
ctcaggacct ctggaaggga agttggtgct cttaatcact gagccatctc tccagcccct 6960
aaaacaattt tttaaaaggg aagcagagag aatatgattg gtggtgtgtg ttcataaacc 7020
ccagtgatgc tgaagctgag gcaggaagac taggtgtttg agaccagcct ggaacttgct 7080
cagattetgt gtcagatttt tgaaaaaggg ccagagatat ataactcagt gatagaacat 7140
attectaatg tgaacagage tttgggttca gtetecagaa ceacacataa ttttatacae 7200
```

```
agctctggtg gtggcaggcc tggaactcac tctataaacc aagttggcat caaactcaga 7440
gaacagagat ctgcctgctt ctgcctccct ggtatttgta ttaaaggtgt gtgctaccat 7500
agcaaaaaga taagggacag atactcttgg acagttgaag ggtagaggag tggttagggt 7560
tgaatctttc ttaggaagga ggagacggga gaggggaaga agagatccag aaggcttgga 7620
cgttggatga catccatgaa tgacccacat gatgctggaa gttgctttgc tgtgtcctgt 7680
gcagctgata gcgtctctct tcacatctgt gtgtgtgtgt gtgtgtgtgt gtgtgtgtgt 7740
gtgtatgtgt atacaagcat gtgtgagggc gtgaatggac gtgcagatgt tcacagttac 7800 ccttcacttg atgtgtatat acagctttat cttcctgttc tgtaactttt ctttgtacct 7860
aacaaqtqaa taqcctcaca qataacaacc taqctcccat qaqtcaaatt tactattcac 7920
ctctttaagt ttgggttgga gaagacagga atggacctgc aaccagtcca acccagtggg 7980
cccatgtgga acagaaggaa gccagcggag ctagaaagag aaagtgaaac ttgtaactaa 8040
tggcttccgt gttgtggagg aggggcgcag tttattacgg ggatgttttgg gtagtttttg 8100
tagatgccat ttctgaaaac tgcttgggat taggaaagaa aaaccctgcc tgtctgtgta 8160
gccatctgct ttcccgacgg ctgattgatt ttattagttt gcggtgtccc gacctcttgt 8220
teteggtatg agagtetgtg etttgagtet ggaetetgea eetgettagg tgaaagetta 8280
ctagcaagtt tccccacatt gtatctaatg ctaaatttgt tttgctttta gagagctcgc 8340
tttttttttt tcctggcaga atctaaatgc attagactgt tcctttgtct cccctccca 8400
cccgcacaaa aatcctaaaa acctcaaaac ccaaatgcaa gctgtgtaat tacctttccc 8460
qtaaqccaaa caatqtqaqt tatcattaaa ataqttaqcc tttqaaqttt ttcctacttq 8520
tggtttggac acaataaata tttaatgtaa agctgacttc ccttggcaaa tcagtgttgt 8580
tgtggtcttt tttctgtcaa aatgtttagg aaaaacaaac ttcttaacat taatcaaagt 8640
aaactcatgc ataagagggg gtgaggtaat taaagagctc tgaagccggt gtgtatgtaa 8700
atatatgtgt gtgcatataa atgtgtgtgt gtgttttaac aggtttcact gtctagccca 8760
aagatetete cacatteete tgeeteagte tetttaatae teatteetaa ttacatgtga 8820
gaaaaaaaat ccagtatgac ttcgttcatc agggcaggct cttcgtggaa cggggagtgt 8880
tctgggcgtg ggacgctttc aagccccagt gactgtattg aagattctca gggtcacgga 8940 gtcattggga aagtcagtgt ctacagtggg ggcactgcac atgagagcag gtgggaggaa 9000
ctgggaatgc tgtaccctgc tcagttttgc tgagaaccaa agctgctctg gaagctaaat 9060
gtggtgggct acactgtagt ccttgtactt gggcagaaac aggagcgcct tggtgaatct 9120
gagggcactt gggctgcata accagtacca gaccagccag ggcctcagtg gggagcacct 9180
caaaatgcca actgcaagca aataaataat aagtagataa ataaatatgt gtaatttcct 9240
ctatattttt aaaaagctga tttcaaagtt tattaattaa aaagtgattt tttttccctg 9300
cagaaatatc tgggtgccct ggatgacaag tgttctgtgg ggtctggggt cagcatgggg 9360
ggacagtgca tgcctaagcc gtgcagagcc ctgaaaggat gacagaggag ctggggtgtg 9420
gggaaaagtg gtgatatttg ttgcaatttg taacatgtaa catttgaact tagaaaacga 9540
ttaaaaaaaa actgtaaaaa aattgagctt agcagtaaaa attaaaaaaa tatatacttc 9600
ccctattcag tagtttcctg ttattaatga atgtaagtaa ctcttcagtg ttatcggatg 9660
tgattttttt ttttttttt gtatgatgga gactaaaacg tgtcagcgtt taagtttgtg 9720
catcttaaaa gcaatgtttt ctaaatgact aatgtttatt acaaaggcac gttggcagac 9780
attecatgaa aggtaccagg tagagggcgt cttaatgtag ccgagggtga ccccagagtg 9840
cacacctacc tgtcctgtgg agctatcacc tggcagtgtt ttaaatggca ttaaagattc 9900
cagattactt tgaaagagtg tgtaatctgc tatttgctat tcagcatatc tggatgaagc 9960
cagetetega tggagtaace aaageaatat actgeaacaa geatatgtaa getgttetga 10020
tcatgcatgt tagactcagt tacttagcca cggttagccc tgaacaccga atccttctgc 10140
cttcacctct caagtgctgg gagaatacac ctgaggcatt gcacccaccc agctttaaca 10200
cttttctatt ggaccagaaa ttagattact aaaattttct ataaaaaaaa aaaaatgcag 10260
ttctgggaga gccagggcta cacagagaaa ccctgtctcg aaaaaccaaa aaaaagaaaa 10320
aagaaaaaaa aggtattatt agctgggcag tggtggccca cacctttaat ccagcacctg 10380
agagacagag gcaggcagat ctttgtgagt ttgaggccag cctggtctac agagtgagtt 10440
ccagaacagc cagggccaca cagagaaacc ctgtcttgaa aaatccaatc aaatcaacca 10500
accagacaaa aggcacattt aattttatga ttctctgtat gtgcaggcat gtgtgtggag 10560
atcagagage aattttctgc tgtccgatct ctgtttccac ttttatatgg gttctgggga 10620
tggaactcag ggtgccaggc ttgtatggtt ggcacctttc cctcaactcc tctgagccct 10680
ctctgcagcc ctacatttgt gaaactttca gcggtgccgc ttttcccact gatttctccc 10740
ccttcggaac atgtggttac ctttcatagg ctattcctgc gacttatgtt aatgtgctgt 10800
gcacagttaa ttgcttaaat gaactttgtt tgagacagtg tcttctcgtg caatctatta 10860
ggctggcctg ggatttaggg accttccatt ggggcctctt ggccagctta tacttataac 10920
ttctattgat aggtggtatc taataggtat tttctggtgt tttgagtcaa ggtcttgtat 10980
ttccaagtac ccttgaactc acagatccta agctggcttc agttttgtgg taatccttct 11040
geeteageet ecattgtget gggattacaa gtacatgeta ecactacaaa tttttaggea 11100
tototaataa atatggtoto tgtaaatgaa gotttgttag ggtoottaaa ttttgatago 11160
aagaccagtc ctaaaaacag tgcattttga gaactgttaa aaactattaa aacagccggg 11220
```

```
tgtggtagca cacaccttta atcccagcac ttgggaggca gtggcaggca gatttctgag 11280
gccagcctgg tctacaaagt gagttccagg acagccaggg ccatacagag aaaccctgtc 11340
ttgaaaaaca aaaaaacaaa caaacaaaaa aactattaaa actattaaaa ggttttggta 11400
taaatattet tgagetgttt tgaggageta gggttgggga gggagatgae atetatgget 11460
ctgattaagt ggtctcggga cattgtaacc actgtgccag gtatcatggt acagatgggt 11520
ccgtaatttg agaaacactt ttacaagggc cataaattct tcagatgaat gaagtcctgt 11580
ctagaagttt ggaagttatt gtcttaaaga aaaactgctt tggagattcc tttttatctt 11640
gattttccct ggtatttatg tctctaagaa tgaatcttgg attgcgtctg attgacaaaa 11700
gagccatacc tcaccagatt ctggtagctt ctgagtgctt ggttgatttc ttttcttgtt 11760
ttctctgtat agccttggct gtcctggaac tcactttgta gaccaggctg gcctcgaact 11880
cagaaatetg cetgeetetg cetetgetgg gatcaaagge gtgcataace acaccegget 11940
tgttttgttt ttctaagaaa gggtctggat aaccctagct gtcctggaac tcaactttat 12000
agaccaggct atcctcaaac tcagagatct atctgcctct gcctcctgag tgctggaatt 12060
aaggetttea acaccacacg cagetataat ttttaaagat aattetgatg egaattacag 12120
tttaatttgg aaagaaatgt tgacttaaat cagatataaa aggaagtttt tttcttgctg 12180
tagtgactgt ccttggatgt tatctgccat gcactcactt ccctttatca gctgtagtca 12240
cttctctctc ctgtccctct ctataaaatg ggaaagactt ttactgggag cctgctgata 12300
tcatcagtac cctcagggtt ccctctggtt gagagagtga ctggagagat tccttgtgaa 12360
ttcttgcttc cggcacaggt tacagctctc cctgaaacct gaatagggtt gttgttgttg 12420
tttccctcct cctcctctt ttttttagc agagtttctc tqtqtaqcca tqactqttct 12480
ggaacttact ctgtagaaca gactagcttt gaactcagat ccacctgtct ctgcctctgc 12540
tggaattaat ggcttgttcc acctctgccc agcttgttcc tttcttaaaa aaaaaaaatt 12600
aaaattaact ttatttagtg tatatgtatc cccacatata cactaggtca gaggacaagc 12660
ttcaggagtc agatcttgct ttctatcatg tggaccctgg ggattgaatt ttggtcttca 12720 ggtttggcag cagccctgc tgagccattt tctgacccta atattacatt gttgttgcct 12780
tctgtgtggg agccaatcat gagagcagtc gttcttattt attcttctca gtatgttatt 12840
aattttgtga agacttcata gaaaagcttg tgtagttaat ctttctgggg tcagactgct 12900
tgttttgttt tgtttttgct tcgtttgttt gagacacggt ctttatccca ggctggcctc 12960
attgtatagc tgaacatgac cttgattttt gtttttgttt tttgtttttt tgtttttttg 13020
tttttcaaga caaacccttg ctgggttgca actggcttgt agaccaggct ggccttgaac 13080
teacataget geceatetet geeteetgaa tgetgggatt atageatatg etaceatage 13140
tggtttatgt ggtgccaggt atgctaggta aacactctac caactgagct acatctccag 13200
ctctaggctt gtcttttta aagctttcca taaagttaaa ttcatttcaa acacacaca 13260
acacacaca acacacaca acacacacac ttgagtcatt gttataaagc 13320
tctgtgtggg cctgttgctt gatatatagt cttcattggc cttagaccta tggcaatcct 13380
cctgtctctg cttccagagt gctgggatac aggtaggttg acaaagtaga aaatacctct 13440
tactttccct gtccagtttc tccattgcta gcatcttgca ttagtgtgat acatattatg 13500
cagttgataa tagcagctat atgttgttat taattaaaga atacacagtt tctatcacac 13560
tttactgtta catattettt getgtttgat agtgttggag acatgttgte tgttgtaget 13620
caggatgcaa gtaaacttgg aatctgccca tctcaggttc tggagtcctg gcattccagg 13680
tgtgcccctc tgtgcttggg ccattttgtg gatttccaca gacatgctgt gtggccacca 13740
gcacagtacc acttgaagta cactctgcct ccatagcccg gtgctctacc cactcacccc 13800
tetgeagece etgecagteg etcatecect ttttetatet ccatagteet gttttteaga 13860
atatteatet gacateatgt aageagtage ettetaggea geagtggeee agtgeetete 13920
tggttcgcct tctttcacgg agcagtatgc gttcagcttc ctccttgcct ttggtagctt 13980
tgcgaggaac actgccttgt atgacccttc ccttagtgat gttcccttca tctgaagggc 14040
atcttggctt tgtcgtttgg gctgatagga ataaagctac ccattattgt ttgggtttgc 14100
actettetaa tgaccagget ggcctcgaac tcagaaatct gccgcctctg cctcctaagt 14160
actggctttc atatgccgtc tgtgtactct ctttggtgtg atatcggatc agactttctc 14220
ccaattttgt tccatatttc cgtacaatgg aaattgaatt tagggttcca cagctgggtg 14280
tagtggcatg ttcctttaat ctcagtgctc aggagacaga ggcgggcaaa actctgttga 14340
gtttgaggcc agactgatct acagagggag ttacaggaca gtcagggcta cacagagaaa 14400
ccctqcctca aaacaaaaa qcaaqcaaqa qtttagggtc ctacttactg gcaagtgttc 14460
tttaccactg agctacaccc cgatccttat tttaaaaaat ttattttgag accagggtct 14520
cataactttg atcaggccag tcttgaagtt gtgttgtagc ccatgcagga cctgaccttg 14580
ggaagcacct gtcttggtti tcccagtagc tgggcttaca ggcctgctct gccaggccca 14640
gctctcaccc agatttacac ggagattttt ttttttaaat tgttgagagt tttaaaagtt 14700
teteagtetg tattgtatat acaagtgtae atgtacattt gggggaggag accagggeea 14760
taacacacaa ggcaagctcc aacactgatc tgtagtcata gttttctttc gatgtattgg 14820
gttttttgt tttttgttt ttttgtttt tttgttttgt ttttgttttt ttcatgaaac 14880
tcaatgtctt aacacttgtt agactgggct atgcctctag cccgcctcct ttttaggtgg 14940
catatagttt taagtttttc ttgttggaga attcagtctc atgcagacac taatgctgtg 15000
agcttgaagt cagagacaag gaagtgaagt acttgtatct caccagccca aatggataat 15060
tatgatetta acetttaget ceaetgeett tagataagge tgggcatggg getgeageee 15120
```

```
caactacata ccaaggtgct gacacttctg ttctgactgc tgtctctgct cttagacctg 15180
teccetggat tatttetgae tecteetttg gaactgagee ttgetgaett ggatettgee 15240
cagettetae tetetgttge tgetgttttg teetggtttg gtteettaae acagggttet 15300
ctatgtagcc ctggctggcc tggaactcaa tatgtagacc aggctggcct caaatttgca 15360
gcaatcctcc tgcctctgtg gaagtggttt ttttcttgaa acaggatcca acaagctacg 15420
tacaaaaaat ggtcttaagt tactgctagg tatgtaacct tgggcaagca ttgacattaa 15480
ggcacacccc caacctgaaa aataattgtt tgagaagaat cagcatttct agaattattc 15540
ticttggttt ttaatttaat tttattttt aaaacttaaa atgtgtgcag atgcatggtg 15600
tatgtgttgt ggggggatgc aggtgcttgg tgtttgtata gaggtcagag atcaattttg 15660
tggagttatt ttttcttcta tctttatgtg agtcccaggt taaattcagg tcaccaggct 15720
tatacaacat gcccttacct actgggccat cttattggcc ttcttggggc ccattttaat 15780
ctctgtcttt tggggggtat aaattaaagg aaaaaagtaa aacatagcct tccagggggc 15840
tctgggcttt atttaaatta aaattttcaa aatgatttta ttttatctgt atgggtattt 15900
tgcctgcatg aatacctgca gttcacggag gccagaaaag gacatcagag tccctggaac 15960
tggagttaca gaggttggga gcacctgtgt gggtgcttgg aatcaaaccc aggttctctg 16020
gaagagcagc cagtactctt cttaaccagt gagccatctc tccagccctt tttcttgagt 16080 cttacagacc tttccttatg cccttccttt cctggtcatc cttcttctga actcaaaggt 16140
gtaggttatt tcagccactg ctttgatgta tgtatgtatg ttacatggct ggggagtaaa 16260
cccagggctt tgtgcatgga aggcaagcga gcaccctacc gactgagcta ggtccccagc 16320
tcacttagcc attactttgg ccataattct gataatgacc accaggtgtt catctccacc 16380
cctgtaggct tctagcaccc acctcgtgct gctttccgac atttctccat gggtaccttg 16440
tgtgtacttg cctcttggtc ctactgttga aaacttaacc ccatagccac ctctctgaaa 16500
gtctgtgctt ctctcttcgt tcaacaatga aataaatgat agttcttggt ctgctgtctt 16560
agttactgct ctattgctgt gataaaacac catgaccaag ggaacttgaa aacatttagt 16620
ttggagttta tggtttcaga gagttagaga ccataatggc agggaacctg gcagcagaca 16680
ggcagacata gaactgaagt aactgatage teacatettg agatgtaate acaaggcaga 16740
gagagagaga cagacagaca gacacagaca catggggcag ggagactgag acacagatac 16800
agagagaatg ggagacacac tgggaatcct gttagtcttt tgcaacctcc aggcctgtac 16860
cctatgatat acttetteca atgaggecat acttectaat cetteccaga cagttecace 16920
aactggggac caagtattta aacacagag tgtgtgaggg ccactcctat tcaatcatca 16980
tactgtgcaa gccagagccc cccagccaac cttgactcct tccctcctc atcctcctgc 17040
ttctgttcag atcggcagcg agtcttgatc tcacatctcg agtttcctca actccccttg 17100
actglcatgt cccttctgtg gtggtgatgc taaaattgct cctgtacaag actcgaaatg 17160
ctggataaat ggagctctcc agtaaaaaga aaacttaaga tgcaaaagca gatagtctca 17220
tcaaaagaaa gaacagatgc aggcctggag tgtttcatcc cacaccactt ctaagtattg 17280
atcoccagtc acagccctaa aatgcctcag gcttttgagt gctgcattat aggcatagac 17340
catcatgeta ggetteagga gtteteacte ecatecette acacettgae etggetteae 17400
tgtgcagccc atagcccagg ctggccttga actcaccatt ctcctactct agcctcccaa 17460
gtcctgggct tataggcttg tgttaccaca tccagcttat aggatcatca cctattctcc 17520
tgctatccgc tgaggcttct gacctgccat ctactgtacc ttccacctcc agctttgggc 17580
tgtttgaggt tgtaggccat actgcacatc caacagcact ttggtgctat tttcttacct 17640
gtgctagetc aggtaccatg ctgcactetc tgggttctag agttctatga getececece 17700
ccaatccctt ccatcttqct tttcattctt tqtccatqtq cttaqqttct qatcactcaq 17760
aagattegte acatteettg ttttcacaeg etgtteeett tgettagaet ggetgeeeet 17820
tectetecag aatggecatg teteetgtag ecetgetate tttgtgaaac tttecagete 17880
tcattcttag ggctgccatt ccatcaaaac agtgctcggt gccttagaca gtaggaacca 17940
agetgegtag agettgeggg gaetetttge ettaccagat getaccecaa getgeetete 18000
aggetttgte tttgtettag aggaggetet gaetetaeet gtgtttetet gggettagea 18060
gagcacctgg caaagagttg ctgaaatatt cagcaagcca gtggagccct gtacggctgg 18120
cctgaatcca tagatcggtc agaaaaccac agagaaaaga aaagcatgca ttttgcatgt 18180
tgctctacca aggccacaat tatactcttt ctttttctga gatagcctct gagcagtctc 18240
aactattctc agacccacaa agtcttagtc atctaagtgg tggtgttgag aggcagacac 18300
cagactctgg tgctcatggg cgaggatggg gctagaggtg agatctaggg actgccggag 18360
tgtagagtgt gctttgaagg agtgagactg catgaatcat ttagaaagtg agttgtagag 18420
aaagcaggag gtttatatta agagagtttt acagcaaagc ctgtccctgt aaaattgtga 18480
aatattitet catgaatgtt agactetgta aagattgcat teagteatte atttgggaaa 18540
aatatctttg gaatcaacaa acacagtgaa ccaccttgaa cttcatgctt aatagacaaa 18600
cattgtgtta actetttetg gggcagggat tetggagaca tggcaggggg tggggggcgc 18660
ttgtcttcac tgtgtgatat ctgggtatca gctgggaagc cttgaacatc tgggcttttc 18720
tttagttccc agcccaggcc tggcctagca tgattgcagc tgtgatggta gatcaactgc 18780
atgtggcctc tttgtctgtc ttgtgtttct tgtagaatgg tggttgggtt ctggagcgcc 18840
tttgtccttt caggagaatc ccaacagagg tgttggagat ttcatatcaa gcttggtctc 18900
atggcacagg tetgaaatee tagttaettg ggaggetgag geaggaggat eteaaattta 18960
aggettgett atactactga gtgattteaa gaccagactg agcaatttag taagactttg 19020
```

```
tttaaaaaca acagaccccc cccccaaacc ctcgaaagtc aggtttaatt cctcagcacc 19080
acaaatgaga cagtgcattt cacactttca gcactgtgat gctgggctag ggatggcttt 19140
agccaggtcc aggggaaggg gagcaaagga tgaggaaggg gacaggttct ccatccaccg 19200
ctggacgctt gggtgtgagg ctctcctaca aatccactat gagatgacgt caagggaaag 19260
gagcaggtgt gtgccaccat acaccetgga gagaagaatt tecteectee tetteectee 19320
tgagececte ectecetect etectecete ettecette tttttacete etttttgagg 19380
cagagtetta cettgtaate caggetgtte etgaacteat ggecatttte etgeeteage 19440
cttctgagtg ctaatattac agatataaac atataggttc ttagcccact ttagcctctg 19500
ctgaataaca aagggcttcc ttggggtcac ttaaaggaaa agtgacctga ataaatttgg 19560
ggaatttett tetttetee agtaateatt gagetacate gtaggettgt gaetttgaaa 19620
ttccaaactt catttccttt atcagatcct gtatctctac ctccctagca ctggctccca 19680
agcccacget geaggtgetg ggacccaaac ataggteeta tgettatgtg geaggeecat 19740
acagggctat ctcctcagcc ctgaaatgtt tgtttttgat ttgagtaaca tttctcttgt 19800
taaaagatcc ctaaaaagtc gttgagtttt ccaaacagca aaacagaaga gctggactcc 19860
tcaatgaata cttttttgct gggagtgtgt cttcactttg gaaaatgtgg tccccttagc 19920
caggagtggt ggcacacgcc tttaatccca gcacttggga ggcagaggca gaaggatttt 19980
gtagtcccct taatgccaga taattccctc cagcagttca tcagttctac tacacacaca 20100
cacacacaca cacacacaca cacacacaca catgetttet gttcatetgt taggaactgg 20160
acactgtgct ggatgctgga gagggggca cattagtgag ccgaagccaa ggttcttcct 20220
gtcatcatgg accttagaat gaaggagttg aagcaaggca taggtcccct gatactgaag 20280
gcaagcacac atgtgaaggc ccgtgaacgg aggagtagag tagccaagtg agtgtaggag 20340
tgtagctagc aggcaagtgg cagccagaca gacacagggc tatcttgtca tgcatgtttg 20400
ctctgtcctg ctagctttgt gtgctttaag tccggtctga cactgaccct gtgaagtgag 20460
tacagttgtc ttctatttt ctgcataagg aaggctagac acctggcacg catctcggag 20520
gggagtcagg gtccacaggc tgttgctttc atagttgatg atttttagtc tcagagcaaa 20580
aagtggtgag cctttatgga cgtggatggc agctcttcag aaagcctgga gggatgcagg 20640
cagatgtgca gatacaggta aaagctccta gctgtgggtt tgtagaagcc tgggagtgtt 20700
ttagaaacag ctagagtaca gactctggac atctgaccct tttggttaaa tgtcaacctg 20760
ctttatctct gcgcatgttt attattggga tgcagcggtc tcagtgtccc aagtgagcgg 20820
agetgaaatg getteagagg eegtgeagee cettgeeete etggagtetg eattatgget 20880
qtqatacctc aaggaaqagc atctccatgt aagtqtcaga tgcaacagga acgaggcagc 20940
tgccccgtac ataactctct tcatgccatt gcccagtgaa gttatatctg agaggtctgt 21000
titttggaga cggcttctca gcactgactg tcctggatct cactctgtag accaggctgg 21060
cettgaacte acagagatee tecatgeete tgeeteecaa gtactgggat taaaageatt 21120
tgacaccacc acccaqttta gaattccatt taaattgtca tctacacaat gactgtgacc 21180
teccagatgt ggecaggeae ageaagaeta acagaeeett tggeteagge gecatacate 21240
tgttggaact ctggaaaagt tctttgactt agcatcgttc ttgactcatg acaaaattcc 21300
cagatcagaa teeccaggag etetgacage aggetgeate aggatgetge teeatgeeat 21360
tactgcctgt gagatcctga ataaatcatg tcaaattctg ggccttcatt tctcctcggt 21420
aagatgaaga taaaatattg tottgaccaa tgagatggot caacaggtaa aggtgottgo 21480
agetgagece gacagettae gtttgatece taccacceae acagtgggag gagagaaatg 21540
actccttgaa gattgtcttc tggatgcacc acatcatcat tatcatcaat ggttagcaca 21600
tetteettet ttttttttt ttttttttt tttttttgaa gacagggtet catgtageee 21720
aggetatett caaatteact gtataataag gatgacettg aacttetgat gettttgeet 21780
ccacctcccg agtgcttgcg tgtgcacatc tccatgccat gcctggtttt atgtggtgtt 21840 ggcagtggaa cccagggcct cgtacgtgct agggaatctc ttcactaact cagctacacc 21900
tctagctttt ggattgttct tcaaccaagg ctcttgttga cattcatctt tttattttga 21960
atagtactta gtgggttttt cattgtatgc tgctggtggt ggttttaaga cagggtctag 22020
catagtccag gttggcttca aactcaccat ttagtggaag gatgtcctta aactgatctt 22080
cccatatcta agctctaagg ataggaattg aaagcatgca ttttcatctt tagtgttatt 22140
aggectagag ctatectgtg caaaatatgt gtggagagat ttgateatet teagacatet 22200
gtcctgaggt agggtcacca gatgctaatt cccccaccc caccccagg atatgacagc 22260
agggtccatt ataatgcacg tgcttctcca tatcagggaa agctctgtgg ttgtctctga 22320
taacacctag ggaattggat gaactgtttg ctctttggct tcctgaggca ctgagaaatg 22380
gaatteetgt taaatgagag ggtcaaagac teagaaggag caactactgt teaectgtga 22440
cgtcacttaa gtttagtacc atccttccga ggcggggtag tccctgttgt gctgaagagg 22500
aggectattc agcagtcaag cettgtagag agagtggaag ggtcacagec tggggaggtg 22560
accttacgca caaactgagt ccttttcctt ttttctagag ctagaggcag ctctgaccgt 22620
cgacttagtg gttgacaaag cacgtctggc tgtgtcaatc taaaggtttg ctgtcttctg 22680
gctcctttta tctacaatat ttgaaatcaa atatggtgca tatcccatat cagttatgga 22740
tttttgtagt aaatatttaa tctcaattgg gggtttctac cccaccttag atcatttagt 22800
tcccagataa aagacccaaa acttttatat ttataataag ccttaaacaa cactaaagct 22860
gagcagatat catctctctg tgtctatttt gtctactttc aggcaaataa ccctgagcta 22920
```

```
tgacttgccg tgttccactt gagccgctct tactccactg gccagccctc atggccagat 22980
ctcacaatct cttaccccat ggtgtcttcc tctctccacc ttctctctct tccctttcat 23040
ggtcctttct ctgaccccaa gcccagaaac caaaattcta cccacctctc ttctgcccag 23100
ctataggctg taggtgtctt agtcaaccaa tagttttaaa ctaaggagca aagttgcata 23160
acatgacttg gtgtgtttga ggatttcctc atccctgggg caaccgaccc tggggccagt 23220
attecgeate acagtacata ggaataggte agtgeattat ttgttttgtg ttetetetgt 23280
ctectteece taccecett ttteetgact tteatgetgg aagtgaagag gaagtggtga 23340
atcacacctt taatcctagt acccaggagg ccaggcaggc agatctcttg atgttgaggc 23400
cagtotgoto tacatatoca atttoaggto agocogagot acatatatgg coccaaagaa 23460
ggctttttga cacactgtga aattgaacag gaattgtcct cttttaaaga tagagtccca 23520
cttagctcag gtgggcactg aacttattat gtagctgagg cagactttaa actcctgagc 23580
ctgctqtttc ttccttccqa atgctqqqat taaqqqtqaq tcccattaca ctcgcttcaq 23640
aaatgtetet gtateaettt etgttgtgga tttttatttg catttgcatt ttgteeetet 23700
cttcatcctc cattttaggt ttactggttc atttatgttc atacatgtct tagagagttt 23760
aggaagttgt gtgattaaat cccttctatc tgtggtctcc tgtggttccc ctagtttctt 23820
tagactgaac tatacaaatg aggactgtta ctttaatgat aatttttcta ttaagaagtt 23880
ccttattaga ctgaaattat tttccttatg acttactgtt ggtaggttat tccccacagg 23940
gctaagaaat tgctgtttgg aaaagtctag aaggatttgg tgacatgctg tttcattttc 24000
cttttctctt gagctataga aactaggatc atcagggact agagagatag cttgttagtt 24060
gagagcactg actgctctta caaagaacac aagttcagtt tctagcaccc tcatggccat 24120
tcatcatcca actgtaactc tactttcagg aaattcagcg ctcgtgtctg gcctctgctg 24180
gtacacaca aaacacacac actgcacata tataatatgt aagcaaaact tttatataca 24240
taaaataata aatctcttaa aacagaagaa aatagggtca cagcatctta gttactgttc 24300
tgtggctgtg aagagaccca tgaccaaaac agctcttact aaagaaagca tttaatttgg 24360
ggettgegta eagttttaga eggttaagea etgeteatea tgacaggaag eagtetggea 24420
agggacagta gctgagaact ttatatcctc acagtagcag gcagagaaag ataaggcctg 24480
atatgggctt acagtgacaa acctccagca ggccacacct cctaatcctt cccaaacgct 24540
tccactaact gatggcaag cattcaaaca tatgagcagc attctcattc aaaggttcac 24600
acacacttta tettteetet gaacatttge aatgatgtte tgeecacete ageeteatga 24660
aagccagcag agcagcaagc ttgtgtcata ctctaaccca tccactggag caatgacttg 24720
acttctactc tggtgcccag gatggtactt ggcattcaaa ctgttggtag atcacttttt 24780
gtgttctggc ttctgagagc tggttattaa agcacaggct tcaagtgatt tttgaagaca 24840
aaagttagat cttaacagaa gtcgggcatg atgtgtgccc ttccagtctt ggtactcaga 24900
ctgaggcagg gagatcagcc agcctacact acccagccat agcacgtaga gtggatcaga 24960
ttaagttgtt tatgttggtg tttgtgatgc tgaggatgca actgagcatg ctgggtaagc 25020
actgtaccac taagcaatgt ccccagcctc ttaaatcagt ttctaacttg aaaaacagac 25080
ttgaggtggt aaagtgtctt ctagatgttt tccaggaaaa caaatgcagc atacggactg 25140
gcagaggttt cctggacagc ttggctgacg atctctaaac gcccagctgt cagtgtgcag 25200
aatgettagt etagttgete ttgtgttgat tagtatgget tgeagetaag eageatetga 25260
ggacatggct gttggacact cagggctaaa ccatggcacc cacacgccca tgttctcctg 25320
aaaataacat ctgcgctttg cttttagctt aggataattt tcttcatgta gaatagtttg 25380
gcagtattac ctatcttggt tagatcaaaa caaaacacaa aattagtcgt tcttgatggt 25440
ccagttaatt ggaaaaaggc acaagctggt ctctggttaa gaaaaagcca ttctaccagc 25500
gaaatacacc aaacatcaac actgaaacaa gcctcttgag ttacagacag aaataagtcg 25560
gctatgggta acttagcttt tttcttatgt tagattgaaa atgttccccc gactggagtg 25620
gtcatctgtg atggagtagg tagagtgggt gaggttttat ggtttttatc ttgggactgg 25680
ctctgcattt gtgtccaaga taaatgatga aatcatctgg ttttgtaact tatagcattg 25740
gaatttacta tttcaagcag atgatttaat taggatcatg gcatttttt tacagtgtgg 25800
cccagaacga cagtgtcttt gattttcata aatagaaagc gggtcacata tgtcatacta 25860
cattttcttt tcttaaggtt ttgtttgttt tgtttttgtt tttttagatgg gggtctctgt 25920
gtagttctgg ctttcctgga actcactatg tagactaggc tggcctcaaa ctcacagata 25980
tetgactace tetgtetece aagtactagg attaaagata tgeaceatea cacetggeat 26040
gttaaatttt ctagtaactg tattaaaaaa aaaaaagaag tgggaagaat aattttgata 26100
atgtataaaa cctaacattt ctaaaataat atttcaacat tgagatttgt acatttattt 26160
ctttcactgt tttcaaatgc tgcatatatg ggtgtgagcg tccacacttc cttggcccag 26220
tggccacagg tgggtggtgt ctcccatgct caacaacgca atcttttggt tcaatggagt 26280
cctgtgcagt gatgtttaca taaactgtca tatagatttt cttttgtgtt tctttgtgca 26340
catgttcatg catgtgtagg tacatgtatg tgcaggtcaa agggcaaccg tgggtgtcat 26400
teettegact tttqtttgac acagcatete attageetga aactttgeca agtaggetag 26460
accaactggc cattgaactt ccaggggtcc acatgtctcc acctcctatc ttgccctcat 26520
tggcattatg ggcacaccac cacacccagc tttttattaa tatgtgagtt ctaggaatcc 26580
aatctcaggt ccccagcaag catggtacca actgaacctt cttcccagct tcaaattggt 26640
atggactgct atgtaagtca ggtcctggga accacaggac aacaggaagc ttttcatcta 26700
ggagaggctg attetgactt ggcctccatg taagagggcc ctgatagcct ttggtgcctt 26760
actggggcac tgcacggaga ggcacagcgc ttcaggctgg agcatgtgtt cctgcaggcg 26820
```

```
gcttttattc cacctagggt ttgctgtaca cataccactc cctaatcttg ggctcttact 26880
catggttatt tttagacctc cagtgttctg gagagacatt gtcatgagtg gttagctggg 26940
tegggttete gtageegage gttggagtgg ggeagteece ateteaggat taagttgttt 27000
acgtggtatt cagctctcct tcctttctta ccccagattt agaaaaaata tattaaaatc 27060
tatttatata aatgtatatt tatataaata atteettttg ttgagtggge agagteeagg 27120
cacatggete ttgteettgt gageetgeeg etetgetete tgteeteeet aageaeeggt 27180
ctgagccagt gcaggtttcc tgtctatagc cgcacggatg gcctggatgc agcaggtgtg 27240
tgtgggaggg aaggaaccga accgacgtgt gctggacagc tgctgggcgc tgtattctta 27300
gatgaggett taggaatatt cetteagegg ceceaagaag tgateatetg tattetagag 27360
accaggaaac agaaatccag aagaaggaaa ccagccagct tcacgtgaca tttgcttaac 27420
cccgcttgac ctctggtaga gaataggctt gttgttgtca tttggtcagg tttttagatt 27480
tattttattt atatgagtac actgtagttg tctttacata cactaaaaga tggcatcaga 27540
teccattaca gatggttgtg agecaecatg tggttgetag gatttgaact caggacetet 27600
ggaagagcag ccagtgctct taacctctga gtcatctctc cagccctggt cagttgtttt 27660
gttgttgaag atgatgatgt tgtttctttg tttgttttt aaatttttta ttttgtttta 27720
ttctaatgag catttttccc aaatgtaccc atgtgtacta tgtgacttgt ccagtgcctt 27780
cagcgatcag aagactctgt cagatagatc ctctggagct ggggataagt atactgtgag 27840
ccaccatatg ggtgctggga attgaacttg gtcctctgca agagcaacaa gtgcattaaa 27900
ctactgaacc agetetecag cacatgtget etetetecec etgtgtatgt gtgggaatgg 27960
aggtggtggc gagggtttag ggctcaggct ggccttgacc tgtctgtcat gatatcatag 28020
gagttetggg attacaggca tgagccgctg tgcctggctt caaagtagat tctagaactt 28080
aaaatcacac ctaattgtaa cagaagaaat tgcgtggcag ccttgaatgg cagctcatgc 28140
ctgaaattca agcacttagg aggcagaggt aggaaataac aaggctagcc tgagaccctg 28200
ttttagaaaa tcaaggacct ggagactagc tcagtggtgg agaacttgta tagtgtttga 28260
tececageat caggagtggg cagagetgtg gtggtaggat ttgtgaatge aaacaegtat 28320
tattcaaagg actacaaaaa acatacaagc tccttttcag agtcaccagg gtatccccta 28380
tgagtacttg tggtgaccac atatatattt tggcttacag tcgagacccc tgactgcagc 28440
aggatggete agtggaacca getgeageag etggacacac getacetgga geagetgeae 28500
cagetgtaca gegacagett ecceatggag etgeggeagt teetggeace ttggattgag 28560
agtcaagact ggtgagtcct tcttgaaaac tccctgactt ggggggttta gcattgagtc 28620
aggacacaac ctgttctagg ttcacacctt actaaccctt tgatcagaca tgtgagggca 28680
ggtgcggggg aaggattggg agaacagagg taacttagtc tcttaacgca tctgttcaca 28740
gtgcatatga cageggcctc tttgcacttt gaaacagctt gctggtagat gttttggagt 28800
caggittigag totoacttac tiggigagat ototigcacat tittigagitcia gaacagitgag 28860
atacagatgt ttttcctttt taaatctaag aattctatgt caggtagaaa ttggggtcta 28920
ccacacacqt ggcttcccct ggtaaagagg aggcatggga tgaggaggga actagaggca 28980
tagaggaaat gccagctgtt tacctcactt tagtgtattc aggcccgtgt gctagttctg 29040
qcctaaqtca qccctatctq cqtqtqacct actttttcca qaaqacatac ctqatttqqt 29100
gatgggccaa agaggtgtgg atcacacctc agcctggcat tgctcattaa gctaagaagc 29160
acttataqac actaqtctqa ctqaatacaq qqttqqccaa qaatttaaqq caaacaacct 29220
tatctgtcct ttaaaaaaac aaaaacaaaa catttaccag tatgtgtgca cgtttgtata 29280
gattcaggcg tgtgtgcatt cgtgtatgcg tgtaggccag aagacaacct caagtgtcat 29340
tettaagaac geettttggg ttegttgaga etgagteatt eattggteea gagttaacca 29400
attagggcag accttcagga tctatctctg atgcccagcg ctgggcttac acgcatgtgc 29460
tactgtgccc agcattttct ttttttaatt taaaatagat ttttttaaag atatatttct 29520
ggctatgttt tctcttcccc catctcctct aagatcttcc ctaactcccc tcctacccaa 29580
atccacacce tttetetete teteteacta gaacacaaac aggeactaag aaacagtaat 29640
aagataaggc aaacaaactg gaataaggtg aaatagacca acagaaaaaa aaaaagagcc 29700
aaagagaaag tataagaatg ataatatatt tgccagcatt tttatgtgag ttctgtggat 29760
gggageteag gteeteateg eteteacggt tgaaccaact geceagactg catetgteet 29820
ttcattgtca tcattgttgt tgttgtttgg ttattgttgt gtgtatatgg tattgggca 29880
gcgcgtggac atgccgccgt gtgcacgcgg aggtcagagg gcagcttcat gaagtcagtt 29940
ctctgctctc taaggattaa actaatgttg ccaggtttcc caaccaagaa cttttatctg 30000
tggcgccatc tcaccatccc ctgtttttgt tttgtttttg ttttaagaca aggtcttgta 30060
gtctaggcta gcctgctact tgctgcagtc agctgagggt cccttgaact acttaccttc 30120
ctgcttctac ctccaagtat taggactgta ggtgtgtgct gccatactaa ggtctgggtt 30180
tgttttttgt ttgtttatga gtcaaaaagt cgggctggtg agatggctca gtgagtaaga 30240
gcacccgact gctcttccga aggtccggag ttcaaatccc agcaaccaca tggtggctca 30300
caaccategg taacaagate tgacteette ttetggtgtg tetgaagata getacagtgt 30360
gtcttactat atagcctaaa actggccttg aacttactat atagcccagg ctggtcttca 30480
actttcaatc ctcttgcctc agcttctcaa gtagttctca gattacatac gttgcaccac 30540
tagacttgta tctgtgcatc ttgctcaaat attttagtcc tatagattat aagaatgaat 30600
aacagtatct ggaaacattc tcatattaac ctttaacctt tttttttcca tgctggggac 30660
caaagccaga gccttgagca cactaggcag gtgtgtgtca ctgagctaca ccacctattg 30720
```

```
atggtactgt tgatctgaga atgagaaatg gaaaatgatg gatttgttat gacatcagat 30780
gttataacaa ccccttgatg gtggattctg ggggtatacg ttttagagtc ctattattac 30840
tgcctttgag agaatgtcat ccaaactggc ttggaactct ctaggtaggg aaagctggcc 30900
ttgaactett gateeteetg tetecaecae eeegtataca gatgtgtget eteacaaaac 30960
gctctccaaa ttactcatgc agcttacctc ctcttcctag ggcatatgca gccagcaaag 31020
agtcacatgc cacgttggtg tttcataatc tcttgggtga aattgaccag caatatagcc 31080
gatteetgea agagteeaat gteetetate ageacaacet tegaagaate aageagttte 31140
tgcaggtgcg gtgggaaatg gatgtgagac ggcagcccca cagagtggag tgctgatgtt 31200
cctgcccgga agttttcctt acttggctaa gtgacgcctg tcttgtactc taaatcaaag 31260
gagaagtaat tageteette teaatteeet gtacactgge cetgggeace attaccagaa 31320
atteacttet tatgttacag ttgcagcaat aagcaaggge ttaatgttat tetgttataa 31380
aagcacacta ttaacaccta cttgtcatag gcacatgact ctcaggtcta aatgttaaaa 31440
gtttagccat taactgggta ctcctgggta aagtcagtca tttccctata aagtcagatg 31500
acceaeggtg ecaggatgae etcacaette tggettetge cateaeagag gecaeatget 31560
cctgccttcc cttccctccc catggatttc agtcagatgc tgaagccttt gatctgtggt 31620
ttcatggagg ctctgaggaa gtgacttaag ttagccaagt tcactccaca cctccttagc 31680
cggctatagc ttcctactct ccatcttgct tacagagcag gtatcttgag aagccaatgg 31740 aaattgcccg gatcgtggcc cgatgcctgt gggaagagtc tcgcctcctc cagacggcag 31800
ccacqqcaqc ccaqqtqaqa qcaaqaaqaa qcaaaqtqqc qaqcaqqqqa ctqqqaaqca 31860
agcgattgta taaataagtg gaacagtaat ggtttagtgc ctctgaagag gagatcacta 31920
qactacatta aagccctaaa catacattga aaatgacaaa aaatttcata cagtctctat 31980
tccactccca accaacagtg ttgctgaagg gtgaacttga gctcagattc ctgagggctg 32040
ggagttgagg tgctcacacc acatcctata agtgaggtgc taggggcaga accagggctg 32100
cctgcgtggt ggacacacac tcggagacat attcccaacc ccggattgtt gatgttgttg 32160
atcgggttct tgctatgcat agctgacttc cagtttggga taatcttcct gcctctgcca 32220
cccaagtgca ggggtttcgg tgatgccacc aaacttccca cacgtccatt tcttgttttc 32280
attttcagct tttgagatgg agtcacagtc tgatacccag ctgcctagaa ccctgtgcgt 32340
qqqctqaqcc ctttcaaacc cacaccagtc ccttgcttca gtctctagtc attgagattt 32400
taggcatggg ccaccaggct cagcttcctt ttgagacaga gtctcaatac atacccccat 32460
atggtaaact ctagatcctc ctgcctcagc ctccctgtga gccaccatgc ctgatccaca 32520
gggacttccc agtgcctgac ccctgagtta gaacttggga gttggcaaag cacacctccc 32580
tagcaatttg tacggagett gagagactet agaccactge ttggggaaca tagaggtggt 32640
ttttagggac aaagccttca ttcttgccat aggcaagttt aggagatagg agataggaga 32700
gggagggacc cagetttggg getgggcact gtgaaggtet gtetgtagta ettetttatg 32760
tcttatcagt cagggtcgat cccacagggg aaaaatgtag tggctgggtt gtttttccaa 32820
gtcttctgag aggctgttat actatagttt gagcatccat gagaagtggg aagagcgcct 32880
qtctctaaaa tgcctgttca gctctacttt ggagactcgt ggtcgtagta gagagaacag 32940
accagaagtg agaggttgta gaagcaaagg tetgggetgg aggacagace tggetteagt 33000
tectageatt caagaggtgg etcacaacca tetgcaatte cagttecagg gaatecaaca 33060
cccatttggg caccaggcac acatgctggc aaaaacagcc acacacataa aatgaagtaa 33120
ataagtctaa agaatagaaa acaaaacaaa gtaaaaagaa gtaaaaagcc ggcagttgga 33180
acctgactgg agcccttgac cagtgcgatg ggtgtgaggg agtggttagc tgtaggccca 33240
gggtgtgagc atttctagct ttgaaaactg gatggataac atctctcctt atcatagtct 33300
tcaaqatcct caggctqctq tcaqqctatc tqqttqqttc ttaaaqcatc tacttqttaq 33360
tttctgctcc cagcaaagcc ccatcatttt acctatgacc ccttaaggca ttagcctctc 33420
cgggctgggc agaagccttg gaagcacaat tttaaaagtc cttgggaaat gttitttcat 33480
ggaaatatgt tacactttgt tgtcatcagt tcttaattta tttattaata ttctctgagc 33540
actgggatca agcctgggct tcactcattt aggcaggatc tccagtactg agctgtaccc 33600
cagetettte tagatttttt ttttttttt tgacagttta cetttagget gettgaagga 33660
tgaggcatct tagttcaaca tgtgggctcc tggtttaatg tggagaatgg gtttgcagtg 33720
tttcctgttg ataaaaagcc agtggcacag agagaacagt gcaagcaccc tcccagcacc 33780
ctcccctttg gatgggatgg agctcagacg agagggttcc acaaatccat gtgtgtgcta 33840
atcttagtta tttattatt atttattat tggcagcaag ggggccaggc caaccaccca 33900
acageegeeg tagtgacaga gaageageag atgttggage ageatettea ggatgteegg 33960
gtgtggtcct gcgtgcacgc tttcattatc ttcaaaactt tcttttccct ttttcccaaa 34080
ggtaacctgt gttttacttc tgtttttggt tggtttgttt gtttaaacag gatctagaac 34140
agaaaatgaa ggtggtggag aacctccagg acgactttga tttcaactac aaaaccctca 34200
agagccaagg aggcaagcga gctgtgggga cggggcagtc tgtgcaaggc tacgccgtgt 34260
cactgagtct cagggcctgc cttccatggt aggaggagga gctgctggcc cttcacggga 34320
caatttttgc attgtttgtt tttgagatgg gatttgacca tgtagctctg gctgaccgtg 34380
agectacaac catettactt cagetetetg agtageeggg actgeaggeg caeagatggt 34440
gtagagcctt gttaagaagg ctgtggtgag tccctctgct caaggagtct ttcctccttc 34500
ccttagacat gcaggatctg aatggaaaca accagtctgt gaccagacag aagatgcagc 34560
agetggaaca gatgetcaca gecetggaee agatgeggag agtaagegat etggatgett 34620
```

```
cctgagcatc gcacgcctag cgtggaagac agtttctgat ggcttctttc tctagaactg 34680
actagagact gcggttagac atgggctggg gtaatgtgtt ctgacttggt ttttggtttcc 34740
aaacagagca ttgtgagtga gctggcgggg ctcttgtcag caatggagta cgtgcagaag 34800
acactgactg atgaagagct ggctgactgg aagaggcggc agcagatcgc gtgcatcgga 34860
ggccctccca acatctgcct ggaccgtctg gaaaactggt aagagttgga agaaaggctt 34920
ctttttcttt agtcacgggc ctgcaagggg ggggggggg ggcggggggg agcggggcgg 34980 aggcgggggca tgctgctccc tcgccatgct tttgcttttg cttttgcttt tgcttttca 35040
tgctggggtg gatgtgtggt agacaagtgt gccagagcca ctggactaca ctcctagtgc 35100
tggacactat tgctaagatg gcaccttttt ttttctttga gaaagaatct cactgagctg 35160
cataggetgg ccctcatacc cactccatag cccaggetgg ccctcatacc cactccatag 35220
cccaggctgg ccctcatacc tactctatag cccaggctga ccttgaattt gcaatcctcc 35280
tgcttcatct tcccaaatgg aattatctgg gattataggc atgcatcact ctgcctgcct 35340
taaqqtqqcc ttttttacac aqtcaaqttt aqtccaaqaa ttaaaaccat tacctaattt 35400
taactttttt gttttttct gagacagagt ttctctattt agccttagct gtccttgaac 35460
ttgetetgta gactacactg geteaaacte atagaggtet geetgeetet getteeeaag 35520
tactgagatt aaagacatgc accaccattg cccaaccaac aaatttttaa ttaaaaagaa 35580
taaattaata aagettagat cactaattta agatatttaa ataataettt cagttgtatt 35640
taacactaaa ttctccattt tagttatttt aataatctaa aacaatatat gttatttgca 35700
aaggggggaa ataactgaat atatataaaa ctaataaaat gaaataaaaa aaatgaaaat 35760
ctagtctttg agtagtacca gcaagtcacc agactttgtg atagtcattt tgtaggcatc 35820
tgtcgtgatt aaacatgtga tttcatgact atacatgtga tgtcataact atacatgtga 35880
gtggtgggat ggatgcctca gggtcccttt gcttcagtct cctgagtgct ggggtcacca 36000
ctaggggaca gaggtgactg gaactteett ecattatgge aggataaett cattageaga 36060
atctcaactt cagacccgcc aacaattaa gaaactggag gagctgcagc agaaagtgtc 36120
gttcagaaac ttaatgaaga ggtaacttgt aagagatgac gttccgaagg gaggaaccgg 36240
cagaagactg gtcaccacag cgtctgagat gccatccttt tcccttccag tgccttcgtg 36300
gtggagegge ageettgeat geceatgeae eeggacegge cettagteat caagactggt 36360
qtccaqttta ccacqaaagt caqqtqqqcc tqtccttaca ctttqqqtqq aqttttqatt 36420
gatgtccagt cctcttccct gaggatttta agggaaggaa ggttctgtgg tgccatagct 36480
gaggggccc attgggtgag agatgaagcc cactcctcac ctggctcaga acacgtgcag 36540
tatttctcat tgaatgcttt ttattgcctt cccgtgagaa gtctcttaca acttgcttca 36600
catgcttagg catctcagta ctttctagct gaagggttag tgttcacttt taatgtcaga 36660
agacaggtct ttgtagccct ggctggcctg gaacactctc tgtaaactag gctggcttga 36840
acccagagat teaceteeet ttgeeteeca agtgetggga ttaaaggeat geaceaceat 36900
gctcagcaat atttttacat cttaggaatt gaagtattag ggggtttata ttttaacgag 36960 atcaaggtag ggagcctact aactttcctt gactatatt tttaataggt tgctggtcaa 37020
atttcctgag ttgaattatc agcttaaaat taaagtgtgc attgataagt aagtattctt 37080
tatgtgtgtg tgtgtgtaag tgtataattt ttattattta aaagcaactg ttaaattcat 37140
getttgetca tattetteec tteteccaag taeatteaga teteeteete etgtaeteac 37200
ccaagtttct caaaaaaact aaacaaccaa aaccccaata caacaaaatc cccaaaagac 37260
tgagaacaaa atacaacacc caaaaagaaa aaagatggga ctaaaattgt gattaaataa 37320
gagcatgcac aacaaactat ttqttqqtca actqtcctqc tcacqaqacc cqcactqaqt 37380
ggttgacaaa gccagtgctg ctcccagcag ctccattgct aatctttcac cctagtggtg 37440
ggtttacatt cattcattca ttcattcatt ttttttaatg taacaaaata aaatataaca 37500
aagcaaaaca aaggctatga catccaagtt ggacgagaca aaccaacagg aggaaaagaa 37560
cccaaqaqaa qqcacaqqaq tcqqaqtccc actcqtttqc accctqqqaa tcccatqaqa 37620
acactacatg ggaagccaca atattagcac agaggccctg gtgcaggccc ctgcaggccc 37680
agggcatgct gctccagtct ctgcgagttc atatgagctt tgctcgtggt gattcagagg 37740
gccttgtggt tttggtgacc tctaacccct ctggttctta atgttttttc tgctgcttct 37800
teettggtat teeetgaget etgaggggag ggatttgetg gagacatece atttagggaa 37860
tgagtgtttc aaggtctttc tctgcatgat gtctggctgt gggtctctat atttcttccc 37920
atctttggac aggaggactc ttctctgatg atggctgagc aaggcactga tatctgagtc 37980
tagcagaatg tcacctggag tcattttatt gttttttttt cctttctctt ttttagatca 38040
qtattattta qtttttccct aggtccttqq qctatctaqt ctctqqttct tqqccaccca 38100
agccttgttg ggtatgagtt tcatcttgta tagtgagcct taagactctt gttggttggt 38160
tacttccaca ggtttgtgcc accattgccc tagcatatcc tgcaggcagt acactattac 38220
agatagaggt ttgaggctgg cttgctgttc acacttctct tttgatagca tgcagagtac 38280
cttcctataa caaagactct ggcatacagt ggggggctct atggaggcac cagcttcacg 38340
tgcccatgtt cagtgagttg tgtaggtgtt atcctcaaca gtggggcctt gctgtcagtt 38400
gtggaaagca accgatggtc ttgataacag cgtggattgt ttgaggattc cctttggcca 38460
acaattcaat tagacttaac cctaacccag tactggaagc tttatttggt ggcaagagat 38520
```

```
cgccagttgg gaccccaact ctcccccatt acttggcgat tgaatctaga tcaccttcac 38580
atatgtgaat gttttaggag gttcctactg tacgagatgt cgatactact ccacggatgc 38640
tecataagtg ttgccgtete ccattgttee eteceaceae cageteteet eteceetegg 38700
cttccccatt tgctcctcca agttcagacc tcgtctatcc agaatccctc atctatccag 38760
aatccctcat ctatccagaa tccctcatct atccagaacc ccttctattt cttttttcct 38820
aattagatet atttgttete tgtagtteet tagtetgtat teaceetetg tggttettaa 38880
ggattgcagc ttggttatca ttgacttaat ggctaatatc catacataag tgagtacaca 38940
ccacatttgt ctttctgggt ctaggttacc tcactcagga agatttttt tttcctagtt 39000
ccatctattt gcctgcaagt ttctttttt tttttttaat ggctgagtaa tactccgtat 39060
gtaaatgtac cacattttct ttattcattc ttctgttgag ggacatctag gttgtttcca 39120
gcttctggtt agtatggaga gaacagcagt gaacgtggtt gagcaagtgt ctgtggtagg 39180
atgaagcatc ctttgggtat gtgcccaaga gtggtctaac tggatcttga ggtagatgga 39240
ttcccgtctt cctgaggagc ggccatactg atttccatag ttgctgcatg agcttgcatt 39300
cccaccagca atatgtgatg gtggccctta ctccacatcc tcgacagcat gagctgtcac 39360
ttgtgttgat cttaactatc ctgttaggca tatgatagac tctcacagca gtttgatttg 39420
cattecetga tectaaggat gttggacatt tetetgttte teagecaett gggttteete 39480
tattaagaat tttctgttta gatctgtacc ccatttctaa ctggtctgta ttttcttgat 39540
atttattttc ttaaaattct tttcgggcat ttgtcctcta ttggatatgt agttggttta 39600
aaagaaaaat cccgttctgt aggctaccaa tccgtattct taagcctaac tcttgttttc 39660
aaatqaqqqa tqqaqaaqca aqaacttqqa caqacatttq actttaqaqa tqtctccatt 39720
cagggatett etttttgtga acagetgtgt teaaaaceet tgeaaaceet geeeggtttg 39780
cctgaagcat tgaaaagaaa agtttgagtg tgtgcagctc agtattgcag gctcacctag 39840
cacgcacgca tgcacgaggc ccgggttcaa cccccatact gaaaaataaa cgtgtaaata 39900
agtaatgctt gaaaatagag tatatggaaa gagaactggt ttgaagttaa taatcttctt 39960
ccacaaaccc accaacacat gctatttgta ggtaaaaata tagcaatgga aaagaaattt 40020
tacttagttt tattttgaga gagcgtctga ctctacaacc ctggctggcc ttgaattcac 40080
agtgactcac ctgcctgtgc tccccagtgc taggattaaa ggtatctgac accaagtctg 40140
gctaagaaga acttgtaaaa tagtgttctg aaataagata aagacagaaa tgtcataata 40200
taaaaagatg gcctgtcaga gacaggcagc agtggtcacg tgaggatagc atttccagct 40260
gccttgtggg aggtggtgtc agtttttggt aacaacatac ctttctggaa aacccagcgt 40320
ggctccgata ataaggaaat tcaccacccg tgtaactgga aatgcagttg gggcaagtac 40380
ctaaggatga ggctggtgac tcacaggtgt cttcaggaac cctgggtctt ccatgccatc 40440
cttaccgtgc catcettacc gtgccagctg tagacaggtt cccttccagg tggtctcatg 40500
gctgtggaca gaagatcagc ctaggctatt gcctccttgg tctggctgag aacaggcctt 40560
taatcccagc acccaggagg cagaagcagg tgatctctga gttcaggtct acagagcaag 40620
ttccacgaca gccaggaggg ctacacagag cgctgtctcg gaaagccgac aaaacagaca 40680
aggeagaccc egtetteacc tgetetgtgg etteetetgt tetgatgaat geagtgateg 40740
gggttccctg gagatagatg gctctgccat cccttactga gagaatggag ctttccttag 40800
gaagggaaag aagctgtggt taggcccca gctaaggcta ctgtttaagt gcatacagag 40860
ttgtgtttca caccgaaaat gtaactgagc atcgaaaggc atgttccatc agagtaggtt 40920
ctggaaagaa agagggctc taatctcagc ttttattaac ccttgtctgt gttctttaca 40980
gagactetgg ggatgttgct gccctcagag ggtaagttgg gcctcctttt gttctttctc 41040
atccaacttt accetetgge tactcagege teactgtgtg ttggttttte teccatgatt 41100
taggtctcgg aaatttaaca ttctgggcac gaacacaaaa gtgatgaaca tggaggagtc 41160
taacaacggc agcctgtctg cagagttcaa gcacctggtc ggtgtccgag gggagaggag 41220
gcggcacagg ccaggtggca gaggagggg gagagactgg cacagcctca agtgacactt 41280
gcctccttct tcttcctttc ttccagaccc ttagggagca gagatgtggg aatggaggcc 41340
gtgccaattg tgatgtaagt aagttttgtt cgggctaaaa gcaattgttt tctttctttg 41400
ctetetet etetectet etecetetet ecetetete aacceagaat taaaacttta 41520
acceactact teagatgttt gteetttaga aaagttggte getetgggee agggtgacat 41580
gctcagaagt cacaggtgct gtggagtttt ctagcgagaa acatttccct gagtgttggg 41640
gagttggctc cctttcagca gtgggaagtc cctcgccaag ctgttaccca cacccatctg 41700
gtagaaaaga agtttccaca ttgcccgggg cttcccagag tcccttgcta ctacctgcca 41760
gctggctccc ttttcagtgc ctggtgagac aaaaggaaga catcaagtca gccagtcaga 41820
ctgtgctcag gagctgaggc aggggaattg tgagtttgag atcattctgt cattcagcac 41940
atacatgtaa aagagctgga aattcattcc tgagaattca tcagtaattt gtgtactaat 42000
tgatgagggt ctgtggtccc gtgcaggtcc cagttcctct ttcagagctg tagagtattc 42060
tgctgcctac accacagctc atgaccacag gtagccacat tgcttgactg cttgtgtggc 42120
actgaaggtt atcacagtca ctttagaaag tgacttggca taaaaatgag cacaccctgt 42180
aaaccggcag ttccagtctt aggaattaac agtaaagaaa gctttgcata ggtgaactaa 42240
ggacagataa cacagtcaca gccattggtc attgacacag ctcagatctc tcagcactgg 42300
ggtcatgagc tgtggtgtag gcagtggagt actctacagc tctgaaagag gaactgggac 42360
ctgcacggga ccacagaccc tcatcaaggt gggggtgggg tgtcaggagc aggaacacac 42420
```

```
tgagagtgca gttcactgtg tgaagtacac atgcttggag aaacaaccat gaacacggtt 42480
gggaggaget gggagacage agagacaaag acacagtaaa gtgcagagaa gggggattca 42540
cctggggaat ctcggtgata atggcaactt atgcgggatg ataatgctag gctatcgctc 42600
agtgttgggg tgcacttaga tgcatgagac cctgagtttg ctccctagtg catataaaag 42660
gaaggaggga gagagaag aaacctaaga agccttcctt tattccttcc tattctcccc 42720
tetecetece tectecete catectecet tectecete etectecet ecetecete 42960
cttccttcct tcctgtgtgt ctgtgtttgt gtatggtcgc acatgtgcga tggtgtgaat 43080
gtgaaggtca agttgccact tgaaggactt gtttcttctt ccaccaagtg ggtcccaggg 43140
atgaggeteg ggttggeagg cagatgeeet tgeecactga gecatettge tggeeeteaa 43200
ataaggacgt aagctgggtg gcttatcctt ggatgctcat tgctttgtta ttcttcgtgc 43260
cttgaatgtg tattgtaaga tatggttatg tactatgtag tgcatatgtg aggatcatgt 43320
ccttgggtct ttgggtggaa gaaagagggc agagttgtgt ccctgccagt gtctctgaga 43380
gaccttatgc tgttgcaggc ctccttgatc gtgactgagg agctgcacct gatcaccttc 43440
gagactgagg tgtaccacca aggcctcaag attgacctag aggtgaggcc ttcccagaac 43500
caggeggete gtgtgegggg gtgegtgtge agggaggeea ggacagaaeg cetgeeggga 43560
tgatggctgt ctgcccagcc tggatttgtt tctcattatc tatctcagaa acgtccctga 43620
gagccaccct gtccccaaga gtaaagtctt gcttgagtac ctgttatgaa aatctatatt 43680
agtgattgtt tagaatcgat ttgatgaagt ttgggcaagt gggtcttagt agccgccatt 43740
atttatttta tgtatgtgag tacaccatta ctctcttcag acacccaga agagggaatt 43860
agattccatc acagatggtt gtaaagccac catgtggttg ctgggaattg aactcaggac 43920
ctcaggaaga atagtcagtg ctcttaactg ataggccatc tctccagccc ctgttttcca 43980
tctttcttga tcttattaag tttagacctg gaaaagcaga catccttagg tttgatttct 44040
aacacctcag cttcatggaa agatgcaggt tgtttggagg ttgccttcca ggtctgtctc 44100
tggagagtcg ggctgagggc ctgggttagc cttagtgttt gggttagtgt tagttgtttg 44160
ttcagacact ccagaagagg gagtcatatc ttttttatgg atggttgtga gccaccgtgt 44280
ggttgctggg atttgaactc gggaccttcg gaagagcagt cagtgctcat aactgctgag 44340
ccatctctcc agccctagtg ttagttttta gggcctgact ttgaacaagt cactgatgat 44400
gttcagacat cagtgctgat gcaggctggt cctgatgcag gctggtcctg atgcaggctg 44460
gteetgatge aggetggtet tteteetett ggtgttettg etceageetg eacttgeegt 44520
gaggggtggc catggtgtga tttttaattc taacttattg agatgcgggt gacaagggtt 44580
gggagetgtg agageceage tgteceacta agteatteae egeetgteee catactetae 44640
agacccactc cttgccagtt gtggtgatct ccaacatctg tcagatgcca aatgcttggg 44700
catcaatcct gtggtataac atgctgacca ataaccccaa ggtgagtttc ccacccccaa 44760
ccctctctga aatccctgaa ccttgctgct tctccacccc cggtgcaggc tgtcagtgtc 44820
acteteteat ccaagtgggt geaggetgte agtgteacte teteateeaa gtgggtgeag 44880
gctgtcagtg tcactctctc atccaagtgg gtgcaggctg tcagtgtcac tctctcatcc 44940
aagtgaacaa atgtgttett tteaatagaa egtgaactte tteaetaage egecaattgg 45000
aacctgggac caagtggccg aggtgctcag ctggcagttc tcgtccacca ccaagcgggg 45060
gctgagcatc gagcagctga caacgctggc tgagaagctc ctaggttgac agcttcagac 45120
atgtctggcc tggggggtgg tcattcagtc ggggtcccca tgtcagccta gggcaaggca 45180
ccatgccagg accaggttgc taagtgtgtt tgaagagcat gtttctttct ttaaaaagcc 45240
aaagacaata gttttaaatt ttttctcccc tttaaaaaaa tatctggact gaaagtaact 45300
ttgacctgtg ctcctacaaa aaaaaaaaa aaaaggctcc tgaccccagc tgccagcttt 45360
gtcactgtgt gttgccagtt ctcagaccac acaaggcaag gacaagcagg ggtccaacag 45420 gacatctgtg ctggcctaat ctagggacag ctgttgggct tgggtgtgtg tgggcatgtg 45480
tggcacacac cctgtaagta catgtacaaa tgcatggcct ttttgtaaat tctgcttaag 45540
aaatagettt ggecaagget gaaateeggt tgttgtttte tetteeaggg cetggtgtga 45600
actactcagg gtgtcagatc acatgggcta aattctgcaa agtaagtgat cctgttgatt 45660
ccctcagtta ggaggtaggt gtggggtgcc caggacccct ttctccagca gctgtcagga 45720
gctgcctgag gatagaggaa cctgagggtg taagaaggct ctggcaggaa agagctgggg 45780
tgagtggtgg tggacttgct ttcccattct tttctccagg aaaacatggc tggcaagggc 45840
ttctccttct gggtctggct agacaatatc atcgaccttg tgaaaaagta tatcttggcc 45900
ctttggaatg aagggtaagg ttaaactctg cagtaaggct gccctgtgta acgagtcacc 45960
tactcccagc aagcccgtga ctggttgtcc ttggctgcag gtacatcatg ggtttcatca 46020
qcaaqqaqcq qqaqcqqqcc atcctaaqca caaaqccccc qqqcaccttc ctactqcqct 46080
tcagcgagag cagcaaagaa ggaggggtca ctttcacttg ggtggaaaag gacatcagtg 46140
gtaagaacgc ttgcctcctg tatcacttgc tccacctgct ggccactggc agcacccggc 46200
tacttcatgt tctgggtact actgccccct gaagggcaga gagggcctgt gcctcctgaa 46260
gaggtggcct gccagtttgt cctgttcact catttggcta acatttgtgt agaaaagtgt 46320
```

```
gattgaaatc ttacttctgt actccctttc ctgcctaccc cgttaataca tttgcggcag 46380
gtgtttttgc ctatgagcca gctggatctc tacaagcccg cctggatatt gcctcagttc 46440
caagtcactg ggcagggcat tcagagtctc cagcactcac tccactggca taatctctcc 46500
ttccatggtc cgtgacaggc aagacccaga tccagtctgt agagccatac accaagcagc 46560
agetgaacaa catgtcattt getgaaatca teatgggeta taagateatg gatgegaeca 46620
acatectggt gtetecaett gtetaeetet acceegacat teceaaggag gaggeatttg 46680
gaaagtactg taggcccgag agccaggagc accccgaagc cgacccaggt agttgttgac 46740
tttccatggc tttgccttcc ttcctagtga gaaagtacgc atccttggag agacaaggac 46800
atggctgagt atcttgtggg agcagggctt ggtgattcct tcttttggga aagagtggtt 46860
tattgggttc cttgacaggg tgactaactc aggattcaag aggaggacag aatcagccct 46920
cagggagett ggaagtetga agatgaaaat agtatetete cetetteete tetteteeet 46980
ttccatctcc ccctccctcc caccccgcca ctttaaaaca ctagaaagag aaatgaaggc 47040
aggtetetet ggtgettete cagteagtgg gttecagaag accegagaca gatttgagte 47100
cagcatgctt tgctgtcctg agtgagcagt gccaggagtc tgaagaaagg ctttctgggg 47160
cagtggctgt tggcagcctg gggcagagct gacatcaagc tggaggtgtt gatgttccag 47220
agatgatgac tggagggaat gtggacttgg catttagaaa caagatgcat ctactctgtg 47280
ggagtgcgtg tggctgtaaa tcagcatttc tcagcctttc acggagcgct taagactata 47340
ggaaaacaga gatttccatt atgattcata actgtagcaa aattacagct atgaagtagt 47400
aagaaaaagt aatgtatggt tggggtcacc acaacatgag gagctgtatt aaagggtcat 47460
agcattcaga aggttgagaa ctgctggtat aaattatatg aaaaatagaa attatgttgt 47520
gttaagtctg tagtgtctgg ggcggtccca gtgtaaagag tcagaggtgt ctggtctgaa 47580
gccatttcaa acttgttgca ttgacgcttg cctctgtcct tatgctggtg aggagtctgg 47640
ttttctaaga ctgttgttga tcattgcaca tgctgagctc cgaggtgccc tgtgtgagcc 47700
ggcctccttg ctctgaggtg ccctgtgtga gccggcctcc ttgctctgag gtgccctgtg 47760
tgageeggee teettgetet gaggtgeeet gtgtgageeg geeteettge tetgaggtge 47820
cttgtgtgag ccggcctcct tgctctggtg ttttttcacc aaccgcttct gttcacatag 47880
cacctgcaca cagettecce ggetetgeee accattettg gaggagtege ttgttgaegg 47940
ttactttcct ttccctttgt tctgctgttg agttctcttc attctgtgga ggagttcagc 48000
tctcacttcc tgtctgtccc ttatctctgc ttccaccttg ccttcagttg gaagatctgt 48060
ttatcagtcc ctctcacact ggtctttgtt cttttcacag aggactttga agtccgagca 48120
ctgatccttt tgactaattt tgctttcaag atccaggccc ctggtcaggc atccacctcc 48180
atcaccattc ctgtgtaggc tgcccagaga cattcctcag gggcaaggcc tgggcatgag 48240
aaaggagece actgeetgat gggettgeet gtgageetag ggagagtgea etgggggete 48300
cggagcccga tgatggaagg gtagggggtt cagatgatcc ccttagggag gtgagcctgt 48360
atgtccctgt cctctgcccc tgctacagga gtattgcagt agagacctcc ccggagcctc 48420
gteetgggte tteettgtet gteaggagge tgtaatatae eetgtgetee tetggaggga 48480
ttttgagcaa gttcaccagg cagcaacagg atgttccttc tctcttccat ctccagtctg 48540
tgtcccgcac tcctacctcg ggccgggtca aagaatattt ctctcttgac cactggagaa 48600
tgaaagtett etetteteeg etetaactta ttgtgtatge atgtgtgttg ggggtggtee 48660
tigttggagg accttgaggg tgtcagctct ctccttctac catgtagccc ctgaggacag 48720
ageteagget tggtgacaga tgacttaage actaagecat etceetgate ceetetgtet 48780
ctttaaggtg acagttctca ctctagagac cttttctaga actgtaggca gcacagttgc 48840
ctcaataatt cetttgette tgtgetgagt taacetgttt ettggecaca aatgagettg 48900
catattcatc taagagcact ttctaatggc ttctcccagg ggtttgtctt gctggatgct 48960
tgtaagcccc agtgttctgt ctgtgctttt cttagcctac ccacacagcc ccaggcccgc 49020
tgcgagcatc attaactgaa cccccagggc ttcatgccag tgtccccagg gcttccagat 49080
ttcttggcct aacatttcag tcctcacatt tccaacataa acggcagaga tggaagacag 49140
ccagtcctgt ctctttctct gtcccacaca tgaaagagat ggcgccttgg ccaggtttcc 49200
tggctgttgc acatgttctc ggacctggtg tcctgtctcc cagtggctgg ggtatgtttt 49260
cctgattgga agtggctttg gagcctccag cacgtaagca tttagtcctg ttggtgtctg 49320
qqctqqtcac caaacaqqqa aqtcaattca caaqtqtqac caqqtcacaq qaqaaqccta 49380
acgctacaca aagatggttg gtcgctcagg cagggtgggg aaggatgcac aagagttggc 49440
ggtaggcegg gcagtggtgg tgcacacctt taatcccagc acttgggaag cagaggcagg 49500
cggatttctg agttcaagcc cagcctggtc tacagagtaa gttccaggac agccagggct 49560
acacagagaa accetgtete aaaaaaacaa aaaacaaaaa caaaagagtt gacggtagge 49620
tgggtagagg tggggcaggt gtctctgcag aagtctttgc agctcaggaa attctatgga 49680
agagatagaa cttcaaactg caagactgga tggcaagcag catgtgatga gggaggacag 49740
ccctaagagc tggactgcgg tgtctgggca gtttctgtaa ggttggctca cgccgtctgg 49800
gagaggcagg aggattcctc ttgcatgttc tcaaagcaag tcacaatctg ttaaagcccg 49860
ggtttcctct ctgcaggtgc tgccccgtac ctgaagacca agttcatctg tgtgacaccg 49920
taagtggccg cccttcccag tttcgcattc atttctagtg tcctagtgtg ctcagttgtc 49980
cccaggaata gggaggacat ggggtgagag ttaccgtgaa gggctggtag ctgctgggct 50040
tgtttagtgc tcagagtgac cttgtgtgtt taaaaagctt gagtttttat tttttctgtt 50100
ggagaccaga gtttgatggc ttgtgtgtgt gtgtttgttc ttttttttt tccccctcca 50160
tigigtetig teaacetgge cetteceact eeigeegtee eccettteet acagaacgae 50220
```

```
ctgcagcaat accattgacc tgccgatgtc cccccgcact ttagattcat tgatgcagtt 50280
tggaaataac ggtgaaggtg ctgagccctc agcaggaggg cagtttggtg agtgtttgga 50340
qggtcaggcc ccattgatgc ttgcctgtac agagccaggg cctgccatcc acactggtag 50400
aaatcggctc tagagctggg tgtggtggcc caagcctgag gcagaatgat ccctcctgt 50460
gagttctgag gccagcctgg tctataaagt gagtccagga tagccggggc tctattacac 50520
agagaaaccc agtcttgaaa aaacaaaaca aaacaaaaaa tggctctagg gccatgttct 50580
gctgtggaaa tgatactcac acacatgcag tttcccagta gccacagtaa aagcagtaag 50640
agactttgac agcttgggta agcagcagcg gcacttcagc atctgagaaa tcatggagct 50700
gtecteeect gteeegeete etetaetgag tetttgaaat ggagtggett tgatgeettt 50760
gatttaggct agtctcaggt ggcagtgtgt ggctaaggct accacaccca gggcagcctc 50820
agacccctga aagagagagt gagggctgag gtggagactg tgctcttctg ggagggcaag 50880
gccctcctgt gaggggcagg aagtctggct tttctgacct tgtccatgtc tgaaggaaca 50940
ggagactggt ggttcctgag ccctgtcctc gtacagaggg atgagggttt gtgagtcggc 51000
tttagtcagg tggctgaact gacactctct gtgtgtctct gcagagtcgc tcacgtttga 51060
catggatctg acctcggagt gtgctacctc ccccatgtga ggagctgaaa ccagaagctg 51120
cagagacgtg acttgagaca cctgccccgt gctccacccc taagcagccg aaccccatat 51180
cgtctgaaac tcctaacttt gtggttccag atttttttt ttaatttcct acttctgcta 51240
tetttgggca atetgggcae tttttaaaat agagaaatga gtgagtgtgg gtgataaact 51300
gttatgtaaa gaggagagca cctctgagtc tggggatggg gctgagagca gaagggagca 51360
aggggaacac ctcctgtcct gcccgcctgc cctccttttt cagcagctcg gggttggttg 51420
ttagacaagt gcctcctggt gcccatggca tcctgttgcc ccactctgtg agctgatacc 51480
ccaggctggg aactcctggc tctgcacttt caaccttgct aatatccaca tagaagctag 51540
aacacactga cacagcatag cctttccata tcaaggaata ctcagttaac agcctctcca 51660
gegetgtett eaggetgate atetatataa accetggaat ggttgeagat caaatetgta 51720
aaaqaqatcc qaqaqctqtq qcttqqcctc tqqttcaaac acaaaqqcta qaqaqaacct 51780
agatatecet gggttttgtt tacccagtat gettgteggt tggaggtgtg aggtaggeca 51840
agggcactgg aaagcctttg tcatcaccct actccctccc caacccagac tccagaccct 51900
gtttcagggt cagcctgccc tgtgggtgcc ttactgggcc tagggtcaac ctgccttcct 51960
ttcccacttg accttgctgg t
                                                                51981
```

<210> 462

<211> 2951

5 <212> ADN

<213> Mus musculus

<220>

<221> CDS

10 <222> (156)...(2468)

ccct	cggg	gag		gcago	t co	gege	tgga	gto	agc agg a	gcag atg (gcc	ggcca cag t	agt (egggd	-	60 120 173
_	-	_	ctg Leu 10	-		_		_		_	_		_			221
_	_	_	ttc Phe		_		_		_		_	_				269
	_		gac Asp		_		_	_	_					_	_	317
_			cat His			_		_		_	-			_	_	365

	ctg Leu					_			_				_	_		413
				75					80					85		
_	cag Gln		_	_	_					_		_	-		-	461
	atc Ile															509
	gcc Ala 120															557
	gta Val															605
_	cgg Arg	_	_		_	_		_	_		_	-				653
	ctc Leu	_	_	_		_							_	_		701
	gac Asp	_	_	_	_					_				_	-	749
	atg Met 200															797
	agc Ser															845
	cag Gln															893
	cag Gln															941
	gaa Glu															989
	caa Gln 280															1037
	gac Asp															1085
	ctg Leu															1133
ccc	tgc	atg	ccc	atg	cac	ccg	gac	cgg	ccc	tta	gtc	atc	aag	act	ggt	1181

Pro C	Cys	Met	Pro 330	Met	His	Pro	Asp	Arg 335	Pro	Leu	Val	Ile	Lys 340	Thr	Gly	
gtc o	_			_		_		_	_	_					-	1229
aat t Asn I		_						-		-		-			-	1277
gtt g Val A 375																1325
aca a Thr I																1373
gag t Glu F																1421
cgt g Arg A																1469
atc a Ile T																1517
gag a Glu I 455				_		-							_	_	_	1565
cca a Pro A		_					_				_	_				1613
ccc a Pro I	_							_	_						_	1661
caa g Gln V																1709
ggg c Gly I	_	_			_	_		_	_	_		_				1757
ect g Pro 6 535							_	_				_			_	1805
aaa g Lys G																1853
aat a Asn I																1901
ggg t Gly I																1949

58	85	590		595	
				ttc agc gag a Phe Ser Glu 8 610	
	ly Gly Val 7			aag gac atc a Lys Asp Ile S	
_	_			aag cag cag c Lys Gln Gln I	_
				aag atc atg o Lys Ile Met 1 660	
Thr Asn Il				tac ccc gac a Tyr Pro Asp 1 675	
				gag agc cag o Glu Ser Gln o 690	
	la Asp Pro G			ctg aag acc a Leu Lys Thr I	
				att gac ctg of Ile Asp Leu E	
				gga aat aac g Gly Asn Asn G 740	
	lu Pro Ser A			tcg ctc acg t Ser Leu Thr F 755	
			acc tcc ccc Thr Ser Pro	atg tga ggagd Met * 770	etgaaa 2478
aaccccatat acttctgcta gtgataaact gaagggagca gggttggttg agctgatacc	c cgtctgaaac a tctttgggca c gttatgtaaa a aggggaacac g ttagacaagt c ccaggctggg	tectaaettt a atetgggeae a gaggagagee c etectgteet geeteetgge g aaeteetgge	gtggttccag tttttaaaat cctctgagtc gcccgcctgc gcccatggca tctgcacttt	attttttt tt agagaaatga gt tggggatggg gc cctcctttt ca tcctgttgcc cc	agcagccg 2538 aatttcct 2598 gagtgtgg 2658 gagagca 2718 gcagctcg 2778 actctgtg 2838 tatccaca 2898 a 2951

<210> 463

<211> 2918

5 <212> ADN

<213> Mus musculus

<220>

5 <221> CDS

<222> (173)...(2341)

<400> 463

acgageceta acegg taggagagge cagge ggecagtegg geete	ggccc tcgggagco	cc agcagctcgc	gcctggagtc agcg gactgcagca gg a	caggcc 120
cag tgg aac cag Gln Trp Asn Gln : 5		Asp Thr Arg		
cac cag ctg tac His Gln Leu Tyr 20				_
gca cct tgg att Ala Pro Trp Ile 35				
tca cat gcc acg Ser His Ala Thr		_		-
caa tat agc cga Gln Tyr Ser Arg 70				
ctt cga aga atc Leu Arg Arg Ile : 85		Gln Ser Arg		
atg gaa att gcc Met Glu Ile Ala 1 100				-
ctc ctc cag acg Leu Leu Gln Thr 115				
cac cca aca gcc His Pro Thr Ala				-
cat ctt cag gat of His Leu Gln Asp 1	Val Arg Lys Arg	Val Gln Asp		
aag gtg gtg gag a Lys Val Val Glu 2 165		Asp Phe Asp		
ctc aag agc caa (Leu Lys Ser Gln (180				
gtg acc aga cag a Val Thr Arg Gln : 195	aag atg cag cag Lys Met Gln Gln 200	ctg gaa cag Leu Glu Gln 205	atg ctc aca gcc Met Leu Thr Ala	ctg 802 Leu 210
gac cag atg cgg a Asp Gln Met Arg a				
gca atg gag tac (Ala Met Glu Tyr V 230				

	aag Lys			_	_			_							946
_	ctg Leu 260	_	_	_	-						_	_			994
	cag Gln														1042
	tcc Ser														1090
	agg Arg				_		_		_	_	_	_			1138
	gag Glu														1186
	aag Lys 340			_	_			_	_		_	_	_		1234
	cct Pro		_			_				_	_		_		1282
_	tct Ser		_	_	-	_		_							1330
	ggc Gly														1378
_	ctg Leu		_			_		_				_	-	-	1426
	aat Asn 420														1474
	ctg Leu														1522
_	att Ile	_						_	_						1570
	tgt Cys														1618
_	acc Thr				_						_	_			1666

	acc Thr 500															1714
	acc Thr															1762
	ctc Leu															1810
	aaa Lys															1858
_	tgg Trp		_				_				_			_	_	1906
	tgg Trp 580															1954
	gcc Ala															2002
	gag Glu															2050
	atc Ile															2098
	cag Gln															2146
	atg Met 660															2194
ecc Pro 675	gac Asp	att Ile	ccc Pro	aag Lys	gag Glu 680	gag Glu	gca Ala	ttt Phe	gga Gly	aag Lys 685	tac Tyr	tgt Cys	agg Arg	ccc Pro	gag Glu 690	2242
_	cag Gln				-	_	_			_	_	_			_	2290
	acc Thr															2338
taa *	cggf	tgaaq	ggt (gctga	agcco	et ca	agca	ggagg	g gca	agttt	gag	tcg	ctca	egt		2391
gct ata gct	gcaga tcgta atcta	aga d ctg d ttg d	egtga aaact ggcaa	actto tccto	ga ga aa ct gg go	acaco ttgl	etged eggtt ettta	c ccg	gtgct agatt ataga	cca ttt igaa	cccc tttt atga	taaq ttaa agtga	gca q att t agt q	geega teeta gtggg	ccagaa acccc acttct gtgata gaaggg	2511 2571 2631

agcaagggga acacctcctg tectgeeege etgeceteet tttteageag eteggggttg 2751 gttgttagac aagtgcctcc tggtgcccat ggcatcctgt tgccccactc tgtgagctga 2811 taccccaggc tgggaactcc tggctctgca ctttcaacct tgctaatatc cacatagaag 2871 ctaggactaa gcccagaggt tcctctttaa attaaaaaaa aaaaaaa 2918 <210> 464 <211> 23 5 <212> ADN <213> Secuencia Artificial <220> <223> Cebador para PCR 10 <400> 464 gccacgttgg tgtttcataa tct 23 <210> 465 15 <211> 24 <212> ADN <213> Secuencia Artificial <220> 20 <223> Cebador para PCR <400> 465 gatagaggac attggactct tgca 24 25 <210> 466 <211> 29 <212> ADN <213> Secuencia Artificial 30 <220> <223> Sonda para PCR <400> 466

35

ttgggtgaaa ttgaccagca atatagccg

29

	<210> 467	
	<211> 20	
	<212> ADN	
	<213> Secuencia Artificial	
5		
	<220>	
	<223> Oligonucleótido Antisentido	
	<400> 467	
10	cttaattctt agagatccac	20
	<210> 468	
	<211> 20	
	<212> ADN	
	<213> Secuencia Artificial	
15		
	<220>	
	<223> Oligonucleótido Antisentido	
	<400> 468	
20	cacactaatg caagatgcta	20
	<210> 469	
	<211> 20	
	<212> ADN	
25	<213> Secuencia Artificial	
	000	
	<220>	
	<223> Oligonucleótido Antisentido	
30	<400> 469	
30	aaaaagtgat ctaccaacag	20
		_0
	<210> 470	
	<211> 20	
35	<212> ADN	
	<213> Secuencia Artificial	

	<220>	
	<223> Oligonucleótido Antisentido	
5	<400> 470	
	caactcttac cagttttcca	20
	<210> 471	
	<211> 20	
10	<212> ADN	
	<213> Secuencia Artificial	
	<220>	
	<223> Oligonucleótido Antisentido	
15		
	<400> 471	
	atcaatgaat ctaaagtgcg	20
	<210> 472	
20	<211> 20	
	<212> ADN	
	<213> Secuencia Artificial	
	<220>	
	<223> Oligonucleótido Antisentido	
25		
	<400> 472	
	cactgagcca tcctgctgca	20
	<210> 473	
	<211> 20	
30	<212> ADN	
	<213> Secuencia Artificial	
	<220>	
	<223> Oligonucleótido Antisentido	
35		
	<400> 473	

	agctggttcc actgagccat	20
	<210> 474	
	<211> 20	
5	<212> ADN	
	<213> Secuencia Artificial	
	<220>	
	<223> Oligonucleótido Antisentido	
10		
	<400> 474	
	tgtgctgata gaggacattg	20
	<210> 475	
15	<211> 20	
	<212> ADN	
	<213> Secuencia Artificial	
	220	
20	<220>	
20	<223> Oligonucleótido Antisentido	
	<400> 475	
	agactettee cacaggeate	20
25	<210> 476	
	<211> 20	
	<212> ADN	
	<213> Secuencia Artificial	
30	<220>	
	<223> Oligonucleótido Antisentido	
	<400> 476	
	cagtcagcca gctcttcatc	20
35		
	<210> 477	

	<211> 20	
	<212> ADN	
	<213> Secuencia Artificial	
5	<220>	
	<223> Oligonucleótido Antisentido	
	<400> 477	
	agttatccag ttttccagac	20
10		
	<210> 478	
	<211> 20	
	<212> ADN	
	<213> Secuencia Artificial	
15		
	<220>	
	<223> Oligonucleótido Antisentido	
	<400> 478	
20	tccagtttct taatttgttg	20
	<210> 479	
	<211> 20	
	<212> ADN	
25	<213> Secuencia Artificial	
	<220>	
	<223> Oligonucleótido Antisentido	
30	400- 470	
30	<400> 479	20
	tgtaggacac tttctgctgc	20
	<210> 480	
	<211> 20	
35	<212> ADN	
	<213> Secuencia Artificial	

	<220>	
	<223> Oligonucleótido Antisentido	
5	<400> 480	
	actggacacc agtcttgatg	20
	<210> 481	
	<211> 20	
10	<212> ADN	
	<213> Secuencia Artificial	
	<220>	
15	<223> Oligonucleótido Antisentido	
13	<400> 481	
	tttaatttta agctgataat	20
	<210> 482	
20	<211> 20	
	<212> ADN	
	<213> Secuencia Artificial	
	<220>	
25	<223> Oligonucleótido Antisentido	
	<400> 482	
	cacactttaa ttttaagctg	20
30	<210> 483	
	<211> 20	
	<212> ADN	
	<213> Secuencia Artificial	
35	<220>	

<223> Oligonucleótido Antisentido

	<400> 483	
	caatgcacac tttaatttta	20
5	<210> 484	
	<211> 20	
	<212> ADN	
	<213> Secuencia Artificial	
10	<220>	
	<223> Oligonucleótido Antisentido	
	<400> 484	
	gcccagaatg ttaaatttcc	20
15		
	<210> 485	
	<211> 20	
	<212> ADN	
	<213> Secuencia Artificial	
20		
	<220>	
	<223> Oligonucleótido Antisentido	
	<400> 485	
25	ccctaagggt caggtgcttg	20
	ooddaggg oaggigong	20
	<210> 486	
	<211> 20	
	<212> ADN	
30	<213> Secuencia Artificial	
	<220>	
	<223> Oligonucleótido Antisentido	
35	<400> 486	
	ccattcccac atctctgctc	20

	<210> 487	
	<211> 20	
	<212> ADN	
5	<213> Secuencia Artificial	
	<220>	
	<223> Oligonucleótido Antisentido	
10	<400> 487	
10		20
	aaggtgatca ggtgcagctc	20
	<210> 488	
	<211> 20	
15	<212> ADN	
	<213> Secuencia Artificial	
	<220>	
	<223> Oligonucleótido Antisentido	
20		
	<400> 488	
	gggtctctag gtcaatcttg	20
	<210> 489	
25	<211> 20	
	<212> ADN	
	<213> Secuencia Artificial	
	<220>	
30	<223> Oligonucleótido Antisentido	
	<400> 489	
	caccacaact ggcaaggagt	20
	<210> 490	
35	<211> 20	
	<212> ADN	

	<213> Secuencia Artificial	
	<220>	
_	<223> Oligonucleótido Antisentido	ı
5	<400> 490	
	ggtcagcatg ttataccaca	20
	<210> 491	
10	<211> 20	
	<212> ADN	
	<213> Secuencia Artificial	
	<220>	
15	<223> Oligonucleótido Antisentido	1
	<400> 491	
		20
	acttggtccc aggttccaat	20
20	<210> 492	
	<211> 20	
	<212> ADN	
	<213> Secuencia Artificial	
25	<220>	
	<223> Oligonucleótido Antisentido	ı
	<400> 492	
	gacaccctga gtagttcaca	20
30		
	<210> 493	
	<211> 20	
	<212> ADN	
	<213> Secuencia Artificial	
35		
	<220>	

	<223> Oligonucleótido Antisentido	
	<400> 493	
	ccagccatgt tttctttgca	20
5		
	<210> 494	
	<211> 20	
	<212> ADN	
	<213> Secuencia Artificial	
10	<220>	
	<223> Oligonucleótido Antisentido	
	100 101	
	<400> 494	00
1.5	atgatattgt ctagccagac	20
15	040 405	
	<210> 495	
	<211> 20 <212> ADN	
	<213> Secuencia Artificial	
20	2107 Occupational Attitudian	
20	<220>	
	<223> Oligonucleótido Antisentido	
	· ·	
	<400> 495	
25	ccaagatata ctttttcaca	20
	<210> 496	
	<211> 20	
	<212> ADN	
30	<213> Secuencia Artificial	
	<220>	
	<223> Oligonucleótido Antisentido	
35	<400> 496	
	cttcattcca aagggccaag	20
	555 5	

	<210> 497	
	<211> 20	
	<212> ADN	
5	<213> Secuencia Artificial	
	<220>	
	<223> Oligonucleótido Antisentido	
10	<400> 497	
	ccaagtgaaa gtgacccctc	20
	<210> 498	
	<211> 20	
15	<212> ADN	
	<213> Secuencia Artificial	
	<220>	
	<223> Oligonucleótido Antisentido	
20		
	<400> 498	
	actgatgtcc ttttccaccc	20
	<210> 499	
25	<211> 20	
	<212> ADN	
	<213> Secuencia Artificial	
	222	
20	<220>	
30	<223> Oligonucleótido Antisentido	
	<400> 499	
	gggtcttgcc actgatgtcc	20
25	2210 ₂ 500	
35	<210> 500	

<211> 20

	<212> ADN	
	<213> Secuencia Artificial	
	<220>	
5	<223> Oligonucleótido Antisentido	
	<400> 500	00
	gactggatct gggtcttgcc	20
10	<210> 501	
	<211> 20	
	<212> ADN	
	<213> Secuencia Artificial	
15	<220>	
	<223> Oligonucleótido Antisentido	
	<400> 501	00
20	cacagatgaa cttggtcttc	20
20	<210> 502	
	<211> 20	
	<212> ADN	
	<213> Secuencia Artificial	
25		
	<220>	
	<223> Oligonucleótido Antisentido	
20	<400> 502	
30	gttggtgtca cacagatgaa 20	
	<210> 503	
	<211> 20	
	<212> ADN	
35	<213> Secuencia Artificial	

	<220>	
	<223> Oligonucleótido Antisentido	
	<400> 503	
5	caatggtatt gctgcaggtc	20
	<210> 504	
	<211> 20	
	<212> ADN	
10	<213> Secuencia Artificial	
	<220>	
	<223> Oligonucleótido Antisentido	
15	<400> 504	
	caggtcaatg gtattgctgc	20
	<210> 505	
	<211> 20	
20	<212> ADN	
	<213> Secuencia Artificial	
	<220>	
	<223> Oligonucleótido Antisentido	
25		
	<400> 505	
	catcaatgaa tctaaagtgc	20
	<210> 506	
30	<211> 20	
	<212> ADN	
	<213> Secuencia Artificial	
	<220>	
35	<223> Oligonucleótido Antisentido	

	<400> 506	
	aactgcatca atgaatctaa	20
	<210> 507	
5	<211> 20	
	<212> ADN	
	<213> Secuencia Artificial	
	<220>	
10	<223> Oligonucleótido Antisentido	
	<400> 507	
	ttccaaactg catcaatgaa	20
4 F	040 500	
15	<210> 508	
	<211> 20	
	<212> ADN <213> Secuencia Artificial	
	2132 Secuencia Artificial	
20	<220>	
	<223> Oligonucleótido Antisentido	
	<400> 508	
	gttatttcca aactgcatca	20
25		
	<210> 509	
	<211> 20	
	<212> ADN	
	<213> Secuencia Artificial	
30		
	<220>	
	<223> Oligonucleótido Antisentido	
	4100× 500	
25	<400> 509	20
35	aggtcagatc catgtcaaac	20

<210> 510 <211> 20 <212> ADN <213> Secuencia Artificial 5 <220> <223> Oligonucleótido Antisentido <400> 510 10 agtcctagct tctatgtgga 20 <210> 511 <211> 20 <212> ADN 15 <213> Secuencia Artificial <220> <223> Oligonucleótido Antisentido 20 <400> 511 atcaatgaat ggtgtcacac 20

REIVINDICACIONES

- 1. Un oligonucleótido antisentido de 12 a 50 nucleobases de longitud, que hibrida específicamente con una molécula de ácido nucleico que codifica STAT3 y es capaz de inhibir la expresión de STAT3, y en donde el oligonucleótido está direccionado a los nucleótidos 2983 hasta 3127 de SEQ ID NO: 154.
- 5 2. El oligonucleótido antisentido de la reivindicación 1, en donde la mólecula de ácido nucleico codifica STAT3 humana.
 - 3. El oligonucleótido antisentido de cualquier reivindicación precedente, en donde el oligonucleótido es 100% complementario a la molécula de ácido nucleico que codifica STAT3.
 - 4. El oligonucleótido antisentido de cualquier reivindicación precedente, el cual tiene:
- 10 13 a 40 nucleobases de longitud; o
 - 15 a 30 nucleobases de longitud.
 - 5. El oligonucleótido antisentido de cualquier reivindicación precedente, en donde el oligonucleótido antisentido comprende al menos un enlace internucleósido modificado, tal como un enlace fosforotioato.
- 6. El oligonucleótido antisentido de cualquier reivindicación precedente, en donde el oligonucleótido antisentido comprende al menos una unidad estructural azúcar sustituido, tal como una unidad estructural 2´-O-(2-metoxietilo).
 - 7. El oligonucleótido antisentido de cualquier reivindicación precedente, en donde el oligonucleótido antisentido comprende al menos una nucleobase modificada, tal como 5-metil citosina.
 - 8. El oligonucleótido antisentido de cualquier reivindicación precedente el cual es un oligonucleótido quimérico.
 - 9. El oligonucleótido antisentido de la reivindcación 8, el cual es un oligómero con brecha.
- 20 10. El oligonucleótido antisentido de la reivindicación 8 o 9 el cual es un oligonucleótido quimérico que tiene una primera región que comprende desoxinucleótidos y segunda y tercera regiones que flanquean dicha primera región, comprendiendo al menos un nucleótido 2´-O-(2-metoxietilo).
 - 11. El oligonucleótido antisentido de la reivindicación 10, en donde dicha primera región tiene diez desoxinucleótidos de longitud y dicha segunda y tercera regiones tienen cada una cinco nucleótidos de longitud.
- 12. Una composición farmacéutica que comprende el oligonucleótido antisentido de cualquier reivindicación precedente y un vehículo o diluyente farmacéuticamente aceptable.
 - 13. El oligonucleótido antisentido de cualquiera de las reivindicaciones 1 a 11 para uso en terapia o profilaxis.
 - 14. El oligonucleótido antisentido de la reivindicación 13 para uso en el tratamiento o prevención de estados inflamatorios anormales o enfermedades inflamatorias, tales como artritis reumatoide.
- 30 15. El oligonucleótido antisentido de la reivindicación 13 para uso en el tratamiento o prevención de cánceres, tales como cáncer de seno, próstata, cerebro o cabeza y cuello, melanomas, mielomas, leucemias o linfomas.